



การพัฒนาและปรับปรุงสมบัติของยางสกิมโปรตีนต่ำเพื่อการนำไปใช้ประโยชน์  
ทางด้านการชนิดไวต่อแรงดัน

**Development and Improvement in Properties of Low-Protein Skim Rubber  
for Pressure-Sensitive Adhesive Application**

ณัฐพนธ์ ภูผาแก้ว

**Nataphon Phupewkeaw**

วิทยานิพนธ์นี้สำหรับการศึกษาตามหลักสูตรปริญญา  
วิทยาศาสตรมหาบัณฑิต สาขาวิทยาศาสตร์และเทคโนโลยีเคมี  
มหาวิทยาลัยสงขลานครินทร์

**A Thesis Submitted in Fulfillment of the Requirements  
for the Degree of Master of Science in Polymer Science and Technology  
Prince of Songkla University**

**2552**

ลิขสิทธิ์ของมหาวิทยาลัยสงขลานครินทร์  
(1)

**ชื่อวิทยานิพนธ์** การพัฒนาและปรับปรุงสมบัติของยางสกิมโปรดีนสำหรับการนำไปใช้ประโยชน์ทางด้านก้าวชนิดไวต่อแรงดัน  
**ผู้เขียน** นายณูพนธ์ ภูผิวแก้ว  
**สาขาวิชา** วิทยาศาสตร์และเทคโนโลยีพอลิเมอร์

---

อาจารย์ที่ปรึกษาวิทยานิพนธ์หลัก

คณะกรรมการสอบ

(ดร.สอาด ริยะจันทร์)

(ดร.วันนิดา ชินพา)

อาจารย์ที่ปรึกษาวิทยานิพนธ์ร่วม

(ดร.สอาด ริยะจันทร์)

(รองศาสตราจารย์ ดร.จิตต์ลัดดา ศักดาภิพานิชย์) (รองศาสตราจารย์ ดร.จิตต์ลัดดา ศักดาภิพานิชย์)

กรรมการ  
(รองศาสตราจารย์ ดร.วรภรณ์ ตันรัตนกุล)

กรรมการ  
(ดร.ณัฐรุ่ง ชัยบุตร)

บันทึกวิทยาลัย มหาวิทยาลัยสงขลานครินทร์ อนุมัติให้นับวิทยานิพนธ์ฉบับนี้  
สำหรับการศึกษา ตามหลักสูตรปริญญาวิทยาศาสตร์มหาบัณฑิต สาขาวิชาวิทยาศาสตร์และ  
เทคโนโลยีพอลิเมอร์

(รองศาสตราจารย์ ดร.เกริกชัย ทองหนู)  
คณบดีบันทึกวิทยาลัย

ชื่อวิทยานิพนธ์	การพัฒนาและปรับปรุงสมบัติของยางสกิมโปรตีนต่าเพื่อการนำไปใช้ประโยชน์ทางด้านการชนิดไว้ต่อแรงดัน
ผู้เขียน	นายณรุพนธ์ ภูผัวแก้ว
สาขาวิชา	วิทยาศาสตร์และเทคโนโลยีพอลิเมอร์
ปีการศึกษา	2552

## บทคัดย่อ

วัตถุประสงค์ของงานวิจัยนี้คือ เพื่อศึกษาการพัฒนาและปรับปรุงคุณสมบัติของยางสกิมโปรตีนต่าเพื่อการนำไปใช้ประโยชน์ทางด้านการชนิดไว้ต่อแรงดัน โดยแบ่งการศึกษาวิจัยออกเป็น 3 ส่วนใหญ่ๆ ดังต่อไปนี้ 1) การรวบรวมเนื้อยางสกิมด้วยสารจับตัวและเทคนิคการจับตัวแบบใหม่แทนที่การใช้กรดเข้มข้น 2) การทำยางสกิมให้มีความบริสุทธิ์ด้วยปฏิกิริยาสะพอนนิฟิเคชันและการปรับปรุงสมบัติของยางสกิมที่ได้ 3) การปรับปรุงสมบัติของยางสกิมโปรตีนต่าเพื่อประยุกต์ใช้ประโยชน์ทางด้านการชนิดไว้ต่อแรงดัน ซึ่งมีรายละเอียดดังต่อไปนี้ ในส่วนแรก เป็นการนำสารพอลิอิเล็กโกร์เล็ต เช่น พอลิเมอร์ที่มีประจุบวก ได้แก่ พอลิเมทธิล อะคริลิกເອສເທັວ່ຽງ ພອລິມେອຣ໌ທີ່ມີປະຈຸບກວກ ໄດ້ແກ່ ພອລິມେທົກ ອະຄຣິລິກເອສເທັວ່ຽງ ພອລິມେອຣ໌ທີ່ມີປະຈຸບລຸບ ໄດ້ແກ່ ພອລິອະຄຣິລາໄມ່ໂດ ແລະ ເກລືອອິນທີຣີ່ ໄດ້ແກ່ NaCl CaCl<sub>2</sub> MgCl<sub>2</sub> และ (NH<sub>4</sub>)<sub>2</sub>SO<sub>4</sub> มาใช้ในการรวบรวมและจับตัวยางสกิมจากหางน้ำย่าง โดยพบว่าสภาวะ pH 5-6 สารจับตัวพอลิเมอร์ที่มีประจุบวก ให้ประสิทธิภาพในการจับตัวได้ดีกว่าพอลิเมอร์ที่มีประจุลบที่ปริมาณความเข้มข้นเท่าๆ กัน และในกรณีของการจับตัวด้วยเกลืออนินทรีຍ් CaCl<sub>2</sub> ให้ประสิทธิภาพการจับตัวได้ดีที่สุด ปริมาณความเข้มข้นที่เหมาะสมในการจับตัวคือ 0.02-0.1g/L สำหรับการจับตัวด้วยพอลิเมอร์ที่มีประจุบวก และ 2.0-10.0g/L สำหรับการจับตัวด้วยเกลืออนินทรีຍ් CaCl<sub>2</sub> อย่างไรก็ตามสมบัติทางกายภาพและเชิงกลของยางสกิมที่ได้จากการจับตัวด้วยวิธีใหม่ให้คุณภาพที่ดีกวายางสกิมที่ได้จากการจับตัวด้วยวิธีแบบเดิม ในส่วนที่สอง เป็นการทำสะพอนนิฟิเคชันของยางสกิมดิบด้วย 3%NaOH ที่อุณหภูมิ 50°C ระยะเวลา 5 h และ 2%NaOH ที่อุณหภูมิ 70°C ระยะเวลา 3 h และ 3%NaOH ที่อุณหภูมิห้องระยะเวลา 48 h ซึ่งเป็นสภาวะที่ใช้ในการเตรียมยางสกิม LPSR ที่ได้คุณภาพดีที่สุด เนื่องจากปริมาณโปรตีนและดัชนีชี้วัดสีของยางสกิมลดลงในระดับใกล้เคียงกับยางธรรมชาติเกรดปกติ นอกจากนี้ปริมาณເອສເທັວ່ຽງແລະเจลสามารถทำให้ลดลงด้วยการทำปฏิกิริยาสะพอนนิฟิเคชัน การเสื่อมสภาพของยางสกิม LPSR สามารถปรับปรุงได้โดยการจุ่มในสารละลายนิมัลชันฟีโนลิก แอนติออกซิเดนท์ (1%w/v) จำพวกบิส-ฟีโนล (bis-phenol) เช่น TBMTBP และ MBETB เป็นต้น นอกจากนี้ ยางสกิม LPSR ที่ได้ยังมีค่าความหนืดมูนนี และค่าความต้านทานต่อแรงดึงของยางสกิม LPSR ที่ต่ำ ทำ

ให้ง่ายต่อการขึ้นรูป และในส่วนสุดท้ายการนำยางสกิม LPSR ชนิดใหม่ที่เตรียมได้มา ประยุกต์ใช้ในงานด้านการยึดติดของกาว PSA สำหรับกาว PSA เตรียมได้จากยางสกิม LPSR เพียงอย่างเดียว และพอลิเมอร์ผสม LPSR/PVA โดยมีไฮโดรคาร์บอนเรซิน เป็นสารเพิ่มความเหนียว ได้กาวที่มีลักษณะเป็นแบบสารละลายและเป็นแบบอิมลัชันตามลำดับ จากการศึกษาถึงอิทธิพลของปริมาณ PVA และไฮโดรคาร์บอนเรซิน เมื่อแปรปริมาณที่ 0-50 phr และ 0-100 phr ตามส่วนผสมของการ พบว่า LPSR สามารถเตรียมเป็นเทปกาว PSA ที่มีลักษณะใสไม่มีสี ให้สมบูรณ์ทางด้านความเหนียว และการดึงออกได้มาก นอกเหนือจากนี้แล้วกาว PSA จากยางสกิม LPSR และพอลิเมอร์ผสม LPSR/PVA สามารถปรับปรุงให้มีสมบูรณ์ดีการยึดติดได้ดียิ่งขึ้นอีก ด้วยการทำปฏิกิริยาอิพอกซิเดชันในยางสกิม LPSR ที่ประมาณ 5% mole epoxydation และสภาวะที่ดีที่สุด ในการเตรียมกาว PSA คือ ยางสกิม E-LPSR ที่มีปริมาณหมุ้อพอกไซด์ 5 %mole และมีไฮโดรคาร์บอนเรซิน และ PVA เป็นส่วนผสมที่ปริมาณ 60 phr และ 20 phr ตามลำดับ

<b>Thesis Title</b>	Development and Improvement in properties of low-protein skim rubber for pressure-sensitive adhesive application
<b>Author</b>	Mr. Nataphon Phupewkeaw
<b>Major Program</b>	Polymer Science and Technology
<b>Academic Year</b>	2009

## **ABSTRACT**

The aim of this work is to study the development and improvement of low protein skim rubber properties for pressure-sensitive adhesive application. The scopes of the present work consist of three parts including 1) the recovery of skim rubber with the new coagulant and coagulation procedure instead of applying the sulfuric acid, 2) the purification solid skim rubber by saponification and improved their properties, 3) the improvements of low-protein skim rubber properties for pressure-sensitive adhesive applications in detail as following. In the first part, the polyelectrolytes including polymethyl acrylic ester as a cationic polymer polyacrylamide as an anionic polymer as well as inorganic salts such as NaCl, CaCl<sub>2</sub>, MgCl<sub>2</sub> and (NH<sub>4</sub>)<sub>2</sub>SO<sub>4</sub> were employed for both recovery and coagulation of skim rubber from skim rubber latex. The cationic polymer coagulant showed the high efficiency for skim rubber coagulation than an anionic polymer coagulant as the same dose of polymer concentration at pH 5-6. In the case of inorganic salts coagulant, the efficiency of CaCl<sub>2</sub> exhibited the highest comparing to other inorganic salts. The optimum dose of coagulant concentration for the new coagulation of skim latex was 0.2-0.10g/L (dose) of cationic polymer coagulant and 2.0-10.0g/L (dose) of CaCl<sub>2</sub>. The physical and mechanical properties of the resulting solid rubber obtained from this novel coagulation were high quality than ordinary skim rubber. In the second part, the condition for preparing the optimum quality of low-protein skim rubber (LPSR) was found to be a saponification of wet skim with 3% (w/v) NaOH for 5 h at 50°C, 2% (w/v) NaOH for 3 h at 70°C and 3% (w/v) NaOH for 48 h at room temperature. The nitrogen content and color index of skim rubber decreased to the same level as the normal field grade of

natural rubber by treatment with NaOH. The ester content and gel content of skim rubber were dramatically decreased after saponification. Thermal stability of LPSR was improved by soaking with 1% (w/v) phenolic antioxidant, especially the bis-phenol compound antioxidant such as, 4,4'-thio bis(6-tert-butyl-3-methylphenol) (TBMTBP) and 2,2'-methylene bis(4-ethyl-6-tert-butylphenol) (MBETB). The resulting LPSR showed the low Mooney viscosity and low green strength, leading to the increase of processability. In the final part, The PSA obtained from LPSR alone in presence of hydrocarbon resin as a tackifier and LPSR/ poly (vinyl alcohol), (PVA) blend containing tackifier via solution and emulsion, respectively. The influences of PVA and hydrocarbon resin content varied from 0-50 phr and 0-100 phr in the adhesive formulation, respectively were studied. In addition, the good adhesion property of PSA was an achievement with modified structure of LPSR via epoxidation reaction reached to 5% mole of epoxidation in LPSP structure. The best condition of the preparing pressure-sensitive adhesive was found to be about 60 phr of hydrocarbon resin, 20 phr PVA and 5% mole of epoxide content in rubber molecule.

## สารบัญ

	หน้า
สารบัญ .....	(8)
รายการตาราง.....	(14)
รายการรูป.....	(17)
สัญลักษณ์คำย่อและตัวย่อ.....	(24)
<b>บทที่</b>	
1.    บทนำ.....	1
1.1 บทนำต้นเรื่อง .....	1
1.2 วัตถุประสงค์ของงานวิจัย .....	3
1.3 ขอบเขตของงานวิจัย .....	4
1.4 ประโยชน์ที่คาดว่าจะได้รับ .....	4
1.5 แผนการดำเนินงานตลอดโครงการ .....	5
1.6 สถานที่ในการทำวิจัย .....	5
2.    เอกสารและงานวิจัยที่เกี่ยวข้อง .....	6
2.1 ย่างธรรมชาติ .....	6
2.2 น้ำย่างธรรมชาติ .....	8
2.2.1 สมบัติและส่วนประกอบของน้ำย่างธรรมชาติ .....	8
2.2.2 ส่วนประกอบของน้ำย่างธรรมชาติ .....	9
2.2.2.1 ส่วนของเนื้อยางและอนุภาคยาง .....	10
2.2.2.2 ไขมัน .....	11
2.2.2.3 อนุภาคเฟรย์-วิสลิ่ง .....	12
2.2.2.4 ชี-เชร์น .....	12
2.2.2.5 โปรตีน .....	12
2.2.2.6 คาร์บอไฮเดรต .....	13
2.2.2.7 สารประกอบอนินทรีย์ .....	13
2.2.2.8 ลูทอยด์ .....	14
2.3 โครงสร้างทางเคมีของโมเลกุลยางธรรมชาติ .....	14
2.3.1 โครงสร้างทางเคมีของไอโซพրีน .....	15
2.3.2 การกระจายตัวของขนาดอนุภาคยางธรรมชาติ .....	17

## สารบัญ (ต่อ)

	หน้า
2.3.3 โครงสร้างของยางสกิม .....	18
2.4 กระบวนการผลิตยางธรรมชาติในอุตสาหกรรมน้ำยางขัน .....	21
2.4.1 กระบวนการผลิตน้ำยางขัน.....	22
2.4.2 กระบวนการผลิตยางสกิม .....	23
2.4.3 การรวบรวมยางสกิมจากทางน้ำยาง .....	24
2.4.4 คุณสมบัติทางกายภาพของยางสกิม .....	25
2.4.5 การนำยางสกิมไปใช้ประโยชน์ .....	25
2.5 การจากยางธรรมชาติ .....	26
2.5.1 แทคคิไฟเออร์เรชิน .....	27
2.5.2 ภาชนะด้าวต่อแรงดัน .....	28
2.5.3 ชนิดของการทำเทปการ PSA .....	31
2.5.4 ทฤษฎีการยึดติดของกาว .....	32
2.5.5 การผลิตเทปการ PSA จากยางธรรมชาติ .....	33
2.5.6 การทดสอบสมบัติของเทปการ .....	34
2.5.6.1 การทดสอบสมบัติการเหนี่ยวติดกันแบบ Rolling Ball Tack	34
2.5.6.2 การทดสอบสมบัติการเหนี่ยวติดกันแบบ Quick stick หรือ Loop tack.....	35
2.5.6.3 การทดสอบสมบัติการเหนี่ยวติดกันแบบ Probe tack .....	36
2.5.6.4 การทดสอบสมบัติถึงลอก .....	37
2.5.6.5 การทดสอบคุณสมบัติความต้านทานแรงเฉือน .....	39
2.6 การดัดแปลงธรรมชาติ .....	40
2.6.1 ยางธรรมชาติอิพอกไซด์ .....	41
2.6.2 สมบัติของยางธรรมชาติอิพอกไซด์ .....	43
2.7 การตรวจสอบเอกสารเกี่ยวข้อง .....	44
3. วิธีการวิจัย.....	49
3.1 วัสดุและสารเคมี.....	49
3.1.1 น้ำยางสกิม .....	49
3.1.2 สารเคมีสำหรับใช้ในการรับตัวและรวบรวมเนื้อยางสกิม .....	49
3.1.3 สารเคมีสำหรับใช้ในการเตรียมยางสกิม LPSR.....	50

## สารบัญ (ต่อ)

	หน้า
3.1.4 สารเคมีสำหรับใช้ในการเตรียมการ PSA.....	51
3.2 อุปกรณ์และเครื่องมือ .....	51
3.3 วิธีดำเนินการทดลอง.....	52
3.3.1 การจับตัวและการรวมเนื้อยางสกิม .....	53
3.3.1.1 การจับตัวยางสกิมด้วยสารละลายโพลิอิเล็กโตรไอล์.....	53
3.3.1.2 การจับตัวยางสกิมด้วยสารละลายเกลืออนินทรีย์.....	54
3.3.1.3 การจับตัวและการรวมเนื้อยางสกิมในระดับอุตสาหกรรม ด้วยสารจับตัวโพลิเมอร์ชนิดประจุบวก Maxfloc <sup>®</sup> .....	55
3.3.2 การเตรียมยางสกิม LPSR จากการทำปฏิกิริยาสะพอนนิฟิเคชัน ยางสกิมในสารละลายโซเดียมไฮดรอกไซด์.....	55
3.3.2.1 ศึกษาอิทธิพลของสภาพแวดล้อมต่างๆ ในการทำปฏิกิริยา ที่มีต่อสมบัติของยางสกิม LPSR.....	55
3.3.2.2 ศึกษาประสิทธิภาพของสารแอนติออกซิเดนท์ที่มีต่อสมบัติ การด้านทานการเสื่อมสภาพด้วยความร้อนในยางสกิม LPSR	56
3.3.2.3 การศึกษาสมบัติทางกายภาพและสมบัติการวัลคาเรนซ์ของ ยางสกิม LPSR โดยใช้การวัดค่าไนซ์ด้วยเปอร์ออกไซด์ ....	58
3.3.3 วิธีวิเคราะห์สมบัติทางกายภาพของยางธรรมชาติและการทดสอบ สมบัติเชิงกล.....	60
3.3.3.1 วิธีวิเคราะห์สมบัติทางกายภาพของยางธรรมชาติ .....	60
3.3.3.2 การทดสอบสมบัติเชิงกล .....	66
3.3.4 การศึกษาและพัฒนาวิธีเตรียมการ PSA จากยางสกิม LPSR.....	70
3.3.4.1 การลดน้ำหนักโมเลกุลยางสกิม LPSR โดยวิธีการบดทางกล	70
3.3.4.2 การเตรียมการ PSA จากยาง LPSR และจากโพลิเมอร์ ผสม LPSR/PVA.....	71
3.3.4.3 การเตรียมการ PSA จากโพลิเมอร์ผสม E-LPSR/PVA....	74
3.3.4.4 วิธีการทดสอบสมบัติทางด้านการยึดติดของกาว PSA.....	76
3.3.4.5 การวิเคราะห์สมบัติทางกายภาพและสมบัติเชิงกลของการ PSA จากยางสกิม LPSR.....	78

## สารบัญ (ต่อ)

	หน้า
4. ผลการทดลองและการวิเคราะห์ผลการทดลอง.....	81
4.1 การศึกษาสะภาวะในการจับตัวและรวบรวมเนื้อยางสกิมด้วยเทคนิคใหม่โดยใช้สารละลายพอลิอิเล็กโกร์ไล์ตและเกลืออนินทรี.....	81
4.1.1 การศึกษาสะภาวะที่เหมาะสมในการจับตัวยางสกิมด้วยสารละลายพอลิอิเล็กโกร์ไล์ต.....	82
4.1.1.1 อิทธิพลของสภาพ pH ที่มีต่อการเปลี่ยนแปลงขนาดการกระจายตัวของอนุภาคยางสกิม.....	82
4.1.1.2 ประสิทธิภาพของสารละลายพอลิอิเล็กโกร์ไล์ตในการจับตัวและรวบรวมอนุภาคเนื้อยางสกิม.....	83
4.1.2 การศึกษาสะภาวะที่เหมาะสมในการจับตัวยางสกิมด้วยสารละลายเกลืออนินทรี.....	94
4.1.2.1 ประสิทธิภาพของสารละลายเกลืออนินทรีชนิดต่างๆ ในการจับตัวและรวบรวมอนุภาคเนื้อยางสกิม.....	94
4.1.3 การศึกษาสมบัติทางกายภาพของยางสกิมที่จับตัวด้วยสารละลายพอลิอิเล็กโกร์ไล์ตและเกลืออนินทรี.....	105
4.1.3.1 สมบัติทางกายภาพของยางสกิมที่จับตัวด้วยสารละลายพอลิอิเล็กโกร์ไล์ต.....	105
4.1.3.2 สมบัติทางกายภาพของยางสกิมที่จับตัวด้วยสารละลายเกลืออนินทรี.....	106
4.1.3.3 สมบัติทางกายภาพของยางสกิมที่จับตัวด้วย Maxfloc <sup>®</sup> ในระดับอุตสาหกรรมด้วยเทคนิคการจับตัวแบบใหม่.....	107
4.1.4 สรุปผลการทดลองการศึกษาสะภาวะในการจับตัวและรวบรวมเนื้อยางสกิมด้วยเทคนิคใหม่ .....	109
4.2 การศึกษาระบวนการเตรียมยางสกิม LPSR โดยใช้การทำปฏิกิริยาสaponinฟิเคลชันด้วยสารละลายเบส.....	109
4.2.1 อิทธิพลของสะภาวะในการทำปฏิกิริยาสaponinฟิเคลชันยางสกิมในสารละลายโซเดียมไฮดรอกไซด์ ต่อการเปลี่ยนแปลงของปริมาณในโตรเจนและระดับสีของยางสกิม.....	110

## สารบัญ (ต่อ)

	หน้า
4.2.2 ศึกษาประสิทธิภาพของสารเอนติออกซิเดนท์ที่มีต่อสมบัติการต้าน ทานการเสื่อมสภาพด้วยความร้อนในยางสกิม LPSR .....	119
4.2.2.1 ประสิทธิภาพในการต้านทานการเสื่อมสภาพด้วยความร้อน ในยางสกิม LPSR.....	119
4.2.2.2 การปรับปรุงสมบัติการต้านทานการเสื่อมสภาพด้วยความ ร้อนของยางสกิม LPSR ด้วยสารเอนติออกซิเดนท์.....	122
4.2.3 การศึกษาสมบัติพื้นฐานทางกายภาพและสมบัติเชิงกลของยางสกิม LPSR โดยการวัดค่าไนซ์ด้วยเปอร์ออกไซด์.....	127
4.2.3.1 สมบัติพื้นฐานทางกายภาพของยางสกิม LPSR.....	127
4.2.3.2 สมบัติเชิงกลของยางสกิม LPSR เปรียบเทียบกับยาง STR 5L และ IR 2200 โดยการวัดค่าไนซ์ด้วยเปอร์ออกไซด์.....	129
4.2.4 สรุปการทดลองการศึกษาระบวนการเตรียมยางสกิม LPSR โดย การทำปฏิกิริยาสะโพนฟิล์เมชันด้วยสารละลายโซเดียมไฮดรอกไซด์	131
4.3 การศึกษาและพัฒนาวิธีการเตรียมการวินิจฉัยต่อแรงดันจากยางสกิม LPSR	131
4.3.1 การลดน้ำหนักโมเลกุลยางสกิมโปรตีนต่ำโดยวิธีบดทางกล.....	132
4.3.1.1 ผลต่อน้ำหนักโมเลกุลและการกระจายตัวของน้ำหนักโมเลกุล	132
4.3.1.2 ผลต่อค่าความหนืด ค่าความอ่อนตัวเริ่มต้น และปริมาณเจล	133
4.3.2 การเตรียมการ PSA จากยาง LPSR และจากพอลิเมอร์ผสม LPSR/PVA.....	137
4.3.2.1 ความสามารถในการละลายของยางสกิม LPSR ที่ผ่านการ ลดน้ำหนักโมเลกุลด้วยวิธีบดทางกลในตัวทำละลายโถลูอีน	137
4.3.2.2 ความสามารถในการเข้ากันของพอลิเมอร์ผสม LPSR/PVA	138
4.3.2.3 ความสามารถในการเข้ากันของสารละลายการ PSA ระหว่างไฮโดรคาร์บอนเรซินกับพอลิเมอร์ผสม LPSR/PVA	144
4.3.3 อิทธิพลของไฮโดรคาร์บอนเรซินต่อสมบัติทางด้านการยึดติดของ การ PSA.....	151
4.3.3.1 สมบัติทางด้านการยึดติดของการ PSA จากยางสกิม LPSR และพอลิเมอร์ผสม LPSR/PVA20.....	151

## สารบัญ (ต่อ)

	หน้า
4.3.3.2 สรุปผลการทดสอบสมบัติทางด้านการยึดติดของการ PSA จากยางสกิม LPSR และพอลิเมอร์ผสม LPSR/PVA20.....	160
4.3.4 การเตรียมการ PSA จากพอลิเมอร์ผสม E-LPSR/PVA .....	160
4.3.4.1 การวิเคราะห์สมบัติของยางสกิม E- LPSR.....	161
4.3.4.2 ความสามารถในการเข้ากันของการ E-PSA และการ พอลิเมอร์ผสม E-LPSR/PVA .....	164
4.3.4.3 อิทธิพลของปริมาณ PVA ต่อสมบัติทางด้านการยึดติดของ การ PSA ที่เตรียมจากยางสกิม LPSR และ E-LPSR.....	170
4.3.4.4 สรุปผลการทดสอบอิทธิพลของปริมาณ PVA ต่อสมบัติทาง ด้านการยึดติดของการ PSA ที่เตรียมจากยางสกิม LPSR และ E-LPSR.....	175
4.3.4.5 เปรียบเทียบสมบัติของการ PSA ที่เตรียมจากยางสกิม LPSR และสมบัติการ PSA ทางการค้าประเภทต่างๆ.....	176
4.3.5 สรุปผลการทดลองการศึกษาและพัฒนาวิธีการเตรียมการชนิดใหม่ ต่อแรงดันจากยางสกิม LPSR.....	177
5. สรุปผลการทดลอง.....	179
5.1 การศึกษาสภาวะในการจับตัวและรวบรวมเนื้อยางสกิมด้วยเทคนิคใหม่ โดยใช้สารละลายน้ำและเกลืออนินทรี.....	179
5.2 การศึกษาระบวนการเตรียมยางสกิมโปรตีนตัว โดยใช้กระบวนการทำ ปฏิกิริยาสะพอนนิฟิเชชันด้วยสารละลายน้ำเดี่ยมไฮดรอกไซด์.....	180
5.3 การศึกษาและพัฒนาวิธีการเตรียมการชนิดใหม่ต่อแรงดันจากยางสกิม LPSR	181
5.4 ข้อเสนอแนะ .....	182
6. บรรณานุกรม.....	183
7. ภาคผนวก.....	192
8. ประวัติผู้เขียน.....	215

## รายการตาราง

ตาราง	หน้า
2.1 ส่วนประกอบต่างๆในน้ำยาหาร์มชาติ.....	9
3.1 สารเคมีที่ใช้ในการจับตัวและรวบรวมเนื้อยางสกิม.....	49
3.2 สารเคมีสำหรับใช้ในการเตรียมยางสกิม LPSR.....	50
3.3 สารเคมีสำหรับใช้ในการเตรียมการ PSA.....	51
3.4 อุปกรณ์และเครื่องมือที่ใช้ในการศึกษาทดลอง.....	51
3.5 กระบวนการในการจับตัวน้ำยาหาร์มชาติด้วยสารละลายพอลิอิเล็กโกร์ไอล์.....	53
3.6 กระบวนการในการจับตัวน้ำยาหาร์มชาติด้วยสารละลายเกลืออนินทรี.....	54
3.7 กระบวนการในการเตรียมยางสกิม LPSR จากกระบวนการทำปฏิกิริยา กับยางสกิม ด้วยสารละลายโซเดียมไฮดรอกไซด์.....	56
3.8 กระบวนการที่ใช้ในการศึกษาการต้านทานการเสื่อมสภาพที่อุณหภูมิ $100^{\circ}\text{C}$ ของยางสกิม LPSR.....	57
3.9 ชนิดของสารเอนติออกซิแดนท์และกระบวนการที่ใช้ในการศึกษาการต้านทานการเสื่อมสภาพที่อุณหภูมิ $100^{\circ}\text{C}$ ของยาง LPSR.....	58
3.10 สูตรการเตรียมยางวัลค่าในชุดระบบเบอร์ออกไซด์ .....	59
3.11 กระบวนการลดนำหนักโมเลกุลของยางสกิม LPSR โดยวิธีการบดทางกล.....	71
3.12 กระบวนการเตรียมการเตรียม PSA จากยาง LPSR.....	72
3.13 กระบวนการเตรียมการเตรียม PSA จากพอลิเมอร์สม LPSR/PVA.....	73
3.14 กระบวนการเตรียมการเตรียม PSA จากยาง LPSR และ E-LPSR เพื่อศึกษาอิทธิพลของปริมาณ PVA ที่มีต่อสมบัติทางด้านการยึดติด.....	75
4.1 อิทธิพลของภาวะ pH ต่างๆที่มีต่อน้ำดอนนุภาคเฉลี่ยของน้ำยาหาร์มชาติ เมื่อทำการปรับสภาพด้วยกรดฟอร์มิก.....	83
4.2 อิทธิพลของสารสารละลายพอลิอิเล็กโกร์ไอล์ที่มีต่อน้ำดอนนุภาคเฉลี่ยของน้ำยาหาร์มชาติ เมื่อทำการปรับสภาพที่ pH 5.0 ที่ปริมาณ 0.02-0.10 g/L.....	88
4.3 อิทธิพลของสารสารละลายพอลิอิเล็กโกร์ไอล์ที่มีต่อน้ำดอนนุภาคเฉลี่ยของน้ำยาหาร์มชาติ เมื่อทำการปรับสภาพที่ pH 5.5 ที่ปริมาณ 0.02-0.10 g/L.....	88
4.4 อิทธิพลของชนิดและปริมาณสารสารละลายพอลิอิเล็กโกร์ไอล์ที่มีต่อระยะเวลาในการจับตัวน้ำยาหาร์มชาติ เมื่อทำการปรับสภาพที่ pH 5.0 ที่ปริมาณ 0.02-0.10 g/L .....	90

## รายการตาราง (ต่อ)

ตาราง	หน้า
4.5 อิทธิพลของชนิดและปริมาณสารสารละลายน้ำมันพอลิอิเล็กโตรไอล์ท์ที่มีต่อระยะเวลาในการจับตัวน้ำยาสกิม เมื่อทำการปรับสภาพที่ pH 5.5 ที่ปริมาณ 0.02-0.10 g/L.....	92
4.6 อิทธิพลของสารสารละลายน้ำมันพอลิอิเล็กโตรไอล์ที่มีต่อขนาดอนุภาคเฉลี่ยของน้ำยาสกิม เมื่อทำการปรับสภาพที่ pH 5.0 ที่ปริมาณ 2.0-10.0 g/L.....	99
4.7 อิทธิพลของสารสารละลายน้ำมันพอลิอิเล็กโตรไอล์ที่มีต่อขนาดอนุภาคเฉลี่ยของน้ำยาสกิม เมื่อทำการปรับสภาพที่ pH 6.0 ที่ปริมาณ 2.0-10.0 g/L.....	99
4.8 อิทธิพลของสารสารละลายน้ำมันพอลิอิเล็กโตรไอล์ที่มีต่อระยะเวลาในการจับตัวน้ำยาสกิมเมื่อทำการปรับสภาพที่ pH 5.0 ที่ปริมาณ 2.0-10.0 g/L.....	101
4.9 อิทธิพลของสารสารละลายน้ำมันพอลิอิเล็กโตรไอล์ที่มีต่อระยะเวลาในการจับตัวน้ำยาสกิมเมื่อทำการปรับสภาพที่ pH 6.0 ที่ปริมาณ 2.0-10.0 g/L.....	103
4.10 สมบัติทางกายภาพของยางสกิมที่ได้จากการจับตัวด้วยสารสารละลายน้ำมันพอลิอิเล็กโตรไอล์ชนิด Accofloc <sup>®</sup> C480 และ Aronfloc <sup>®</sup> A130.....	106
4.11 สมบัติทางกายภาพของยางสกิมที่ได้จากการจับตัวด้วยสารสารละลายน้ำมันพอลิอิเล็กโตรไอล์ชนิด CaCl <sub>2</sub> และ MgCl <sub>2</sub> .....	107
4.12 สมบัติทางกายภาพของยางสกิมที่ได้จากการจับตัวด้วย Maxfloc <sup>®</sup> .....	108
4.13 ปริมาณในโตรเจนของยางสกิม LPSR หลังทำปฏิกิริยาสะพอนนิฟิเคชันที่สภาวะอุณหภูมิ 50°C.....	112
4.14 ปริมาณในโตรเจนของยางสกิม LPSR หลังทำปฏิกิริยาสะพอนนิฟิเคชันที่สภาวะอุณหภูมิ 70°C.....	112
4.15 ปริมาณในโตรเจนของยางสกิม LPSR หลังทำปฏิกิริยาสะพอนนิฟิเคชันที่สภาวะอุณหภูมิห้อง .....	113
4.16 ปริมาณการเปลี่ยนแปลงระดับสีของยางสกิม LPSR หลังทำปฏิกิริยาสะพอนนิฟิเคชันที่สภาวะอุณหภูมิ 50°C.....	116
4.17 ปริมาณการเปลี่ยนแปลงระดับสีของยางสกิม LPSR หลังทำปฏิกิริยาสะพอนนิฟิเคชันที่สภาวะอุณหภูมิ 70°C.....	116
4.18 ปริมาณการเปลี่ยนแปลงระดับสีของยางสกิม LPSR หลังทำปฏิกิริยาสะพอนนิฟิเคชันที่สภาวะอุณหภูมิห้อง.....	117

## รายการตาราง (ต่อ)

ตาราง	หน้า
4.19 การเปลี่ยนแปลงน้ำหนักโมเลกุลและการกระจายตัวน้ำหนักโมเลกุลของยางสกิม LPSR เมื่อทำการศึกษาการต้านทานการเสื่อมสภาพที่อุณหภูมิ $100^{\circ}\text{C}$ เป็นระยะเวลา 20 h.....	122
4.20 การเปลี่ยนแปลงน้ำหนักโมเลกุลของยางสกิม LPSR ที่ปรับปรุงสมบัติด้วยสารฟินอลิค แอนติออกซิเดนท์ เมื่อทำการบ่มเร่งด้วยความร้อนที่อุณหภูมิ $100^{\circ}\text{C}$ เป็นระยะเวลา 3 h.....	125
4.21 ปริมาณไนโตรเจน ปริมาณกรดไขมันเอสเตอร์ ปริมาณถ้า และปริมาณเจลในยางสกิมธรรมชาติและยางสกิม LPSR.....	128
4.22 สมบัติทางกายภาพของยางสกิมธรรมชาติและยางสกิม LPSR.....	129
4.23 ความหนาแน่นของการเชื่อมโยงและสมบัติเชิงกลของยางสกิม LPSR เมื่อเปรียบเทียบกับยาง STR 5L และ IR 2200 โดยการวัดค่าในชั้นด้วยเบอร์ออกไซด์.....	130
4.24 น้ำหนักโมเลกุลและการกระจายตัวของน้ำหนักโมเลกุลของยางสกิม LPSR เมื่อทำการบดด้วยเครื่องผสมยางแบบสองลูกกลิ้ง.....	133
4.25 ค่าความหนืด ค่าความอ่อนตัวเริ่มต้นและปริมาณเจลของยางสกิม LPSR เมื่อทำการบดด้วยเครื่องผสมยางแบบสองลูกกลิ้ง.....	135
4.26 ความสามารถในการละลายของยางสกิม LPSR ที่ผ่านการลดน้ำหนักโมเลกุล ด้วยวิธีบดทางกลในตัวทำละลายโพลูอีน.....	138
4.27 ลักษณะทางกายภาพของพอลิเมอร์ผสม LPSR/PVA solution blend.....	139
4.28 ค่าความหนืดของสารละลายอิมัลชันพอลิเมอร์ผสม LPSR/PVA .....	140
4.29 น้ำหนักโมเลกุลและการกระจายตัวของน้ำหนักโมเลกุลของยางสกิม E-LPSR...	161
4.30 ลักษณะความล้มเหลวในการยึดติดของกาวพอลิเมอร์ผสม PSA60/PVA และ E-PSA60/PVA เมื่อแปรงปริมาณ PVA 0 5 10 20 และ 30 phr.....	175
4.31 แสดงการเปรียบเทียบสมบัติของการ PSA ที่เตรียมจากยางสกิม LPSR ชนิดต่างๆที่ปริมาณไอโอดีนาร์บอนเรชิน และ PVA ปริมาณ 60 และ 20 phr ตามลำดับ โดยเทียบกับการทำงานค้า.....	177

## รายการรูป

รูป	หน้า
2.1 ส่วนประกอบต่างๆ ในน้ำยางธรรมชาติจากการบันแยกด้วยความเร็วสูง.....	10
2.2 ลักษณะอนุภาคยางและส่วนประกอบต่างๆ ในยางธรรมชาติ.....	11
2.3 สูตรโครงสร้างของเลซิติน ( $\alpha$ -Lecithin).....	12
2.4 สูตรโครงสร้างของคิวบราชิทอล (quebrachitol) .....	13
2.5 สูตรโครงสร้างทางเคมีของยางธรรมชาติ.....	15
2.6 โครงสร้างของไอโซพรีนในแบบต่างๆ.....	16
2.7 โครงสร้างของไมเลกุลยางธรรมชาติ.....	17
2.8 การกระจายตัวของขนาดอนุภาคยางธรรมชาติ ในน้ำยางข้น (total latex) A: จากชั้นครีม และ B: ชั้นเซรั่ม.....	18
2.9 แสดงการกระจายตัวของน้ำหนักไมเลกุลของยางธรรมชาติจากน้ำยางสด A: cream rubber และ B: serum rubber.....	19
2.10 โปรตอรอนนิวเคลียร์แมกเนติกเรโซแนนซ์สเปกトラ ( $^1$ H-NMR spectra) ของยางตันอ่อนอายุ 1 เดือน (bn) และยางสกิม (ล่าง).....	20
2.11 ลักษณะเครื่องบันน้ำยางข้นในโรงงานอุตสาหกรรมน้ำยาง.....	23
2.12 ภาพแสดงการจับตัวในกระบวนการรวมและการจับตัวเนื้อยางสกิมใน โรงงานอุตสาหกรรมน้ำยาง.....	24
2.13 การเกิดปฏิกิริยาเอสเทอเรฟิเชชันระหว่าง (A) อะบิติก แอซิด กับ (B) กลีเซอร์อล ได้เป็น (C) กลีเซอร์อล เอสเทอโรไรซิน.....	28
2.14 Master curve ของ $\log G'_{\gamma}$ กับ $\log \omega_{\gamma}$ ที่ 296°K (a) NR และ (b) ของผสม ระหว่าง NR กับ Oiccolty S115 *tackifier resin ในสัดส่วน 1:1.....	30
2.15 การทดสอบสมบัติการเหนี่ยวติดกันแบบ rolling ball tack ตามมาตรฐาน ASTM D3121-05, Volume: 15.06.....	34
2.16 การทดสอบสมบัติการเหนี่ยวติดกันแบบ Quick stick หรือ Loop tack มาตรฐาน ASTM D6195-03, Volume: 15.06 .....	35
2.17 การทดสอบสมบัติการเหนี่ยวติดกันแบบ probe tack ตามมาตรฐาน ASTM D2979-00, Volume: 15.06.....	36

## รายการรูป (ต่อ)

รูป	หน้า
2.18 การทดสอบแบบการดึงลอกในแนวนาง 180° และลักษณะตัวอย่างเทปภาวที่ติดอยู่กับเครื่อง tensile testing (มาตรฐาน ASTM D3330/D3330 M-04).....	37
2.19 การทดสอบการดึงลอกในแนวนาง 90° (มาตรฐาน ASTM D6252/D6252 M-98 2004, Volume: 15.09).....	38
2.20 การทดสอบแบบ Shear holding power.....	39
2.21 ปฏิกริยาอิพอกซีเดชันโดยใช้กรดเปอร์ฟอร์มิกและไฮโดรเจนเปอร์ออกไซด์ .....	42
2.22 ปฏิกริยาการเปิดวงแหวนอิพอกไซด์.....	42
3.1 ลำดับการเตรียมยางสกิม LPSR ด้วยกระบวนการทำปฏิกริยาสะพอนนิฟิเคชัน โดยใช้สารละลาย 3% w/v NaOH ที่สภาวะอุณหภูมิห้อง .....	59
3.2 เครื่องวัดระดับสีในยางธรรมชาติ.....	61
3.3 เครื่อง Nitrogen analyzer.....	62
3.4 ภาพมาตรฐานที่ใช้สำหรับการคำนวณหาปริมาณเอสเทอร์ในยางธรรมชาติ โดยใช้เมทิลสเตียเรทเป็นสารละลายมาตรฐาน.....	63
3.5 เครื่องวัดการกระจายตัวน้ำหนักโมเลกุลแบบ Gel permeation chromatography .....	64
3.6 ชิ้นทดสอบรูปดัมเบลล์ (Die C) สำหรับการทดสอบความทนต่อแรงดึง .....	67
3.7 ชิ้นทดสอบแบบมุมสำหรับการทดสอบการฉีกขาดตามมาตรฐาน ASTM D624..	68
3.8 ลำดับกระบวนการเตรียมเทปภาว PSA จากยางสกิม LPSR.....	73
3.9 ลำดับการเตรียมยางสกิม E-LPSR ด้วยกระบวนการทำปฏิกริยาอิพอกซีเดชัน ที่สภาวะ 0°C ระยะเวลา 5 h.....	74
3.10 ภาพแสดง (a) เครื่องมือการวัดมุมสัมผัสเชิงฟิสิกส์ และ (b) ลักษณะตัวอย่าง ขณะทำการวิเคราะห์มุมสัมผัส.....	76
3.11 เครื่องมือวัดความเหนียวเทปภาว Rolling ball tack tester .....	77
3.12 เครื่องทดสอบการคีบ Shear Holding Power.....	77
3.13 เครื่องทดสอบการดึงลอกแบบ 180° peel (LLOYD Tensile tester).....	78
4.1 ความเป็นไปได้ของกลไกการเกิด Bridging flocculation เมื่อใช้สารจับตัว พอลิเมอร์.....	84

## รายการรูป (ต่อ)

รูป	หน้า
4.2 การกระจายตัวขนาดอนุภาคของน้ำยาหงสกิมที่รวมรวมด้วยสารจับตัวชนิดต่างๆ เช่น (a) Accofloc <sup>®</sup> C480 (b) Waterfloc <sup>®</sup> WF4398 (c) Aronfloc <sup>®</sup> A130 และ (d) Aronfloc <sup>®</sup> A125S โดยปริมาณสารจับตัวที่ 0.02-0.10 g/L ที่สภาพ pH 5.0.....	86
4.3 การกระจายตัวขนาดอนุภาคของน้ำยาหงสกิมที่รวมรวมด้วยสารจับตัวชนิดต่างๆ เช่น (a) Accofloc <sup>®</sup> C480 (b) Waterfloc <sup>®</sup> WF4398 (c) Aronfloc <sup>®</sup> A130 และ (d) Aronfloc <sup>®</sup> A125S โดยปริมาณสารจับตัวที่ 0.02-0.10 g/L ที่สภาพ pH 5.5.....	87
4.4 ลักษณะการจับตัวน้ำยาหงสกิมด้วยสารสารละลายพอลิอิเล็กโกร์ไล็ต (a) Accofloc <sup>®</sup> C480 (b) Waterfloc <sup>®</sup> WF4398 (c) Aronfloc <sup>®</sup> A130 (d) Aronfloc <sup>®</sup> A125S เมื่อทำการปรับสภาพที่ pH 5.0 ที่ปริมาณ 0.02-0.10 g/L....	90
4.5 อิทธิพลของปริมาณสารพอลิอิเล็กโกร์ไล็ต (dose; g/L skim latex) แต่ละชนิด ต่อค่าเบอร์เซ็นต์ในการรวมเนื้อยาหงสกิม ที่สภาพ pH 5.0.....	93
4.6 อิทธิพลของปริมาณสารพอลิอิเล็กโกร์ไล็ต (dose; g/L skim latex) แต่ละชนิด ต่อค่าเบอร์เซ็นต์ในการรวมเนื้อยาหงสกิม ที่สภาพ pH 5.5.....	93
4.7 ภาพแสดง Electrostatic patch model ของคลอloydต์ที่มีประจุลบ เมื่อทำการ จับตัวด้วยสารสารละลายอิเล็กโกร์ไล็ตหรือเกลืออนินทรีย์.....	94
4.8 ความเป็นไปได้ของกลไกจำลองการเกิด Flocculation เมื่อทำการจับตัวด้วยสาร สารละลายอิเล็กโกร์ไล็ต หรือเกลืออนินทรีย์.....	95
4.9 การเปลี่ยนแปลงการกระจายตัวขนาดอนุภาคของน้ำยาหงสกิม ที่สภาพ pH 5.0 เมื่อปริมาณสารสารละลายเกลืออนินทรีย์เพิ่มขึ้นที่ปริมาณ 2.0-10.0 g/L โดย (a) NaCl (b) CaCl <sub>2</sub> (c) MgCl <sub>2</sub> และ (d) (NH <sub>4</sub> ) <sub>2</sub> SO <sub>4</sub> ตามลำดับ.....	97
4.10 การเปลี่ยนแปลงการกระจายตัวขนาดอนุภาคของน้ำยาหงสกิม ที่สภาพ pH 6.0 เมื่อปริมาณสารสารละลายเกลืออนินทรีย์เพิ่มขึ้น ที่ปริมาณ 2.0-10.0 g/L โดย (a) NaCl (b) CaCl <sub>2</sub> (c.) MgCl <sub>2</sub> และ (d) (NH <sub>4</sub> ) <sub>2</sub> SO <sub>4</sub> ตามลำดับ .....	98
4.11 ลักษณะการจับตัวน้ำยาหงสกิมด้วยสารสารละลายอิเล็กโกร์ไล็ตเกลืออนินทรีย์ (a) NaCl (b) CaCl <sub>2</sub> (c) MgCl <sub>2</sub> (d) (NH <sub>4</sub> ) <sub>2</sub> SO <sub>4</sub> เมื่อทำการปรับสภาพที่ pH 5.0 ที่ปริมาณ 2.0-10.0 g/L.....	101

## รายการรูป (ต่อ)

รูป	หน้า
4.12 อิทธิพลของปริมาณสารละลายน้ำมันทรีฟ์ (dose; g/L skim latex) แต่ละชนิดต่อค่าเบอร์เซ็นต์ในการรวมเนื้อยางสกิม เมื่อทำการปรับสภาพที่ pH 5.0....	104
4.13 อิทธิพลของปริมาณสารละลายน้ำมันทรีฟ์ (dose; g/L skim latex) แต่ละชนิดต่อค่าเบอร์เซ็นต์ในการรวมเนื้อยางสกิมเมื่อทำการปรับสภาพที่ pH 6.0....	104
4.14 ปริมาณไนโตรเจนของยางสกิม LPSR เมื่อผ่านการทำปฏิกิริยาสะพอนนิฟิเคชันที่สภาวะ 50 °C (A) 70 °C (B) และ อุณหภูมิห้อง (C).....	113
4.15 การเปลี่ยนแปลงระดับสีในยางสกิม LPSR เมื่อผ่านการทำปฏิกิริยาสะพอนนิฟิเคชันที่สภาวะ 50 °C (A) 70 °C (B) และที่สภาวะอุณหภูมิห้อง (C).....	117
4.16 การเปลี่ยนแปลงน้ำหนักโมเลกุลเฉลี่ยโดยน้ำหนัก (A) น้ำหนักโมเลกุลเฉลี่ยเชิงจำนวน (B) และการกระจายตัวน้ำหนักโมเลกุล(C) ของยางสกิม LPSR เมื่อทำการศึกษาการต้านทานการเสื่อมสภาพ ที่อุณหภูมิ 100 °C.....	120
4.17 กลไกการทำงานของสารฟีโนลิก แอนติออกซิเดนท์ ที่ทำให้การเกิดปฏิกิริยาลูกโซ่ในการออกซิเดชันในยางยุติลิง .....	124
4.18 การเปลี่ยนแปลง $\bar{M}_w$ (A) $\bar{M}_n$ (B) และ MWD (C) ของยางสกิม LPSR ที่ปรับปรุงสมบัติด้วยสารฟีโนลิก แอนติออกซิเดนท์ เมื่อบ่มเร่งด้วยความร้อนที่อุณหภูมิ 100 °C เป็นระยะเวลา 3 h.....	125
4.19 ภาพแสดงการเปรียบเทียบระดับสีในยางสกิมธรรมชาติ (A) ยางสกิม LPSR (B) และยางธรรมชาติเกรดการค้า STR5L (C).....	128
4.20 графเปรียบเทียบความเค้น-ความเครียดของยางวัลคาไนซ์ ที่เตรียมจากยางสกิม LPSR ยาง STR 5L และ IR 2200 โดยทดสอบที่อัตราเร็ว 500mm/min...	130
4.21 กลไกการเกิดการถูกทำลายของโมเลกุลยางธรรมชาติเมื่อผ่านการบดด้วยวิธีทางกล .....	134
4.22 FTIR spectra ของยางสกิม LPSR ที่ทำการบดด้วยวิธีทางกล (A) LPSR ที่ไม่เติม BHT antioxidant และ (B) LPSR ที่เติม BHT antioxidant ปริมาณ 1phr.	136
4.23 กลไกการเกิดปฏิกิริยาออกซิเดชันในยางธรรมชาติเมื่อผ่านการบด.....	136
4.24 ภาพการเปรียบเทียบลักษณะทางกายภาพของสารละลายน้ำมันทรีฟ์ (A) และสารละลายน้ำมันทรีฟ์ (B) ของพอลิเมอร์ผสม LPSR/PVA20 (B).....	139

## รายการรูป (ต่อ)

รูป	หน้า
4.25 FTIR spectra ของพอลิเมอร์ผสม LPSR/PVA (A) 3200-3400 cm <sup>-1</sup> (B) 1710-1740 cm <sup>-1</sup> เมื่อปรับปริมาณความเข้มข้นของ PVA ที่ 0 5 10 20 และ 30 phr.....	141
4.26 ภาพถ่ายจากกล้องจุลทรรศน์อิเล็กตรอนแบบส่องการดูของพอลิเมอร์ผสม LPSR/PVA ที่อัตราส่วนของการผสมต่างๆ โดย (A) LPSR/PVA 10phr (B) LPSR/PVA 20phr และ (C) LPSR/PVA 30phr.....	142
4.27 DSC thermogram ของพอลิเมอร์ผสม LPSR/PVA ที่ปรับปริมาณความเข้มข้น PVA 10 20 และ 30 phr โดยเปรียบเทียบกับยางสกิม LPSR และ PVA.....	143
4.28 การเปลี่ยนแปลงความหนืดของสารละลายการ PSA และการพอลิเมอร์ผสม PSA/PVA20 (A) lot1; no BHT และ (B) lot 2; BHT 1phr เมื่อปรับปริมาณ ไฮโดรคาร์บอนเรซินที่ปริมาณ 0-100 phr .....	145
4.29 ภาพถ่ายจากกล้องจุลทรรศน์อิเล็กตรอนแบบส่องการดูของการ PSA โดยที่ (A) PSA (HC-resin 60 phr) และ (B) PSA/PVA20 (HC-resin 60 phr).....	146
4.30 กราฟ DMTA แสดงอิทธิพลของปริมาณไฮโดรคาร์บอนเรซินที่มีต่อค่า G' ของ การ PSA และการพอลิเมอร์ผสม PSA/PVA20 ที่เตรียมได้จากการดูของ LPSR เมื่อใช้ปริมาณไฮโดรคาร์บอนเรซิน 60 phr.....	147
4.31 กราฟ DMTA แสดงอิทธิพลของปริมาณไฮโดรคาร์บอนเรซิน ที่มีต่อค่า loss tangent (tanδ) ของการ PSA และการพอลิเมอร์ผสม PSA/PVA20 ที่เตรียม ได้จากการดูของ LPSR เมื่อใช้ปริมาณไฮโดรคาร์บอนเรซิน 60 phr.....	149
4.32 X-ray diffraction patterns ของการ PSA ที่เตรียมได้จากการดูของ LPSR เมื่อ ใช้ปริมาณไฮโดรคาร์บอนเรซินที่ปรับปริมาณความเข้มข้น 60 phr.....	150
4.33 X-ray diffraction patterns ของการพอลิเมอร์ผสม PSA/PVA20 ที่เตรียมได้ จากการดูของ LPSR เมื่อใช้ปริมาณไฮโดรคาร์บอนเรซินที่ปรับปริมาณความเข้มข้น 60 phr.....	151
4.34 อิทธิพลของไฮโดรคาร์บอนเรซินต่อการเปลี่ยนแปลงค่ามูสัมผัสของการ PSA ที่เติมและไม่เติม BHT เมื่อปรับปริมาณที่ 0-100 phr.....	152
4.35 อิทธิพลของไฮโดรคาร์บอนเรซินต่อการเปลี่ยนแปลงค่ามูสัมผัสของการ พอลิเมอร์ผสม PSA/PVA20 ที่เติมและไม่เติม BHT เมื่อปรับปริมาณที่ 0-100 phr.....	153

## รายการรูป (ต่อ)

รูป	หน้า
4.36 ลักษณะการเปลี่ยนแปลงค่ามุ่งสัมผัสของการ PSA (a) 0 phr HC-resin (b) 60 phr HC-resin และการพอลิเมอร์ผสม PSA/PVA20 (c) 0 phr HC-resin และ (d) 60 phr HC-resin .....	153
4.37 อิทธิพลของไฮโดรคาร์บอนเรซินต่อการเปลี่ยนแปลงค่าความเหนียวของการ PSA ที่เติมและไม่เติม BHT เมื่อปริมาณที่ 0-100 phr.....	155
4.38 อิทธิพลของไฮโดรคาร์บอนเรซินต่อการเปลี่ยนแปลงค่าความเหนียวของ การพอลิเมอร์ผสม PSA/PVA20 ที่เติมและไม่เติม BHT เมื่อปริมาณที่ 0-100 phr.....	155
4.39 อิทธิพลของไฮโดรคาร์บอนเรซินต่อการเปลี่ยนแปลงสมบัติการคีบของ การ PSA ที่เติมและไม่เติม BHT เมื่อปริมาณที่ 0-100 phr .....	157
4.40 อิทธิพลของไฮโดรคาร์บอนเรซินต่อการเปลี่ยนแปลงสมบัติการคีบของ การ พอลิเมอร์ผสม PSA/PVA20 ที่เติมและไม่เติม BHT เมื่อปริมาณที่ 0-100 phr.....	157
4.41 อิทธิพลของไฮโดรคาร์บอนเรซินต่อการเปลี่ยนแปลงสมบัติการดึงลอกของ การ PSA ที่เติมและไม่เติม BHT เมื่อปริมาณที่ 0-100 phr.....	159
4.42 อิทธิพลของไฮโดรคาร์บอนเรซินต่อการเปลี่ยนแปลงสมบัติการดึงลอกของ การ พอลิเมอร์ผสม PSA/PVA20 ที่เติมและไม่เติม BHT เมื่อปริมาณที่ 0-100 phr.....	159
4.43 การเปรียบเทียบ FTIR spectra ของยางสกิม LPSR (a) และ E-LPSR (b).....	162
4.44 โปรดอนนิวเคลียร์แมกเนติกเรโซแนนซ์สเปกตรัม ( $^1\text{H-NMR}$ spectrum) ของยางสกิม E-LPSR .....	163
4.45 ภาพถ่ายจากกล้องจุลทรรศน์อเล็กตรอนแบบส่องการดูของ การพอลิเมอร์ผสม E-PSA60/PVA ที่ปริมาณ PVA ต่างๆ กัน โดย (a) E-PSA60 (PVA 0phr) (b) PVA 10phr (c) PVA 20phr และ (d) PVA 30phr.....	165
4.46 กราฟ DMTA แสดงอิทธิพลของไฮโดรคาร์บอนเรซินที่มีต่อค่า G' ของการ E-PSA และการพอลิเมอร์ผสม E-PSA/PVA20 ที่เติมและไม่เติม BHT เมื่อใช้ไฮโดรคาร์บอนเรซินที่ปริมาณ 60 phr.....	166

## รายการรูป (ต่อ)

รูป	หน้า
4.47 กราฟ DMTA แสดงอิทธิพลของไฮโดรคาร์บอนเรซินที่มีต่อ tanδ ของการ E-PSA และการพอลิเมอร์ฟลัม E-PSA/PVA20 ที่เตรียมได้จากยางสกิม E-LPSR เมื่อใช้ไฮโดรคาร์บอนเรซินที่ปริมาณ 60 phr.....	168
4.48 X-ray diffraction patterns ของการ E-PSA และการพอลิเมอร์ฟลัม E-PSA/PVA20 ที่เตรียมได้จากยางสกิม E-LPSR เมื่อใช้ไฮโดรคาร์บอนเรซินที่ปริมาณ 60 phr .....	169
4.49 X-ray diffraction patterns ของการ E-PSA และการพอลิเมอร์ฟลัม E-PSA/PVA20 ที่เตรียมได้จากยางสกิม E-LPSR เมื่อใช้ไฮโดรคาร์บอนเรซินที่ปริมาณ 60 phr .....	170
4.50 อิทธิพลของ PVA ต่อการเปลี่ยนแปลงค่ามุ่งสัมผัสของการพอลิเมอร์ฟลัม PSA60/PVA และ E-PSA60/PVA เมื่อแปรปริมาณที่ 0-30 phr.....	171
4.51 อิทธิพลของ PVA ต่อการเปลี่ยนแปลงค่าความเหนียวของ การพอลิเมอร์ฟลัม PSA60/PVA และ E-PSA60/PVA เมื่อแปรปริมาณที่ 0 5 10 20 และ 30 phr...	172
4.52 อิทธิพลของ PVA ต่อการเปลี่ยนแปลงสมบัติการคืนของการพอลิเมอร์ฟลัม PSA60/PVA และ E-PSA60/PVA เมื่อแปรปริมาณที่ 0-30 phr .....	173
4.53 อิทธิพลของ PVA ต่อการเปลี่ยนแปลงสมบัติการดึงลอก ( $180^\circ$ peel) ของการพอลิเมอร์ฟลัม PSA60/PVA และ E-PSA60/PVA เมื่อแปรปริมาณที่ 0 5 10 20 และ 30 phr.....	174

## สัญลักษณ์คำย่อและตัวย่อ

### ตัวย่อ

ตัวย่อ	ชื่อภาษาอังกฤษ	ชื่อภาษาไทย
BHT	2,6-Di- <i>tert</i> -butyl- <i>p</i> -cresol	ไบบิวทิลครีโซน
<sup>13</sup> C-NMR	Carbon-13 nuclear magnetic resonance	คาร์บอน-13 นิวเคลียร์แมกน็อกซ์
DRC	Dry rubber content	ปริมาณเนื้อยางแห้ง
DPNR	Deprotienized natural rubber	ยางธรรมชาติกำจัดโปรตีน
ENR	Epoxidized natural rubber	ยางธรรมชาติอิพอกซิไดซ์
E-LPSR	Epoxidized Low protein skim rubber	ยางสกิมโปรตีนต่ำอิพอกซิไดซ์
FT-IR	Fourier-transform Infrared Spectroscopy	ฟรุเรีย-ทรานส์ฟอร์ม อินฟราเรด สเปกตรอสโคปี
GPC	Gel Permeation Chromatography	เจล เพอร์เมเตชัน โครมาโตกราฟฟิ
<sup>1</sup> H-NMR	Proton-1 nuclear magnetic resonance	โปรตอน นิวเคลียร์แมกน็อกซ์ เนติกเรซ
h	Hour	ชั่วโมง
LRP	Large Rubber Particle	อนุภาคยางขนาดใหญ่
LPSR	Low Protein Skim Rubber	ยางสกิมโปรตีนต่ำ
$\bar{M}_n$	Number average molecular weight	น้ำหนักโมเลกุลเฉลี่ยเชิงจำนวน
$\bar{M}_w$	Weight average molecular weight	น้ำหนักโมเลกุลเฉลี่ยโดยน้ำหนัก
MWD	Molecular weight distribution	การกระจายตัวน้ำหนักโมเลกุล
MBETB	2,2'-Methylene bis(4-ethyl-6- <i>tert</i> -butylphenol)	เมทีลีนเอทิลฟีโนอล
MPa	Mega Pascal	เมกะปาสคัล
NR	Natural rubber	ยางธรรมชาติ
PSA	Pressure-sensitive adhesive	การชนิดไวต่อแรงดัน
E-PSA	Pressure-sensitive adhesive of Epoxidized LPSR	การชนิดไวต่อแรงดันจากยางสกิมอิพอกซิไดซ์โปรตีนต่ำ
PET	Poly (ethylene terephthalate)	พอลิเอทิลีนเทเรฟทาเรต
PVA	Poly vinyl alcohol	พอลิไวนิวแอลกอฮอล

## สัญลักษณ์คำย่อและตัวย่อ(ต่อ)

### ตัวย่อ

ตัวย่อ	ชื่อภาษาอังกฤษ	ชื่อภาษาไทย
phr	Part per hundred rubber	ส่วนต่อยางร้อยส่วน
P <sub>o</sub>	Initial plasticity index	ดัชนีความอ่อนตัวเริ่มต้น
PRI	Plasticity retention index	ดัชนีการทนต่อความร้อน
SEM	Scanning electron microscopy	กล้องจุลทรรศน์อิเล็กตรอน แบบส่องกราด
SRP	Small rubber particle	อนุภาคยางขนาดเล็ก
STR	Standard Thai rubber	มาตรฐานยางไทย
THF	Tetrahydrofuran	เททترะไฮโดรฟิวเรน
TBMTBP	4,4'-Thio bis(6-tert-butyl- <i>m</i> -cresol)	ไทดิบิวทิลคริโซน

## สัญลักษณ์คำย่อและตัวย่อ(ต่อ)

### สัญลักษณ์

สัญลักษณ์	ชื่อภาษาอังกฤษ	ชื่อภาษาไทย
cP	Centi Poises	เซนติพ้อยส์
°C	Degree Celsius	องศาเซลเซียส
G'	Storage modulus	ค่ามอดูลัสstatic
G''	Loss modulus	ค่ามอดูลัสสูญเสีย
tan δ	Loss tangent	ค่าแทนเจนต์สูญเสีย
2θ	Two theta	2 เทต้า
g	Gram	กรัม
kg	Kilogram	กิโลกรัม
L	Liter	ลิตร
N	Newton	นิวตัน
min	Minute	นาที
mm	Millimeter	มิลลิเมตร
mm/min	Millimeter per minute	มิลลิเมตรต่อนาที
N/25mm	Newton per 25millimeter	นิวตันต่อ 25 มิลลิเมตร
mV	Milli-volte	มิลลิโวลต์
μm	Micrometer	ไมโครเมตร
rpm	Round per minute	รอบต่อนาที
s	sec	วินาที
T <sub>g</sub>	Glass transition temperature	อุณหภูมิสถานะคล้ายแก้ว
(w/v)	Weight per volume	น้ำหนักต่อน้ำ
(w/w)	Weight per weight	น้ำหนักต่อน้ำหนัก
%wt.	% by weight	เปอร์เซ็นต์โดยน้ำหนัก

## บทที่ 1

### บทนำ

#### 1.1 บทนำต้นเรื่อง

ทวีปเอเชียเป็นศูนย์กลางการผลิตยางธรรมชาติ ซึ่งมีกำลังการผลิตมากถึง 95% ของการผลิตทั้งหมด ประเทศไทยเป็นหนึ่งในสามของประเทศผู้ผลิตยางธรรมชาติรายใหญ่ที่สุด ของโลก ซึ่งยางธรรมชาติเป็นสินค้าเป็นสินค้าเกษตรที่ทำรายได้เข้าประเทศไทยในอันดับต้นๆ เนื่องจากเป็นวัตถุดิบที่จำเป็นสำหรับการผลิตผลิตภัณฑ์หลากหลายประเภท เช่น ยางรถยนต์ ชิ้นส่วนอะไหล่ยานยนต์ ถุงมือยาง ถุงยางอนามัย เส้นด้ายางยีด กาว และอื่นๆ ยางธรรมชาติ ส่วนใหญ่ถูกส่งออกไปยังประเทศที่พัฒนาแล้ว เช่น อเมริกา ญี่ปุ่น และ จีน ในรูปของยางแห้ง เช่น ยางแผ่นร่มควัน ยางแห้ง ยางเครฟ และในรูปของน้ำยางข้น เพื่อนำไปใช้เป็นวัตถุดิบในการแปรรูปเป็นผลิตภัณฑ์ที่มีมูลค่าเพิ่ม และกลายเป็นสินค้านำเข้าของหลายประเทศรวมทั้งประเทศไทยด้วย ซึ่งก่อให้เกิดผลกระทบต่ออุตสาหกรรมยางธรรมชาติซึ่งมีความสำคัญเป็นอย่างยิ่ง เพื่อให้เกิดการผลิตที่ครบวงจรตั้งแต่ในระดับภาค การเกษตรจนถึงระดับภาคอุตสาหกรรม ซึ่งจะทำให้เศรษฐกิจและเทคโนโลยีของประเทศไทย ทัดเทียมกับนานาประเทศ

ลักษณะเด่นของยางธรรมชาติ คือ เป็นยางเนกประสงค์ที่สามารถใช้ได้หลากหลายรูปแบบทั้งด้านอุตสาหกรรม การแพทย์ หรือในครัวเรือน และมีความพร้อมใช้ทั้งในรูปของน้ำยางและยางแห้ง อีกทั้งยังมีคุณสมบัติทางกายภาพที่ดี คือ ทนต่อแรงดึงได้มาก hegak กับผลิตภัณฑ์ที่ต้องการความบางแต่แข็งแรง เช่น ถุงมือยาง ถุงยางอนามัย เป็นต้น นอกจากนี้ยังมีสมบัติการละลายมาร้อนที่ทำให้เหมาะสมกับการผลิตยางล้อ โดยเฉพาะยางล้อเครื่องบินหรือรถแข่ง และยังมีราคาถูกกวายางสังเคราะห์ แต่อย่างไรก็ตามยางธรรมชาติมีสมบัติบางประการที่ก่อให้เกิดปัญหาสำคัญได้แก่ การก่อให้เกิดภัยมั่นแพ็ชนิดเนียบพลัน และความป่วนแปรในสมบัติของยาง อาทิ ความบริสุทธิ์ของยางธรรมชาติที่ขึ้นอยู่กับปริมาณองค์ประกอบอื่นๆ ที่ไม่ใช่ยาง ความหนืด และความยืดหยุ่น ซึ่งมีผลต่อความสามารถในการนำไปใช้งาน โดยพบว่าถ้าเก็บยางไว้เป็นเวลานานทำให้ความยืดหยุ่นของยางเสียไป เป็นต้น

ในกระบวนการผลิตน้ำยางข้น ยางธรรมชาติที่ผ่านกระบวนการบีบแยกน้ำ สามารถแยกออกเป็นสองส่วน ส่วนแรกเป็นน้ำยางที่มีอนุภาคขนาดใหญ่เรียกว่า น้ำยางข้น โดย

มีความเข้มข้นประมาณ 60%wt. และในส่วนที่สอง เป็นส่วนที่ถูกแยกออกเป็นอุ่นอยู่กับชั้นนำและมีขนาดอนุภาคยางเล็กกว่า ในทางอุตสาหกรรมน้ำยางเรียกว่า “หางน้ำยาง” หรือ “ยางสกิม” ซึ่งโดยปกติจัดว่าเป็นของเสียจากการกระบวนการผลิต เนื่องจากมีปริมาณเนื้อยางต่ำ (ไม่เกิน 5% wt.) และส่วนที่ไม่ใช้ยางในปริมาณที่มาก โดยปกติในอุตสาหกรรมผลิตน้ำยางนิยมใช้กรดกำมะถันชนิดเข้มข้นในการจับตัวเนื้อยางสกิมที่เหลืออยู่ในหางน้ำยางนี้ ยางสกิมที่ได้จากการนี้มีคุณภาพต่ำ เนื่องจากมีสมบัติทางกายภาพที่ไม่ดีและยังมีกลิ่นที่เหม็น เป็นเหตุให้ยางสกิมมีราคาที่ต่ำมาก สำหรับการนำไปใช้งานจึงเหมาะสมกับงานที่ไม่ต้องการสมบัติทางกายภาพที่ดีนัก เช่น ยางปูรองพื้น และยางรัดของ เป็นต้น และเนื่องจากในหางน้ำยางมีองค์ประกอบที่นอกเหนือจากยางสกิมและน้ำ ซึ่งที่จัดว่าเป็นสารปนเปื้อนมากหลายชนิด ได้แก่ ไขมัน โปรตีน โลหะหนัก เป็นต้น ดังนั้นการทำการทำศึกษาถึงวิธีการทำให้ยางสกิมให้มีความบริสุทธิ์และคุณภาพมากขึ้นอย่างมีประสิทธิภาพจึงมีความจำเป็นอย่างยิ่ง

กระบวนการรวบรวมเนื้อยางสกิมเป็นปัญหาอย่างมากในโรงงานอุตสาหกรรม เนื่องจากน้ำยางสกิมมีเนื้อยางในปริมาณที่ต่ำและมีขนาดอนุภาคที่เล็ก ส่งผลทำให้การรวบรวมเนื้อยางสกิมแยกออกมาจากชั้นเซรั่มได้ยาก และการใช้กรดกำมะถันในปริมาณมากๆ ในการจับตัวก็ยังได้ก่อให้เกิดปัญหาที่สำคัญต่ออุตสาหกรรมผลิตน้ำยางคือ เรื่องของมลภาวะต่อสิ่งแวดล้อม อย่างไรก็ตามพบว่าที่ผ่านมา มีงานวิจัยที่ทำการศึกษาการจับตัวน้ำยางสกิม ยกตัวอย่าง เช่น การเร่งให้เกิดการจับน้ำยางสกิมตัวด้วยสารละลายไดอกทิลโซเดียมซัลฟอซัคซิเนต (dioctyl sodium sulfosuccinate) และแคลเซียมคลอไรด์ ( $\text{CaCl}_2$ ) ซึ่งวิธีนี้ใช้ระยะในการจับตัวประมาณ 2 วัน (John, C.K., Weng, S.S., 1973) กระบวนการการทำปฏิกิริยาน้ำยางสกิมด้วยเอ็นไซม์แล้วจึงทำการจับตัวด้วยกรด เป็นวิธีการจับตัวและลดปริมาณโปรตีนในน้ำยางสกิม ทำให้ได้ยางสกิมที่มีความบริสุทธิ์มากขึ้น (Nithi-Uthai, et al., 1998) กระบวนการรวบรวมอนุภาคน้ำยางสกิมปราศจากโปรตีนด้วยเกลืออนินทรีย์และเอนไซม์เป็นกระบวนการกำจัดโปรตีนด้วยเอ็นไซม์ (deproteinization) ร่วมกับเทคนิคการใช้เกลืออนินทรีย์ร่วม (salting-out technique) (Sakdapipanich, J.T., et al., 2002) การแก้ปัญหาการไม่จับตัวของน้ำยางสกิมด้วยสารช่วยในการจับตัว เช่น เลชิติน พอลิเอไมด์ (lechitine polyamines) และ พอลิอะคริเลต (polyacrylate) ซึ่งให้ผลดีเฉพาะน้ำยางสกิมเท่านั้น (Nithi-Uthai, et al., 1998)

ในอุตสาหกรรมกาวอิเลสโตเมอร์ส่วนใหญ่ใช้เตรียมกาวชนิดไวนต์แรงดัน (pressure sensitive adhesive, PSA) และกาวยางชนิดต่างๆ (rubber-based adhesive, RBA) (Pocius Al. V., 1997) และคุณสมบัติที่สำคัญของกาว PSA คือ ความเหนียวติดกัน (tack) และความแข็งแรงของเนื้อกาว (cohesive strength) นอกจากนี้กาว PSA ยังต้องสามารถถูกหลอกออกจากวัสดุได้อย่างสมบูรณ์ และความเหนียวของกาว PSA สามารถเตรียมได้โดยการผสมอิเลสโตเมอร์กับวัสดุที่มีมวลโมเลกุลต่ำของเทคโนโลยีไฟเบอร์เรซิโน่ (tackifier resin) ยางธรรมชาติ จัดเป็นอิเลสโตเมอร์แรกที่ใช้เตรียมกาว PSA ซึ่งโดยต้องนำยางธรรมชาติที่อยู่ในรูปยางแผ่น

รวมควรนานาดเพื่อลดมวลโมเลกุล หลังจากนั้นละลายในตัวทำละลายที่เหมาะสมก่อนผสมกับเทคโนโลยีไฟเซอร์เรชินในลำดับต่อไป แต่อย่างไรก็ตามพบว่า Yang ธรรมชาติโดยทั่วไปมีปัญหาที่สำคัญคือ การแข็งตัวของยางระหว่างการเก็บ โดยค่าความหนืดของยางจะค่อยๆ เพิ่มขึ้นเมื่อเก็บยางไว้เป็นระยะเวลานานๆ ซึ่งส่งผลต่อการใช้พลังงานที่สูงมากในการลดมวลโมเลกุลของยางเนื่องจากการเกิดโครงสร้างแบบกึ่งก้านในยางธรรมชาติ สาเหตุเกิดจากการด้วยมันที่ติดอยู่บนโมเลกุลยางธรรมชาติ แต่จากการวิจัยที่ผ่านมาพบว่า ยางสกิมไม่พบรด้วยมันจึงนำไปสู่การสันนิษฐานว่า ยางสกิมไม่มีโครงสร้างแบบกึ่งก้าน แต่ประกอบไปด้วยโมเลกุลที่เป็นสายโซ่ตรงโดยไม่มีฟลักโพรพิดที่ตำแหน่งที่ปลายสายโซ่โมเลกุล และมีความว่องไวต่อการเกิดปฏิกิริยาในการต่อเติมโมเลกุล (Ohya, N., et al., 2000) ยางสกิมเมื่อผ่านการทำให้บริสุทธิ์และกำจัดส่วนที่ไม่ใช้ยางแล้วมีสมบัติการละลายในตัวทำละลายที่ดีมากกวายยางธรรมชาติโดยทั่วไป จึงเหมาะสมสำหรับการประยุกต์ใช้เป็นวัตถุดีบในการผลิตเทปกาวชนิดไวต์ตอแรงดัน (Nawamawat, K., et al., 2008)

ในงานวิจัยนี้ ส่วนแรกทำการศึกษาวิธีการรวบรวมและจับตัวเนื้อยางสกิมแบบใหม่ด้วยสารละลายพอลิอิเล็กโทรไลต์และเกลืออนินทรีย์ ส่วนที่สองทำการศึกษากระบวนการทำให้ยางสกิมมีความบริสุทธิ์ขึ้น มีปริมาณโปรตีนต่ำโดยอาศัยกระบวนการทำปฏิกิริยาสะพอนนิฟิเดชัน (saponification) ด้วยสารละลายโซเดียมไฮดรอกไซด์ รวมถึงการปรับปรุงคุณสมบัติยางสกิมที่เตรียมได้ให้มีคุณภาพที่ดียิ่งขึ้น และในส่วนสุดท้ายเป็นการศึกษาการนำยางสกิมโปรตีนต่ำ (low-protein skim rubber, LPSR) ไปประยุกต์ใช้งานในด้านกาวชนิดไวต์ตอแรงดัน รวมทั้งทำการศึกษาและพัฒนาปรับปรุงสมบัติการยึดติด โดยการปรับปรุงโครงสร้างยางสกิมด้วยการทำปฏิกิริยาอิพอกซิเดชัน (epoxidation) และเทคนิคการเตรียมกาว PSA จากพอลิเมอร์ผสมระหว่างยางสกิมโปรตีนต่ำ (LPSR) และ พอลิไวนิลแอลกอฮอล์ (PVA)

## 1.2 วัตถุประสงค์ของงานวิจัย

1. เพื่อพัฒนายางสกิมให้มีปริมาณโปรตีนต่ำและมีคุณภาพสูงด้วยเทคนิคต่างๆ เพื่อการประยุกต์ใช้ในระดับอุตสาหกรรม
2. เพื่อศึกษาเทคนิคและกระบวนการรวบรวมเนื้อยางสกิม เพื่อให้มีปริมาณเนื้อยางสกิมเข้มข้นขึ้นและลดปริมาณสิ่งเจือปนที่ไม่ใช้ยางให้น้อยลง
3. เพื่อศึกษาระบวนการแปรรูปยางสกิมเพื่อการนำไปใช้ประโยชน์ทางด้านการยึดติด (adhesion) ด้วยเทคนิคต่างๆ รวมทั้งทดสอบคุณสมบัติทางกายภาพและสมบัติเชิงกล

### 1.3 ขอบเขตของการวิจัย

1. ศึกษาเทคนิคและกระบวนการรวบรวมและจับตัวเนื้อยางสกิม เพื่อให้มีปริมาณเนื้อยาง สกิมเข้มข้นขึ้น และลดปริมาณของค์ประกอบอื่นๆที่ไม่ใช่ยาง (non-rubber component) ให้น้อยลง
2. ศึกษาระบวนการเตรียมยางสกิมให้มีความบริสุทธิ์มากขึ้น โดยอาศัยกระบวนการทางเคมี หรือการทำปฏิกิริยาสะพอนนิฟิเดชัน
3. ศึกษาระบวนการแปรรูปและประยุกต์ใช้ยางสกิมเพื่อใช้ทางด้านกาวชนิดไวต์อ่อนแรงดัน วิเคราะห์สมบัติทางกายภาพและสมบัติทางด้านการยึดติด
4. ศึกษาระบวนการปรับปรุงโครงสร้างของยางสกิมบริสุทธิ์ ให้มีสมบัติในด้านการยึดติดที่ดี ยิ่งขึ้น ด้วยการทำปฏิกิริยาอิพอกซิเดชันและเตรียมแบบพอลิเมอร์สมรรถห่วงยางสกิม LPSR และ PVA

### 1.4 ประโยชน์ที่คาดว่าจะได้รับ

1. เป็นต้นแบบในการผลิตยางสกิมคุณภาพสูงเกรดต่างๆ ในระดับอุตสาหกรรมได้
2. เป็นต้นแบบของการพัฒนาระบวนการจับตัวแบบใหม่ในกระบวนการผลิตยางสกิม
3. สามารถแก้ปัญหาน้ำเสียที่เกิดจากการใช้กรดซัลฟูริกในการจับตัวจากกระบวนการผลิตยางยางสกิมได้
4. สามารถแปรรูปยางสกิมคุณภาพสูง เป็นผลิตภัณฑ์ที่มีมูลค่าทางเศรษฐกิจได้ดียิ่งขึ้น เช่น การ PSA ผลิตจากยางสกิมโปรตีนต่า
5. เป็นองค์ความรู้พื้นฐานทางวิทยาศาสตร์และเทคโนโลยีเพื่อที่จะนำไปสู่การคิดค้นและการพัฒนาที่สำคัญต่อๆ ไป
6. เป็นการพัฒนานักวิจัยรุ่นใหม่

## 1.5 แผนการดำเนินงานตลอดโครงการ

กิจกรรม / ขั้นตอน	เดือน																					
	1	2	3	4	5	6	7	8	9	10	11	12	13	14	15	16	17	18	19	20	21	22
1) ศึกษาข้อมูล						→																
2) วางแผนและเตรียมตัวอย่าง			←								→											
3) ทำการทดลอง				←															→			
4) เขียนรายงาน							←												→			
5) สอนวิทยานิพนธ์																				←	→	

## 1.6 สถานที่ทำวิจัย

สาขาวิชาศาสตร์พอลิเมอร์ คณะวิทยาศาสตร์ มหาวิทยาลัยสงขลานครินทร์

โครงการวิจัยและพัฒนาพอลิเมอร์ สถาบันวิจัยวิทยาศาสตร์และเทคโนโลยี มหาวิทยาลัยมหิดล

## บทที่ 2

### เอกสารและงานวิจัยที่เกี่ยวข้อง

#### 2.1 ยางธรรมชาติ

(วรรณณ์, 2549)

ยางธรรมชาติ มีต้นกำเนิดจากป่าดงดิบในทวีปอัฟริกาและอเมริกาใต้ และมีหลักหลายสายพันธุ์ที่สามารถให้น้ำยางได้ เช่น ยางพารา ยางกัตตาเบอชา ยางบลาตา ยางราวยูเล เป็นต้น แต่เนื่องจากยางที่ได้จากต้นพืชแต่ละชนิดจะมีสมบัติ และส่วนประกอบแตกต่างกัน จึงทำให้พืชบางชนิดให้น้ำยางที่นำไปใช้ประโยชน์อย่างกว้างขวาง และมีความสำคัญในเชิงพาณิชย์ แต่พืชบางชนิดให้น้ำยางที่ไม่สามารถนำไปใช้ประโยชน์ได้เลย

ยางพารา ได้จากน้ำเลี้ยงของต้นยางพันธุ์ *Hevea Brasiliensis* ปัจจุบันรู้จักในนาม natural rubber (NR) มีถิ่นกำเนิดแบบอะเมซอนในทวีปอเมริกาใต้ จนกระทั่งถูกนำมาแพร่พันธุ์ต่อทางทวีปแอเชียตะวันออกเฉียงใต้ โดยเริ่มจากศรีลังกา มาเลเซีย ซึ่งเป็นจุดเริ่มต้นของ การปลูกต้นยาง *Hevea* มากนถึงปัจจุบันนี้ และเป็นที่ทราบกันโดยทั่วไปว่าต้นยางพารา (*Hevea Brasiliensis*) เป็นแหล่งวัตถุดิบยางธรรมชาติที่สำคัญที่สุดในปัจจุบัน อาจนับเป็นพืชชนิดเดียวที่ให้ยางธรรมชาติซึ่งนำมาใช้ประโยชน์ได้อย่างกว้างขวางในอุตสาหกรรมผลิตวัตถุสำเร็จรูปยาง

กัตตาเบอชา และบลาตา (gutta-percha and balata) เป็นวัตถุดิบที่ได้จากต้นไม้ใน sapotaceae family มีลักษณะคล้ายยางพารา เนื่องจากเป็นทรานส์ไอโซเมอร์ (trans isomer) ของโพลิไอโซพรีน (poly isoprene) ในมาเลเซียและอินโดนีเซียเก็บเกี่ยววัตถุดิบนี้จากน้ำเลี้ยงของต้น *palagium iso nandra* และ *payana* การผลิตยางบลาตาในอเมริกาใต้โดยการทำให้ห่อน้ำเลี้ยงของต้น *mimosa sop* or *ecclinusa balata* แห้ง วัตถุดิบจากกัตตาเบอชา และบลาตาแตกต่างจากยางจากต้นยางพารา คือมีปริมาณเรซินสูง ไม่มีความยืดหยุ่น ไม่มีลักษณะการทำให้คงรูป เช่นกรณีของยางพารา และยังมีความเปลี่ยนแปลงในช่วงอุณหภูมิระหว่าง 70–100°C จากแข็งกระด้างไปเป็นลักษณะคล้ายพลาสติก (hard material into a plastic-like one)

ราวยูเล (guayule) หรือ *parthenium argentatum* เป็นยางอีกชนิดหนึ่งที่มีการใช้ในเชิงพาณิชย์ มีลักษณะเป็นพืชล้มลุกที่มีลักษณะเป็นพุ่มไม้เตี้ยๆ ยางชนิดนี้มีถิ่นกำเนิดตามธรรมชาติอยู่ในพื้นที่กึ่งแห้งแล้งในแบบทางตอนเหนือของประเทศเม็กซิโก และทางตะวันตกเฉียงใต้ของประเทศสหรัฐอเมริกา ให้สารเรซินที่มีลักษณะคล้ายยาง มีส่วนประกอบของสารไฮโดรคาร์บอน (hydrocarbon) ประมาณ 70% เรซิน (resin) 20% และส่วนของสารที่ไม่ละลายในเบนซิน (benzene-insoluble) ประมาณ 10% ในทางเคมียางจากราวยูเลเป็น ซิส-โพลิไอโซ

พรีน (*cis*-polyisoprene) และเนื่องจากมีส่วนของเรซินสูง จึงทำให้สารนี้เหนี่ยว (tacky) และคล้ายพลาสติกมาก ถลวยตัวได้ง่าย การทำให้คงรูปช้า และให้สถานการณ์คงรูป (state of cure) ต่ำกว่ากรณีของยางพารา โดยที่ยางวายญี่律มีค่าความอ่อนตัวเริ่มต้น (plasticity) สูงมาก จึงได้มีความพยายามที่จะใช้เป็นยางเทอร์โมพลาสติก (thermoplastic NR)

ลักษณะเด่นอีกอย่างของยางธรรมชาติคือ ความยืดหยุ่น (elasticity) ยางธรรมชาติมีความยืดหยุ่นสูง เมื่อแรงภายนอกที่มากระทำกับมันหมดไป ยางก็จะกลับคืนสู่ปร่องและขนาดเดิม (หรือใกล้เคียง) อย่างรวดเร็ว ยางธรรมชาติยังมีสมบัติเดียวกันด้านการเหนี่ยวติดกัน (tack) ซึ่งเป็นสมบัติสำคัญของการผลิตผลิตภัณฑ์ที่ต้องอาศัยการประกอบ (assemble) ขึ้นส่วนต่างๆเข้าด้วยกัน เช่น ยางรถยนต์ เป็นต้น อย่างไรก็ตามโดยลำพังตัวยางดิบจะมีข้อจำกัดในการใช้งาน เนื่องจากมีสมบัติเชิงกลต่ำ และลักษณะทางกายภาพจะไม่เสถียรขึ้นอยู่กับการเปลี่ยนแปลงอุณหภูมิเป็นอย่างมาก กล่าวคือยางมีลักษณะอ่อนเยื้อและเหนี่ยวเหนอหะหนะเมื่อร้อน แต่แข็งเปราะเมื่ออุณหภูมิต่ำ ด้วยเหตุนี้การใช้ประโยชน์จากยางจำเป็นต้องมีการผสมยางกับสารเคมีต่างๆ เช่น กำมะถัน ผงเข้มดำ และสารตัวเร่งต่างๆ เป็นต้น หลังจากการบดผสมยางผสมหรือยางคอมพาวด์ (rubber compound) ที่ได้ถูกนำไปขึ้นรูปในแม่พิมพ์ภายใต้ความร้อนและความดัน กระบวนการนี้เรียกว่า วัลคาไนเซชัน (vulcanization) ยางที่ผ่านการขึ้นรูปนี้เราเรียกว่า "ยางสุกหรือยางคงรูป" (vulcanized) ซึ่งสมบัติของยางคงรูปที่ได้จึงมีความเสถียรไม่เปลี่ยนแปลงตามอุณหภูมิมากนัก และมีสมบัติเชิงกลดีขึ้น ยางธรรมชาติถูกนำไปใช้ในการผลิตผลิตภัณฑ์ยางต่างๆ มากมาย เนื่องจาก

1. ยางธรรมชาติมีสมบัติเดียวกันด้านการทนต่อแรงดึง (tensile strength) แม้ไม่ได้เติมสารเสริมแรง และมีความยืดหยุ่นสูงมาก จึงเหมาะสมที่สำหรับใช้ในการผลิตผลิตภัณฑ์บางชนิด เช่น ถุงมือยาง ถุงยางอนามัย ยางรัดของ เป็นต้น

2. ยางธรรมชาติมีสมบัติเชิงพลวัต (dynamic properties) ที่ดี มีความยืดหยุ่น (elasticity) สูง ในขณะที่มีความร้อนภายใน (heat build-up) ที่เกิดขึ้นในช่วงต่อๆ กัน แต่ยังคงรักษาสมบัติเดียวกันต่อไป จึงเหมาะสมสำหรับการผลิตยางรถบรรทุก ยางล้อเครื่องบิน หรือใช้ผสานกับยางสังเคราะห์ในการผลิตยางรถยนต์ เป็นต้น

3. ยางธรรมชาติมีความต้านทานต่อการฉีกขาด (tear resistance) สูง ทั้งที่อุณหภูมิต่ำและอุณหภูมิสูง จึงเหมาะสมสำหรับการผลิตยางกระเบ้านำร้อน เพราะในการแกะซิ้นงานออกจากเบ้าในระหว่างกระบวนการผลิตจะต้องดึงชิ้นงานออกจากเบ้าเพิ่มพูนขณะที่ร้อนยางที่ใช้จึงต้องมีค่าความต้านทานต่อการฉีกขาดขณะร้อนสูง

แม้ว่ายางธรรมชาติมีสมบัติที่ดีเหมาะสมสำหรับการผลิตผลิตภัณฑ์ยางต่างๆ มากมาย แต่ยางธรรมชาติก็มีข้อเสียหลักคือ การเสื่อมสภาพเร็วภายในตัว ออกซิเจน โอโซน และความร้อน เนื่องจากโมเลกุลของยางธรรมชาติมีพันธะคู่ (double bond) อยู่มาก ทำให้ยางวายໄວต่อการทำปฏิกิริยา กับออกซิเจนและโอโซน โดยมีแสงแดดและความร้อนเป็นตัวเร่งปฏิกิริยา

กิริยา ดังนั้นในระหว่างการผลิตผลิตภัณฑ์จึงต้องมีการเติมสารเคมีบางชนิด (anti-degradants) เพื่อยืดอายุการใช้งาน นอกจากนี้ยางธรรมชาติยังมีประสิทธิภาพการทนต่อสาร ละลายน้ำมีข้าว น้ำมัน และสารเคมีต่างๆ จึงไม่สามารถใช้ในการผลิตผลิตภัณฑ์ที่ต้องสัมผัสกับสิ่งต่างๆ ดังกล่าว

## 2.2 น้ำยางธรรมชาติ

(เสาวนีย์, 2541 และ พงษ์ชร, 2547)

### 2.2.1 สมบัติและส่วนประกอบของน้ำยางธรรมชาติ

น้ำยางธรรมชาติ (natural rubber latex) ชนิดน้ำยางสดที่ได้มาจากการกรีดตันยางพารา มีลักษณะเป็นของเหลวสีขาวหรือเหลืองน้ำนม มีสภาพเป็นคอลลอยด์ หรือสารแขวนลอย มีความหนาแน่นอยู่ระหว่าง 0.975 ถึง 0.980 g/ml มีค่าความเป็นกรด-ด่าง (pH) ประมาณ 6.5 ถึง 7.0 ความหนืดของน้ำยางมีค่าประมาณ 12-15 cP และอาจมีค่าแปรปรวน ซึ่งอยู่กับปริมาณของส่วนประกอบในน้ำยาง นอกจากนี้ยังขึ้นอยู่กับปัจจัยอื่นๆ อีกเช่น พันธุ์ยาง อายุยาง ฤดูกาลกรีดยาง เป็นต้น

น้ำยางธรรมชาติเป็นสารไม่บริสุทธิ์ เมื่อกรีดมาจากต้นยางมีปริมาณของยางแห้งอยู่ระหว่าง 25% ถึง 45%wt. ความแตกต่างระหว่างปริมาณสารที่เป็นของแข็งทั้งหมดกับปริมาณเนื้อยางแห้งในน้ำยางสดประมาณ 3%wt. แต่ถ้าบันน้ำยางสดเป็นน้ำยางข้นแล้ว ความแตกต่างนี้เหลือประมาณ 1.5%wt. ส่วนปริมาณสารที่ไม่ใช่น้ำยางมีประมาณ 5%wt. ซึ่งในปริมาณนี้เป็นสารจำพวกโปรตีนที่ละลายนำไปได้ประมาณครึ่งหนึ่ง และปริมาณหนึ่งในสี่ดูดซับที่ผิวอนุภาคยาง ส่วนที่เหลืออยู่ในรูปของสารลูทอยด์ (lutoiod) ส่วนประกอบต่างๆ ในน้ำยางธรรมชาติแสดงดังตารางที่ 2.1

ตารางที่ 2.1 ส่วนประกอบต่างๆ ในน้ำยางธรรมชาติ

ส่วนประกอบ	%wt.
สารที่เป็นของแข็งทั้งหมด (total solid content; TSC)	36
เนื้อยางแห้ง (dry rubber content; DRC)	33
สารโปรตีน (proteinaceous substances)	1-1.5
สารเรซิน (resinous substances)	1-2.5
เถ้า (ash)	สูงถึง 1
น้ำตาล (sugars)	1
น้ำ (water)...ในปริมาณที่รวมกับสารอื่นๆ แล้วเป็น	...100

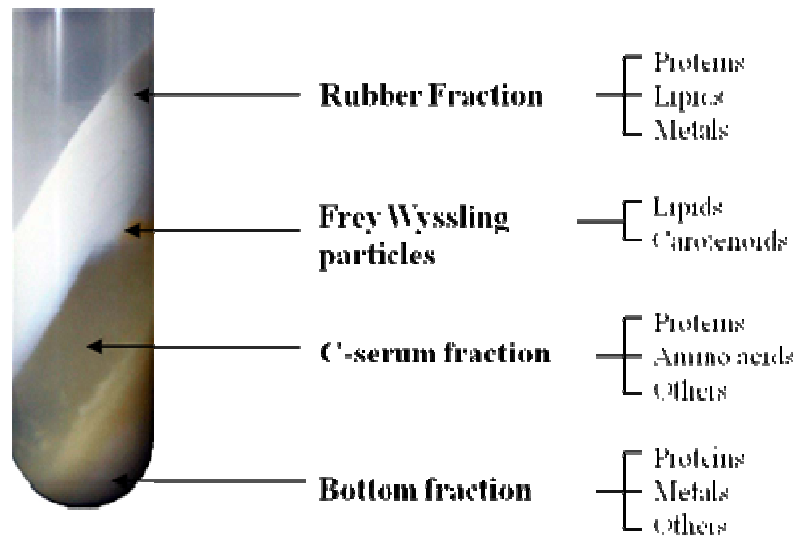
สารต่างๆ เหล่านี้กระจายอยู่ใน 2 ส่วนใหญ่ๆ ของน้ำยางคือ

1. ส่วนของอนุภาคยาง มีปริมาณ 35%wt.
2. ส่วนที่ไม่ใช่อนุภาคยาง มีปริมาณ 65%wt. แบ่งเป็น
  - 2.1 ส่วนของน้ำมีปริมาณ 55%wt.
  - 2.2 ส่วนของอนุภาคลูทธอยด์ มีปริมาณ 10%wt.

### 2.2.2 ส่วนประกอบของน้ำยางธรรมชาติ

(Moir G.F., 1959., Wren W.G., 1961 และ Cockbain E.G., 1963)

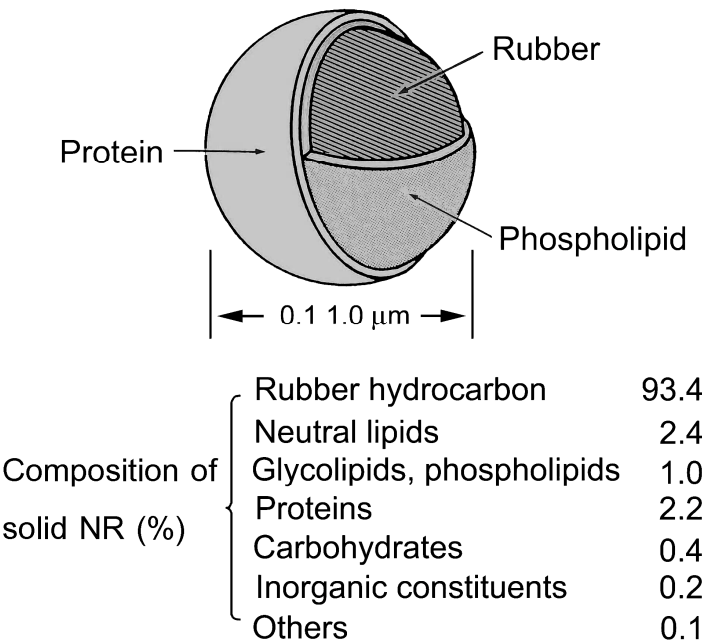
เมื่อนำน้ำยางสดมาปั่นแยกด้วยเครื่องเซนทริฟิวจ์ที่ความเร็วต่อรอบสูงสามารถแยกส่วนประกอบในน้ำยางออกเป็น 3 ส่วน ดังแสดงในรูป 2.1 ชั้นบนเป็นชั้นเนื้อยาง (rubber fraction) ซึ่งประกอบด้วยอนุภาคยางเป็นหลัก ชั้นกลางเป็นสารละลายค่อนข้างใส เรียกว่า ซี-เซรั่ม (C-serum) และชั้นล่างเป็นส่วนของอนุภาคลูทธอยด์ ซึ่งเมื่อทำให้เมมเบรนที่หุ้มรอบอนุภาคลูทธอยด์แตกออกได้ บี-เซรั่ม (B-serum) นอกจากนี้แล้วยังมีชั้นของอนุภาคเฟรย์-วิสลิง (frey wyssling) มีลักษณะเป็นอนุภาคเช่นเดียวกับยางแต่มีสีเหลือง ซึ่งเป็นส่วนที่อยู่ระหว่างชั้นเนื้อยาง (rubber fraction) กับชั้นซี-เซรั่ม (C-serum)



รูปที่ 2.1 ส่วนประกอบต่างๆ ในน้ำยางธรรมชาติจากการบีบบับแยกด้วยความเร็วสูง

#### 2.2.2.1 ส่วนของเนื้อยางและอนุภาคยาง

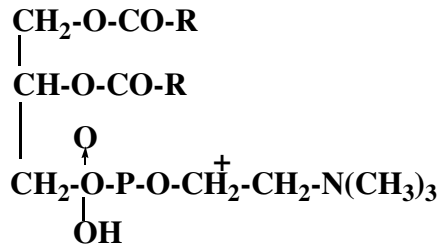
น้ำยางธรรมชาติเป็นคอลลลอยด์ของอนุภาคยางที่กระจายตัวอยู่ในชั้นนำที่ได้จากต้นยาง *Hevea brasiliensis* อนุภาคยางถูกหักด้วยสารจำพวกไขมันและโปรตีน โดยโปรตีนอยู่ชั้นนอกสุด ถัดเข้ามาคือชั้นของไขมัน โดยปกติอนุภาคยางแขวนลอยในน้ำ ประกอบด้วยสารประกอบพวงไออก褊คาร์บอน วีชีอทางเคมีว่า ไอโซพրีน ซึ่งมีโครงสร้างเป็น *cis*-1,4-polyisoprene เกือบทั้งหมด อนุภาคยางมีลักษณะค่อนข้างกลม ขนาดอนุภาคแตกต่างกันออกไป แต่โดยเฉลี่ยประมาณ 1.03 μm เมื่อนำน้ำยางส่วนมาบีบด้วยความเร็วสูงพบว่า อนุภาคยางที่มีขนาดใหญ่และแยกตัวออกจากชั้นนำขึ้นมาอยู่ด้านบน ส่วนอนุภาคยางที่มีขนาดเล็กจะปะปนอยู่กับหางน้ำยาง นอกเหนือจากอนุภาคยางแล้วยังมีองค์ประกอบอื่นๆ ที่เรียกว่า ส่วนที่ไม่ใช้ยาง (non-rubber) ได้แก่ โปรตีน น้ำตาล ไขมัน ฟอสฟอลิปิด และไอโอนของโลหะ ในปริมาณ 6-8% w/v ซึ่งเห็นได้ชัดว่าแตกต่างจากยางสังเคราะห์ซึ่งไม่มีองค์ประกอบอื่นๆ ที่ไม่ใช้ยางเหล่านี้



รูปที่ 2.2 ลักษณะอนุภาคยาง (rubber particle) และส่วนประกอบต่างๆ ในยางธรรมชาติ  
(Cockbain E.G., 1963)

#### 2.2.2.2 ไขมัน

ไขมัน (lipid) เป็นส่วนที่ไม่ละลายนำซึ่งอยู่ในชั้นเนื้อยางเป็นหลัก นอกจากนี้ยังพบอีกปริมาณเล็กน้อยในส่วนล่างสุด (bottom fraction) และอนุภาคเฟียร์-วิสลิง ไขมันที่อยู่กับอนุภาคยางเป็นพากฟอสโฟลิปิด (phospholipid) 2% ไอโคซิแอลกอฮอล์ (eicosyl alcohol) 0.6% และพากสเตอโรลและเอสเทอร์ของสเตอโรล (0.4%wt.) ฟอสโฟไลปิดนี้เชื่อว่าอยู่ระหว่างชั้นของโปรตีนกับชั้นของอนุภาคยาง โดยทำหน้าที่ยึดโปรตีนให้เกาะบนอนุภาคยางนั้น ฟอสโฟไลปิดที่สำคัญของนำยางเป็นชนิดเลซิติน (lecithin) ซึ่งมีสูตรโครงสร้างทางเคมีดังรูปที่ 2.3



รูปที่ 2.3 สูตรโครงสร้างของเลซิทิน ( $\alpha$ -Lecithin)

#### 2.2.2.3 อนุภาคเฟรย์-วิสลิ่ง

เฟรย์-วิสลิ่ง (frey-wyssling) มีลักษณะเป็นอนุภาคเช่นเดียวกับยางแต่มีสีเหลืองซึ่งเป็นส่วนที่อยู่ระหว่างชั้นเนื้อยาง (rubber fraction) กับชั้นซี-เซรั่ม (C-serum) อนุภาคเฟรย์-วิสลิ่งเป็นสารที่ไม่ใช้ยางมีขนาดอนุภาคใหญ่กว่ายาง แต่ความหนาแน่นน้อยกว่า ลักษณะของอนุภาคเป็นไขมัน โดยส่วนใหญ่มีปริมาณค่อนข้างกลมมีผนังล้อมรอบสองชั้นมีปริมาณไม่มากนัก และประกอบด้วยสารเม็ดสีพากค่าโตรตินอยด์ ซึ่งทำให้ยางมีสีเหลืองเข้ม อนุภาคเฟรย์-วิสลิ่งไม่สามารถสกัดออกโดยได้ในน้ำยาข้นที่เก็บรักษาด้วยแอมโมเนีย สามารถรวมตัวกับแอมโมเนียและแยกตัวออกจากยางมาอยู่ในส่วนของเซรั่ม

#### 2.2.2.4 ซี-เซรั่ม

ในชั้นซี-เซรั่มนี้ ประมาณ 44-55% เป็นส่วนประกอบที่ไม่ใช้ยางที่ละลายอยู่ในชั้นของเหลวในน้ำยาข้น ประกอบด้วย โปรตีน ไขมัน คาร์โบไฮเดรต (น้ำตาล) เอนไซม์ และเกลือของสารอนินทรีย์ เป็นต้น

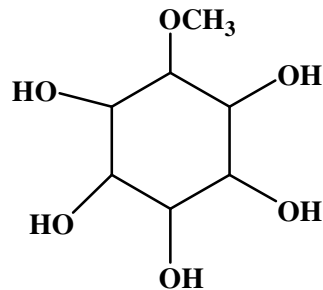
#### 2.2.2.5 โปรตีน

ในน้ำยาข้นจะประกอบด้วยโปรตีน (proteins) ทั้งหมดประมาณ 1-1.5% โดยโปรตีนที่ห่อหุ้มอยู่ตรงผิวนอกของอนุภาคยางมีอยู่ประมาณ 25% ของโปรตีนทั้งหมดที่มีอยู่ในน้ำยา ส่วนที่เหลือประมาณ 50% จะอยู่ในชั้นนำ และอีก 25% จะเป็นอยู่ในส่วนของสารลูทธอยด์ โปรตีนที่อยู่ในน้ำยาโดยส่วนใหญ่มี 2 ชนิด คือ แอลฟากลوبูลิน ( $\alpha$ -globulin) และ ไฮวีน (hevein) ซึ่งส่วนที่อยู่นอกสุดของอนุภาคยาง โปรตีนที่พบมากที่สุดในน้ำยาส่วนใหญ่เป็นชนิดแอลฟากลوبูลิน ( $\alpha$ -globulin) ซึ่งมีคุณสมบัติของสารตรงผิวของโมเลกุลมีความว่องไว

(surface active) ไม่ละลายในน้ำ แต่จะละลายในกรด ด่าง และเกลือ มีค่าของจุดไอโซอิเล็กตริก (isoelectric point) ที่ pH 4.8 ตั้งนั้นอนุภาคยางจะรวมตัวกันอย่างรวดเร็วที่ pH ของแอลฟากลูบูลีนละลายน้อยที่สุด สำหรับโปรตีนที่ห่อหุ้มผิวรอบนอกของอนุภาคยางซึ่งเป็นโปรตีนพากอีวินสามารถละลายได้ เมื่อมีค่าจุดไอโซอิเล็กตริกที่ pH 4.5 จะป้องกันไม่ให้อนุภาคยางมารวมกันเมื่อมีการสูญเสียน้ำ

#### 2.2.2.6 คาร์โบไฮเดรต

คาร์โบไฮเดรต (carbohydrates) เป็นสารจำพวกแป้งและน้ำตาลมีอยู่ในน้ำยางสดประมาณ 1% น้ำตาลโดยส่วนใหญ่เป็นชนิดคิวบากิทอล (quebrachitol) ซึ่งมีโครงสร้างดังในรูปที่ 2.4 นอกจากนี้ยังมีน้ำตาลชนิด กลูโคส ซูโครส ฟรุกโตส อีกปริมาณเล็กน้อย น้ำตาลเหล่านี้ถูกแบ่งที่เรียกว่าเป็นอาหารเกิดปฏิกิริยาการย่อยสลายให้กรดโมเลกุลเล็กๆ ทำให้น้ำยางเกิดการสูญเสียสภาพและรวมตัวกันเป็นก้อน กรดเหล่านี้เป็นกรดที่ระเหยได้ง่าย (volatile fatty acid) ประกอบด้วย กรดฟอร์มิก กรดอะซิติก และกรดโพไไฟโอนิก เป็นต้น



L-quebrachitol

รูปที่ 2.4 สูตรโครงสร้างของคิวบากิทอล (quebrachitol)

#### 2.2.2.7 สารประกอบอนินทรีย์

ในชั้นเชร์รี่ของน้ำยางสดมีความเข้มข้นของปริมาณไอออนของเกลืออนินทรีย์ประมาณ 0.5% ซึ่งโดยส่วนใหญ่แล้วเกือบครึ่งหนึ่งประกอบด้วย โพแทสเซียมไอออน ประมาณ 0.12-0.25% และ พอสเฟสไอออน ประมาณ 0.25% ส่วนที่เหลือเป็นพากแมกนีเซียม คอปเปอร์ เหล็ก โซเดียม และแคลเซียม เป็นต้น นอกจากนี้แล้ว ไอออนเหล่านี้ยังมีผลต่อสมบัติการลดลง

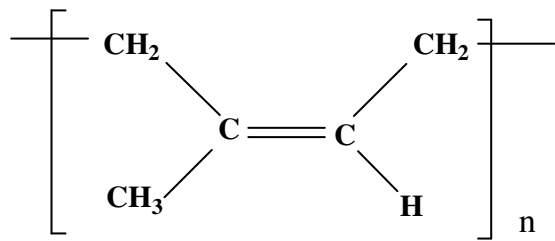
ของความแข็งของยางเมื่อทดลองกำจัดปริมาณไอออนด้วยเทคนิคไดอะไลซีส (dialysis) โดยเฉพาะแคทไอออนจำพวก  $Mg^{2+}$  และ  $Ca^{2+}$  ที่อยู่ในน้ำยาง ซึ่งอาจทำให้โมเลกุลของยางเกิดการเชื่อมโยงแบบพันธะอ่อนนิ่งได้

#### 2.2.2.8 ลูทอยด์

ลูทอยด์ (lutioids) ประกอบไปด้วยอนุภาคของสารที่ไม่ใช้ยางเป็นจำนวนมาก ซึ่งจะอยู่ในส่วนล่างสุด (bottom fraction) มีลักษณะเป็นอนุภาคค่อนข้างกลม มีเส้นผ่านศูนย์กลางประมาณ 2–5  $\mu m$  ซึ่งมีขนาดใหญ่กว่าอนุภาคยางเป็นอย่างมากหุ้มด้วยเยื่อบางๆ ภายในเยื่อบางนี้จะมีทั้งสารละลายและสารแurenloy เมื่อทำให้แตกออกจะเรียกว่า บี-เซรั่ม (B-serum) ซึ่งส่วนใหญ่จะประกอบด้วย กรด เกลือแร่ โปรตีน น้ำตาล และสารพอลิฟินอลออกซิเดส ซึ่งเป็นส่วนสำคัญที่ทำให้ยางมีสีเหลืองหรือสีคล้ำเมื่อสัมผัสกับออกซิเจนในอากาศ โดยปกติปริมาณของลูทอยด์มีผลต่อประสิทธิภาพของความหนืด และสมบัติของคอลลอยด์ของน้ำยางสูงเป็นอย่างมาก เมื่ออนุภาคลูทอยด์แตกออกของเหลวภายในซึ่งเป็นสารแurenloyที่มีประจุบวกและอ่อนน้อมโอละจะทำให้อนุภาคยางเกิดการรวมตัวกัน และเป็นสาเหตุหนึ่งที่ทำให้น้ำยางเสียสภาพได้

### 2.3 โครงสร้างทางเคมีของโมเลกุลยางธรรมชาติ (ราภรณ์, 2549)

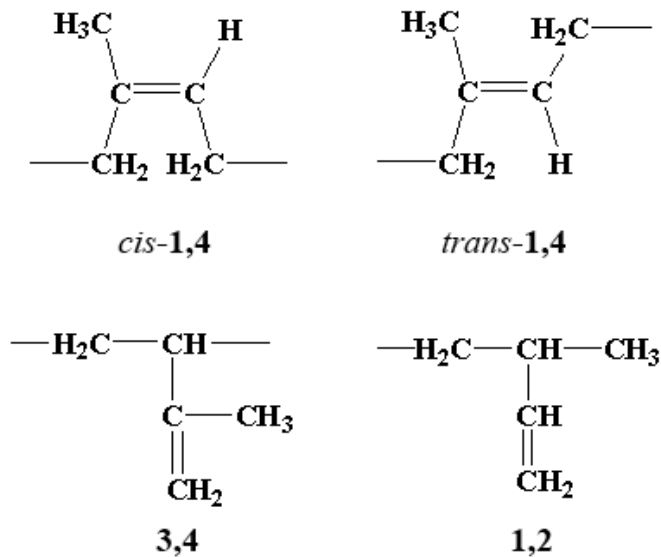
ยางธรรมชาติมีชื่อทางเคมี คือ *cis*-1,4-polyisoprene กล่าวคือในโมเลกุลยาง 1 โมเลกุลประกอบด้วยหน่วยของไอโซพรีน ( $C_5H_8$ ) มาต่อกันเป็นสายเส้นตรง (linear chain) ดังแสดงในรูปที่ 2.5 โดยทั่วไปยางธรรมชาติมีน้ำหนักโมเลกุลเฉลี่ยอยู่ในช่วง 200,000 ถึง 400,000 g/mole และมีการกระจายตัวของน้ำหนักโมเลกุลที่กว้างมาก ซึ่งทำให้ยางธรรมชาติมีลักษณะทางกระบวนการแปรรูปที่ดีเลิศ (excellent process behaviour) อย่างไรก็ตามในยางธรรมชาตินอกจากมีสารประกอบไฮโดรคาร์บอนแล้ว ยังมีสิ่งเจือปนอื่นๆ ประมาณ 5% ได้แก่ โปรตีน เกล้า สารที่สกัดด้วยอะซైตอన (acetone extractable) และความชื้น ยางธรรมชาติมีความหนาแน่นเท่ากับ  $0.93 \text{ g/cm}^3$  ที่อุณหภูมิ  $20^\circ C$  และมีอุณหภูมิของการเปลี่ยนสถานะคล้ายแก้ว (glass transition temperature,  $T_g$ ) ประมาณ  $-72^\circ C$  หมายความว่าหากนำยางธรรมชาติไปเก็บไว้ที่มีอุณหภูมิต่ำกว่า  $-72^\circ C$  สมบัติของยางธรรมชาติเปลี่ยนจากที่เคยมีความยืดหยุ่นไปเป็นของแข็งเปราะ เช่นเดียวกับแก้ว



รูปที่ 2.5 สูตรโครงสร้างทางเคมีของยางธรรมชาติ

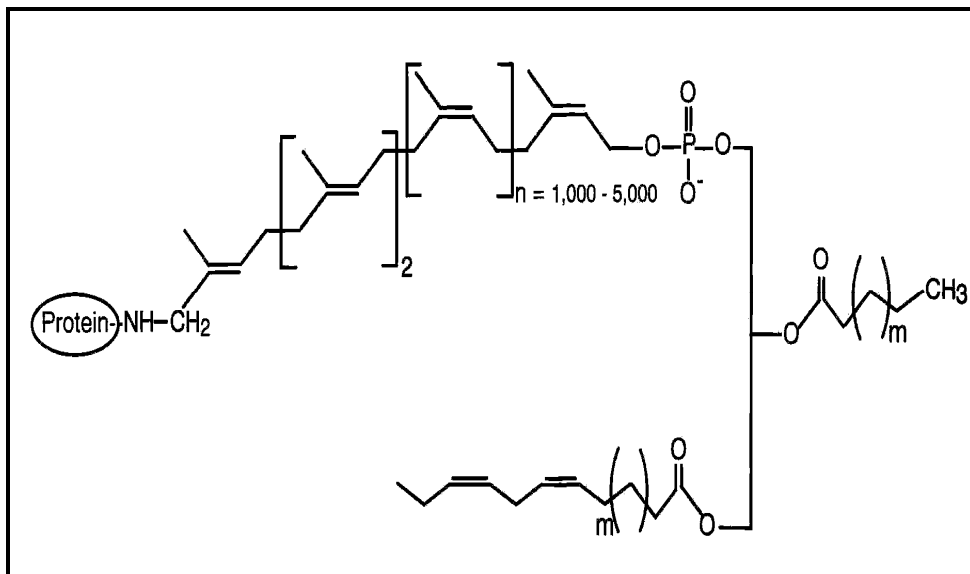
### 2.3.1 โครงสร้างทางเคมีของไอโซพรีน

ในปี ค.ศ. 1956 ได้มีการผลิตยางไอโซพรีนสังเคราะห์ขึ้นเป็นครั้งแรก โดยใช้ตัวเร่งปฏิกิริยาของซีเกลอร์ (ziegler catalyst) ซึ่งเตรียมได้จาก ทิทาเนียมเตตրัลคลอไรด์ไตรเอтиโลະลูมิเนียม (titanium tetrachloride triethylaluminium) โครงสร้างของยางที่ได้ใกล้เคียงกันกับยางธรรมชาติมาก โดยมีโครงสร้างแบบซิส 1,4 (*cis*-1,4 configuration) มากถึง 98-99% และมีโครงสร้างแบบทรานส์ 1,4 (*trans* 1,4 configuration) ปนอยู่ 0.0-0.7% และมีโครงสร้างแบบ 3,4 หรือ 1,2 (3,4 or 1,2 configuration) ปนอยู่ 0.3-1.0% (Carman C.J., 1969 and Chen H.Y., 1966) ดังแสดงในรูปที่ 2.6 ซึ่งแสดงการจัดเรียงตัวของไอโซพรีนในรูปแบบต่างๆ อย่างไรก็ตามพบว่ายางไอโซพรีนสังเคราะห์มีสมบัติเชิงกลที่ต่างกว่ายางธรรมชาติ เช่น ความแข็งแรง ความทนต่อแรงดึง ความทนต่อการฉีกขาด ความทนต่อการขัดถู และความทนทานต่อการเสียสภาพที่อุณหภูมิสูง (Schoenberg E. et al., 1979) แต่ยางไอโซพรีนสังเคราะห์ก็มีสมบัติบางอย่างที่เด่นกว่ายางธรรมชาติ คือยางมีคุณภาพสม่ำเสมอ มีสิ่งเจือปนน้อย มีสีขาวใส และไม่มีโปรตีนที่ทำให้เกิดอาการแพ้ จากการทำ X-ray diffraction พบราก Gedolisk ในยางธรรมชาติ ซึ่งเกิดจากการจัดเรียงตัวโครงสร้างแบบซิส (*cis*-configuration) (Tanaka Y. et al., 2001)



รูปที่ 2.6 โครงสร้างของไอโซพรีนในแบบต่างๆ

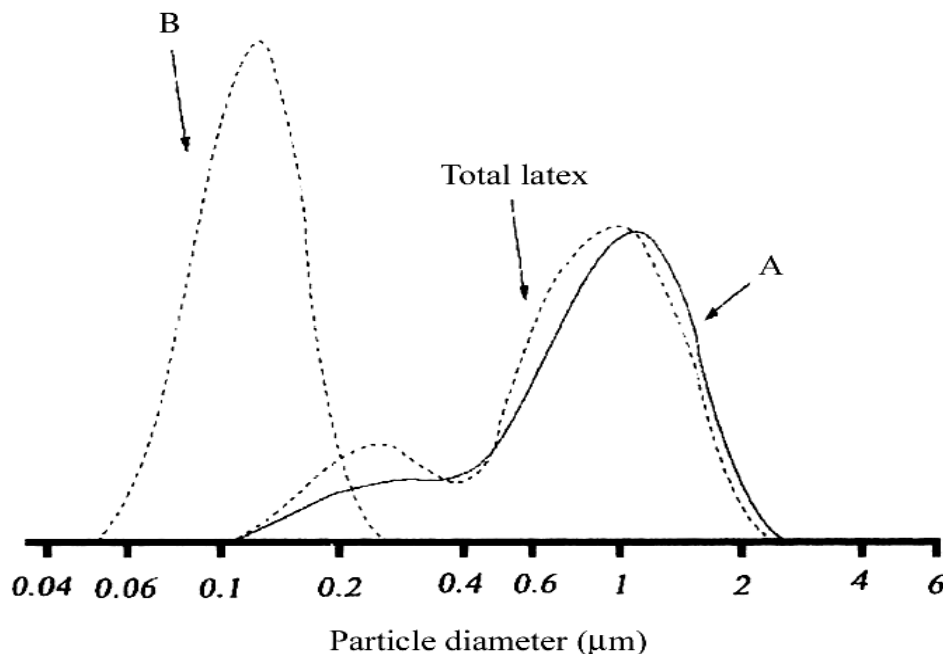
แม้จะพบว่า Yang ธรรมชาติ ประกอบด้วยไอโซพรีนที่มีโครงสร้างแบบทرانส์ (trans-isoprene) 2 หน่วยต่ำโมเลกุล แต่ก็ไม่สามารถวิเคราะห์หมู่ไดเมทธิลอลลิว (dimethylallyl group) และ หมู่สินสุดไฮดรอกซิล (hydroxyl terminal group) ที่คาดว่าจะเกิดขึ้นจากกลไก การสังเคราะห์โมเลกุลยาง อย่างไรก็ตามยังไม่มีข้อพิสูจน์ที่แน่นอน (Eng A.H. et al., 1997) ยาง ธรรมชาติถูกสันนิษฐานว่ามีโครงสร้างดังแสดงในรูปที่ 2.7 ตั้งแต่ปี ค.ศ. 1990 เป็นต้นมา ได้มี การค้นพบว่าในยางธรรมชาติ ประกอบด้วยสายโซ่ยาวของหมู่กรดไขมันซึ่งเชื่อมต่อด้วยพันธะ เอสเทอโรของไลปิดกับโมเลกุลยาง ซึ่งคาดว่าจะเป็นฟอสโฟลิปิด (phospholipids) (Ichikawa N. et al., 1993) สันนิษฐานว่าหมู่กรดไขมันเหล่านี้อาจจะเป็นตัวแปรสำคัญที่ทำให้ยางธรรมชาติมี สมบัติทางกายภาพที่โดดเด่น โดยทำให้สายโซ่ของพอลิไอโซพรีนเกิดการตกผลึกได้รวดเร็วขึ้น (Nishiyama N. et al., 1998) นอกจากนี้ยังเชื่อว่า หมู่สินสุดที่ปลายสายโซ่โมเลกุลยางทั้ง 2 หมู่ มีความสำคัญต่อการเกิดจุดเชื่อมโยงระหว่างโมเลกุลในยางธรรมชาติ ซึ่งทำให้ยางธรรมชาติกับ ยางสังเคราะห์มีความแตกต่างกัน



รูปที่ 2.7 โครงสร้างของโมเลกุลยางธรรมชาติ (Eng A.H. et al., 1994)

### 2.3.2 การกระจายตัวของขนาดอนุภาคยางธรรมชาติ

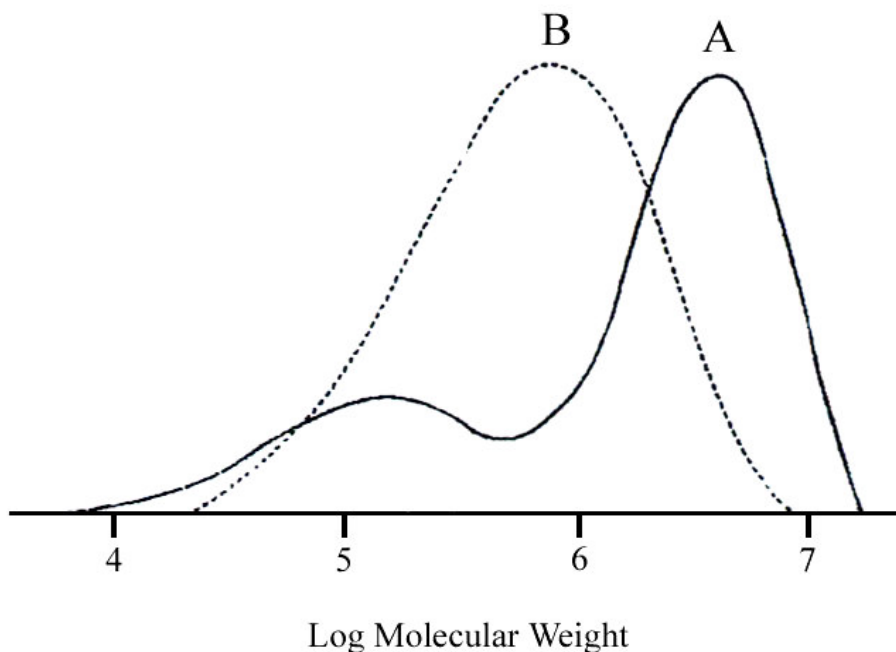
Sakdapipanich J.T. et al., 1999 ได้ทำการวัดการกระจายตัวของขนาดอนุภาคยางธรรมชาติ พบร่วมขนาดของอนุภาคยางธรรมชาติในชั้นครีม (cream phase) หรือชั้นของเนื้อยาง (rubber fraction) มีการกระจายตัวของขนาดอนุภาคอยู่ในช่วง  $0.1\text{--}3.0 \mu\text{m}$  โดยเฉลี่ยแล้วอนุภาคยางจะมีเส้นผ่านศูนย์กลางประมาณ  $1.03 \mu\text{m}$  เรียกว่า อนุภาคยางขนาดใหญ่ (large rubber particle; LRP) อย่างไรก็ตามยังพบว่าขนาดของอนุภาคยางที่กระจายตัวอยู่ในชั้นของเซรั่ม (serum phase) มีขนาดอนุภาคอยู่ในช่วงประมาณ  $0.05\text{--}0.3 \mu\text{m}$  ซึ่งโดยเฉลี่ยแล้วอนุภาคยางจะมีเส้นผ่านศูนย์กลางประมาณ  $0.13 \mu\text{m}$  เรียกว่า อนุภาคยางขนาดเล็ก (small rubber particle; SRP) นอกจากนี้ยังพบอีกว่า การกระจายตัวของขนาดอนุภาคยางธรรมชาติมีลักษณะคล้ายกับการกระจายตัวของอนุภาคยางขนาดใหญ่ซึ่งมาจากชั้นครีม ดังแสดงในรูปที่ 2.8



รูปที่ 2.8 การกระจายตัวของขนาดอนุภาคยางธรรมชาติจากน้ำยางขัน (total latex) A: จากชั้นครีม และ B: ชั้นเซรั่ม (Sakdapipanich J.T. et al., 1999)

### 2.3.3 โครงสร้างของยางสกิม

ในอุตสาหกรรมการผลิตน้ำยางขันจากน้ำยางธรรมชาติ น้ำยางสกิม (skim rubber latex) เป็นผลผลิตได้จากการบวนการปั่นน้ำยางขันด้วยเครื่องเซนทริฟิวจ์ น้ำยางสกิมที่ได้จากการบวนการปั่นน้ำยางขันมีปริมาณเนื้อยางทั้งหมดประมาณ 5-10%wt. นอกจากนี้ยังประกอบด้วยส่วนที่ไม่ใช้ยางปะปนอยู่ในปริมาณที่มาก (Bristow G.M., 1990) น้ำยางสกิมประกอบด้วยอนุภาคยางขนาดเล็ก (small rubber particle) ที่มีขนาดอนุภาคอยู่ในช่วงประมาณ  $0.03\text{-}1.2 \mu\text{m}$  ซึ่งโดยเฉลี่ยแล้วอนุภาคยางมีเส้นผ่าศูนย์กลางประมาณ  $0.13 \mu\text{m}$  โดยพบว่าในน้ำยางขันประกอบด้วยอนุภาคยางขนาดใหญ่ (large rubber particle) ซึ่งมีขนาดอนุภาคอยู่ในช่วง  $0.2\text{-}3.0 \mu\text{m}$  และมีเส้นผ่าศูนย์กลางเฉลี่ยประมาณ  $1.03 \mu\text{m}$  นอกจากนี้พบว่ายางสกิมที่ได้จากน้ำยางสกิมมีการกระจายตัวของน้ำหนักโมเลกุลเป็นแบบบิโนดอล (unimodal) มีน้ำหนักโมเลกุลอยู่ในช่วงระหว่างยางที่มีน้ำหนักโมเลกุลสูงและยางที่มีน้ำหนักโมเลกุลต่ำในยางธรรมชาติ โดยมีน้ำหนักโมเลกุลประมาณ  $1.0 \times 10^6 \text{ g/mole}$  (Sakdapipanich J. T. et al., 2002) ดังแสดงในรูปที่ 2.9

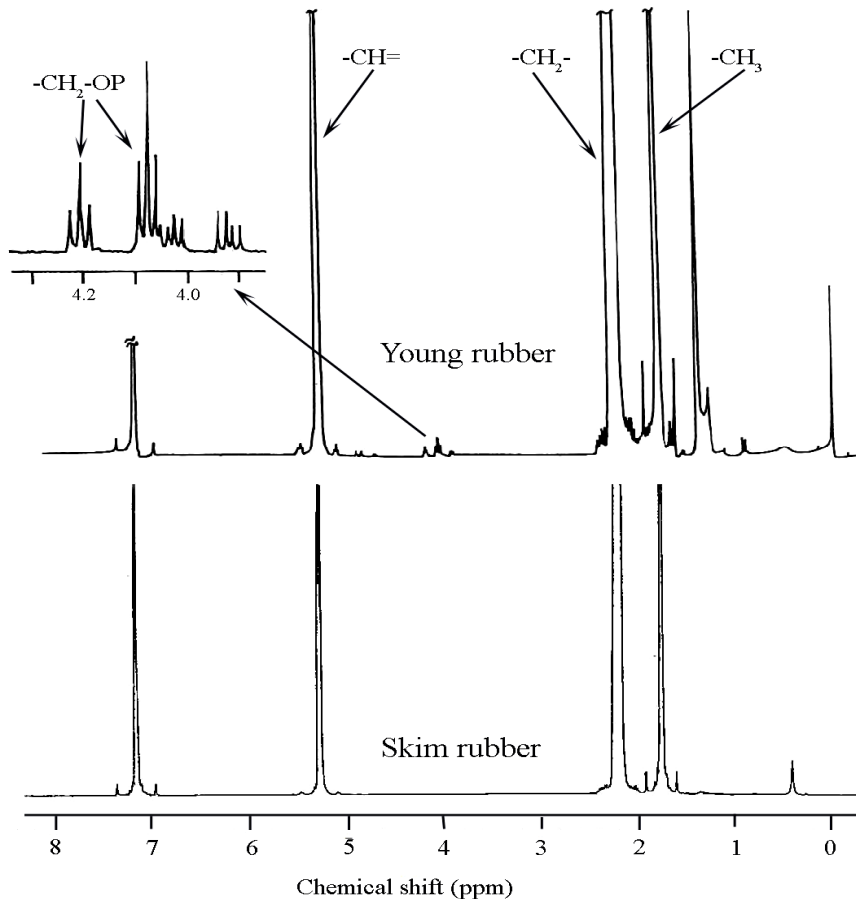


รูปที่ 2.9 การกระจายตัวของน้ำหนักโมเลกุลของยางธรรมชาติจากน้ำยางสด A: cream rubber และ B: serum rubber

จากการวิจัยที่ผ่านมาได้มีการตั้งสมมติฐานว่าที่ปลายสายโซ่ของโมเลกุลยางนั้น เชื่อมต่อกับฟอสโฟลิปิดที่มีหมู่เอสเทอร์ของไขมันด้วยพันธะเคมี ซึ่งจำนวนโมเลกุลของไขมันต่อสายโซ่โมเลกุลยางสามารถบ่งบอกได้จากปริมาณเอสเทอร์ของไขมัน และจากการวิเคราะห์โครงสร้างของยางอนุภาคใหญ่ด้วยเทคนิคการบอนนิวเคลียร์แมกเนติกเรโซแนซ์สเปกตรสโคปี ( $^{13}\text{C-NMR}$  spectroscopy) พบร่วมกับในอนุภาคขนาดใหญ่โมเลกุลยางประกอบด้วยหมู่เอสเทอร์ จำนวน 2 โมลต่อโมเลกุล ในขณะที่จำนวนโมลของหมู่เอสเทอร์ที่พบในโมเลกุลยางจากอนุภาคยางขนาดเล็กมีค่าใกล้เคียงศูนย์ หรือประมาณ 0.03 โมลต่อหนึ่งโมเลกุลยางเท่านั้น จากการวิจัยดังกล่าวแสดงให้เห็นว่าโมเลกุลของยางอนุภาคเล็ก หรือยางสกิมนั้นไม่มีการเชื่อมต่อกับฟอสโฟลิปิด (phospholipid) (Sakdapipanich J. T. et al., 1999)

จากการวิเคราะห์ด้วยเทคนิคโปรตอรอนนิวเคลียร์แมกเนติกเรโซแนซ์สเปกตรสโคปี ( $^1\text{H-NMR}$  spectroscopy) ของยางสกิมที่ผ่านการแยกสัดส่วนตามน้ำหนักโมเลกุล (fractionation) เปรียบเทียบกับยางที่ได้จากต้นยางอ่อนอายุ 1 เดือน ดังแสดงในรูปที่ 2.10 พบร่วมกับยางจากต้นยางอ่อนมีสัญญาณหลักที่ 1.78, 2.10 และ 5.18 ppm ซึ่งเป็นสัญญาณจากหมู่ฟังก์ชัน  $-\text{CH}_3$ ,  $-\text{CH}_2-$  และ  $=\text{CH}-$  ของพอลีไอโซพรีนที่มีโครงสร้างแบบซิส (*cis*-1,4 isoprene) ตามลำดับ และพบสัญญาณที่ตำแหน่งประมาณ 4.0-4.3 ppm และ 1.2 ppm ซึ่งตรงกับสัญญาณ

ของ  $-\text{CH}_2\text{O}$  ที่ด้านปลายและ  $-(\text{CH}_2)_n-$  ของกรดไขมัน (Tangpakdee J., 1998) แต่เมื่อพิจารณา สัญญาณที่ได้จากการวิเคราะห์ยางสกิม พบร่องรอยของสัญญาณหลักจากหน่วยพอลีไอโซพրีนแบบซิส เท่านั้น ไม่พบสัญญาณของกรดไขมันในยางสกิม ซึ่งบ่งชี้ว่าบนโมเลกุลของยางสกิมไม่มีกรด ไขมันเป็นองค์ประกอบ (Tarachiwin L. et al., 2005)



รูปที่ 2.10 โปรตอรอนนิวเคลียร์แมกเนติกเรโซโนนансสเปกตร้า ( $^1\text{H-NMR}$  spectra) ของยางต้น อ่อนอายุ 1 เดือน (บัน) และยางสกิม (ล่าง)

เนื่องจากข้อเท็จจริงที่กล่าวว่ากรดไขมันที่ติดอยู่บนโมเลกุลยางมีบทบาทสำคัญ ในการทำให้เกิดโครงสร้างแบบกิงก้านในยางธรรมชาติ ดังนั้นจากการที่ไม่พบกรดไขมันในยาง สกิมจึงนำไปสู่ข้อสันนิษฐานที่ว่ายางสกิมไม่มีโครงสร้างกิงก้าน ลักษณะการเกิดกิงก้านของ ยางสกิม สามารถวิเคราะห์ได้จากการวัดความหนืดของสารละลายยางเจือจาง เพื่อคำนวณหา ค่าคงที่ของฮัคกินส์ (Huggins constant,  $K'$ ) ซึ่งเป็นค่าที่บ่งบอกความเป็นกิงก้านของสายโซ่

โมเลกุลยาง โดยหากค่า  $K'$  มีค่าสูงกว่า 0.45 แสดงว่ายางมีลักษณะโมเลกุลเป็นสายโซ่ที่มีกิ่งก้าน (Ambler M.R. et al., 2001) จากรายงานวิจัยที่ผ่านมาพบว่ายางโปรตีนตัว (deproteinized natural rubber, DPNR) มีค่า  $K'$  ประมาณ 0.57-0.59 ซึ่งแสดงถึงลักษณะสายโซ่โมเลกุลที่มีกิ่งก้าน แต่ในกรณีของยางอนุภาคเล็กหรือยางสกิมพบว่ามีค่า  $K'$  อยู่ในช่วง 0.42-0.45 ซึ่งสอดคล้องกับลักษณะโมเลกุลที่เป็นสายโซ่ตรง (Ohya N. et al., 2000) ดังนั้นจึงสามารถตั้งสมมติฐานได้ว่ายางอนุภาคเล็กในน้ำยางจากต้นยางที่เจริญวัยแล้วประกอบด้วยโมเลกุลยางที่มีลักษณะเป็นสายโซ่ตรงและไม่มีฟอสโฟลิปิดที่ปลายสายโซ่ ในขณะที่ยางอนุภาคใหญ่ที่ได้จากต้นยางที่เจริญวัยแล้วเป็นโมเลกุลของโพลีไอโพรีนที่ถูกปิดปลายสายโซ่ด้วยฟอสโฟลิปิดที่เป็นปัจจัยหลักในการเกิดจุดกำเนิดกิ่งก้าน นอกจากนั้นยังมีรายงานว่ายางอนุภาคขนาดเล็กหรือยางสกิมนั้นมีค่าประสิทธิภาพการทำงานของเอนไซม์รับเบอร์ทรานส์เฟอเรส (rubber transferase activity) สูงกว่าในยางอนุภาคขนาดใหญ่ (Ohya N. et al., 2000) จากผลที่ได้เหล่านี้สามารถสนับสนุนความคิดที่ว่ายางอนุภาคขนาดเล็กในน้ำยางที่ได้จากต้นที่เจริญวัยแล้วประกอบไปด้วยโมเลกุลที่เป็นสายโซ่ตรง โดยที่ตำแหน่งปลายสายโซ่โมเลกุลมีความว่องไวต่อการเกิดปฏิกิริยาเพื่อต่อเติมสายโซ่ต่อไปได้ (Ohya N. et al., 2000) ในทางกลับกันยางอนุภาคขนาดใหญ่ประกอบด้วยโมเลกุลยางที่ปลายสายโซ่โมเลกุลถูกปิดด้วยหมุนพังก์ชันที่มีหมุนเวียนเทอร์ของไขมัน เช่น พากฟอสโฟลิปิด เป็นต้น (Tarachiwin L. et al., 2005)

#### 2.4 กระบวนการผลิตยางธรรมชาติในอุตสาหกรรมน้ำยางขัน (ราภรณ์, 2549)

น้ำยางสดจากต้นยางพาราโดยทั่วไปมีเนื้อยางแห้งโดยเฉลี่ยประมาณ 35% DRC นอกนั้นเป็นน้ำเสียส่วนใหญ่ ซึ่งโดยปกติแล้วในการนีต้องการใช้น้ำยางธรรมชาติไปผลิตเป็นผลิตภัณฑ์สำเร็จรูปในกรรมวิธีต่างๆ ได้แก่ กรรมวิธีจุ่มแบบพิมพ์ (dipping process) ในอุตสาหกรรมการผลิตลูกโป่ง การผลิตถุงมือยาง กรรมวิธีผลิตยางฟองน้ำ (latex foam process) กรรมวิธีผลิตผ้าใบฉบับด้วยยาง (coating) กรรมวิธีเหล่านี้ต้องใช้น้ำยางขันที่มีเนื้อยางไม่น้อยกว่า 60% DRC ซึ่งเป็นน้ำยางที่มีความเข้มข้นสูง เตรียมได้จากการกระบวนการบันแยก เนื่องจากความเข้มข้นที่มากขึ้นทำให้น้ำยางได้สะท้อนขึ้นและยังประหดค่าใช้จ่ายในการขนส่งเมื่อเปรียบเทียบกับน้ำยางสด อีกประการหนึ่งก็คือ น้ำยางขันให้ผลิตภัณฑ์ที่มีคุณภาพสม่ำเสมอ ดีกว่าน้ำยางสด

#### 2.4.1 กระบวนการผลิตน้ำยาขัน

ในอุตสาหกรรมการผลิตน้ำยาขัน ยางธรรมชาติที่ผ่านกระบวนการบันแยกนั้น สามารถแยกออกเป็นสองส่วน ส่วนแรกเป็นน้ำยาที่มีอนุภาคขนาดใหญ่เรียกว่า น้ำยาขัน และ ในส่วนที่สองเป็นส่วนที่ถูกแยกออกปะปนอยู่กับชั้นน้ำและมีอนุภาคยางขนาดเล็กกว่า ในทาง อุตสาหกรรมยางจะเรียกันว่า หางน้ำยา หรือ ยางสกิม โดยปกติแล้วเครื่องบันน้ำยาขันมีอยู่ ด้วยกันหลายแบบ แต่แบบที่นิยมใช้กันคือ de Laval มีลักษณะดังในรูปที่ 2.11 หลักการสำคัญ ของเครื่องประกอบด้วยการบันแยกน้ำยาโดยอาศัยเครื่องบันความเร็วสูงประมาณ 6,000 rpm และภายในของเครื่องประกอบด้วยชุดของจานแยก (separator discs) วางซ้อนๆกัน จำนวน หลายชั้น น้ำยาจะถูกป้อนเข้าเครื่องผ่านที่จ่ายน้ำยา (distributor) ลงสู่ก้นถังบัน และจากนีน้ำ ยาจะไหลผ่านชุดของจานแยกซึ่งมีรูให้น้ำยาไหลเข้าสู่ถังบัน โดยเนื้อยางจะไหลเข้าหา ศูนย์กลางของเครื่องบันและloyตัวให้ลอกตามทางออกด้านบนสู่ถังเก็บน้ำยาขัน อีกส่วนหนึ่ง ของน้ำยาที่ถูกแยกจะเป็นส่วนของหางน้ำยา (skim latex) ให้ลอกจากศูนย์กลางของเครื่อง บันสู่ทางออกของหางน้ำยาและลงสู่ถังเก็บหางน้ำยา ปกติน้ำยาขันที่ได้จากเครื่องบัน มี ความเข้มข้นประมาณ 60% DRC เครื่องบันน้ำยาขันขนาดเล็กๆสามารถผลิตน้ำยาขันได้วันละ 200–250 gallon และเครื่องขนาดใหญ่อาจผลิตน้ำยาขันได้ถึงวันละ 450 gallon และปกติการ เดินเครื่องบันจะทำติดต่อกันอย่างมากครั้งละ 6 h เพราะจำต้องหยุดเครื่องเพื่อทำความสะอาด เครื่องบัน ล้างพากตาม (sludge) ที่ติดเครื่องบัน



รูปที่ 2.11 ลักษณะเครื่องปั้นน้ำยางขันในโรงงานอุตสาหกรรมน้ำยาง

#### 2.4.2 กระบวนการผลิตยางสกิม

โดยปกติในอุตสาหกรรมผลิตน้ำยางขันนิยมใช้กรดกำมะถันชนิดเข้มข้นในการจับตัวเนื้อยางสกิมที่เหลืออยู่ในหางน้ำยาง เนื้อยางสกิมที่ได้จากการจับตัวและรวบรวมไว้แล้วในบ่อจับตัวตั้งในรูปที่ 2.12 เมื่อมีปริมาณมากเพียงพอแล้วจะถูกนำไปผลิตเป็นยางสกิมบล็อก (skim block rubber) โดยผ่านกระบวนการรีดและบดล้างด้วยเครื่องบดรีดแบบสองลูกกลิ้ง (crepper machine) จากนั้นจะถูกบดและล้างต่อด้วยเครื่องบดย่อย (shredder machine) เพื่อให้ได้ยางสกิมเป็นเม็ดที่มีขนาดเล็กๆ ก่อนผ่านกระบวนการอบแห้งที่อุณหภูมิ  $100\text{--}110^{\circ}\text{C}$  เป็นระยะเวลาประมาณ 4 h และจึงทำการอัดก้อนเพื่อรอนำไปจัดจำหน่ายและใช้ประโยชน์ต่อไป



รูปที่ 2.12 ภาพแสดงการจับตัวในกระบวนการรวบรวมและการจับตัวเนื้อยางสกิมในโรงงานอุตสาหกรรมน้ำยาang

#### 2.4.3 การรวบรวมยางสกิมจากทางน้ำยาang

เนื่องจากทางน้ำยาang มีเนื้อยางในปริมาณที่ต่ำ และมีขนาดอนุภาคที่เล็กมากนั้น ส่งผลให้การรวบรวมเนื้อยางทำได้ยากมาก โดยปกติยางที่เหลืออยู่ส่วนรวมโดยการเติมกรดซัลฟิวริกเข้มข้นลงในทางน้ำยาang ทำให้ยางเกิดการจับตัวเป็นก้อนแยกออกจากทางน้ำยาang ยางสกิมที่ได้ประกอบด้วยส่วนที่เป็นยางหรือส่วนที่เป็นสารประกอบไฮโดรคาร์บอนประมาณ 70-80% ไขมันที่ละลายได้ในอะซิโตนประมาณ 5-10% และ โปรตีนอีกประมาณ 10-20% ขณะที่ยางแผ่นรวมครัวน ประกอบไปด้วย ไฮโดรคาร์บอนประมาณ 95% ไขมันประมาณ 5-10% และ โปรตีนประมาณ 2% นอกจากระบวนการรวบรวมยางสกิมโดยการจับตัวยางสกิมด้วยกรดซัลฟิวริกแล้วยังมีกระบวนการอื่นๆดังนี้

1. การจับตัวยางสกิมโดยวิธีธรรมชาติ หรือ auto-coagulation (Smith M.G., 1969) ด้วยการกำหนดปริมาณแอมโมเนียในน้ำยาangสกิมให้ลดต่ำลงเหลือไม่เกิน 0.1% รอให้จับตัวเองช้าๆ เป็นระยะเวลาประมาณ 5 วัน ซึ่งเทคนิคนี้จำเป็นต้องใช้พื้นที่สำหรับบ่อจับตัวมาก ยางสกิมที่ได้จากเทคนิคนี้จะมีกลิ่นเหม็นมาก

2. การบ่มเร่งให้เกิดการจับตัวยางสกิมโดยธรรมชาติให้รวดเร็วขึ้น ด้วยการกำจัดปริมาณแอมโมเนียให้ไม่เกิน 0.1% และเติมสารละลายน 0.1% dioctyl sodium sulfosuccinate และ 1.0% CaCl<sub>2</sub> ลงในน้ำยางสกิม เทคนิคนี้ช่วยให้น้ำยางสกิมจับตัวได้เร็วขึ้น โดยใช้เวลาในการจับตัวประมาณ 2 วัน (John C.K., 1971) และได้มีการค้นพบว่าเทคนิคนี้สามารถจับตัวน้ำยางสดในภาวะที่เป็นกลางให้รวดเร็วขึ้นโดยใช้เวลาประมาณ 3 min เท่านั้น ซึ่งสามารถใช้ในกระบวนการจับตัวแบบต่อเนื่องได้

3. การจับน้ำตัวยางสกิมโดยการบ่มเร่งด้วยเอ็นไซม์ ก่อนทำการจับตัวด้วยกรดโดย Morris J.E., 1954 ทำการศึกษาโดยการเติมเอ็นไซม์ลงในน้ำยางสกิมเป็นระยะเวลา 12-96 h ที่อุณหภูมิประมาณ 22°C จึงทำการจับตัวด้วยกรด ยางสกิมที่ผลิตได้ด้วยเทคนิคนี้สามารถลดปริมาณไข่ไก่เจลในโครงสร้างเหลือประมาณ 0.6-35% โดยน้ำหนัก เทคนิคนี้สามารถช่วยแก้ปัญหาน้ำยางสกิมไม่จับตัวได้

#### 2.4.4 คุณสมบัติทางกายภาพของยางสกิม

ยางสกิม (skim rubber) ซึ่งโดยปกติจัดว่าเป็นของเสียจากการบันนำยางธรรมชาติ เนื่องจากมีปริมาณเนื้อยางต่ำ (ไม่เกิน 5%) และส่วนที่ไม่ใช่ยางในปริมาณที่มาก ยางสกิมประกอบไปด้วยอนุภาคยางขนาดเล็กที่มีขนาดอนุภาคอยู่ในช่วงประมาณ 0.03-1.2 μm ซึ่งโดยเฉลี่ยแล้วอนุภาคยางจะมีเส้นผ่านศูนย์กลางไม่เกิน 0.2 μm ในอุตสาหกรรมผลิตน้ำยางนิยมใช้กรดกำมะถันชนิดเข้มข้นในการจับตัวเนื้อยางสกิมที่เหลืออยู่ในหางน้ำยาง ยางสกิมที่ได้จากวิธีการนี้จึงมีคุณภาพต่ำ นอกจากนี้ยังพบว่ายางสกิมมีค่าการทนต่อแรงดึงที่ต่ำ (low green strength) เมื่อเปรียบเทียบกับยางธรรมชาติที่ได้จากน้ำยางขัน (Nawamawat K., 2002) อย่างไรก็ตามพบว่า ยางสกิมมีค่าการทนต่อแรงดึงใกล้เคียงกับยางสังเคราะห์พอลิไอโซพ्रีน และมีค่าความหนืดมูนนี (Mooney viscosity) และค่าการคืนตัวความหนืดมูนนี (Mooney relaxation) ที่ต่ำกว่ายางแห้งที่ได้จากน้ำยางขัน ซึ่งแสดงให้เห็นว่ายางสกิมมีความสามารถในการผสม (processability) ที่ดีเนื่องจากมีสมบัติความเป็นอิลาสติก (elasticity) ที่น้อยกว่า�ั่นเอง

#### 2.4.5 การนำยางสกิมไปใช้ประโยชน์

ยางสกิมสามารถนำไปใช้ประโยชน์ได้หลากหลายด้าน เช่น ใช้เป็นตัวเร่งอัตราการคงรูปของยาง (cure-rate booster) ซึ่งสามารถแทนที่ตัวเร่งการคงรูปทุติยภูมิ (secondary accelerator) ได้ในงานบางชนิด และในบางส่วนของขั้นตอนการผลิตที่มีลักษณะเฉพาะ (Blackey D.C., 1966) โดยพบว่ายางสกิมมีลักษณะที่คล้ายกับตุติบห์ทำการผสมสารเคมีต่างๆ ไว้แล้วและถ้าทำการผสมยางสกิมประมาณ 20-25 ส่วนกับยางธรรมชาติทั่วไป พบว่าสมบัติของการทำ

ปฏิกิริยาคงรูป (vulcanization) จะเพิ่มสูงขึ้นและมีความแปรปรวนที่ลดลง ยางสกิมยังแสดงสมบัติการยึดติด (adhesion) ที่ดีกับโลหะทองเหลือง และสามารถปรับปรุงหรือเพิ่มประสิทธิภาพการยึดติดกันระหว่างโลหะกับยางได้โดยการเติมคอปเปอร์ซัลไฟด์ (copper sulfide) (Schofeld U.S. patent) นอกจากนี้ยังมีการศึกษาการนำยางสกิมไปใช้ประโยชน์เป็นสารห่อหุ้มยูเรีย (urea encapsulant) เพื่อควบคุมการปลดปล่อยสารเคมี (controlled release) (Tanunchai T., 1999)

นอกจากนี้ยังพบว่ายางสกิมที่ผ่านกระบวนการทำให้บริสุทธิ์ขึ้นด้วยการทำปฏิกิริยาสะพอนฟิเคลชัน มีสมบัติการละลายได้ดีมาก และสามารถนำไปประยุกต์ใช้เป็นวัตถุดินในการเตรียมเทปภาชนะได้ต่อแรงดัน (Nawamawat N. et al., 2008) โดยเทปภาว่าที่เตรียมได้จากยางสกิมบริสุทธิ์มีความเหนียว สมบัติการยึดติดที่ดีขึ้น และปราศจากโปรตีนที่ก่อให้เกิดอาการแพ้ ซึ่งนำไปสู่การพัฒนายางสกิมเพื่อใช้เป็นวัตถุดินในด้านการแพทย์และผลิตภัณฑ์ที่มีมูลค่าในเชิงพาณิชย์ต่อไป

## 2.5 การจากยางธรรมชาติ

(Pocius A.V., 1997)

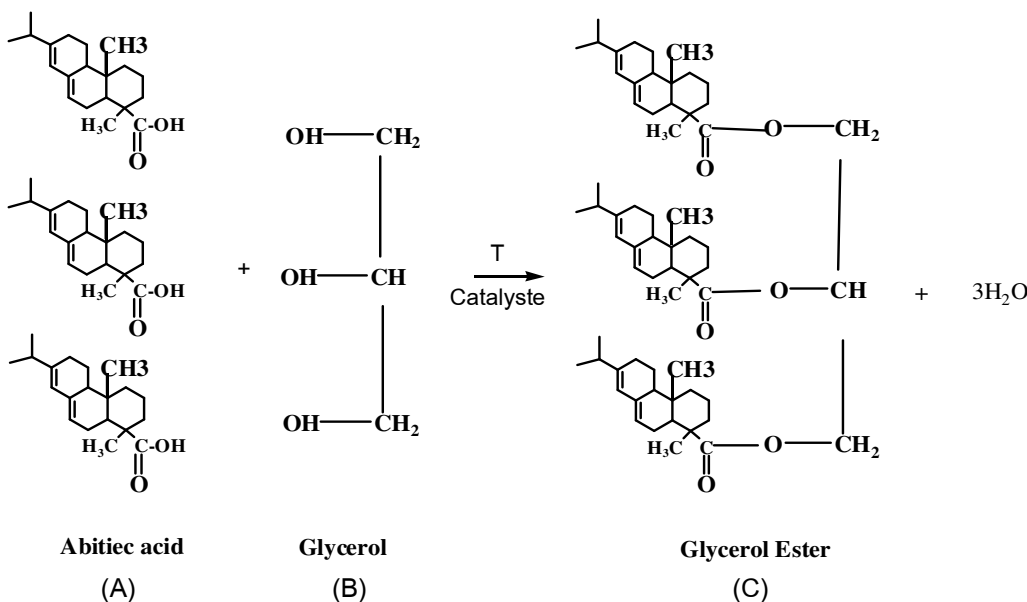
ในการผลิตการจากยางธรรมชาตินั้น ส่วนประกอบที่สำคัญได้แก่ ยางธรรมชาติ และแท็คคิไฟเออร์เรชิน โดยตัวแท็คคิไฟเออร์เรชินมีหน้าที่ไปลดแรงยึดเหนี่ยวภายในโมเลกุล (cohesiveness) ของเนื้อยาง และทำให้เพิ่มแรงยึดติดภายนอก (adhesiveness) ของยาง ให้มีความสามารถยึดติดกับพื้นผิววัสดุอื่นๆ ได้มากขึ้น ทั้งนี้แท็คคิไฟเออร์เรชินจะเป็นตัวกำหนด พฤติกรรมการยึดติด (tack) และการดึงลอก (peel) ของการประเภทที่ไวต่อแรงดัน (pressure sensitive adhesive, PSA) สาเหตุที่เรียกว่าการประเภทที่ไวต่อแรงดัน เนื่องจากเทปภาจะเกิดการยึดติดเมื่อได้รับแรงดันหรือแรงกดเพียงเล็กน้อย เมื่อนำไปใช้กับพื้นผิววัสดุต่างๆ ในภาวะที่ต่างกัน

ในปัจุบันมีการใช้วัสดุอื่นๆ ที่ได้จากการสังเคราะห์เพื่อมาผลิตภาชนะที่มีราคาแพง ต่างจากการที่ผลิตจากยางธรรมชาติซึ่งมีราคาที่ถูกกว่า แต่ข้อด้อยที่สำคัญของการที่ผลิตจากยางธรรมชาติก็คือ การไม่ทนทานต่อสภาพการนำไปใช้งานในสภาวะแวดล้อมที่มีแสงแดด เมื่อใช้งานที่ได้รับแสงแดดเป็นเวลานานๆ จะทำให้เปลี่ยนเป็นสีเหลือง เนื่องจากโครงสร้างหลักของยางธรรมชาติเป็นไฮโดรคาร์บอนชนิดที่ไม่อิ่มตัว ซึ่งสามารถลดปัญหานี้ด้วยการเติมสารป้องกันการเกิดออกซิเดชัน หรือ แอนติออกซิเดนท์ (antioxidant)

### 2.5.1 แทคคิไฟเออร์เรซิน

แทคคิไฟเออร์เรซิน (tackifier resin) เป็นวัสดุที่เติมเข้าไปในอิลัสโตเมอร์ (elastomer) เพื่อปรับปรุงคุณสมบัติการยึดติด มีการกระจายตัวของอนุภาคค่อนข้างกว้าง มีจุดอ่อนตัว (softening points) อยู่ในช่วง 50–150 °C นำหนักโมเลกุลประมาณ 200-1500 g/mole แทคคิไฟเออร์เรซิน ที่ใช้ต้องมีความเข้ากันได้กับอิลัสโตเมอร์ ที่ใช้ในการผลิตการด้วย แทคคิไฟเออร์เรซินส่วนใหญ่เป็นเรซินและอนุพันธ์ของเรซิน เช่น คูมาโนน-อินเดียนเรซิน (coumarone-inden resin) เทอพีนโอลิกอเมอร์ (terpene oligomers) และอะลิฟาติก ปิโตรเลียม (aliphatic petroleum) โดยปกติแล้วแทคคิไฟเออร์เรซินมีนำหนักโมเลกุลต่ำ ได้แก่ แทคคิไฟเออร์เรซิน ที่ได้จากการรرمชาติ แทคคิไฟเออร์เรซินที่ได้จากการรرمชาติ แทคคิไฟเออร์เรซินอื่นๆ

โรซินแอซิด (rosin acid) เป็นสารที่ได้จากการรرمชาติ ใช้สำหรับทำแทคคิไฟเออร์ โดยโครงสร้างของโรซินนั้น มีหลายโครงสร้างแต่เมื่อโครงสร้างหลักๆ คือ อะบิติกแอซิด (abietic acid) ซึ่งมีโครงสร้างที่ไม่อ้อมตัวทำให้สามารถเกิดปฏิกิริยาออกซิเดชันนำไปสู่การเปลี่ยนสี จึงมักมีการทำไฮโดรเจนเชนบริเวณพันธะคู่เพื่อกำจัดปัญหาเหล่านี้ โรซินแอซิดมีการทำปฏิกิริยาเอสเทอร์ฟิเคชัน (esterification) โดยใช้อะบิติกแอซิดกับกลีเซอรอล (glycerol) หรือเพนทาเรอ่อน (pentarythriol) ทำให้วัสดุมีจุดหลอมเหลวสูงขึ้น ตัวอย่างปฏิกิริยาเอสเทอร์ฟิเคชันระหว่างอะบิติกแอซิดกับกลีเซอรอล แสดงในรูปที่ 2.13 โรซินแอซิดเป็นผลิตภัณฑ์ที่ได้จากต้นไม้ เช่น กัมโรซิน (gum rosin) วุดโรซิน (wood rosin) และน้ำมันทอล (tall oil) ซึ่งโรซินแอซิดและเอสเทอร์ (esters) ตัวอื่นๆ มีใช้กันมากในการใช้เป็นส่วนประกอบของกาวยาง PSA (Skeist I., 1990)



รูปที่ 2.13 การเกิดปฏิกิริยาเอสเทอร์ฟิเคชัน (esterification) ระหว่าง (A) อะบิติก แอซิด (abietic acid) กับ (B) กลีเซอรอล (glycerol) ได้เป็น (C) กลีเซอรอล เอสเทอร์โรซิน (glycerol esters rosin) (<http://www.specialchem4adhesive.com>, 2009)

### 2.5.2 การชนิดไวต่อแรงดัน

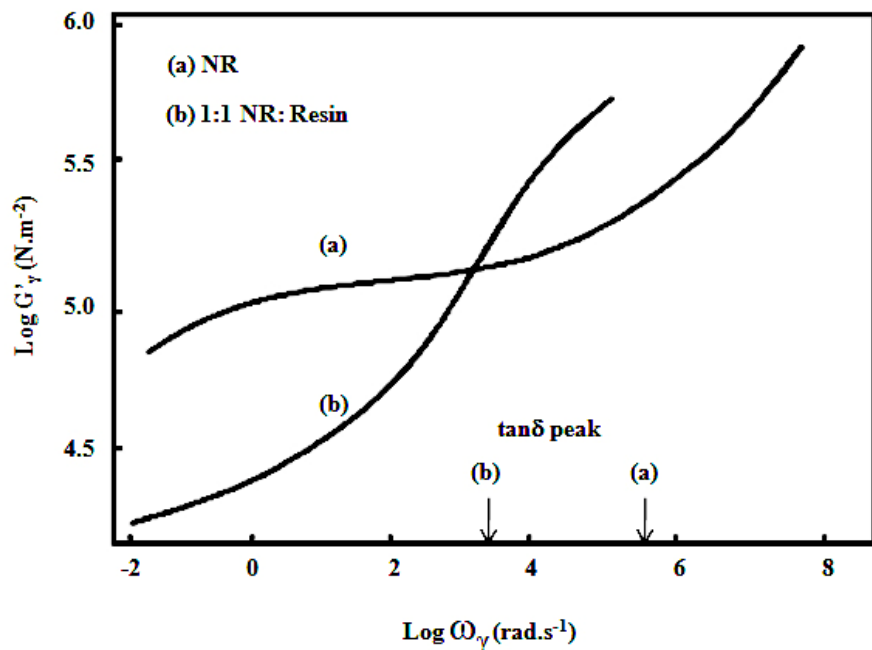
การที่จะถือว่าเป็นการชนิดไวต่อแรงดัน หรือ Pressure sensitive adhesives (PSAs) ต้องมีคุณสมบัติต่างๆ ดังได้ถูกนิยามโดย Pressure Sensitive Adhesives Council (PSAC) ต่อไปนี้

1. ต้องมีความสามารถในการติดที่แข็งแรงมากและใช้แรงน้อยๆ ในการดึงออก "ได้อย่างรวดเร็ว"
2. การติดต้องไม่ใช้แรงมากกว่าแรงดันจากปลายนิ้วมือ
3. ต้องไม่ใช้แรงกระตุ้นจากแหล่งพลังงานอื่นๆ
4. มีความสามารถมากพอที่จะยึดติดกับผิวสัมผสุกอื่นๆ ได้
5. มีความแข็งแรงของเนื้อการ (cohesive strength) ที่มากเพียงพอเมื่อดึงออกแล้วพื้นผิวสัมผสุกสะอาดไม่มีเศษของการที่ติดเหลืออยู่

นอกจากจะมีการกำหนดคุณสมบัติของเทปการ PSA แล้ว ยังมีการอธิบายถึงคำสำคัญที่เกี่ยวข้องกับเทปการด้วย อย่างแรกคือ คุณสมบัติการยึดติด หมายถึงแรงยึดเกาะบนพื้นที่ผิวที่ต้องการใช้แรงน้อยๆ และระยะเวลาสั้นๆ การวัดคุณสมบัติการยึดติด ทำได้โดยการใช้แรงกดจากนิ้ว ซึ่งเป็นวิธีที่ใช้กันอยู่ทั่วไป เห็นได้ชัดว่าวิธีนี้ไม่ได้ใช้วัดคุณภาพด้านปริมาณ

อย่างไรก็ตามนอกจากจะมีคุณสมบัติการยึดติดที่ดีแล้ว ยังต้องมีแรงยึดเหนี่ยวภายในเนื้อหา เช่น พ่อจะที่สามารถถือด้วยมือได้โดยไม่หลุดร่วงสิ่งใดๆ กัน

คุณสมบัติการยึดติดนั้นเป็นการแสดงความต้านทานการแยกออกของวัสดุ 2 ชนิดที่เกิดการสัมผัสกัน การศึกษาธรรมชาติของการเกิดคุณสมบัติการยึดติดนั้น นำไปสู่ความพยายามที่จะเข้าใจถึงผลของแทคคิไฟเออร์เรซินที่เป็นสารช่วยเพิ่มคุณสมบัติการยึดติดให้กับยาง สำหรับยางไฮโดรคาร์บอน (hydrocarbon rubber) เช่น ยางธรรมชาติ และไฮโดรคาร์บอนเรซิน (hydrocarbon resin) เช่น เทอร์พีนเรซิน (terpene resin), พอลิเบตาไพนีน (poly- $\beta$ -pinene) จากผลการทดลองพบว่า แทคคิไฟเออร์เรซินส่งผลกระทบพลังงานพื้นผิว (surface energy) น้อยกว่าพฤติกรรมวิสโคอิลัสติก (viscoelastic) ซึ่งเมื่อมีการเปลี่ยนแปลงระดับความถี่จากต่ำไปสูง ดังกราฟรูปที่ 2.14 เป็นภาพ master curve ระหว่าง  $\log G'_{\gamma}$  กับ  $\log \omega_{\gamma}$  เมื่อเพิ่มเบتاไพนีน ( $\beta$ -pinene) ในยางธรรมชาติ ทำให้มอดูลัสมีค่าลดลง (เพิ่ม compliance) ในเทอร์มินอลโซน (terminal zone) ที่อัตราเดียวกับการเกิดพันธะ (bonding) และมีการเลื่อนไปของทราบชิชันโซน (transition zone) (เมื่อ  $\tan \delta$  สูงขึ้น) ที่อัตราความถี่ต่ำ เป็นช่วงเดียวกับการเกิดการสลายพันธะ (debonding) การเพิ่มปริมาณแทคคิไฟเออร์เรซินเพิ่มคุณสมบัติการยึดติด ส่งผลถึงทั้งการเกิดพันธะและการสลายพันธะ (Skeist I., 1990)



รูปที่ 2.14 Master curve ของ  $\log G'_{\gamma}$  กับ  $\log \omega_{\gamma}$  ที่ 296°K (a) NR และ (b) ของผสมระหว่าง NR กับ Oiccolty S115\*tackifier resin (\*Hercules Co.trade name) ในสัดส่วน 1:1 (Packham D.E., 1992)

ปกติแล้วเทปกาว PSA แสดงพฤติกรรมระหว่างของแข็งและของเหลว เราจึงนิยามว่าวัสดุประเภทนี้ว่าเป็นวัสดุประเภทวิสโคอิลาสติก โดยแบ่งส่วนที่เป็นของแข็งกับของเหลว ออกจากกันโดยใช้ช่วงเวลาในการพิจารณา พิจารณาจากการเปียกซึ่งใช้เวลานาน (เปรียบเสมือนคุณสมบัติของของเหลว) และการดึงลอก ใช้ช่วงเวลาที่สั้น (เปรียบเสมือนคุณสมบัติของของแข็ง) ณ อุณหภูมิเดียวกัน เทปกาว PSA นั้นไม่ติดบนพื้นผิวอย่างรวดเร็วเนื่องจากเนื้อวัสดุแสดงพฤติกรรมเหมือนของเหลว คือ สามารถเปลี่ยนสภาพหรือไหลได้บนพื้นผิวที่เรียบ โดยใช้เวลาเป็นวินาที หรือมากกว่า นอกจากนี้เทปกาว PSA ยังแสดงการต้านทานการไหลซึ่งเป็นพฤติกรรมเหมือนของแข็ง โดยใช้เวลาเป็นวินาทีหรือน้อยกว่า สำหรับการใช้งานของเทปกาว PSA มีการใช้งานมากกว่าเทปชนิดอื่นๆ เนื่องจากไม่มีปัญหาเรื่องการเก็บรักษา (storage) จึงไม่ต้องใช้สารกระตุนมาก สามารถดึงกลับมาได้อย่างรวดเร็ว ข้อเสียของเทปกาว PSA คือ แข็งแรงของการดึงลอก และความแข็งแรงการเฉือน (shear strength) ค่อนข้างต่ำ

### 2.5.3 ชนิดของการทำเทปกาว PSA

(Skeist I., 1989)

#### 1. Solvent-based Adhesive

การผลิตเทปกาวแบบนี้สามารถแบ่งองค์ประกอบหลักๆ ได้เป็นสามส่วน ได้แก่ ส่วนที่เป็นอิลاستิก (elastic) ส่วนที่เป็นแทคคิไฟเบอร์เรซิน และส่วนที่เป็นตัวแพร่ ในการทำเทปกาว PSA นั้น ใช้ยางธรรมชาติและแทคคิไฟเบอร์เรซิน เช่น วูดโรซิน (wood rosin) เป็นส่วนผสมหลักและสุดท้ายมีการเติมซิงค์ออกไซด์ (zinc oxide) เพื่อเพิ่มนื้อให้กับการ แต่ซิงค์ออกไซด์ก็มีผลกับคุณสมบัติการเหนียวติดกัน (tack) ทำให้คุณสมบัตินี้ลดลงด้วย สำหรับอิลاستิกเมอร์ที่ใช้ในการทำเทปกาว PSA มีการใช้กันหลายชนิดอย่างเช่น ยางบิวทิล (butyl rubber) ยางสไตรีน-บิวทาไดอีน (stryrene-butadiene rubber, SBR) พอลิไอโซพรีน (polyisoprene) และ ยางเทอร์โมพลาสติก (thermoplastic rubber) เช่น พอลิเมอร์ร่วมแบบกลุ่ม (block copolymer) ของสไตรีน (stryrene) กับ บิวทาไดอีน (butadiene) หรือ ไอโซพรีน (isoprene) เป็นต้น

ส่วนของแทคคิไฟเบอร์เรซิน สามารถแบ่งออกเป็นสองกลุ่มใหญ่ๆ คือ กลุ่มของ วูดโรซิน และอนุพันธ์ และ กลุ่มไไฮโดรคาร์บอนเรซิน โดยวูดโรซิน ที่มีการใช้กันอยู่มากคือ กัมโกรซิน แต่เมื่อมันถูกความร้อนและการถูกทำให้เสื่อมสภาพ (aging) ทำให้เกิดการออกซิเดชัน ส่งผลให้คุณสมบัติการยึดติดลดลง เพื่อทำให้อนุพันธ์เกิดความเสถียรจึงได้ทำการไฮโดรเจนชัน (hydrogenation) หรือ เอสเทอเรติกเดชัน เพื่อให้แทคคิไฟเบอร์เรซินสามารถใช้งานได้กว้างขวาง ขึ้น ไฮโดรคาร์บอนเรซินที่ใช้กันอยู่ เช่น อะลิฟาติก (aliphatic) อะโรมาติก (aromatic) หรือ เทอร์พีน (terpenes) อาจจะมีการนำมาผสมกันแล้วแต่ความเหมาะสมในการใช้งาน

#### 2. Hot-Melt Adhesive

หลักการของการเตรียมเทปกาว PSA แบบ hot-melt adhesive นี้คล้ายกับระบบ solvent-based สำหรับอิลاستิกเมอร์ กับแทคคิไฟเบอร์เรซิน จะต้องมีความเหมาะสมกับ การผลิตกาวระบบนี้ ส่วนสำคัญคือยางเทอร์มอพลาสติก คุณสมบัติโดยเด่นของเฟสสองเฟส ระหว่าง stryrene end block ที่ล็อกอยู่กับ butadiene หรือ isoprene ณ อุณหภูมิห้องทำให้อิลاستิกเมอร์นี้มีการเคลื่อนไหวได้อย่างอิสระในอุณหภูมิที่สูงหรือในสารละลาย โดยคุณสมบัติเหล่านี้มีความคล้ายกับยางวัลคาไรเซ็ด (vulcanized rubber) ที่อุณหภูมิห้อง นอกจากนั้นมันยังมีพฤติกรรมเหมือนกับเทอร์มอพลาสติก คือ เมื่อให้ความร้อนหรือถูกละลาย ความแตกต่างกัน

ระหว่าง hot-melt adhesive กับ solvent-base คือ แบบ hot-melt “ไม่สามารถควบคุมความหนืดได้ด้วยการควบคุมตัวทำละลาย แต่มันถูกควบคุมโดยความร้อนแทน ดังนั้นในการเลือกชนิดและปริมาณของเทคโนโลยีไฟเบอร์เรซิน จึงมีความจำเป็นอย่างยิ่งต่อการดำเนินถึงความหนืด

### 3. Water-based Adhesive

การผลิตการแบบนี้เป็นที่นิยมกันเนื่องจากไม่กระทบต่อสิ่งแวดล้อม และช่วยลดต้นทุนในการผลิต เพราะใช้น้ำเป็นตัวกลาง แต่การผลิตการแบบนี้ก็มีข้อจำกัดในเรื่องของการระเหยนำออกจากการ ซึ่งจะต้องเสียค่าเครื่องจักรในการทำให้น้ำระเหย และเสียเวลามากกว่าเมื่อเทียบกับแบบ solvent-base adhesive

#### 2.5.4 ทฤษฎีการยึดติดของกาว

(<http://www.specailchem4adhesive.com>, 2009)

กลไกการยึดติดของการกับวัสดุ มีด้วยกันหลายทฤษฎี ดังต่อไปนี้

1. Mechanical Interlocking เป็นแรงยึดติดเชิงกลซึ่งเป็นแรงยึดเหนี่ยวที่เกิดจากการยึดติดระหว่างโมเลกุลของการกับวัสดุ เนื่องจากการให้ของกาวเข้าไปแทนที่อากาศในช่องว่างบนผิวของวัสดุ หรือ มีการแพร่ผ่านลงไปในผิวของวัสดุซึ่งการยึดติดทางกลนี้เกิดขึ้นได้เมื่อผิวน้ำของวัสดุมีความชุربำ ทำให้เพิ่มพื้นที่ผิวสัมผัสระหว่างกาวและวัสดุ

2. Electrostatic Theory เป็นการยึดติดด้วยแรงทางประจุไฟฟ้า ซึ่งเป็นแรงดึงดูดจากการแยกชั้นของประจุไฟฟ้าที่แตกต่างกัน ที่บริเวณผิวสัมผัสระหว่างกาวกับวัสดุ เช่น การยึดติดของพอลิเมอร์กับโลหะ โดยอิเล็กตรอนจากโลหะเคลื่อนย้ายไปยังพอลิเมอร์ เกิดเป็นประจุไฟฟ้าที่ต่างกันขึ้นที่ผิววัสดุทั้งสองชนิด adsorption mechanism เป็นการยึดติดด้วยแรงกระทำระหว่างโมเลกุลของการและวัสดุ เช่น เนื่องจากแรงแวงเดอร์วالتز (van der waal) แรงกระทำที่เกิดจากความเป็นกรด-ด่าง หรือ ความสามารถในการเปียกผิวของกาวบนผิวสัมผัสดของวัสดุ

3. Chemisorption Theory การยึดติดที่เกิดจากพันธะเคมีของผิวสัมผัสระหว่างกาวและวัสดุ ซึ่งพันธะทางเคมีที่เกิดขึ้นระหว่างกาวและผิวสัมผัสมีด้วยกันหลายแบบ และพัฒนาพันธะไม่เท่ากันส่งผลกระทบต่อความแข็งแรงในการยึดติด โดยหากพัฒนาพันธะสูงแสดงว่า พันธะมีความแข็งแรงมาก

4. Diffusion Theory เป็นการยึดติดที่เกิดจากการเคลื่อนไหวของโมเลกุลแรก ผ่านรวมเข้าอยู่ด้วยกันของโมเลกุลที่อยู่ระหว่างพื้นผิวของกาวและวัสดุ ซึ่งปัจจัยที่มีผลต่อ

กระบวนการแทรกผ่านของโมเลกุลคือ เวลาที่ใช้ในการเชื่อมติด อุณหภูมิ น้ำหนักโมเลกุล และ ความมีข้าวของโมเลกุล

### 2.5.5 การผลิตเทปภาว PSA จากยางธรรมชาติ (Pizzi A. et al., 2003)

ในอุตสาหกรรมการผลิตเทปภาว PSA จำเป็นต้องมีการลดน้ำหนักโมเลกุลของยางธรรมชาติ เพื่อที่ปรับปรุงในเรื่องการละลาย และคุณสมบัติของยางธรรมชาติบางประการที่ไม่เหมาะสมในนำมาผลิตเป็นเทปภาว PSA คือ การที่ยางธรรมชาติที่มีน้ำหนักโมเลกุลสูง ทำให้ยางมีความยืดหยุ่นสูง (flexibility) การผลิตเทปภาว PSA จากยางธรรมชาติ เมื่อเปรียบเทียบ การใช้ยางธรรมชาติที่ผ่านการลดน้ำหนักโมเลกุลโดยการบด และยางธรรมชาติที่ไม่ได้ทำการบด พบว่ายางที่ทำการลดน้ำหนักโมเลกุลโดยการบด สามารถละลายในตัวทำละลายอินทรีย์ได้ง่ายกว่ายางธรรมชาติที่ไม่ได้ผ่านการบดมาก่อน ในการใช้ยางธรรมชาติผลิตเทปภาว PSA นั้น ยางต้องมีน้ำหนักโมเลกุลเฉลี่ยที่ 700,000 g/mole หรือน้อยกว่านั้น

กระบวนการผลิตภาว PSA จากยางธรรมชาตินั้น เริ่มแรกต้องทำการละลายยางธรรมชาติด้วยตัวทำละลายอินทรีย์ เช่น โทลูอีน (toluene) เอ็กเซน (hexane) หรือ เอ็ปเทน (heptane) จากนั้นก็จะทำการเติมส่วนประกอบอื่นๆเข้าไป เช่น แทคคิไฟเออร์เรชิน อย่างไรก็ตาม ยางที่ไม่ได้ทำการบดมาก่อนนั้นมีน้ำหนักโมเลกุลที่สูงซึ่งเป็นสาเหตุให้การละลายยากกว่า ยางที่ผ่านการบด ยางธรรมชาติที่มีน้ำหนักโมเลกุลสูงทำให้ยางมีความยืดหยุ่นสูง (flexibility) เมื่อนำมาทำเป็นเทปภาว PSA ทำให้ไม่มีความเหมาะสมเนื่องจากคุณสมบัตินี้ การหลีกเลี่ยงปัญหานี้ก็คือทำการลดน้ำหนักโมเลกุลยางธรรมชาติ

สำหรับวิธีการลดน้ำหนักโมเลกุลของยางธรรมชาติปกติแล้วใช้วิธีทางกล โดยการใช้แรงดันในการบดหรือนวด เครื่องที่ใช้ทำการบดได้แก่ เครื่องผสมแบบบันบุรี (banbury mixer) เครื่องผสมยางแบบสองลูกกลิ้ง (two-roll mill) เป็นต้น การลดน้ำหนักโมเลกุลยางธรรมชาติด้วยวิธีนี้นอกจากทำให้ยางมีน้ำหนักโมเลกุลที่ลดลงแล้ว ยังทำให้มีคุณสมบัติเหมาะสม สมกับการนำไปเป็นวัสดุดิบในการผลิตเทปภาว PSA มากขึ้น นอกจากนี้ยังสามารถลดปริมาณของตัวทำละลายอินทรีย์ที่ใช้เป็นตัวทำละลายได้อีกด้วย ทำให้ต้นทุนในการผลิตเทปภาว PSA นั้นต่ำลง แต่อย่างไรก็ตาม การใช้แรงทางกลในการลดน้ำหนักโมเลกุลยางธรรมชาตินั้นยังต้องใช้พลังงานที่สูง จึงได้มีการพัฒนาการลดน้ำหนักโมเลกุลยางธรรมชาติโดยการใช้สารย่อยยาง (peptizing agent) เพื่อช่วยลดพลังงานที่ใช้ในการลดน้ำหนักโมเลกุลในยางธรรมชาติแบบทางกล ตัวอย่างของส่วนผสมต่างๆที่ใช้ในการเตรียมยางที่มีน้ำหนักโมเลกุลต่ำมีดังนี้ ยางธรรมชาติที่ใช้ เช่น ยางแผ่นรมควัน (ribbed smoked sheet, RSS) และยางเครฟขาว (pale crepe) เป็นต้น ตัวทำละลายอินทรีย์ที่ใช้ในการละลายยาง ได้แก่ โทลูอีน (toluene) และ อะลิฟติก ไฮโดร

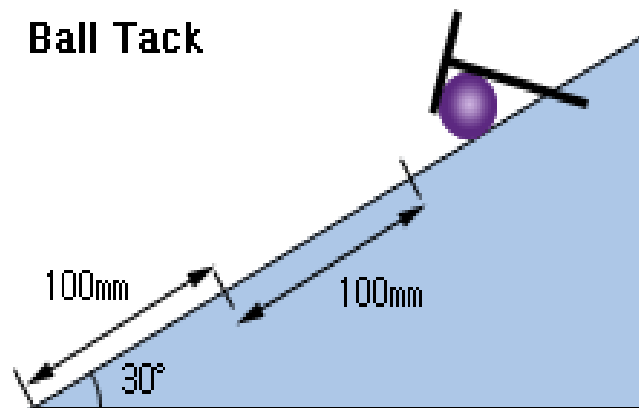
คาร์บอน (aliphatic hydrocarbons) ส่วนสารย่อยย่างได้แก่ ไดซัลไฟด์ (disulfides) เมอร์แคปแทน (mercaptans) เป็นต้น

### 2.5.6 การทดสอบสมบัติของเทปภา

(Pocius Al.V., 1997)

#### 2.5.6.1 การทดสอบสมบัติการเหนี่ยวติดกันแบบ Rolling ball tack

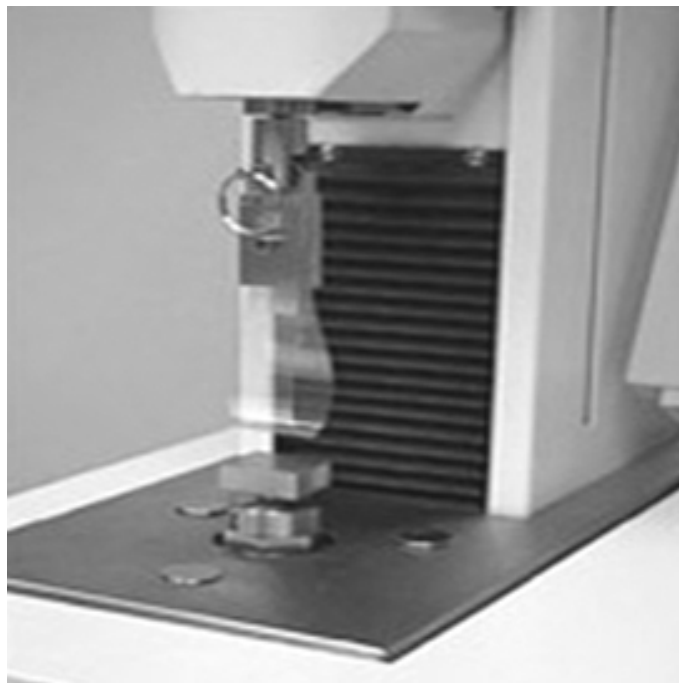
การทดสอบสมบัติการเหนี่ยวติดกันแบบ rolling ball tack มีการทำทางลาดชันที่เป็นช่องทำมุ่ม  $30^\circ$  กับพื้นผิว และปล่อยให้ลูกบอลลิงลงมาตามร่องนั้นบนชิ้นงานที่อยู่ในทางเรียบ ซึ่งผิวของชิ้นงานนั้นเป็นกาว (adhesive) ระบบการลิงของ rolling ball เทียบได้กับการวัดแบบ quick stick โดยบล็อกที่ใช้ทำจากเหล็ก ดังในรูปที่ 2.15



รูปที่ 2.15 การทดสอบสมบัติการเหนี่ยวติดกันแบบ rolling ball tack ตามมาตรฐาน ASTM D3121-05, Volum: 15.06

### 2.5.6.2 การทดสอบสมบัติการเหนี่ยวติดกันแบบ Quick stick หรือ Loop tack

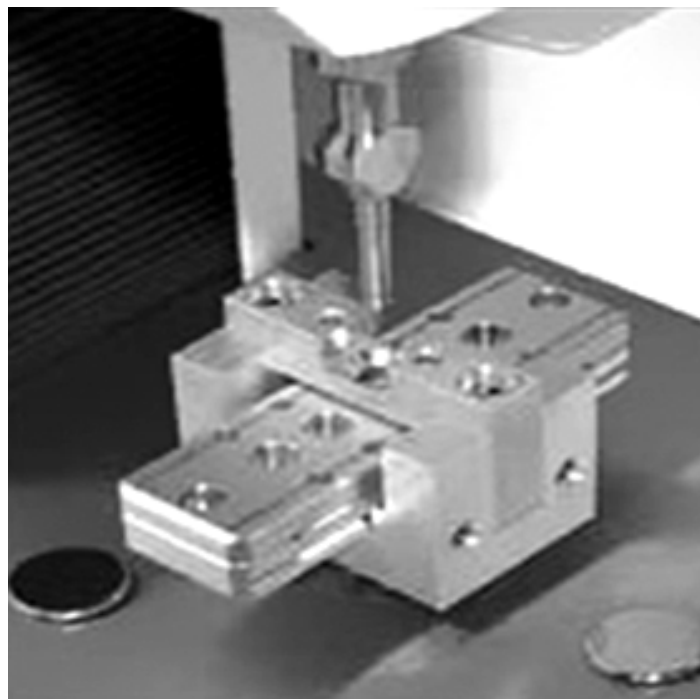
การทดสอบนี้จะไม่มีการใช้ load ทำได้โดยใช้หัวจับคีบปลายทั้งสองข้างของ เทปการไวนด์วายกัน โดยหันด้านที่เป็นการออกด้านนอก จากนั้นเทปการที่คีบไว้จะเคลื่อนที่ลงมา บนพื้นที่ผิวที่จะทดสอบ และเมื่อเครื่องดึงเทปการออกจะมีการบันทึกแรงที่ใช้ในการดึงเทปออก เครื่องจับนี้อาจใช้เครื่อง tensile ในการทดสอบ ความเร็วของหัวจับมีค่าเท่ากับ 30.5 cm/min แรงที่ได้จะเป็นฟังชันกับการวัดระดับของคุณสมบัติการเหนี่ยวติดกัน ดังในรูปที่ 2.16



รูปที่ 2.16 การทดสอบสมบัติการเหนี่ยวติดกันแบบ Quick stick หรือ Loop tack, มาตรฐาน ASTM D6195-03, Volum: 15.06

### 2.5.6.3 การทดสอบสมบัติการเหนี่ยวติดกันแบบ Probe tack

การทดสอบนี้มีการใช้манาน โดยมีชุด rod และส่วนล่างของ rod มี probe ติดอยู่และต่อกับเครื่อง Instron tensile โดยที่ probe เคลื่อนที่ไปตอบรับแรงซึ่งเป็นแผ่นเหล็กจากนั้นนำเอาเทปกาวที่ต้องการทดสอบมาวางบนแผ่นเหล็กนั้น เมื่อ probe เคลื่อนที่ลงมาแตะบนพื้นผิวของกาวที่นำมาทดสอบ แล้วดึง probe ออก เครื่องทำการวัดแรงที่ดึงออก โดยเวลาที่สัมผัสกับเวลาที่ดึงออกเท่ากัน ปกติแล้วใช้เวลาประมาณ 1 cm/min และเวลาที่ probe อยู่บนชิ้นงานก็เท่ากับ 1 sec เช่นกัน probe ที่ใช้มีขนาดเส้นผ่านศูนย์กลาง 0.5 cm ความเร็วในการเคลื่อนที่ของ probe เท่ากับ 12 inch/min ดังในรูปที่ 2.17

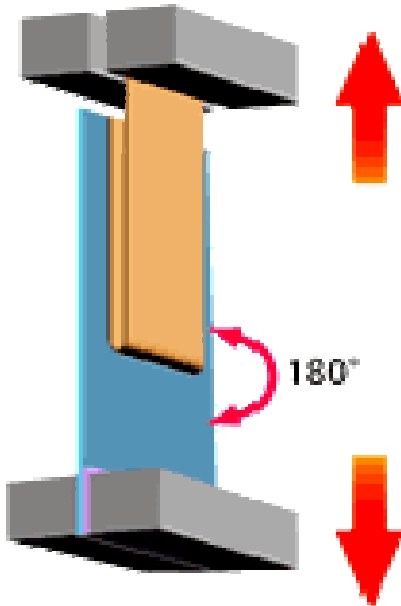


รูปที่ 2.17 การทดสอบสมบัติการเหนี่ยวติดกันแบบ probe tack ตามมาตรฐาน ASTM D2979-00, Volume: 15.06

#### 2.5.6.4 การทดสอบสมบัติการดึงลอก

##### 1. การดึงลอกในแนว $180^\circ$

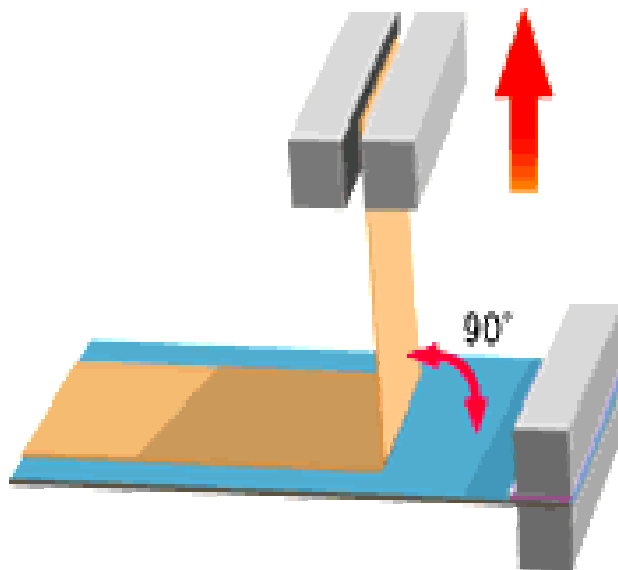
เป็นการวัดความแข็งแรงในการดึงลอกของเทปกาว ซึ่งใช้เครื่อง tensile testing ในการทดสอบ วิธีการทำได้โดยนำเอาเทปกาวที่ต้องการศึกษามาติดไว้บนผิวของชิ้นงานที่นำไปใช้ อาจเป็นเหล็ก โครงเมียม หรือไม้ และแต่การใช้งานของเทปกาวนั้น โดยเริ่มติดเทปกาวจากขอบล่างของชิ้นงานขึ้นไป แล้วปล่อยปลายที่เหลือห้อยลงมาในทิศทางตรงข้ามกับหัวจับที่ใช้จับชิ้นงาน ซึ่งปลายที่ห้อยลงมานี้ถูกจับด้วยหัวจับอีกอัน จากนั้นทำการลอกเทปกาวออกในแนว  $180^\circ$  ดังในรูปที่ 2.18 โดยเครื่องจะทำการดึงแรงที่ใช้ในการดึงลอก โดยใช้ความเร็วของหัวจับเท่ากับ 300 mm/min



รูปที่ 2.18 การทดสอบแบบการดึงลอกในแนว  $180^\circ$  และลักษณะตัวอย่างเทปกาวที่ติดอยู่กับเครื่อง tensile testing (มาตรฐาน ASTM D3330/D3330 M-04)

## 2. การดึงลอกในแนว 90°

สำหรับการวัดการดึงลอกออกในแนว 90° นี้ได้รับความนิยมน้อยกว่าการดึงลอกในแนว 180° เนื่องจากมีความยุ่งยากในการเตรียมอุปกรณ์ที่ต้องมีลักษณะพิเศษ สำหรับการทดสอบนี้ต้องใช้เครื่อง tensile testing ต่อเข้ากับอุปกรณ์ที่บริเวณฐานรองสามารถเคลื่อนที่ได้อย่างเป็นอิสระ บริเวณแท่นรองเป็นพื้นผิวที่เราต้องการนำไปใช้งาน เมื่อติดเทปกาวบนพื้นผิวที่ต้องการทดสอบแล้ว ปลายด้านหนึ่งถูกจับด้วยหัวจับของเครื่อง tensile ส่วนอีกด้านติดอยู่กับพื้นผิว และเมื่อเดินเครื่องเทปกาวถูกดึงลอกในแนว 90° ดังรูปที่ 2.19 เห็นได้ว่าการทำงานค่อนข้างยุ่งยากจึงทำให้ได้รับความนิยมน้อยกว่าการดึงลอกแบบ 180°



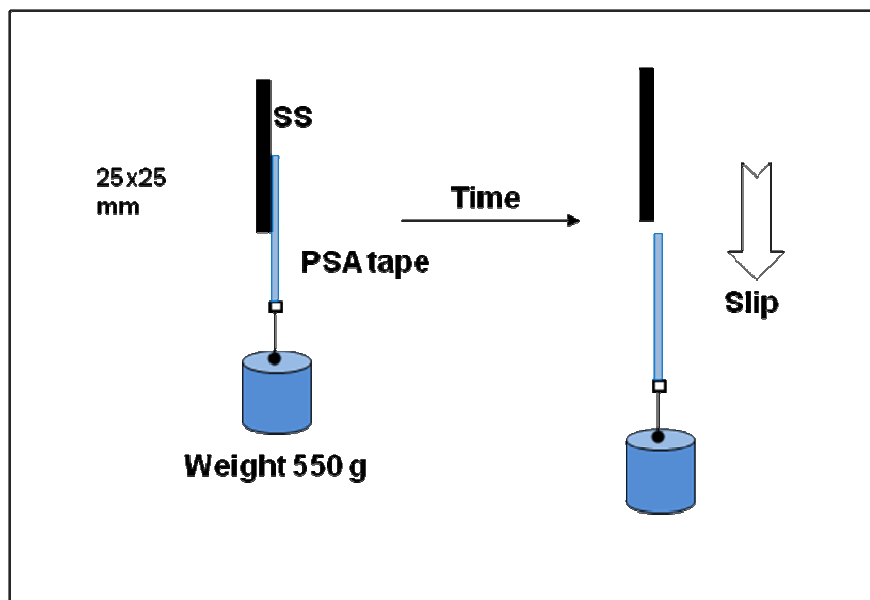
รูปที่ 2.19 การทดสอบการดึงลอกในแนว 90° (มาตรฐาน ASTM D6252/D6252 M-98 2004,  
Volum: 15.09)

การทดสอบคุณสมบัติการดึงลอก เป็นการดึงลอกเทปกาวออกจากแผ่นที่ใช้ทดสอบ (ปกติใช้เป็นแผ่นเหล็ก หรือแก้ว) การทดสอบนี้ใช้เครื่อง tensile testing ที่มีการให้อัตราในการดึงลอกเทปกาวและอุณหภูมิคงที่ โดยที่ก่อนการทดสอบแผ่นที่ใช้ทดสอบนั้นต้องมีการทำความสะอาดก่อน เพื่อให้แรงที่ใช้ลอกเทปกาวออกนั้นเป็นความแข็งแรงของพันธะระหว่างเทปกาวกับพื้นผิวเท่านั้น การวัดคุณสมบัติการดึงลอกของเทปกาวนั้นขึ้นอยู่กับอุณหภูมิ

และอัตราการดึงลอกเทปการ พบว่าการวัดคุณสมบัติการดึงลอกที่เปลี่ยนแปลงอัตราการดึงเป็นฟังก์ชันกับคุณสมบัติวิสโคอิเลสติก สำหรับอัตราการดึงที่เปลี่ยนไปนั้นทำให้มีการตอบสนองกับคุณสมบัติวิสโคอิเลสติกเปลี่ยนไปตามอัตราการดึงและอุณหภูมิ การศึกษาคุณสมบัติการดึงลอกของเทปกรณีแสดงพฤติกรรมความเหนียว (viscous) ยืดหยุ่น (rubbery) แข็งคล้ายแก้ว (glassy) เมื่อให้อัตราการดึงที่ต่างกัน

#### 2.5.6.5 การทดสอบสมบัติการติดในแนวแรงเฉือน

การทดสอบสมบัติการติดในแนวแรงเฉือนของเทปการ PSA หรือการทดสอบแบบ shear holding power โดยทำการแขวนน้ำหนัก 550 g ไว้บนเทปการซึ่งมีขนาด ( $1 \times 1$  inch) ที่ติดอยู่บนแผ่นเหล็ก ดังรูปที่ 2.20 จับเวลาจนกว่าเทปการเริ่มเลื่อนไถลจนหลุดออกจากแผ่นเหล็ก (โดยที่ควบคุมอุณหภูมิ) การทดสอบส่วนใหญ่ทำการทดสอบที่อุณหภูมิห้อง หรือ ที่  $40^{\circ}\text{C}$  การทดสอบนี้ใช้ตาม PSTC-7



รูปที่ 2.20 การทดสอบแบบ shear holding power

## 2.6 การตัดแปรยางธรรมชาติ

(ปี 2545)

ก่อนปี พ.ศ. 2513 การสังเคราะห์พอลิเมอร์ทางการค้าส่วนใหญ่เป็นการเปลี่ยนมอนอเมอร์ที่มีอยู่แล้ว แต่ช่วง 50 ปีที่ผ่านมาได้มีการเปลี่ยนแปลงกล่าวคือ พอลิเมอร์หลาย ๆ ชนิดถูกเตรียมจากวิธีดัดแปลงโมเลกุลของพอลิเมอร์ที่มีอยู่แล้ว โดยทางเคมี (chemical transformation) การเปลี่ยนแปลงดังกล่าว เนื่องมาจากกระบวนการขาดแคลนพอลิเมอร์ชนิดใหม่ๆ ที่มาจากการกระบวนการกรองแยกของน้ำมันดิบ ซึ่งยางธรรมชาติเป็นวัตถุดิบทางธรรมชาติชนิดหนึ่งที่มีการใช้งานทางพาณิชย์มานานกว่า 100 ปี จึงได้มีความพยายามที่จะเปลี่ยนแปลงให้ยางธรรมชาติอยู่ในรูปแบบของวัตถุดิบที่ใช้ประโยชน์ได้สูงสุด ความสำเร็จในความพยายามดังกล่าว นี้ได้จากการยอมรับเชิงพาณิชย์ของยางธรรมชาติดัดแปลงเป็นรูปแบบต่างๆ ได้แก่ ยางคลอรีเนต, ยางไซค์ไซล์ และยางอิพอกไซด์ อย่างไรก็ตามปัจจุบันการใช้ยางเหล่านี้อย่างมากเนื่องจากได้มีวัตถุสังเคราะห์อื่นๆ ที่ได้เปรียบกว่ามาแทนที่

1. ยางคลอรีเนต (chlorinated rubber) การเตรียมยางคลอรีเนต ทำโดยการตัดยางชิ้นเล็กๆ ขนาดที่เหมาะสมสม苻สมเข้ากับคาร์บอนเตตระคลอไรด์ และ depolymerising agent หรือเบนโซอิลเพอร์ออกไซด์ (benzoyl peroxide) เล็กน้อย ควบคุมปริมาณเบนโซอิลเพอร์ออกไซด์และเวลาการทำปฏิกิริยา เมื่อได้สารละลายยางที่มีความหนืดตามต้องการ จากนั้นจึงเติมสารที่ช่วยยางมีความเสถียร และพ่นสารละลายเป็นฝอยลงใน chlorinating tower ที่ปล่อยคลอรีนเข้าทางส่วนล่าง กรณีไโตรคลอริกจะถูกแยกออกที่ส่วนบนของ chlorinating tower และยางคลอรีเนตที่อยู่ในรูปสารละลายจะถูกเก็บจากส่วนล่างของ chlorinating tower ทำการแยกคลอรีนที่เหลือโดยตู้อบสูญญากาศเพื่อให้เกิด “degassing” และพ่นสารละลายไปที่ไอน้ำเพื่อให้คาร์บอนเตตระคลอไรด์ระเหยรวดเร็ว นำส่วนผสมของไอน้ำกับตัวละลายที่ระเหยได้ไปกลั่นแยกตัวทำละลายออกเพื่อนำกลับมาใช้ใหม่ ยางคลอรีเนตกลงที่ส่วนล่างของภาชนะในรูปของเส้นใยร่วมเปียก (loose, wet fibrous mass) ซึ่งจะถูกล้าง ปั่น และทำให้แห้ง จากนั้นจึงบดให้เป็นผงใน ball mill การใช้ประโยชน์ยางคลอรีเนต ได้แก่ การใช้งาน กาว ตัวเชื่อมประสาน (bonding agent) และส่วนใหญ่ใช้เป็นสารเคลือบผิว (surface coating)

2. ยางไซค์ไซล์ (cyclised rubber) ยางไซค์ไซล์ คือยางที่มีโครงสร้างโมเลกุลเป็นวง (ring-like structure) วิธีการเตรียมยางไซค์ไซล์มีหลายวิธี เช่น การให้ความร้อนกับยางในสภาวะที่มีกรดเป็นสารตัวเร่ง (catalyst) การแยกแอโรโลเจนออกจาก halogenated rubber และการให้ยางทำปฏิกิริยาร่วมกับ amphoteric metal halides ในปี พ.ศ. 2495-2499 ได้มีการผลิตยางไซค์ไซล์เชิงพาณิชย์ โดยการทำให้ยางสดเป็นกรดและไม่จับตัวในสภาวะการเติมแคทไอโอนิก จากนั้นจึงเติมกรดซัลฟูริกเพื่อทำให้ยางจับตัว ในอดีตใช้ยางไซค์ไซล์ในการผลิตพื้นรองเท้า ยางนี้มีลักษณะและสมบัติคล้าย high styrene SBR ซึ่งความแข็งและทนการสึกหรอ

ได้ดี อย่างไรก็ตามยางไช่คิลซ์ได้ถูกแทนที่โดย resin rubber อีนๆ เนื่องจากแข็งขันเรื่องราคาไม่ได้ เพาะการผลิตยางไช่คิลซ์ต้องใช้กรดซัลฟูริกปริมาณมาก และต้องใช้ต้นทุนการใช้สารที่ช่วยให้ยางเสถียรสูง

3. ยางไฮโดรเจนेट (hydrogenated rubber) การดัดแปลงโมเลกุลยางธรรมชาติ โดยปฏิกิริยาไฮโดรเจนเข้าที่ไม่ทำให้ยางเกิดเสื่อมคุณภาพได้มีมานานแล้ว ซึ่งวิธีการสำคัญของปฏิกิริยาคือ ใช้นิกเกิลเป็นตัวเร่งที่อุณหภูมิ  $170\text{--}195^{\circ}\text{C}$  ใช้ไฮโดรเจนที่มีความดัน  $15\text{--}20 \text{ atm}$  และยางในรูปของสารละลาย 2% ในไช่คอลเอกเซน ซึ่งยางไฮโดรเจนที่ได้ไม่มีสี โปร่งแสง คล้ายไข่ผึ้ง อย่างไรก็ตามยางชนิดนี้ส่วนใหญ่อยู่ในความสนใจของนักวิจัย แต่ยังไม่ค่อยมีความสำคัญในเชิงพาณิชย์

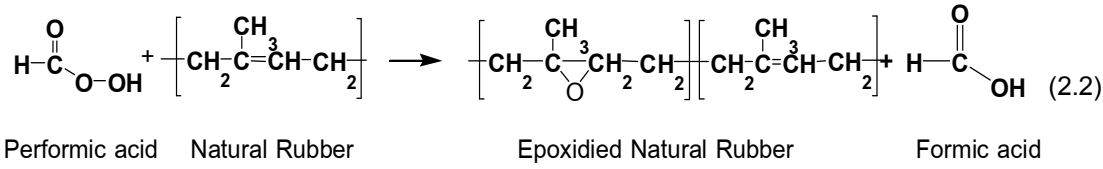
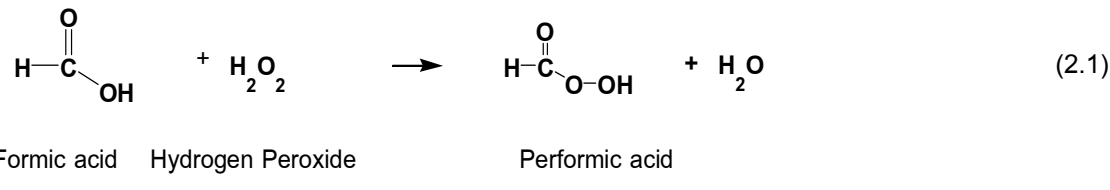
4. ยางอิพอกไซด์ (epoxide rubber) การดัดแปลงโมเลกุลยางธรรมชาติ โดยปฏิกิริยานี้ เป็นการทำให้เกิดหมู่อิพอกไซด์บนสายโซ่โมเลกุลของยาง การที่ยางธรรมชาติอิพอกไซด์ (ENR) มีหมู่อิพอกไซด์ทำให้มีความข้ามเพิ่มขึ้น เมื่อนำไปเตรียมเป็นพิล์มจะมี  $T_g$  สูงขึ้น ก้าวผ่านได้อย่างลื่น และทนต่อตัวทำละลายอินทรีย์ได้มากขึ้น โดยยังคงสมบัติอีนๆ ของยางธรรมชาติ เช่น มีความสามารถเกิดโครงสร้างผลึก (crystallinity) เมื่อนำไปดึงยืด เป็นต้น

### 2.6.1 ยางธรรมชาติอิพอกไซด์

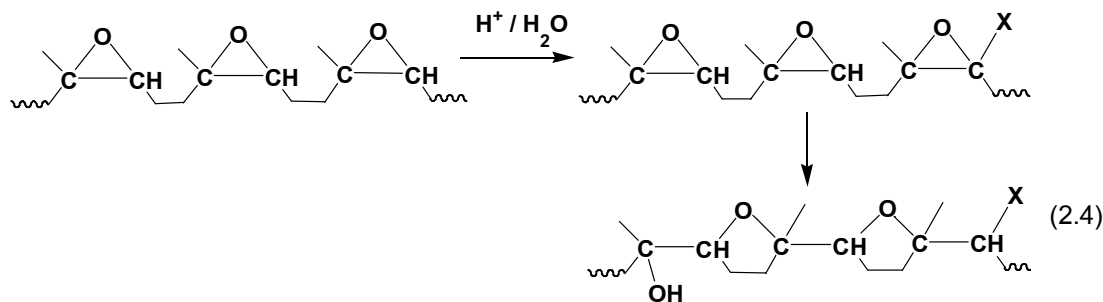
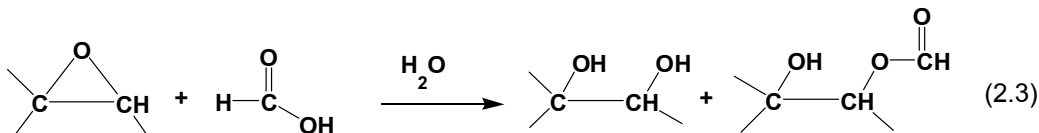
ยางธรรมชาติอิพอกไซด์ สามารถสังเคราะห์โดยการทำปฏิกิริยาอิพอกซิเดชันของโมเลกุลยางธรรมชาติเพื่อให้เกิดหมู่อิพอกไซด์ หรือ ออกซิเรน ในตำแหน่งพันธะคู่ของยางธรรมชาติ การมีพันธะคู่ในโครงสร้างของยางธรรมชาติซึ่งไม่ทนต่อการเกิดปฏิกิริยาทางเคมี จึงเป็นที่สนใจที่สามารถเปลี่ยนแปลงโครงสร้างของยางธรรมชาติได้ เพื่อให้สามารถใช้ยางธรรมชาติได้อย่างกว้างขวางมากขึ้น เช่น สามารถใช้ในงานที่ต้องการความทนทานต่อน้ำมันและทนต่อตัวทำละลายหรือใช้ในงานที่ทนทานต่อการซึมผ่านของอากาศ รวมทั้งคุณสมบัติในการใช้งานด้านการเพื่อยืดติดยางที่มีข้อจำกัดที่ไม่มีข้าว เป็นต้น ซึ่งการใช้งานดังกล่าวไม่สามารถใช้ยางธรรมชาติได้แต่ต้องใช้ยางสังเคราะห์ เช่น ยางไนไตรอล (nitrile, NBR) และยางบิวไทอล (butyl, IIR) เป็นต้น

โดยทั่วไปปฏิกิริยาการอิพอกซิเดชันของยางธรรมชาติจะใช้กรดเบอร์อซิติก หรือกรดเบอร์ฟอร์มิก ซึ่งอาจเตรียมเป็นกรดอะซิติกก่อน หรืออาจทำให้เกิดเป็นเบอร์ເອຊີດในขณะท่าปฏิกิริยาอิพอกซิเดชัน (*in-situ*) ก็ได้ การเกิดเบอร์ເອຊີດในขณะท่าปฏิกิริยาอิพอกซิเดชันแสดงดังรูปที่ 2.21 โดยอัตราส่วนโดยมวลของเบอร์ฟอร์ມิกกับไฮโดรเจนเบอร์ออกไซด์เป็นที่นิยมใช้อยู่ในช่วง  $0.2\text{--}0.5$  (Baker and Gelling, 1987) ในกรณีที่ใช้กรดอะซิติกต้องใช้ตัวเร่งปฏิกิริยา เช่น กรดซัลฟูริกหรือกรดซัลฟอนิกเพื่อช่วยให้เกิดเป็นเบอร์ເອຊີດ ในลักษณะเดียวกันกับสมการที่ (2.1) ตัวอย่างการเกิดปฏิกิริยาอิพอกซิเดชันของกรดเบอร์ฟอร์ฟอร์มิก แสดงสมการที่

(2.2) ชีงปฏิกิริยาจะเกิดอย่างรวดเร็วแต่ต้องมีการควบคุมสภาวะการเกิดปฏิกิริยาอย่างระมัดระวัง เพื่อป้องกันไม่ให้เกิดปฏิกิริยาการเปิดวงแหวนอิพอกไซด์ สามารถเกิดได้ 2 แบบ ชีงแสดงดังสมการที่ (2.3) และ (2.4) (รูปที่ 2.22) คือ แบบแรก (สมการที่ 3) เป็นการแตกออกอย่างง่ายของหมู่อิพอกไซด์ได้ไกลคอล (glycol) และไฮดรอกซีเอสเทอร์ สำหรับพอลิเมอร์ที่มีหมู่อิพอกไซด์อยู่ติดกัน เมื่อเกิดการเปิดวงแหวนอิพอกไซด์ได้ไซคลิกอีเทอร์ cyclic ether เป็นผลิตภัณฑ์หลัก สมการที่ (2.4)



รูปที่ 2.21 ปฏิกริยาอิพอกซิเดชันโดยใช้กรดเบอร์ฟอร์มิกและไฮโดรเจนເປົອຮູກໃຫຍ້



รูปที่ 2.22 ปฏิกริยาการเปิดวงแหวนอิพอกไชร์ด (Baker and Gelling, 1987)

ในงานวิจัยนี้เป็นการเตรียมยางธรรมชาติอิพอกไซด์โดยใช้การเดปอร์ฟอร์มิกในขณะทำปฏิกิริยาอิพอกซิเดชัน ขณะทำปฏิกิริยาเมื่อการควบคุมอย่างระมัดระวังเพื่อป้องกันการเกิดปฏิกิริยาการเปิดวงแหวน น้ำยาที่นำมาใช้ต้องทำให้มีความเสถียรต่อการกดอ่อนโดยการเติมสารช่วยเพิ่มความเสถียรที่ไม่มีความจุ (non-ionic surfactant) จากนั้นนำน้ำยางที่ได้ทำปฏิกิริยาอิพอกซิเดชันที่อุณหภูมิ 50°C (วัชรินทร์, 2545) จากนั้นนำน้ำยางอิพอกไซด์ที่ได้มาจับตัวด้วยเมทานอล (methanol) ล้างน้ำ อบแห้งด้วยอากาศร้อน ปัจจุบันยางอิพอกไซด์ที่ผลิตทางการค้ามีสองชนิด คือ ENR-25 และ ENR-50 ซึ่งมีปริมาณหมู่อิพอกไซด์เท่ากับ 25 และ 50 %mole epoxide ตามลำดับ

## 2.6.2 สมบัติของยางธรรมชาติอิพอกไซด์

1. ความหนืดมูนนี (Mooney viscosity) และความสามารถในการละลาย ENR-25 และ ENR-50 มีความหนืดมูนนีอยู่ในช่วง 70-90 หน่วย ดังนั้นจึงจำเป็นต้องบด (pre-masticate) ก่อนที่จะนำไปผสมสารเคมีต่างๆ นอกจากนี้ยางธรรมชาติอิพอกไซด์มีความเป็นขี้ข้าวเพิ่มสูงขึ้นตามปริมาณหมู่อิพอกไซด์ ส่วนความสามารถในการละลายของยางธรรมชาติอิพอกไซด์จะขึ้นอยู่กับระดับการเกิดอิพอกซิเดชันและชนิดของตัวทำละลาย ซึ่งยางธรรมชาติสามารถละลายได้ดีขึ้นเมื่อมีการบดก่อน ตัวทำละลายที่เหมาะสมได้แก่ โกลูอีน คลอโรฟอร์ม และเตตราไฮโดรฟูราโน

2. การเกิดผลึกเมื่อยืด (strain induce crystallization) จากการศึกษาของธรรมชาติอิพอกไซด์วัสดุในซึ่งที่ไม่มีสารตัวเติมด้วย X-ray diffraction พบว่ายางชนิดนี้สามารถเกิดผลึกได้เมื่อยืด (Daavie et al., 1983) ซึ่งสามารถเห็นการเกิดผลึกได้ชัดเจน และพบว่าปริมาณการเกิดผลึกของยางธรรมชาติอิพอกไซด์ในขณะยืดออก 400% ลดลงเมื่อปริมาณหมู่อิพอกไซด์ในโมเลกุลยางเพิ่มขึ้น

3. ความทนทานต่อน้ำมัน (oil resistance) สภาพความเป็นขี้ข้าวของยางธรรมชาติอิพอกไซด์เพิ่มสูงขึ้นตามปริมาณหมู่อิพอกไซด์ที่เพิ่มขึ้น ซึ่งทำให้ความต้านทานต่อน้ำมัน และตัวทำละลายเปลี่ยนแปลงไป ยางธรรมชาติอิพอกไซด์ที่มีระดับของการอิพอกซิเดชันสูงเป็นวัสดุที่ทนทานต่อสารไฮดรคาร์บอนแต่ความทนทานต่อตัวทำละลายที่มีขี้ข้าวลดลง

4. ไฮสเตอเรซิส (hysteresis) ค่าความกระเด้งตัวของ ENR-25 และ ENR-50 ซึ่งค่าความกระเด้งตัวของยางธรรมชาติอิพอกไซด์มีค่าต่ำกว่าค่าความกระเด้งของยางธรรมชาติ เมื่อระดับการเกิดอิพอกซิเดชันเพิ่มขึ้น ค่าความกระเด้งตัวลดลง กล่าวคือ ยางธรรมชาติอิพอกไซด์สามารถดูดกลืนพลังงานได้สูงกวายางธรรมชาติ นอกจากนี้ค่าความกระเด้งตัวของยางธรรมชาติและยางธรรมชาติอิพอกไซด์มีลักษณะที่เหมือนกัน กล่าวคือที่อุณหภูมิใกล้เคียงกับค่า

อุณหภูมิคล้ายแก้วยางมีค่าความกระเด้งตัวสูง จากนั้นเมื่ออุณหภูมิเพิ่มขึ้นค่าความกระเด้งตัวสูงลดลงจนถึงจุดต่ำสุด หลังจากนั้นค่าความกระเด้งตัวเพิ่มสูงขึ้น

5. การเหนี่ยวติดกัน (tack) เมื่อระดับของการเกิดอิพอกซิเดชันเพิ่มขึ้น ทำให้ความสามารถในการเหนี่ยวติดกันของยางธรรมชาติอิพอกไซด์กับพอลิเมอร์ที่ไม่มีข้าว เช่น ยางธรรมชาติหรือยางเอสบีอาร์ลดลง แต่ยางธรรมชาติอิพอกไซด์สามารถยึดติดกับพอลิเมอร์ที่มีข้าวได้ดี

## 2.7 การตรวจสอบเอกสาร

Sakdapipanich J.T., 2001 ได้ศึกษาเบรี่ยบเทียบลักษณะโครงสร้างของยางอนุภาคขนาดเล็ก ที่อยู่ในชั้นเชร์ร์ม และยางที่มีอนุภาคขนาดใหญ่ จากส่วนครีม ในยางธรรมชาติ (*Hevea latex*) โดยกระบวนการปั่นแยกด้วยความเร็วสูงหรือ centrifugation เพื่อแยกส่วนประกอบต่างๆ ในน้ำยางออกจากกัน จากนั้นนำไปศึกษาและวิเคราะห์คุณลักษณะต่างๆ เช่น การกระจายตัวของขนาดอนุภาคยาง ปริมาณในโตรเจน ปริมาณกรดไขมันเอสเตอร์ ปริมาณเจล น้ำหนักโมเลกุลและการกระจายตัวของน้ำหนักโมเลกุล เป็นต้น ซึ่งพบว่ายางอนุภาคขนาดเล็ก มีขนาดเส้นผ่านศูนย์กลางของอนุภาคเฉลี่ยประมาณ  $0.13 \mu\text{m}$  และมีการกระจายตัวของน้ำหนักโมเลกุลเป็นแบบ bimodal ซึ่งสันนิฐานว่ามีโครงสร้างโมเลกุลเป็นแบบเชิงเส้น หรือ แบบ linear molecules และไม่พบฟอสโฟลิปิด ที่ปลายสายโซ่ของโมเลกุล

Bristow G.M., 1990 ศึกษาองค์ประกอบและการแสดงคุณสมบัติการเร่งสูญ (cure) ของยางสกิมบล็อก โดยการศึกษาพฤติกรรมการเร่งสูญและการแทนที่ของการเสื่อมสภาพจากตัวอย่างของยางสกิมบล็อก จำนวน 8 ตัวอย่าง จากหลายๆ ที่ ซึ่งมีสมบัติที่แตกต่างกันอย่างชัดเจน ปริมาณในโตรเจน ปริมาณเกล้า และสิ่งปนเปื้อนอื่นๆ ปริมาณที่สูงของโปรตีนที่มีอยู่ในยางสกิมนั้นเป็นปัจจัยหลักที่มีอิทธิพลต่อการการแสดงคุณสมบัติการเร่งสูญของยางสกิมเป็นอย่างมาก โดยพบว่ายางสกิมให้ค่ามอดูลัสที่สูงกว่ายาง DPNR SMR 20 และ SMR L เนื่องจากยางสกิมมีปริมาณในโตรเจนที่สูงกว่า อย่างไรก็ตามการเพิ่มกรดไขมันในยางสกิมก็ไม่ได้ส่งผลต่อสมบัติการเร่งสูญของยางสกิมแต่อย่างใด และการที่ยางสกิมสามารถให้ค่ามอดูลัสที่สูงนี้ จึงสามารถนำไปใช้ประโยชน์โดยการนำไปผสมกับยางธรรมชาติได้ถึง 20 phr โดยไม่ทำให้สมบัติการแทนที่ของการเกิดอิพอกซิเดชัน หรือการแทนที่ของการเสื่อมสภาพลดลง และไม่ทำให้สมบัติการเร่งสูญเปลี่ยนแปลงไปจากเดิม ถึงแม้ว่าในยางสกิมมีปริมาณโลหะหนักของคอปเปอร์ที่สูงกว่ายางธรรมชาติก็ตาม

Nithi-Uthai B. et al. 1998 ศึกษาการเปลี่ยนแปลงเสถียรภาพของน้ำยางสกิม เมื่อเก็บไว้เป็นระยะเวลานานๆ พบร่วมน้ำยางสกิมที่เก็บไว้เป็นระยะเวลานานไม่สามารถจับตัวได้ด้วยการเติมกรดอย่างเดียว และได้หาแนวทางในการแก้ปัญหานี้ด้วยการเติมสารเคมี สารลดแรงตึงผิวต่างๆ รวมทั้งสารจำพวกพอลิอิเล็กโกร์ลิต เพื่อใช้จับตัวยางสกิมเก่าเก็บนี้ร่วมกับกรด โดยได้พบว่ากระบวนการกำจัดโปรตีนโดยใช้อินไซม์ สามารถทำให้น้ำยางสกิมเก่าเก็บสามารถจับตัวได้ด้วยกรด

Dunlop Rubber Co,Ltd., 1953 ได้ทำการประดิษฐ์กรรมวิธีในการร่วมรวมยางสกิมจากหางน้ำยาง โดยการทำให้เกิดการย่อยสลายของน้ำยางสกิมด้วยแบคทีเรียไซเดส (bacterisides) โดยใช้ 0.1% trypsin ที่อุณหภูมิ 28°C เป็นระยะเวลา 12 h จากนั้นทำการจับตัวยางสกิมด้วยกรดฟอร์มิก นำยางสกิมก้อนที่ได้จากการจับตัวมาล้างและรีดให้เป็นแผ่น ได้ยางสกิมที่มีสีคล้ายกับยางเครปทั่วไป และมีค่าในตรเจนประมาณ 0.42% วิธีนี้สามารถทำให้ประสิทธิภาพในการร่วมรวมยางสกิมได้ถึง 99% จากยางสกิมทั้งหมด

The Firestone Tire & Rubber Company, 1995 ได้ประดิษฐ์สิบัตรกรรมวิธี การผลิตยางสกิมเกรดสูงจากการรีเม้น้ำยางสกิม จากนั้นนำยางสกิมถูกนำมาทำการจับตัวและรีด แล้วจึงนำไปทำปฏิกิริยาด้วยสารละลายนโซเดียมไฮดรอกไซด์ความเข้มข้น 2.75% (w/v) เป็นระยะเวลา 20 h ยางสกิมที่ได้จากการน้ำยางสกิมจากกระบวนการนี้ถูกนำมาล้างทำความสะอาด ก่อนทำการอบและอัดก้อนต่อไป จากการทดสอบยางสกิมจากการรีเม้นดังกล่าวพบว่า มีปริมาณในตรเจนลดลงจาก 1.98% เป็น 0.24% และมีปริมาณของส่วนที่ละลายนำไปลดลงจาก 2.34% เป็น 0.63% นอกจากนี้สมบัติของยางคอมพาวด์ของยางสกิมที่ได้ยังคงลักษณะของยางธรรมชาติเกรดสูง

Rungvichaniwat A. et al., 1998 ศึกษาปริมาณในตรเจนและสีของยางสกิม บริสุทธิ์ จากกระบวนการทำปฏิกิริยาสะพอนนิฟิเคชันจากน้ำยางสกิมและยางสกิมก้อนด้วยโซเดียมไฮดรอกไซด์ พบว่ากระบวนการแซ่บยางสกิมก้อนเป็นครั้งที่ได้หลังจากการจับตัวด้วยสารละลายนโซเดียมไฮดรอกไซด์ ให้ประสิทธิภาพในการลดปริมาณในตรเจนดีกว่าการทำปฏิกิริยาสะพอนนิฟิเคชัน ในน้ำยางสกิมที่ภาวะในการทำปฏิกิริยาเดียวกัน และพบว่าสภาวะที่ในการทำปฏิกิริยาที่เหมาะสมที่สุดคือ ที่ความเข้มข้น 3% (w/v) ของสารละลายนโซเดียมไฮดรอกไซด์ ใช้เวลา 24 h ที่อุณหภูมิห้อง นอกจากนี้การเพิ่มความเข้มข้นของโซเดียมไฮดรอกไซด์ในการทำปฏิกิริยาสะพอนนิฟิเคชันในน้ำยางสกิมมีผลอย่างยิ่งต่อการลดปริมาณในตรเจน แต่ไม่ทำให้เกิดการเปลี่ยนแปลงเรื่องสีของยางสกิมที่บริสุทธิ์ ซึ่งให้ค่าดัชนีของสีในช่วง 3-5 Lovibond

Jayachandran K. et al., 1998 ศึกษากระบวนการจับตัวน้ำยางสกิม ด้วยวิธีการเพาะเชื้อในน้ำยางสกิมที่ได้จากการปั่นแยกน้ำยาง ด้วย *Acinetobacter sp* โดยเจือจางน้ำยางสกิมด้วยน้ำในอัตราส่วน 1:10 (v/v) จากนั้นนำเชื้อมาเพาะในปริมาณ 6.4 mg dry cell/ml ที่อุณหภูมิ 28°C พบร่วงด้วยเทคนิคนี้ทำให้ได้ปริมาณยางแห้งหลังการจับตัวประมาณ 8% DRC และน้ำทึบที่เหลือจากการกระบวนการจับตัวมีค่า COD ประมาณ 0.4 µg/L อย่างไรก็ตามพบว่าการจับตัวน้ำยางสกิมด้วยกระบวนการทางเคมีอื่นๆ ทำให้ได้ปริมาณยางแห้งหลังการจับตัวประมาณ 7% DRC และน้ำทึบที่เหลือจากการกระบวนการจับตัวมีค่า COD ประมาณ 2.2 µg/L

Tanaka Y. et al., 2000 ทำการประดิษฐ์สิทธิบัตร กรรมวิธีการผลิตอนุภาคนาง  
ธรรมชาติจากน้ำยางสกิม โดยการเติมเกลืออนินทรีย์ลงในน้ำยางสกิมจนทำให้เกิดการแยกชั้น  
ของอนุภาคน้ำยางในเชร์รี่ เกลืออนินทรีที่ใช้ในการศึกษาคือ โซเดียมคาร์บอเนต ไดแอกโน  
เนียม ไฮโดรเจนฟอสเฟส โซเดียมซัลเฟต โพแทสเซียมคาร์บอเนต โซเดียมคลอไรด์ และโม  
เนียมซัลเฟต เป็นต้น ซึ่งแบ่งการศึกษาการแยกเพสออกเป็น 3 กรณี คือ 1) ศึกษาการแยกเพส  
ของอนุภาคน้ำยางสกิมที่ได้จากการเติมน้ำยางขันที่มีแอมโมเนียสูงโดยการเติมเกลืออนินทรี  
2) ศึกษาการแยกเพสของน้ำยางสกิมที่ได้จากการทำกำจัดโปรตีน (deproteinization)  
โดยการเติมเกลืออนินทรี และ เอ็นไซม์โปรตีอีส (protease enzyme) 0.04% (w/v) 3) ศึกษา  
การแยกเพสของน้ำยางสกิมที่ได้จากการทำกำจัดโปรตีน โดยการเติมเกลืออนินทรี  
จากการศึกษาพบว่าขนาดของเส้นผ่าศูนย์กลางของอนุภาคนางสกิมเพิ่มขึ้น เมื่อทำปฏิกิริยา  
เป็นระยะเวลา 24 h ปริมาณค่าในโตรเจนของยางสกิมที่ผ่านการทำกำจัดโปรตีนแล้วมี  
ค่า 0.017-0.019%

Tangpakdee J. et al., 1997 ศึกษาการเปลี่ยนแปลงองค์ประกอบและโครงสร้างของยางธรรมชาติหลังจากผ่านกระบวนการกำจัดโปรตีนโดยการใช้เอนไซม์ ปฏิกิริยาการเปลี่ยนหมุนของกรดไขมันให้เป็นหมุนอีสเทอร์ด้วยโซเดียม เมทอกไซด์ และการทำปฏิกิริยาสะพอนฟิเคลชันด้วยโพแทสเซียมไฮดรอกไซด์ พบร่วมกับการใช้เอนไซม์ในปฏิกิริยาการกำจัดโปรตีน ทำลายเฉพาะพันธะการเชื่อมโยงของโปรตีน ส่วนการทำปฏิกิริยาทรานอสเทอเรติฟิเคชัน (transesterification) ทำลายพันธะการเชื่อมโยงของฟอสโฟลิปิดอีสเทอร์ (phospholipid ester) และผลที่ได้คือ โมกุลที่เป็นเชิงเส้น (linear molecules) อย่างไรก็ตามพบว่าการทำปฏิกิริยาสะพอนฟิเคลชันสามารถกำจัดได้ทั้งส่วนที่เป็นโปรตีนและฟอสโฟลิปิด ซึ่งทำให้โมเลกุลที่เป็นเชิงเส้นในที่สุด นั่นคือ สามารถลดปริมาณการเกิดเจล และลดน้ำหนักโมเลกุลโดยเฉลี่ย โดยใช้ปฏิกิริยาทรานอสเทอเรติฟิเคชันและปฏิกิริยาสะพอนฟิเคลชัน เพื่อกำจัดการเชื่อมโยงที่สันนิฐานว่าเกิดมาจากการเกิดจดเชื่อมโยงด้วยฟอสโฟลิปิด

Jin Kon Kim, et al., 2000 ศึกษาคุณสมบัติการดึงลอก และการยึดติด ของสาร ผสมระหว่าง พอลิสไตรีน-พอลิบิวตะไดอีน-พอลิสไตรีน (polystyrene-polybutadiene-polystyrene, SBS) กับ แทคคิไฟเออร์ หลังจากทำการเชื่อมขวาง (crosslinking) โดยการฉายรังสียูวี (UV) ลงไป โดยมีการปรับเปลี่ยนปริมาณของเบนโซเฟโนน (benzophenone, BP) ซึ่งทำหน้าที่เป็นโฟโตอินิทิเอชัน (photoinitiation) และ ไตรเมททิวโพร พลีน เมอร์แคนโทโพรพิโอนท (trimethylopropane mercaptopropionate, TRIS) ทำหน้าที่เป็นสารเชื่อมขวาง (crosslinking agent) ปริมาณการเกิดการเชื่อมขวาง ของ พอลิบิวตะไดอีน (polybutadiene block, PB) ในสารผสม พอลิสไตรีน-พอลิบิวตะไดอีน-พอลิสไตรีน (polystyrene-polybutadiene-polystyrene, SBS) นั้นสามารถลดได้จากปริมาณการเกิดเจล ซึ่งเท่ากับดูการเปลี่ยนแปลงของค่า  $T_g$  ของ PB block จากการทดลองพบว่าระยะเวลาของการเกิดการเชื่อมขวาง นั้นใช้เวลาไม่เกิน 3 min ภายหลังจากเริ่มทำการฉายรังสี UV และพบว่าแรงที่ใช้ในการดึงลอกชิ้นงานที่ผ่านการเชื่อมขวางแล้วนั้นมีค่าลดลง 45% เมื่อเทียบกับชิ้นงานที่ยังไม่ได้ผ่านการฉายรังสี UV ซึ่งแสดงว่าคุณสมบัติการเหนียวติดกัน และคุณสมบัติการดึงลอก นั้นมีความสัมพันธ์กับคุณสมบัติวิสโคอิเลสติกของเทปภา PSA เมื่อเราทำการฉายรังสีเข้าไปทำให้เกิดการเปลี่ยนแปลงคุณสมบัติ การยึดติดอย่างรวดเร็ว โดยเห็นว่าอะคริลิคโพลิเมอร์ (acrylic polymer) ที่มีหมุนเวียนไครเลท (methacrylate) เกาะอยู่สามารถเกิดการเชื่อมขวางได้โดยการฉายรังสี UV เข้าไป

Dae Jun Kim, et al., 2005 ศึกษาผลของพื้นผิวต่างๆ และผลของแทคคิไฟเออร์ ในการทดสอบคุณสมบัติการดึงลอกของ สไตรีน-บิวตะไดอีน-สไตรีน (styrene-Butadiene-Styrene, SIS) ที่ใช้ทำ hot melt pressure sensitive adhesive (HMPSAs) งานวิจัยนี้ได้ศึกษาลักษณะของพื้นผิวและลักษณะของแทคคิไฟเออร์ที่ผสมในสไตรีนที่ใช้ในการผลิต HMPSAs โดยพื้นผิวที่ใช้ศึกษานั้นได้แก่ SUS (stainless steel) PE PP PVC bakelite teflon glass พื้นผิวที่ใช้ศึกษาแบ่งออกเป็น 3 กลุ่ม ได้แก่ high medium และ low peel ซึ่งแบ่งตาม surface tension ของพื้นผิวแต่ละชนิด อีกทั้งยังใช้ SIS 2 ชนิดที่มีปริมาณสไตรีนต่างกัน ชนิดแรกมี สไตรีน 15% โดยน้ำหนัก ชนิดที่สองมี สไตรีน 18% โดยน้ำหนัก และยังมีการเปลี่ยนแปลงปริมาณชนิดของแทคคิไฟเออร์ที่ใช้อีกด้วย ซึ่งแทคคิไฟเออร์ แต่ละชนิดนั้นมีจุดอ่อนตัว (softening point, SP) ที่แตกต่างกันนอกจากนี้ในการเตรียม HMPSAs ก็ยังมีการเปลี่ยนแปลงปริมาณสไตรีน-บิวตะไดอีน-สไตรีน (SIS) ต่อแทคคิไฟเออร์ เป็น 30/70, 40/60, 50/50 และ 60/40 โดยน้ำหนัก จากผลการทดลองพบว่าแทคคิไฟเออร์ ที่มี SP สูงกว่าใช้ปริมาณแทคคิไฟเออร์ที่น้อยกว่าแทคคิไฟเออร์ที่มี SP ต่ำกว่า สไตรีน-บิวตะไดอีน-สไตรีน (SIS) ที่มีปริมาณสไตรีนสูงกว่า เมื่อผสมกับแทคคิไฟเออร์ ที่มี SP ต่ำ ทำให้มีมอดุลัสสะสม (storage modulus) ที่สูงกว่า สไตรีน-บิวตะไดอีน-สไตรีน (SIS) ที่มีปริมาณสไตรีนต่ำกว่า

Tyczkoeski J. et al., 2003 ศึกษาและทำการปรับปรุงพื้นผิวของ ยางสไตรีน บิวตั่ไดอีน (styrene-butadiene rubber) ด้วยวิธีการพลาสม่า คลอริเนชัน (plasma chlorination) โดยการทำคลอริเนชัน (chlorination) ด้วยสารฮาโลเจนชัน (halogenation agent) ในสารละลายอินทรีย์ เป็นวิธีทั่วไปในการปรับปรุงพื้นผิวสำหรับ ยางสไตรีน บิวตั่ไดอีน (styrene -butadiene rubber) เพื่อปรับปรุงการติดกับการพอลิยูรีเทน (polyurethane adhesive) ได้มีการทดลองใช้เทคนิคพลาสม่าแทนการทำให้เปียกด้วยสารเคมี โดยที่ ยางสไตรีน-บิวตั่ไดอีน (styrene-butadiene rubber) ได้รับการรมด้วยบรรยากาศพลาสม่า ที่เกิดจากการเกิดปฏิกิริยา ในของผสมสูตรต่างๆ ซึ่งมีส่วนผสมของคลอรีนประมาณครึ่งหนึ่ง โดยการใช้คลอรีนเป็นพรีเคอร์เซอร์ ได้แก่ ไตรคลอโรเมเทน (trichloromethane,  $\text{CHCl}_3$ ) เดตระคลอโรเมเทน (tetrachloromethane,  $\text{CCl}_4$ ) และก๊าซคลอรีน ( $\text{Cl}_2$ ) ส่วนประกอบต่างๆ ถูกผสมเข้าด้วยกันในรูปสารบริสุทธิ์ หรือผสมด้วยก๊าซอาร์กอนบริสุทธิ์ หรือก๊าซออกซิเจน โดยมีการทดสอบก๊าซอาร์กอนและอากาศ กระบวนการนี้ทำทั้งใน RF (13.56 MHz) และ AF (20 kHz) glow discharge, utilizing electrode reactor ซึ่งทำงานที่ความดันต่ำ มีการทดสอบ FTIR spectroscopy การวัด contact angle และ T-peel test (ก่อนและหลังการทำพลาสม่า ทรีทเม้นต์) เพื่อใช้ในการบอกรักษาของพื้นผิวอะลิสโตเมอร์ ผลการทดสอบพบว่า คุณสมบัติการดึงลอก (peel) ของผิวนั้นยางที่ถูกปรับปรุงสูงกว่าการทำคลอริเนชันประมาณ 56% และ มีค่าสูงกว่า 2 ถึง 3 เท่า เมื่อเปรียบเทียบ กับตัวอย่างที่ไม่ได้ผ่านการปรับปรุงผิวหน้า

orsa และคณะ 2544 "ได้ทำการศึกษาการใส่เทคโนโลยีไฟเออร์ชันด วูดโรซิน (wood rosin) ในรูปอิมลัชั่น ไปในน้ำยางธรรมชาติ เมื่อเก็บการที่ใช้วูดโรซินเป็นแท็คคิไฟเออร์เป็นเวลานานมีผลทำให้ค่า pH ลดลง และค่าความหนืดเพิ่มขึ้นแต่สามารถเก็บไว้ได้นานมากกว่า 4 เดือน ทุกสูตร กาวสามารถถวัลคลายไขข้อได้ที่อุณหภูมิห้อง โดยจะใช้เวลาเพิ่มขึ้นตามปริมาณวูดโรซินที่เพิ่มขึ้น ซึ่งอยู่ในช่วง 40-70 min นอกจากนั้น การที่เตรียมได้มีความทนทานต่อน้ำเพิ่มตามปริมาณวูดโรซิน โดยมีความทนต่อน้ำสูงมากกว่า 60 วัน

## บทที่ 3

### วิธีการวิจัย

#### 3.1 วัสดุและสารเคมี

##### 3.1.1 น้ำยาหงิกมิ

น้ำยาหงิกมิที่ใช้ในการศึกษาวิจัยกระบวนการจับตัวและรวมเนื้อยางสกิม เป็นส่วนที่ได้จากการผลิตน้ำยาหงิกมในอุตสาหกรรมการผลิตน้ำยาหงิกมชาติ ซึ่งได้รับความอนุเคราะห์จากบริษัทชล่องอุตสาหกรรมน้ำยาหงิกมจำกัด (Chalong Latex Industry Co., Ltd.) อ.จะนะ จ.สงขลา

##### 3.1.2 สารเคมีสำหรับใช้ในการจับตัวและรวมเนื้อยางสกิม

วัสดุและสารเคมีที่ใช้ในการทดลองประกอบด้วยดังแสดงในตารางที่ 3.1

ตารางที่ 3.1 สารเคมีที่ใช้ในการจับตัวและรวมเนื้อยางสกิม

Chemical	Supplier	Grade
Sodium chloride	BDH	A□
Calcium chloride	BDH	A□
Magnesium chloride	BDH	A□
Ammonium sulfate	BDH	A□
Hydrochloric acid	Lab Scan	A□
Formic acid	Lab Scan	A□
Polymethylacrylic ester (Accofloc <sup>®</sup> C480 , strong cationic)	MT Aquapolymer	Commercial
Sodium acrylate-acrylamide copolymer (Waterfloc <sup>®</sup> WF4398, medium anionic)	SNF Floeger	Commercial
Sodium acrylate-acrylamide copolymer (Aronfloc <sup>®</sup> A130, medium anionic)	MT Aquapolymer	Commercial

ตารางที่ 3.1 (ต่อ) สารเคมีที่ใช้ในการจับดัวและรวมเนื้อยางสกิม

Chemical	Supplier	Grade
Sodium acrylate-acrylamide copolymer (Aronfloc <sup>®</sup> A125S, medium anionic)	MT Aquapolymer	Commercial
Maxfloc <sup>®</sup> (cationic polymer)	TCE Co., Ltd.	Commercial

### 3.1.3 สารเคมีสำหรับใช้ในการเตรียมยางสกิม LPSR

วัสดุและสารเคมีที่ใช้ในการทดลองประกอบด้วยดังแสดงตารางที่ 3.2

ตารางที่ 3.2 สารเคมีสำหรับใช้ในการเตรียมยางสกิม LPSR

Chemical	Supplier	Grade
Sodium hydroxide	Lab Scan	A
Formic acid	Lab Scan	A
Tetrahydrofuran	Lab Scan	A
2,6-di-t-butyl-4-methylphenol, (BHT)	Nocrac	Commercial
4,4'-thio bis(6-tert-butyl-3-methylphenol), (TBMTBP)	Nocrac	Commercial
2,2'-methylene bis(4-ethyl-6-tert- butylphenol), (MBETB)	Nocrac	Commercial

### 3.1.4 สารเคมีสำหรับใช้ในการเตรียมการ PSA

วัสดุและสารเคมีที่ใช้ในการทดลองประกอบด้วยดังแสดงตารางที่ 3.3

ตารางที่ 3.3 สารเคมีสำหรับใช้ในการเตรียมการ PSA

Chemical	Supplier	Grade
Poly(vinyl alcohol)	TCE Co., Ltd.	Commercial
Hydrocarbon resin, (Escrize 1000)	Exxole mobile	Commercial
2,6-di-t-butyl-4-methylphenol, (BHT)	Nocrac	Commercial
Toluene	Lab Scan	A\square
Methanol	Lab Scan	A\square
Hydrogen Peroxide	Merck	A\square(33%)
Formic acid	Lab Scan	A\square(99%)

### 3.2 อุปกรณ์และเครื่องมือ

อุปกรณ์และเครื่องมือที่ใช้ในการทดลองดังแสดงตารางที่ 3.4

ตารางที่ 3.4 อุปกรณ์และเครื่องมือที่ใช้ในการศึกษาทดลอง

Instrument	Supplier/Trade mark
Applicator , stainless steel	Tester Sangyo SA-201
Brookfield viscometer ( \square VDV-II+)	Scientific Promotion Co., Ltd.
Color Scale Determination	Lovibond Comparator 2000 Plus
Contact angle	DATA Physics
Creep tester	Bunluesak Supply Limited
Differential scanning calorimeter (DSC-7)	Perkin Elmer
Dynamic mechanical analyzer (DMTA-V)	\square heometric Scientific Co., Ltd.
FT-I\square spectrophotometer	JASCO: FT-I\square SA 450
High speed refrigerated centrifuge	Hitachi: C\square 22G
Homogenizer	N&Y Co., Ltd

ตารางที่ 3.4(ต่อ) อุปกรณ์และเครื่องมือที่ใช้ในการศึกษาทดลอง

Instrument	Supplier/Trade mark
Hot compress	Home-made machine
Gel permeation chromatography	JASCO: CO 1560
Mastersizer 2000 (version 3.01)	MALVERN
Magnetic stirrer	IKA
Mechanical stirrer	IKA MW20
Mooney viscometer	Alpha Technologies Service Inc.
Nitrogen analyzer	LECO:FP528
NMIRspectrophotometer	BÜCKELE DTX 300
Rolling ball tack tester	Jarung Artwork A-BT 01-45
Scanning electron microscope (JEOL, JSM5800LV)	JEOL
Tensile tester(LLOYD L10K)	LLOYD Instrument
Two-roll Mill ( 6x15 inch)	Young Fong Machinery Co., LTD
Vacuum oven	EYELA:VOS 451-SD
Wallace plastimeter	Wallace Instrument

### 3.3 วิธีดำเนินการทดลอง

งานวิจัยนี้เป็นการศึกษาพัฒนาและปรับปรุงสมบัติยางสกิม LPS เพื่อใช้ประโยชน์ในด้านการหุ่นยนต์ติดชนิดไว้ต่อแรงดัน โดยเริ่มจากการจับตัวและรวบรวมเนื้อยางสกิม จากนั้นนำไปทำปฏิกิริยาด้วยสารละลายเบสเพื่อกำจัดโปรตีนและองค์ประกอบอื่นๆที่ไม่ใช่ยางออกจากยางสกิม เพื่อให้ได้ยางสกิมที่มีปริมาณโปรตีนต่ำและมีสีขาว มีคุณภาพที่เหมาะสมในการนำไปเตรียมเป็นการหุ่นยนต์ติด รวมทั้งทำการปรับปรุงสมบัติของยางสกิมโดยการหุ่นยนต์ติดชนิดไว้ต่อแรงดันให้มีสมบัติในการยึดติดให้ดียิ่งขึ้น

### 3.3.1 การจับตัวและการรวมเนื้อยางสกิม

การจับตัวและการรวมเนื้อยางสกิมในงานวิจัยนี้เป็นวิธีการจับตัวแบบใหม่ แบ่งออกเป็น 2 วิธีโดยทำการศึกษาวิธีการจับตัวยางสกิมด้วยสารละลายพอลิอิเล็กโกร์ไลต์ และสารละลายเกลืออนินทรีฟ์ ซึ่งมีวิธีการเตรียมดังต่อไปนี้

#### 3.3.1.1 การจับตัวยางสกิมด้วยสารละลายพอลิอิเล็กโกร์ไลต์

เตรียมน้ำยางสกิม (5%D/C) ทำการปรับสภาพด้วยกรดฟอร์มิก (20%w/v) ให้อยู่ในช่วง pH 5.0-7.0 แล้วทำการศึกษาประสิทธิภาพในการจับตัวของสารละลายพอลิอิเล็กโกร์ไลต์ (0.2%w/v) ชนิดต่างๆ โดยแปรปรวนความเข้มข้นที่ใช้ในการศึกษาในช่วง 0.02-0.10 g/L สำรวจในการศึกษาประสิทธิภาพในการจับตัว การเปลี่ยนแปลงขนาดของอนุภาคยางที่เพิ่มขึ้น และรวมรวมเนื้อยางสกิมด้วยสารละลายพอลิอิเล็กโกร์ไลต์ ดังแสดงในตารางที่ 3.5 ทำการวิเคราะห์การเปลี่ยนแปลงขนาดของอนุภาคยางสกิมด้วยเครื่องวัดขนาดการกระจายตัวของอนุภาค (particle size analyzer, Mastersizer 2000) และคำนวณค่าเบอร์เซ็นต์ในการรวมรวมเนื้อยางสกิม

ตารางที่ 3.5 สำรวจในการจับตัวน้ำยางสกิมด้วยสารละลายพอลิอิเล็กโกร์ไลต์

Conditions	Amount	Note
Skim latex(3-5%D/C)	1000 ml	Not over than 1 week
pH	5.0-7.0	by used 20%w/v Formic acid
Polyelectrolytes;		
0.2%w/v Accofloc C480		Cationic polymer
0.2%w/v Waterfloc WF4398		Anionic polymer
0.2%w/v Aronfloc A130		Anionic polymer
0.2%w/v Aronfloc A125S		Anionic polymer

การคำนวณค่าเบอร์เซ็นต์ในการรวมรวมเนื้อยางสกิม เป็นการวิเคราะห์ประสิทธิภาพในการจับตัวของสารจับตัวชนิดอื่นๆ เมื่อเปรียบเทียบกับการจับตัวเนื้อยางสกิมด้วยกรด มีวิธีการคำนวณตามสมการที่ (3.1) ดังนี้

$$\% \text{ Recovery} = (\frac{D_1 C_2}{D_2 C_1}) \times 100 \quad \text{สมการ (3.1)}$$

เมื่อ  $D_1 C_1$  คือ ปริมาณเนื้อยางแห้งที่จับตัวด้วยกรด  
 $D_2 C_2$  คือ ปริมาณเนื้อยางแห้งที่จับตัวด้วยสารจับตัวชนิดอื่นๆ

### 3.3.1.2 การจับตัวยางสกิมด้วยสารละลายเกลืออนินทรีย์

เตรียมน้ำยางสกิม (ประมาณ 5%DIC) ทำการปรับสภาพด้วยกรดฟอร์มิก (20%w/v) ให้อยู่ในช่วง pH 5.0-7.0 และทำการศึกษาประสิทธิภาพในการจับตัวของสารละลายเกลืออนินทรีย์ (20%w/v) ชนิดต่างๆ โดยแปรปริมาณความเข้มข้นที่ใช้ในการศึกษาในช่วง 2.0-10.0 g/L สรุว่าในการศึกษาประสิทธิภาพในการจับตัว การเปลี่ยนแปลงขนาดของอนุภาคยางที่เพิ่มขึ้นและรวมเนื้อยางสกิมด้วยสารละลายพอลิอะลีกอไทร์แล็ต ดังแสดงในตารางที่ 3.6 ทำการวิเคราะห์การเปลี่ยนแปลงขนาดของอนุภาคยางสกิมด้วยเครื่องวัดขนาดการกระจายตัวของอนุภาค และคำนวนค่าเบอร์เช็นต์ในการรวมเนื้อยางสกิมตามสมการที่ 3.1

ตารางที่ 3.6 สรุว่าในการจับตัวน้ำยางสกิมด้วยสารละลายเกลืออนินทรีย์

Conditions	Amount	Note
Skim latex(3-5%DIC)	1000 ml	Not over than 1 week
pH	5.0-7.0	by used 20%w/v Formic acid
Inorganic salts;		
20%w/v NaCl	2.0-10.0 g/L	
20%w/v CaCl <sub>2</sub>		
20%w/v MgCl <sub>2</sub>		
20%w/v (NH <sub>4</sub> ) <sub>2</sub> SO <sub>4</sub>		

### 3.3.1.3 การรวบรวมและจับตัวเนื้อยางสกิมในระดับอุตสาหกรรมด้วยสารจับตัวพอลิเมอร์ชนิดประจุบวก Maxfloc<sup>®</sup>

การจับตัวและรวบรวมเนื้อยางสกิมในระดับอุตสาหกรรม ในงานวิจัยนี้เป็นวิธีการจับตัวแบบใหม่เพื่อทัดแทนกระบวนการจับตัวแบบเดิม โดยทั่วไปนิยมใช้กรดซัลฟูริกเข้มข้นในการจับตัว ซึ่งส่งผลเสียต่อสมบัติของยางสกิมและกระบวนการการบำบัดน้ำเสียเป็นอย่างมาก โดยทำการจับตัวยางสกิมด้วยสารละลายพอลิอิเล็กโทรไลต์ชนิดพอลิเมอร์ประจุบวก (Maxfloc<sup>®</sup> polymer) ซึ่งมีวิธีการเตรียมดังต่อไปนี้

1. เตรียมน้ำยางสกิม (D/C ca. 3-5%) ทำการปรับสภาพด้วยกรดไฮโดรคลอริก (30%wt.HCl) ให้อยู่ในช่วง pH 5.5-6.0 และทำการจับตัวด้วยสารละลาย 0.2%w/v Maxfloc<sup>®</sup> ปริมาณ 0.1-0.2 g/L ทำการกวนด้วยเครื่องกวนแบบสองใบพัดอย่างช้าๆ เป็นระยะเวลาครึ่งชั่วโมง จนกระทั่งอนุภาคเนื้อยางสกิมมีขนาดใหญ่ขึ้น และรวมตัวจับกันเป็นก้อนขนาดใหญ่แยกตัวออกจากน้ำเชรั่มได้อย่างชัดเจน จากนั้นทำการแยกเนื้อยางสกิมออกจากน้ำเชรั่ม ลงสู่บ่орวบรวมเนื้อยางสกิมเพื่อกระบวนการผลิต

2. เนื้อยางสกิมที่ได้จากการจับตัวและรวบรวมไว้แล้ว เมื่อมีปริมาณมากเพียงพอจะถูกนำไปผลิตเป็นยางสกิมบล็อก (skim block rubber) โดยผ่านกระบวนการรีดและบดล้างด้วยเครื่องบดรีดแบบสองลูกกลิ้ง (crepper machine) จากนั้นจะถูกบดและล้างต่อด้วยเครื่องบดย่อย (shredder machine) เพื่อให้ได้ยางสกิมที่มีขนาดเป็นเม็ดเล็กๆ ก่อนผ่านกระบวนการอบแห้งที่อุณหภูมิ 100-110°C เป็นระยะเวลาประมาณ 4 h และจึงทำการอัดก้อน ทำการสูมเก็บตัวอย่างเพื่อนำไปทดสอบสมบัติทางกายภาพ

### 3.3.2 การเตรียมยางสกิม LPSR จากการทำปฏิกิริยาสะพอนนิฟิเดชันยางสกิมในสารละลายโซเดียมไฮดรอกไซด์

#### 3.3.2.1 ศึกษาอิทธิพลของสภาวะต่างๆ ในการทำปฏิกิริยา ที่มีต่อสมบัติยางสกิม LPSR

ทำการซึ่งยางสกิมที่ผ่านการบดแล้วในหัวข้อที่ 3.3.2 (skim rubber crumb) 1.0 kg และแช่ลงในสารละลาย NaOH ปริมาตร 2.0 L โดยแปรปริมาณความเข้มข้นที่ 1-7%w/v NaOH ทำการศึกษาอิทธิพลของระยะเวลาและสภาวะอุณหภูมิในการทำปฏิกิริยา โดยที่สภาวะอุณหภูมิ 50°C และ 70°C ใช้ระยะเวลาในการทำปฏิกิริยา 1-5 h และในการทำปฏิกิริยาที่อุณหภูมิห้อง ใช้ระยะเวลาของการทำปฏิกิริยา 12-72 h ดังในตารางที่ 3.7 เมื่อเสร็จสิ้นกระบวนการข้างต้นแล้วทำการล้างเพื่อกำจัด NaOH ที่ติดอยู่ด้วยน้ำสะอาด 3-4 ครั้ง หลังจาก

ทำการล้าง NaOH ออกได้หมดแล้ว จากนั้นนำไปอบในตู้อบเปาลม์ที่อุณหภูมิ 70°C เป็นเวลาประมาณ 24-28 h นำตัวอย่างยางสกิม LPS□ที่เตรียมได้ไปทำการวิเคราะห์ปริมาณในโตรเจน และสีของยางสกิม LPS□ที่ลดลง ด้วยเครื่องวิเคราะห์ปริมาณในโตรเจน (Nitrogen analyzer) และเครื่องวัดค่าดัชนีสีของยาง (Lovibond comparator) ตามลำดับ

ตารางที่ 3.7 สภาวะในการเตรียมยางสกิม LPS□จากกระบวนการทำปฏิกิริยาของยางสกิมด้วยสารละลายโซเดียมไฮดรอกไซด์

Conditions	Reaction of temperature	
	Room Temp.	50°C and 70°C
skim rubber crumb	1.0 kg/2.0 liter of NaOH solution	1.0 kg/2.0 liter of NaOH solution
Conc. of NaOH	1, 2, 3, 5 and 7%w/v	1, 2, 3, 5 and 7%w/v
□ <sup>n</sup> of Time	12, 24, 48 and 72 h	1, 2, 3, 4 and 5 h

### 3.3.2.2 ศึกษาประสิทธิภาพของสารเอนติออกซิเดนท์ที่มีต่อสมบัติการต้านทานการเสื่อมสภาพด้วยความร้อนในยางสกิม LPSR

#### 1. ศึกษาประสิทธิภาพในการต้านทานการเสื่อมสภาพด้วยความร้อนในยางสกิม LPSR

ศึกษาประสิทธิภาพในการต้านทานการเสื่อมสภาพของยางสกิม LPS□ที่เตรียมจากสภาวะการทำปฏิกิริยาสะโพนพิเศษ ที่ความเข้มข้น 3%w/v NaOH ที่อุณหภูมิ 70°C และอุณหภูมิห้อง โดยใช้ระยะเวลาในการทำปฏิกิริยา 3 และ 48 h ตามลำดับ โดยการนำยางสกิม LPS□ที่เตรียมได้ มาทดสอบการต้านทานต่อการเสื่อมสภาพด้วยความร้อนที่อุณหภูมิ 100°C ทำการศึกษาน้ำหนักโมเลกุลที่เปลี่ยนแปลงไปเมื่อเพิ่มระยะเวลาหนึ่น จนกระทั่งถึง 20 h ด้วยเครื่องวิเคราะห์การกระจายตัวของน้ำหนักโมเลกุล (GPC) ดังในตารางที่ 3.8

ตารางที่ 3.8 ສภาวะที่ใช้ในการศึกษาการต้านทานการเสื่อมสภาพที่อุณหภูมิ  $100^{\circ}\text{C}$  ของยางสกิม LPS $\square$

Samples	Heat-aging condition	
	Aging temp.	Aging times
LPS $\square$		
- $\square\text{T}$	$100^{\circ}\text{C}$	1-20 h
- $70^{\circ}\text{C}$	$100^{\circ}\text{C}$	1-20 h

## 2. ศึกษาประสิทธิภาพของสารแอนติออกซิเดนท์ในยางสกิม LPSR

โดยเตรียมยางสกิม LPS $\square$  จากສภาวะการทำปฏิกิริยาสะพอนฟิล์ม เชื้นที่ความเข้มข้น 3%w/v NaOH ที่อุณหภูมิห้อง ระยะเวลา 48 h เมื่อเสร็จสิ้นกระบวนการข้างต้นแล้วทำการล้างเพื่อกำจัด NaOH ที่ติดอยู่ด้วยน้ำสะอาด และแช่ในสารละลายกรดฟอร์มิกเจือจาง (1%w/v) ประมาณ 30 min และจึงทำการล้างต่อด้วยน้ำสะอาดอีกครั้ง หลังจากทำการล้าง NaOH ออกได้หมดแล้ว จากนั้นนำไปจุ่มในสารละลายอิมัลชันแอนติออกซิเดนท์ (1%w/v) และนำไปอบในเตาอบที่อุณหภูมิ  $70^{\circ}\text{C}$  เป็นเวลาประมาณ 24-28 h

ในการทดลองนี้ได้ทำการศึกษาประสิทธิภาพของสารแอนติออกซิเดนท์ชนิดต่างๆ ดังนี้คือ BHT TBMTBP และ MBETP ซึ่งเป็นสารแอนติออกซิเดนท์ในกลุ่มประเภทสารประกอบฟีโนอลิก (phenolic compound antioxidants) โดยการนำยางสกิม LPS $\square$  ที่เตรียมได้ มาทดสอบการต้านทานต่อการเสื่อมสภาพด้วยความร้อน ที่อุณหภูมิ  $100^{\circ}\text{C}$  ระยะเวลา 3 h ทำการศึกษาน้ำหนักโมเลกุลของยางสกิม LPS $\square$  ที่เปลี่ยนแปลงไป ด้วยเครื่องวิเคราะห์การกระจายตัวของน้ำหนักโมเลกุล (GPC) ดังในตารางที่ 3.9

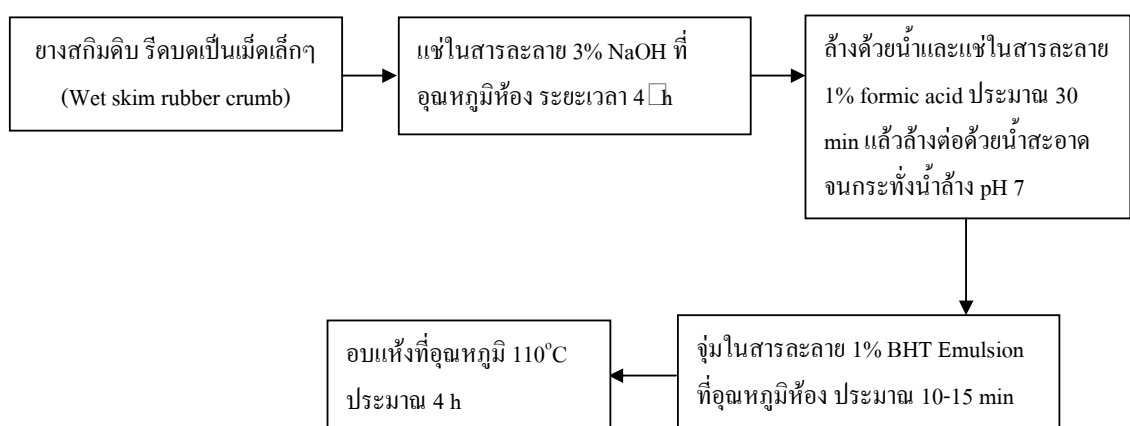
ตารางที่ 3.9 ชนิดของสารแอนติออกซิเดนท์และสภาวะที่ใช้ในการศึกษาการต้านทานการเสื่อมสภาพที่อุณหภูมิ  $100^{\circ}\text{C}$  ของยางสกิม LPS □

Emulsion antioxidants (1%w/v)	Heat-aging condition	
	Aging temp.	Aging times
No antioxidant	$100^{\circ}\text{C}$	3 h
BHT	$100^{\circ}\text{C}$	3 h
TBMTBP	$100^{\circ}\text{C}$	3 h
MBETP	$100^{\circ}\text{C}$	3 h

### 3.3.2.3 การศึกษาสมบัติทางกายภาพและสมบัติการวัลคาไนซ์ของยางสกิม LPSR โดยใช้การวัลคาไนซ์ด้วยเปอร์ออกไซด์

#### 1. การเตรียมยางสกิม LPSR

เตรียมจากยางสกิมดิบจากหัวข้อ 3.3.2 ที่ผ่านกระบวนการจับตัวและรีดบดเป็นชิ้นเล็กๆ เรียบร้อยแล้ว นำมาทำปฏิกิริยาสะพอนนิฟิเคชันที่ความเข้มข้น 3%w/v NaOH ที่อุณหภูมิห้อง ระยะเวลา 48 h โดยใช้อัตราส่วนยางสกิมหนึ่งส่วนต่อสารละลาย NaOH สองส่วน (1:2) เมื่อเสร็จสิ้นกระบวนการข้างต้นแล้ว จึงทำการล้างเพื่อกำจัด NaOH ที่ติดอยู่ด้วยน้ำสะอาด และแช่ในสารละลายกรดฟอร์มิกเจือจาง (1%w/v formic acid) ประมาณ 30 min และจึงทำการล้างต่อด้วยน้ำสะอาดอีกครั้ง หลังจากทำการล้าง NaOH ออกหมดแล้ว จากนั้นนำยางสกิมที่ได้ไปจุ่มในสารละลายอิมลัชันแอนติออกซิเดนท์ (1%w/v BHT) ก่อนนำไปอบในตู้อบจนแห้งที่อุณหภูมิ  $110^{\circ}\text{C}$  เป็นเวลาประมาณ 4 h ซึ่งได้แสดงลำดับกระบวนการเตรียมดังรูปที่ 3.1 นำตัวอย่างยางสกิม LPS □ ที่เตรียมได้ไปทำการวิเคราะห์ปริมาณองค์ประกอบอื่นๆ ที่ไม่ใช้ยาง (non-rubber component) เช่น ปริมาณในโตรเจน ปริมาณแอลเทอร์ ปริมาณเก้า ปริมาณเจล และศึกษาสมบัติทางกายภาพต่างๆ เปรียบเทียบกับยางสกิมแบบธรรมชาติ



รูปที่ 3.1 ลำดับการเตรียมยางสกิม LPS-ST 5L และ I 2200 ด้วยกระบวนการทำปฏิกิริยาสะพอนนิฟิเคชัน โดยใช้สารละลายน 3% w/v NaOH ที่สภาวะอุณหภูมิห้อง

## 2. การเตรียมยางวัลค่าไนซ์ด้วยระบบเบอร์ออกไซด์

เตรียมยางสกิม LPS-ST 5L และ I 2200 เพื่อทำการศึกษาสมบัติการวัลค่าไนซ์โดยใช้ระบบ DCP (dicumyl peroxide) โดยใช้เครื่องผสมยางแบบสองลูกกลิ้ง (two roll mill) โดยใช้ระยะเวลาในการผสม 15 min ที่สภาวะอุณหภูมิ 40°C ตามสูตรการเตรียมที่แสดงในตารางที่ 3.10 นำยางคอมปาวด์ที่ได้มารีดให้เป็นแผ่น และเก็บไว้ที่อุณหภูมิห้องเป็นระยะเวลา 24 h หลังจากนั้นนำไปขึ้นรูปเป็นแผ่นขนาด  $20 \times 20 \text{ cm}^2$  หนา 2 mm ที่อุณหภูมิ 155°C (แรงดัน 6.89 MN/m<sup>2</sup>) โดยใช้ระยะเวลาในการวัลค่าไนซ์ 39 min (98.4% vulcanization) ทำการวิเคราะห์สมบัติการวัลค่าไนซ์ของตัวอย่างยางที่ได้

ตารางที่ 3.10 สูตรการเตรียมยางวัลค่าไนซ์ด้วยระบบเบอร์ออกไซด์

Materials	Ingredient (phr)
Rubber ; LPS-ST 5L, I 2200	100
Dicumyl peroxide (Commercial grade, Chemmin Co.,Ltd. Thailand)	1.0
2,6-di-t-butyl-4-methylphenol (BHT)	0.5

### 3.3.3 วิธีวิเคราะห์สมบัติทางกายภาพของยางธรรมชาติและการทดสอบ สมบัติเชิงกล

#### 3.3.3.1 วิธีวิเคราะห์สมบัติทางกายภาพของยางธรรมชาติ

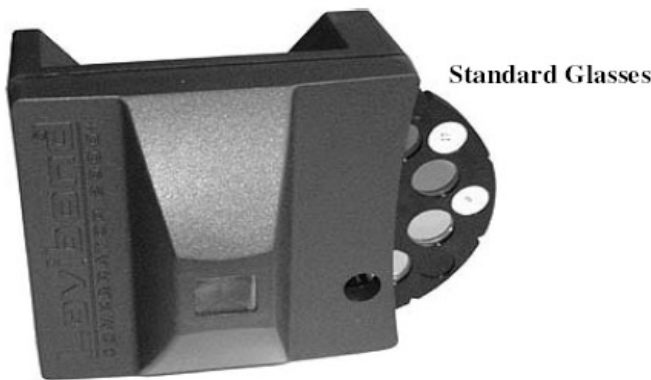
##### 1. การวัดการกระจายตัวของขนาดอนุภาคน้ำยางสกิม

การวัดการกระจายตัวของขนาดอนุภาคน้ำยางสกิมสามารถทำการวิเคราะห์ได้โดยเครื่อง Particle size analyzer; Malvern 2000 โดยใช้น้ำกลั่นเป็นตัวกลางในการวิเคราะห์ซึ่งมีวิธีการทดสอบดังนี้

- 1) เติมน้ำกลั่นปริมาตร 400 ml ลงในบิกเกอร์ขนาด 600 ml วางบิกเกอร์ลงบนตำแหน่ง wet cell chamber ทำการวัด background ก่อนเติมตัวอย่าง
- 2) ค่อยๆ หยดตัวอย่างลงใน sample chamber ให้พอดีในช่วงความเข้มข้นที่จะทำการวัด ประมาณ 5-10%
- 3) เครื่องจะทำการวัดและวิเคราะห์ค่าการกระจายตัวขนาดของอนุภาคยาง โดยทำการวัดซ้ำอีกประมาณ 3-5 ครั้ง และจึงรายงานผลเป็นค่าเฉลี่ย

##### 2. การวิเคราะห์สีของยางธรรมชาติ

ระดับความเข้มสีของยางสกิม สามารถวัดได้โดยใช้เครื่องมือวัดค่าดัชนีสีของยาง (lovibond comparator) ดังแสดงในรูปที่ 3.2 ในขั้นแรกจะเตรียมยางสกิมให้เป็นแผ่นโดยรีดยางผ่านลูกกลิ้งที่อุณหภูมิห้อง และนำแผ่นยางสกิมมาทำไลน์แม่แบบสำหรับวัดระดับสี โดยวางไว้ระหว่างแผ่นพิล์มเซลลูโลสที่ความดันไม่เกิน 3.5 MPa (500 psi) โดยให้แรงดันโดยเครื่องกดไฮดรอลิกเป็นเวลา 5 min ที่อุณหภูมิ  $140^{\circ}\text{C}$  แม่แบบที่ใช้มีความหนาประมาณ 1.4 ถึง 1.8 mm ระดับความเข้มสีของยางสกิมที่ได้จะนำมาเปรียบเทียบสีให้มีค่าใกล้เคียงที่สุดกับตัวอย่าง ระดับสีมาตรฐานซึ่งจะมีระดับสีจาก ระดับ 1-5 และ 5-16 lovibond



Lovibond Comparator equipped with standard glasses

รูปที่ 3.2 เครื่องวัดระดับสีในยางธรรมชาติ

### 3. การวิเคราะห์ปริมาณในตอรเจนในยางธรรมชาติ

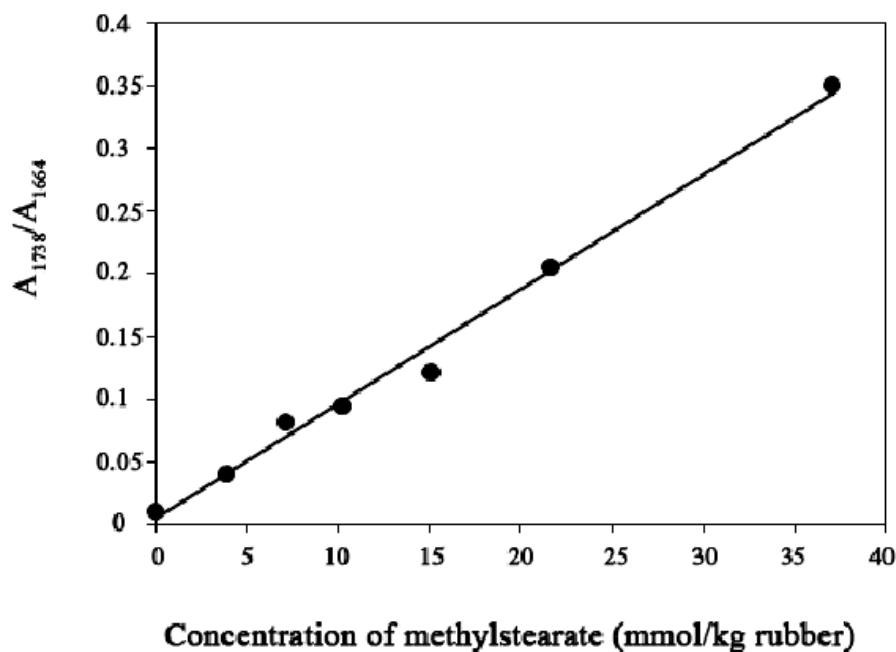
นำยางแห้ง 0.25 g มาทำการทดสอบโดยใช้เครื่องวิเคราะห์ปริมาณในตอรเจน (Leco instrument, FP 528) ดังแสดงในรูปที่ 3.3 ที่มีค่าความแม่นยำ (sensitivity) เท่ากับ 0.001%. โดยอาศัยหลักการการเผาไหม้ตัวอย่างด้วยความร้อนสูงและใช้คอปเปอร์ (Cu) เป็นตัวเร่งปฏิกิริยาเพื่อช่วยในการเผาไหม้เพื่อให้ได้ก้าช์ในตอรเจน โดยก้าช์ที่ใช้ในกระบวนการการเผาไหม้มีคือ ก้าชออกซิเจน ที่มีความบริสุทธิ์สูง (99.99%) และใช้ก้าชอีเลียมที่บริสุทธิ์สูง (99.99%) เป็นตัวนำพาค่าในตอรเจนที่ได้จะคำนวณได้จากตัวอย่างมาตรฐานเอทิลีนไดอะไมน์ เดตเตออะซิติก แอดีทิด (ethylene-diaminetetraacetic acid, EDTA) โดยในการวัดจะต้องทำซ้ำ 3 ครั้งเพื่อหาค่าเฉลี่ย



รูปที่ 3.3 เครื่อง Nitrogen analyzer (Leco instrument, FP 528)

#### 4. การวิเคราะห์ปริมาณปริมาณเอสเทอร์ ด้วยเครื่องฟูเรียร์กรานสฟอร์ม อินฟราเรดสเปกโกรามิเตอร์

นำยางแห้งมาละลายด้วยตัวทำละลายคลอโรฟอร์ม (chloroform) (1%w/v) จากนั้นหยดลงบน KB□cell เพื่อทำให้เป็นฟิล์ม จากนั้นทำให้แห้งด้วยก๊าซไนโตรเจน และจึงทำการวิเคราะห์โดยใช้เครื่องฟูเรียร์กรานสฟอร์มอินฟราเรดสเปกโกรามิเตอร์ (FT-IR spectrometer) ปริมาณเอสเทอร์ที่คำนวนได้จะเป็นการคำนวนจากค่าอัตราส่วนของความสูงของพีก (peak) ที่ ตำแหน่ง  $1738\text{ cm}^{-1}$  ( $\text{C=O}$ ) และที่  $1664\text{ cm}^{-1}$  ( $\text{C=C}$ ) เทียบจากสารละลายน้ำมารฐานเมทธิล สเตียริก (methylstearate) โดยใช้กราฟมาตรฐานดังแสดงในรูปที่ 3.4



รูปที่ 3.4 กราฟมาตรฐานที่ใช้สำหรับการคำนวณหาปริมาณเอสเทอร์ในยางธรรมชาติ โดยใช้ เมทิลสเตียเรทเป็นสารละลายน้ำหนักโมเลกุลของยางธรรมชาติ

### 5. การวิเคราะห์การกระจายตัวหนักโมเลกุลของยางธรรมชาติ

น้ำหนักโมเลกุลและการกระจายตัวของน้ำหนักโมเลกุลของยางหาได้จากเครื่อง GPC ดังรูปที่ 3.5 ที่อุณหภูมิ  $35^{\circ}\text{C}$  โดยการใช้เครื่องวัดดัชนีการหักเหเป็นเครื่องตรวจวัดและใช้ คอลัมน์ HPLC ที่ทำจากสารพอลิสไตรีน (polystyrene) ซึ่งมีความสามารถในการตรวจวัดที่น้ำหนักโมเลกุล  $2 \times 10^7$  และ  $4 \times 10^5 \text{ g/mole}$  การตรวจวัดทำได้โดยการใช้ THF เป็นตัวทำละลาย ที่อัตราการไหล  $0.5 \text{ ml/min}$  ที่อุณหภูมิ  $35^{\circ}\text{C}$  และความเข้มข้นสารละลายน้ำหนักโมเลกุล  $0.05\%(\text{w/v})$  โดยใช้ พอลิสไตรีนเป็นสารมาตรฐานในการอ้างอิงน้ำหนักโมเลกุล



รูปที่ 3.5 เครื่องวัดการกระจายตัวน้ำหนักโมเลกุลแบบ Gel permeation chromatography

## 6. การหาปริมาณเจล

การหาปริมาณเจล (gel content) ทำได้โดยการละลายยางแห้งในตัวทำละลาย โกลูอีน โดยเตรียมสารละลายยางที่มีความเข้มข้น 0.1% w/v และทำการเก็บไว้ในที่มีดโดยไม่มีการคนเป็นเวลา 7 วัน หลังจากนั้น นำสารละลายยางมาทำการบีบแยกส่วนเจลออกจากที่ความเร็ว 8,500 rpm แล้วจึงนำส่วนเจลมาทำการจับตัวโดยใช้เมทานอลและทำให้แห้งที่ 50°C ปริมาณเจลสามารถคำนวณได้จากสูตรดังสมการ (3.2) ต่อไปนี้

$$\text{ปริมาณเจล (\%)} = \frac{\text{น้ำหนักเจล}}{\text{น้ำหนักของยางเริ่มต้น}} \times 100 \quad \text{สมการ (3.2)}$$

## 7. การวิเคราะห์ปริมาณปริมาณเถ้า

การวิเคราะห์ปริมาณปริมาณเถ้า (ash content) โดยการชั่งยางหนักประมาณ 1.0 g โดยละเอียด ใส่ลงในถ้วยกระเบื้อง (crucible) จากนั้นนำไปเผาในเตาเผา (furnace) ที่ อุณหภูมิ 550°C เป็นเวลา 3 h และรอให้เย็นลงเท่ากับอุณหภูมิห้อง ทำการชั่งน้ำหนักปริมาณเถ้าโดยใช้ตาชั่งแบบละเอียด 4 ตำแหน่ง

ปริมาณถ้าสามารถคำนวณได้จากสูตรตามสมการ (3.3) ดังต่อไปนี้

$$\text{ปริมาณถ้า} (\%) = \frac{\text{น้ำหนักถ้า} \times 100}{\text{น้ำหนักของยางเริ่มต้น}} \quad \text{สมการ (3.3)}$$

### 8. การทดสอบความหนืดมูนนี

การทดสอบอั้งอิงตามมาตรฐาน ASTM D1646-94 วิเคราะห์โดยใช้เครื่อง TECHPLO Mooney viscometer ซึ่งมีวิธีการทดสอบดังนี้

ชั้นยางสกิมประมาณ 25.0 g และแบ่งยางออกเป็นสองส่วนเท่าๆ กัน โดยแต่ละส่วนมีความหนาประมาณ 6 mm และมีน้ำหนักประมาณ 12.5 g นำยางประบุด้านบนและด้านล่างของโรเตอร์ อุณหภูมิที่ใช้ในการทดลองคือ 100°C ทำการอุ่นยางก่อนเป็นเวลา 1 min หลังจากนั้นให้แรงเฉือนอย่างต่อเนื่องเป็นเวลา 4 min และบันทึกค่าความหนืดที่ได้ดังแสดงตามสมการ (3.4)

$$\text{Mooney viscosity} = X \text{ ML } 1+4 (100^{\circ}\text{C}) \quad \text{สมการ (3.4)}$$

เมื่อ	$X$	คือ	ค่าความหนืดที่อ่านได้
	ML	คือ	โรเตอร์ขนาดใหญ่
	1	คือ	อุ่นยางเป็นเวลา 1 min
	4	คือ	ทดสอบเป็นเวลา 4 min
	$100^{\circ}\text{C}$	คือ	อุณหภูมิที่ทำการทดสอบ

### 9. การทดสอบความอ่อนตัวและดัชนีความอ่อนตัว

ค่าความอ่อนตัวและค่าการทนออกซิเดชันสามารถวิเคราะห์โดยใช้เครื่อง Wallace plastimeter การทดสอบอั้งอิงตามมาตรฐาน ASTM D3194-99 โดยมีวิธีทดสอบดังนี้

1) ชั้นยางประมาณ  $20 \pm 5$  g นำไปปรีดผ่านเครื่องผสมยางแบบสองลูกกลิ้ง ที่มีระยะห่างระหว่างลูกกลิ้งเท่ากับ 1.9 mm จำนวน 2 ครั้ง แล้วพับครึ่ง ทำให้เรียบด้วยลูกกลิ้งให้ได้ความหนา 3.2-3.6 mm

2) ตัดตัวอย่างชิ้นทดสอบ 6 ชิ้น แบ่งเป็นชุดๆ ละ 3 ชิ้น ชุดแรกนำไปทดสอบค่าความอ่อนตัว โดยใช้กระดาษมวนบุหรี่รองก่อนทดสอบ ทำการวัดโดยให้แรงกดคงที่ที่  $10 \pm 0.1$

kg เป็นเวลา  $15 \pm 0.2$  sec แล้วด้วยความหนาของยาง โดยเอาค่ากลางจากการวัดสามชิ้นมาใช้เป็นค่า  $P_0$

3) ส่วนชิ้นที่สอง นำเข้าตู้อบอาการร้อน ที่อุณหภูมิ  $140^{\circ}\text{C}$  เป็นระยะเวลา 30 min นำชิ้นตัวอย่างออกมาก่อนแล้วที่อุณหภูมิห้อง เป็นระยะเวลา 30 min นำไปทดสอบหาค่าความอ่อนตัวเช่นเดียวกัน จะได้ค่า  $P_{30}$

ค่าการทนออกซิเดชัน ( $P\Box$ ) สามารถวิเคราะห์ได้จากสมการ (3.5) ดังนี้

$$P\Box (\%) = (P_{30} / P_0) \times 100 \quad \text{สมการ (3.5)}$$

โดยที่

$P_0$  คือ ค่าความอ่อนตัวของยางเริ่มต้น

$P_{30}$  คือ ค่าความอ่อนตัวของยางหลังจากผ่านการให้ความร้อนที่  $140^{\circ}\text{C}$  เป็นเวลา 30 min

### 3.3.3.2 การทดสอบสมบัติเชิงกล

#### 1. การทดสอบสมบัติความหนาแน่นแรงดึง

1) เตรียมตัวอย่างทดสอบโดยตัดเป็นชิ้นทดสอบรูปดั้มเบลล์ตามมาตรฐาน ASTM D412 ใช้เครื่องตัดชิ้นทดสอบแบบ die C แสดงในรูปที่ 3.6

2) วัดความหนาของชิ้นทดสอบ 3 ตำแหน่งในช่วงระยะ L และหาค่าเฉลี่ยของความหนา

3) นำชิ้นทดสอบไปทดสอบด้วยเครื่องทดสอบสมบัติการดึง ใช้ความเร็วในการดึง  $500 \text{ mm/min}$  ใช้ชิ้นตัวอย่างในการทดสอบ 5 ชิ้นต่อ 1 สูตร บันทึกค่าความหนาแน่นแรงดึง (tensile strength) และค่าระยะยืด ณ จุดขาด (elongation at break)

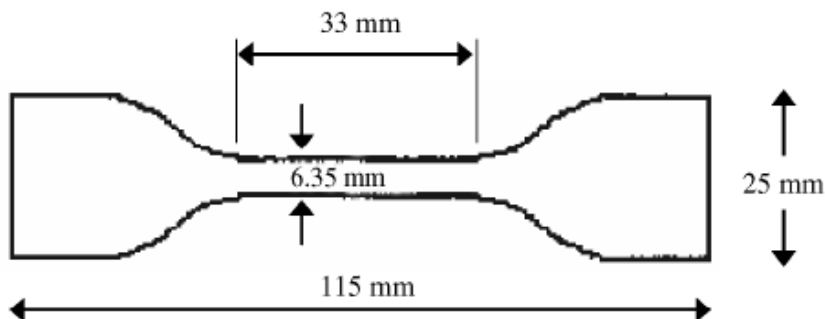
4) รายงานค่ามอดูลัสของยาง (Young's modulus, E) ค่าความเค้น ณ จุดขาด (stress at break,  $\sigma_b$ ) หรือค่าความหนาแน่นแรงดึง และค่าระยะยืด ณ จุดขาด (elongation at break,  $\varepsilon_b$ ) คำนวณค่าความเค้น ณ จุดขาด และค่าระยะยืด ณ จุดขาด ได้ตามสมการ (3.6) และ (3.7)

$$\text{stress at break, } \sigma_b = \frac{F}{A} \quad (3.6)$$

เมื่อ  $F$  = แรงดึงที่ทำให้ชิ้นทดสอบขาด (N)  
 $A$  = พื้นที่หน้าตัดของชิ้นทดสอบ ( $\text{mm}^2$ )

$$\text{elongation at break, } \varepsilon_b = \frac{L - L_0}{L_0} \times 100 \quad (3.7)$$

เมื่อ  $L$  = ระยะที่ชิ้นทดสอบสามารถยืดตัวได้สูงสุดจนขาด  
 $L_0$  = ระยะกำหนดก่อนทำการทดสอบ



รูปที่ 3.6 ชิ้นทดสอบรูปดัมเบลล์ (Die C) สำหรับการทดสอบความทนต่อแรงดึง

## 2. การทดสอบสมบัติความต้านทานต่อแรงฉีกขาด

1) เตรียมตัวอย่างทดสอบ โดยตัดเป็นชิ้นทดสอบรูปดัมเบลล์ตามมาตรฐาน ASTM D624 ใช้เครื่องตัดชิ้นทดสอบแบบ die C แสดงในรูปที่ 3.7

2) วัดความหนาของชิ้นทดสอบ 3 ตำแหน่งในช่วงระยะ  $L$  และหาค่าเฉลี่ยของความหนา

3) นำชิ้นทดสอบไปทดสอบด้วยเครื่องทดสอบสมบัติการดึง ใช้ความเร็วในการดึง 500  $\text{mm/min}$  ใช้ชั้นตัวอย่างในการทดสอบ 5 ชิ้นต่อ 1 สูตร บันทึกค่าแรงดึงสูงสุดที่ทำให้ชิ้นตัวอย่างฉีกขาด

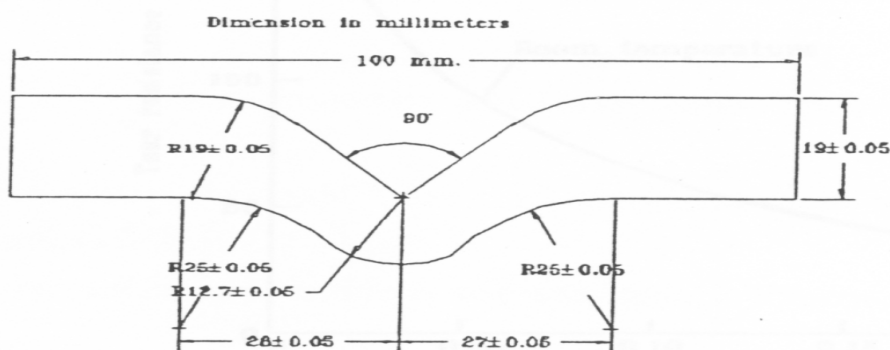
4) คำนวณค่าความต้านทานต่อแรงฉีกขาดตามสมการ (3.8)

$$T = \frac{F}{d} \quad (3.8)$$

เมื่อ  $T$  = ค่าความต้านทานต่อแรงฉีกขาด (tear strength) มีหน่วยเป็น N/mm

$F$  = ค่าแรงสูงสุด (maximum force) มีหน่วยเป็น N

$d$  = ค่าความหนาของชิ้นตัวอย่าง มีหน่วยเป็น mm



รูปที่ 3.7 ชิ้นทดสอบแบบมุ่งสำหรับการทดสอบการฉีกขาดตามมาตรฐาน ASTM D624

### 3. การทดสอบความหนาแน่นเชื้อมขวาง

ความหนาแน่นเชื้อมขวาง (crosslink density) ของยางวัลคainz สามารถวิเคราะห์ได้จากการทดสอบการบวมตัว (swelling method) ตามมาตรฐาน ASTM D471 โดยตัดชิ้นทดสอบยางวัลคainz น้ำหนัก 0.3 g โดยประมาณ แซ่ชิ้นตัวอย่างในตัวทำละลายโกลูอีนที่อุณหภูมิห้อง เป็นเวลา 7 วัน และคำนวณหาเปอร์เซ็นต์การบวมตัวของน้ำหนักชิ้นตัวอย่างตามสมการ (3.9)

$$\text{Degree of swelling} = \frac{W_2 - W_1}{W_1} \times 100 \quad (3.9)$$

เมื่อ	Degree of swelling	= เปอร์เซ็นต์การบวมตัวของชิ้นตัวอย่าง
	$W_1$	= น้ำหนักของชิ้นตัวอย่างก่อนแช่ตัวทำละลาย (g)
	$W_2$	= น้ำหนักของชิ้นตัวอย่างหลังแช่ตัวทำละลาย (g)

จากนั้นนำไปคำนวณความหนาแน่นเชื่อมขวาง (crosslink density) จาก Flory-Cahn equilibrium swelling equation ตามสมการ (3.10)

$$\nu = 1/2M_c = -[\ln(1-V_r) + V_r + \chi V_r^2] / [2\rho_r V_0 (V_r^{1/3} - 0.5V_r)] \quad (3.10)$$

เมื่อ	$V$	= ความหนาแน่นเชื่อมขวางต่อกรัมยาง
	$M_c$	= น้ำหนักโมเลกุลระหว่างการเชื่อมขวาง
	$V_r$	= ปริมาตรในส่วนของยาง
	$\chi$	= ค่าคงที่อันตรกิริยาอักกินส์
	$\rho_r$	= ความหนาแน่นของยาง
	$V_0$	= ปริมาตรโมลาร์ของตัวทำละลาย
	$\rho_s$	= ความหนาแน่นของตัวทำละลาย

ปริมาตรในส่วนของยาง ( $V_r$ ) คำนวณได้จากสมการ (3.11) ต่อไปนี้

$$V_r = [(\rho_r / \rho_s)((W_s - W_u)/W_u) + 1]^{-1} \quad (3.11)$$

เมื่อ	$W_s$	= น้ำหนักยางหลังการบวมตัวที่คงที่
	$W_u$	= น้ำหนักยางก่อนการบวมตัว

จากสมการข้างต้นมีค่าคงที่ของตัวแปรต่างๆ ดังนี้

$$\begin{aligned} \chi &= 0.886 \text{ g/cm}^3 \\ \rho_r &= 0.93 \text{ g/cm}^3 \\ V_0 &= 106.9 \text{ cm}^3/\text{mole} \\ \rho_s &= 0.43 + 0.05V_r \end{aligned}$$

#### 4. การทดสอบสมบัติความแข็ง

- 1) ทำการทดสอบตามมาตรฐาน ASTM D2240 เป็นการวัดค่าความแข็ง (hardness) แบบ shore A ใช้ชิ้นทดสอบที่ความหนาอย่างน้อย 6 mm ก่อนการทดสอบทำการปรับเทียบ (calibration) เครื่องวัดความแข็งโดยใช้แท่งเหล็กที่มีรูตรงกลางวางให้ตรงกับหัวเข็มกดของเครื่องทดสอบแล้วปรับค่าที่หน้าปัดเป็นศูนย์
- 2) นำแท่งเหล็กที่มีค่าความแข็ง 40 shore A วางบนฐานของเครื่องทดสอบ กดหัวกดลงบนแท่งเหล็กที่มีค่าความแข็ง 40 shore A ค่าที่อ่านได้ควรจะเป็น 40 shore A
- 3) เมื่อทำการปรับเทียบเรียบร้อยแล้ว นำชิ้นทดสอบวางไว้ให้ตรงกับหัวเข็มกดเลื่อนหัวเข็มกดลงบนชิ้นทดสอบ โดยใช้น้ำหนักกดคงที่ 1 kg กดเป็นเวลา 30 sec ทดสอบซ้ำอีก 5 จุดที่ตำแหน่งต่างกัน และใช้ค่ากลางเป็นความแข็งของชิ้นทดสอบ

##### 3.3.4 การศึกษาและพัฒนาวิธีเตรียมการ PSA จากยางสกิม LPSR

###### 3.3.4.1 การลดน้ำหนักโมเลกุลยางสกิม LPSR โดยวิธีการบดทางกล

###### 1. การลดน้ำหนักโมเลกุลยางสกิม LPSR โดยวิธีการบดทางกลแบบไม่เติมสารเอนติออกซิเดนท์

นำยางสกิม LPS ตัวอย่างละ 400 g มาบดด้วยเครื่องผสมยางแบบสองลูกกลิ้งขนาด 6x15 inch โดยเริ่มจากนำยางมาผ่านลูกกลิ้ง 6 ครั้ง หลังจากนั้นปรับระยะห่างระหว่างลูกกลิ้งประมาณ 1.0 mm และบดยางเป็นเวลา 2 4 6 8 และ 10 min ที่อุณหภูมิ 30-40 °C ตามลำดับ ดังในตารางที่ 3.11 เก็บยางที่บดแล้วไว้ที่อุณหภูมิห้องเป็นระยะเวลาอย่างน้อย 24 h ก่อนนำไปวิเคราะห์การเปลี่ยนแปลงน้ำหนักโมเลกุลด้วยเครื่องวัดการกระจายตัวของน้ำหนักโมเลกุล (GPC) และสมบัติทางกายภาพ เช่น ค่าความหนืดมูนนี ค่าความอ่อนตัวเริ่มต้น และปริมาณเจล

###### 2. การลดน้ำหนักโมเลกุลยางสกิม LPSR โดยวิธีการบดทางกลแบบเติมสารเอนติออกซิเดนท์

นำยางสกิม LPS ตัวอย่างละ 400 g มาบดด้วยเครื่องผสมยางแบบสองลูกกลิ้งขนาด 6x15 inch โดยเริ่มจากนำยางมาผ่านลูกกลิ้ง 6 ครั้ง หลังจากนั้นปรับระยะห่างระหว่างลูกกลิ้งประมาณ 1.0 mm และบดยางเป็นเวลา 4 6 และ 10 min ที่อุณหภูมิ 30-40 °C ตามลำดับ

โดยที่เติมสาร BHT ปริมาณ 1 phr ในทุกๆตัวอย่างการบด ดังในตารางที่ 3.11 เก็บยางที่บดแล้วไว้ที่อุณหภูมิห้องเป็นระยะเวลาอย่างน้อย 24 h ก่อนนำไปวิเคราะห์การเปลี่ยนแปลงน้ำหนักโมเลกุลด้วยเครื่องวัดการกระจายตัวของน้ำหนักโมเลกุล (GPC) และสมบัติทางกายภาพ เช่น ค่าความหนืดมูนี ค่าความอ่อนตัวเริ่มต้น และปริมาณเจล

ตารางที่ 3.11 สภาวะการลดน้ำหนักโมเลกุลของยางสกิม LPS□โดยวิธีการบดทางกล

Mastication	LPS□Lot.1	LPS□Lot.2
Antioxidant	No BHT	1phr BHT
Time	2, 4, 6, 8 and 10 min	4, 6 and 10 min
Temp.	30-40°C	30-40°C

### 3.3.4.2 การเตรียมการ PSA จากยาง LPSR และจากพอลิเมอร์สม LPSR/PVA

1. ศึกษาความสามารถในการละลายของยางสกิม LPSR ที่ผ่านการลดน้ำหนักโมเลกุลด้วยวิธีทางกล ในตัวทำละลายโกลูอีน

ละลายยางสกิม LPS□ ที่เตรียมได้จากการบดในหัวข้อ 3.3.4.1 ที่ระยะเวลา 2 4 6 8 และ 10 min ตามลำดับ ในตัวทำละลายโกลูอีนที่ความเข้มข้นของสารละลายยาง ดังนี้คือ 5 10 15 และ 20%w/v สังเกตความสามารถในการละลายเมื่อเก็บไว้ที่อุณหภูมิห้อง

2. ศึกษาความสามารถเข้ากันได้ของพอลิเมอร์สมระหว่างยางสกิม LPSR กับ PVA แบบสารละลาย

เตรียมสารละลายยางสกิม LPS□ที่ผ่านการบดเป็นระยะเวลา 10 min ในตัวทำละลายโกลูอีน ที่ความเข้มข้นของสารละลายยาง 10 15 และ 20%w/v โดยทำการละลายเป็นระยะเวลาประมาณ 24 h จากนั้นทำการผสมสารละลายยางสกิม LPS□ กับสารละลาย 10%w/v PVA โดยแปรปริมาณ PVA ตั้งแต่ 0-50 phr ตามลำดับ โดยทำการผสมด้วยเครื่องผสมแบบปั่น ความเร็วสูง (homogenizer) ที่ความเร็วรอบ 14000 rpm เป็นระยะเวลา 15 min สังเกตลักษณะ ความเข้ากันของของผสม และเก็บไว้อย่างน้อย 12 h ก่อนนำไปวัดค่าความหนืดด้วย Brookfield viscometer

### 3. การเตรียมการ PSA จากยาง LPSR

เตรียมสารละลายยางสกิม LPSR ที่ผ่านการบดเป็นระยะเวลา 10 min ในตัวทำละลายโกลูอีน ที่ความเข้มข้นของสารละลายยาง 15% w/v โดยทำการละลายไว้เป็นระยะเวลาประมาณ 24 h จากนั้นเติมไฮดร์คาร์บอนเรซิน (Escorze 1000) โดยแปรปริมาณตั้งแต่ 0-100 phr ตามลำดับ ดังในตารางที่ 3.12 และทำการละลายต่อไปอีกประมาณ 24 h จากนั้นจึงนำสารละลายยางสกิม LPSR ที่ได้ไปเคลือบบนแผ่นฟิล์ม PET ด้วย Applicator coating stainless-steel โดยควบคุมความหนาประมาณ 0.5 mm แล้วนำไปอบไว้ตัวทำละลายที่อุณหภูมิ 130 °C ประมาณ 3 min และทำให้เย็นต่อที่อุณหภูมิห้อง เก็บตัวอย่างเทปการดัดแปลง (release paper) โดยเก็บไว้ที่อุณหภูมิห้องอย่างน้อย 24 h ก่อนทำการทดสอบสมบัติด้านการยึดติด

ตารางที่ 3.12 สภาพการเตรียมการเตรียมการ PSA จากยาง LPSR

Conditions	PSA-tape 1	PSA-tape 2
Antioxidant	No BHT	1 phr BHT
15%LPSR (in toluene)	100 phr	100 phr
Hydrocarbon resin (Escorze 1000)	0-100 phr	0-100 phr

### 4. การเตรียมการ PSA จากพอลิเมอร์ผสม LPSR/PVA

เตรียมสารละลายยางสกิม LPSR ที่ผ่านการบดเป็นระยะเวลา 10 min ในตัวทำละลายโกลูอีน ที่ความเข้มข้นของสารละลายยาง 15% w/v โดยทำการละลายเป็นระยะเวลาประมาณ 24 h จากนั้นเติมไฮดร์คาร์บอนเรซิน (Escorze 1000) โดยแปรปริมาณตั้งแต่ 0-100 phr ตามลำดับ โดยทำการละลายต่อไปอีกประมาณ 12 h จากนั้นทำการผสมสารละลายยางสกิม LPSR กับสารละลาย 10% w/v PVA โดยใช้ปริมาณ 20 phr และทำการผสมด้วยเครื่อง homogenizer ที่ความเร็วรอบ 14000 rpm เป็นระยะเวลา 15 min สภาพการเตรียมการเตรียมการ PSA จากพอลิเมอร์ผสม LPSR/PVA แสดงดังในตารางที่ 3.13 เก็บไว้ที่อุณหภูมิห้องอย่างน้อย 24 h ก่อนนำไปทดสอบค่าความหนืดด้วย Brookfield viscometer

นำสารละลายยางพอลิเมอร์ผสม LPSR/PVA ที่ได้ไปเคลือบบนแผ่นฟิล์ม PET ด้วย Applicator coating stainless-steel โดยควบคุมความหนาประมาณ 0.5 mm แล้วนำไปอบไว้ตัวทำละลายที่อุณหภูมิ 130 °C ประมาณ 3 min และเก็บให้เย็นต่อที่อุณหภูมิห้อง เก็บ

ตัวอย่างเทปกาวด้วยกระดาษไข่ ดังแสดงขั้นตอนการเตรียมในรูปที่ 3.8 โดยเก็บไว้ที่ อุณหภูมิห้องอย่างน้อย 24 h ก่อนทำการทดสอบสมบัติด้านการยึดติด

ตารางที่ 3.13 สภาวะการเตรียมการเตรียมกาว PSA จากพอลิเมอร์ผสม LPS□PVA

Conditions	PSA-tape 1	PSA-tape 2
Antioxidant	No BHT	1 phr BHT
15%w/v LPS□(in toluene)	100 phr	100 phr
10%w/v PVA	20 phr	20 phr
Hydrocarbon resin (Escorze 1000)	0-100 phr	0-100 phr



a.) coat-1

b.) coat-2

c.) dry at 130°C



d.) PSA film

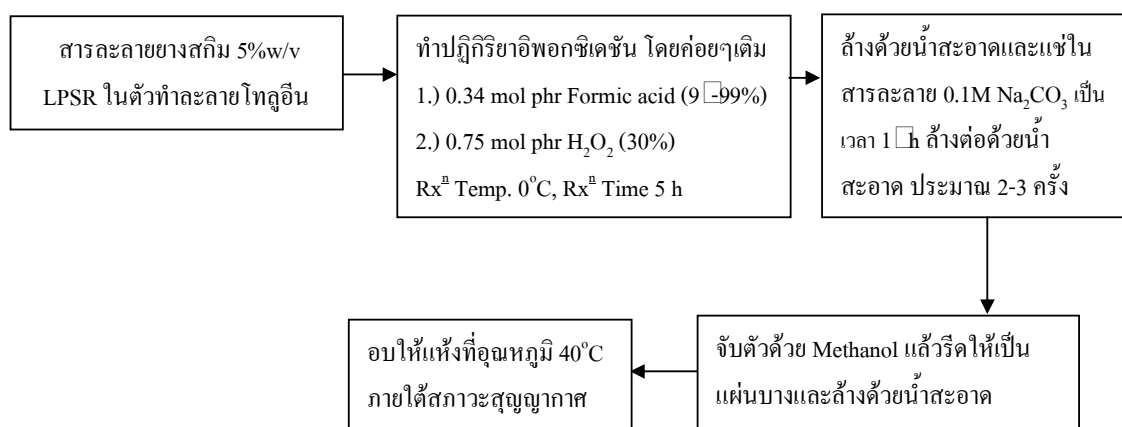
e.) PSA-tape

รูปที่ 3.8 ลำดับกระบวนการเตรียมเทปกาว PSA จากยางสกิน LPS□

### 3.3.4.3 การเตรียมการ PSA จากพอลิเมอร์สม E-LPSR/PVA

#### 1. วิธีเตรียมยาง E-LPSR

เตรียมสารละลายน้ำสกิน LPSR ในตัวทำละลาย troqueline ที่ความเข้มข้นของสารละลายน้ำ 5% w/v โดยทำการละลายเป็นระยะเวลาประมาณ 24 h นำสารละลายน้ำที่ได้มาทำปฏิกิริยาอิพอกซิเดชัน โดยค่อยๆเติมสารละลายกรดฟอร์มิก (0.34 mol phr) และสารละลาย 30% ไฮโดรเจนเปอร์ออกไซด์ (0.75 mol phr) ลงไปอย่างช้าๆ ควบคุมการทำปฏิกิริยาที่อุณหภูมิ 0°C เป็นเวลา 5 h จากนั้นล้างด้วยน้ำสะอาดและทำการปรับสภาพด้วยการแช่ในสารละลายน้ำ 0.1M Na<sub>2</sub>CO<sub>3</sub> เป็นระยะเวลาประมาณ 18 h เพื่อกำจัดไฮโดรเจนเปอร์ออกไซด์ที่มากเกินพอด้วยวิธีการล้างด้วยน้ำสะอาดอีก 2-3 ครั้ง ก่อนทำการเติมเมทานอลเพื่อจับตัวยางเป็นก้อนและรีดก้อนยางให้เป็นแผ่นบาง ทำการอบให้แห้งที่อุณหภูมิ 40°C ภายใต้สภาวะสูญญากาศ (vacuum oven) ดังแสดงขั้นตอนการเตรียมในรูปที่ 3.9 จากนั้นนำไปวิเคราะห์ปริมาณหมุ้อิพอกไซด์ ด้วย NM และ FT-I



รูปที่ 3.9 ลำดับการเตรียมยางสกิน E-LPSR ด้วยกระบวนการทำปฏิกิริยาอิพอกซิเดชัน ที่สภาวะ 0°C ระยะเวลา 5 h (Okwu U.N. et al., 1999)

## 2. วิธีเตรียมการ PSA จากพอลิเมอร์ฟลัม E-LPSR/PVA

เตรียมสารละลายยางสกิม E-LPS $\square$ ในตัวทำละลายท็อลูอิน ที่ความเข้มข้นของสารละลายยาง 15%w/v โดยทำการละลายเป็นระยะเวลาประมาณ 24 h จากนั้นเติมไฮโดรคาร์บอนเรซิน (Escorze 1000) ปริมาณ 60 phr และ BHT ปริมาณ 1 phr โดยทำการละลายต่อไปอีกประมาณ 12 h จากนั้นทำการผสมสารละลายยางสกิม E-LPS $\square$  กับสารละลาย 10%w/v PVA โดยแบรปริมาณ PVA ตั้งแต่ 0-30 phr และทำการผสมด้วยเครื่อง homogenizer ที่ความเร็วรอบ 14000 rpm เป็นระยะเวลา 15 min ดังแสดงสภาวะการเตรียมในตารางที่ 3.14 เก็บไว้ที่อุณหภูมิห้องอย่างน้อย 24 h ก่อนนำไปทดสอบค่าความหนืดด้วย Brookfield viscometer

นำสารละลายการพอลิเมอร์ฟลัม E-LPS $\square$ /PVA ที่ได้ไปเคลือบบนแผ่นพิล์ม PET ด้วย Applicator coating stainless-steel โดยควบคุมความหนาประมาณ 0.5 mm แล้วนำไปอบในตัวทำละลายที่อุณหภูมิ 130°C ประมาณ 3 min รอให้เย็นลงที่อุณหภูมิห้อง เก็บตัวอย่างเทปการด้ายกระดาษไว้ โดยเก็บไว้ที่อุณหภูมิห้องอย่างน้อย 24 h ก่อนทำการทดสอบสมบัติทางด้านการยึดติด

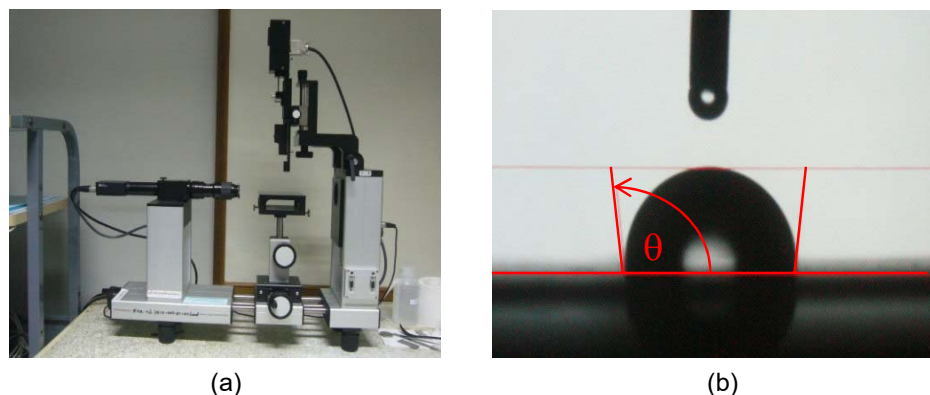
ตารางที่ 3.14 สภาวะการเตรียมการเตรียมการ PSA จากยาง LPS $\square$ และ E-LPS $\square$ เพื่อศึกษาอิทธิพลของปริมาณ PVA ที่มีต่อสมบัติทางด้านการยึดติด

Conditions	LPS $\square$ -tape	E-LPS $\square$ -tape
rubber base (15%w/v in toluene)	100 phr	100 phr
10%w/v PVA	0, 5, 10, 20 and 30 phr	0, 5, 10, 20 and 30 phr
Hydrocarbon resin (Escorze 1000)	60 phr	60 phr
BHT Antioxidant	1 phr	1 phr

### 3.3.4.4 วิธีการทดสอบสมบัติทางด้านการยึดติดของการ PSA

#### 1. การวัดมุมสัมผัสทางฟิสิกส์

การวัดมุมสัมผัสทางฟิสิกส์ (contact angle) ของเทปกาวน์น์ เป็นการทดสอบเพื่อหารความสัมพันธ์กับพลังงานพื้นผิวของเทปการที่เตรียมได้จากวัสดุที่แตกต่างกัน วิธีการใช้เครื่องวัดมุมสัมผัส Data Physic Contact Angle ดังรูปที่ 3.10 โดยเริ่มจากการเตรียมเทปการ PSA ขนาด  $2 \times 5$  cm ติดลงบนแผ่นสไลด์ วางตัวอย่างบนแท่นทดสอบ ปรับให้ได้ตำแหน่งระยะไฟกัสของกล้อง CCD ปรับไฟกัสภาพให้ชัดก่อนถ่าย และทำการวัดมุมสัมผัสโดยหยดน้ำกลั่นลงบนพื้นผิwtัวอย่าง โดยกล้องจะทำการบันทึกภาพและคำนวณมุมสัมผัสระหว่างหยดน้ำบนพื้นผิวของเทปการ บันทึกผลและทดลองซ้ำในตำแหน่งถัดไปของตัวอย่าง ประมาณ 3-5 จุด



รูปที่ 3.10 ภาพแสดง (a) เครื่องมือการวัดมุมสัมผัสเชิงฟิสิกส์ และ (b) ลักษณะตัวอย่างขณะทำการวิเคราะห์มุมสัมผัส

#### 2. การทดสอบสมบัติความเหนียว

การทดสอบสมบัติความเหนียวของเทป PSA โดยใช้เครื่องมือ rolling ball tack tester ดังรูปที่ 3.11 ซึ่งจะทำการวัดความสามารถในการยึดติดของลูกบอลเหล็กที่ความชัด  $30^\circ$  ตามมาตรฐาน ASTM D3121-05 โดยทำการปล่อยลูกเหล็กขนาดต่างๆ ให้กลิ้งผ่านเทปการขนาด  $2.5 \times 10$  cm จากระยะที่กำหนด ทำการบันทึกขนาดและระยะทางที่ลูกเหล็กหยุดเมื่อวิ่งผ่านเทปการ รวมทั้งบันทึกขนาดลูกเหล็กที่ใหญ่ที่สุดที่สามารถติดอยู่บนเทปการได้ ทำการทดสอบซ้ำ 5-7 ครั้ง



รูปที่ 3.11 เครื่องมือวัดความเหนียวเทปภาว Rolling ball tack tester

### 3. การทดสอบสมบัติการคีบ

การสมบัติการคีบของภาว PSA โดยใช้เครื่องทดสอบ shear holding power ทำการทดสอบตามมาตรฐาน ดังรูป โดยเตรียมตัวอย่างเทปภาวขนาด  $25 \times 50$  mm ติดลงบนแผ่นเหล็กหรือแผ่น stainless-steel ที่เตรียมพื้นผิวแล้ว ให้ติดเทปภาวลงบนพื้นที่ทดสอบขนาด  $25 \times 25$  mm จากนั้นใช้ลูกกลิ้งน้ำหนัก 2.0 kg กลิ้งทับบนส่วนที่ติดแผ่นภาว 1 รอบ ทิ้งไว้ประมาณ 10 min ก่อนนำไปทดสอบ โดยทดสอบการเฉือนด้วยน้ำหนัก 550 g ที่อุณหภูมิในการทดสอบ  $40^\circ\text{C}$  ดังแสดงในรูปที่ 3.12 ทำการจับเวลาจนกระทั่งเทปภาวหลุดออกจากแผ่น stainless-steel บันทึกเวลาที่แผ่นภาวหลุด ทำการทดสอบซ้ำ ประมาณ 3-5 ครั้ง



รูปที่ 3.12 เครื่องทดสอบการคีบ Shear Holding Power

#### 4. การทดสอบสมบัติการดึงลอก

การทดสอบการดึงลอกเป็นเทคนิคที่สำคัญอย่างหนึ่งในการทดสอบการ PSA และในงานวิจัยนี้ได้ทำการทดสอบแบบ  $180^\circ$  peel โดยเตรียมเทปการขนาด  $25 \times 130$  mm นำไปติดลงบนแผ่น stainless-steel ขนาด  $50 \times 130$  mm ที่เตรียมพื้นผิวเรียบร้อยแล้ว จากนั้นใช้ลูกกลิ้งขนาด  $2.0\text{ kg}$  กลิ้งทับลงบนตัวอย่าง 1 รอบ ทิ้งไว้ประมาณ 20 min ก่อนทำการทดสอบ จากนั้นนำแผ่นตัวอย่างไปทดสอบ  $180^\circ$  peel ด้วยเครื่อง tensile tester ดังรูปที่ 3.13 โดยใช้อัตราเร็วในการดึงที่  $300\text{ mm/min}$ , Load cell  $100\text{ N}$  ทำการบันทึกแรงที่ใช้ในการดึงลอก (peel force) และแรงสูงสุดในการดึง (maximum force) บันทึกผลและทดลองซ้ำ 3-5 ครั้ง



รูปที่ 3.13 เครื่องทดสอบการดึงลอกแบบ  $180^\circ$  peel (LLOYD Tensile tester)

##### 3.3.4.5 การวิเคราะห์สมบัติทางกายภาพและสมบัติเชิงกลของกาว PSA จากยางสกิม LPSR

###### 1. การตรวจสอบด้วยกล้องจุลทรรศน์อิเล็กตรอนแบบส่องการดู

การเตรียมตัวอย่างเพื่อนำไปตรวจสอบด้วยกล้องจุลทรรศน์อิเล็กตรอนแบบส่องการดู (scanning electron microscope, SEM) มีวิธีดังนี้

1) นำชิ้นตัวอย่างขนาด  $5 \times 20$  mm ความหนาประมาณ  $1-2\text{ mm}$  ไปแช่ในไนโตรเจนเหลวประมาณ  $5-10\text{ min}$  แล้วทำการหักทันที พยายามให้รอยหักเรียบที่สุด

2) นำส่วนที่หักไปติดลงบนตับทองเหลือง โดยหันปลายที่หักขึ้นข้างบน จากนั้นนำไปเคลือบด้วยชั้นทองคำบางๆ เพื่อให้ตัวอย่างสามารถนำไปฟื้นได้

- 3) นำไปวิเคราะห์โครงสร้างภายในอก ด้วยเครื่องจุลทรรศน์อิเล็กตรอนแบบส่องกราด โดยใช้กระแสลำอิเล็กตรอนเท่ากับ 10 kV

## 2. การวิเคราะห์สมบัติเชิงความร้อน

การศึกษาสมบัติเชิงความร้อน โดยใช้เครื่องวิเคราะห์สมบัติเชิงความร้อน (differential scanning calorimeter, DSC) ของกาวยางสกิม LPS/PVA และการพอลิเมอร์ผสม LPS/PVA เพื่อหาค่าอุณหภูมิสถานะคล้ายแก้ว (glass transition temperature,  $T_g$ ) ของตัวอย่าง มีวิธีการดังนี้

- 1) นำตัวอย่างที่แห้งแล้วประมาณ 10 mg บรรจุลงในเซลล์อลูมิเนียม แล้วนำไปวางในตำแหน่งวางเซลล์ของเครื่อง
- 2) ทำการวิเคราะห์ภายใต้สภาวะบรรยายกาศในโตรเจน ทำการวิเคราะห์ที่ช่วงอุณหภูมิ -100 ถึง 100°C โดยใช้ในโตรเจนเหลวเป็นสารหล่อเย็น
- 3) ให้อัตราการเพิ่มขึ้นของอุณหภูมิที่ 10 °C/min บันทึกค่าอุณหภูมิสถานะคล้ายแก้ว ( $T_g$ ) ของตัวอย่างที่วัดได้

## 3. การวิเคราะห์สมบัติทางกลศาสตร์ความร้อนเชิงพลศาสตร์

การศึกษาผลของไอโอดิคาร์บอนเรซิน และ PVA ที่มีส่งผลต่อการเปลี่ยนแปลงต่อสมบัติทางด้าน dynamic viscoelastic ของกาวยาง PSA ที่เตรียมจากยางสกิม LPS/PVA ทำการวิเคราะห์ได้โดยใช้เครื่องวิเคราะห์สมบัติทางกลศาสตร์ความร้อนเชิงพลศาสตร์ (dynamic mechanical analyzer, DMTA) แบบเนื้อน (shear mode) ซึ่งมีวิธีการวิเคราะห์ดังนี้

- 1) เตรียมตัวอย่างการที่ทำการอบแห้งแล้ว ตัดชิ้นตัวอย่างเป็นรูปวงกลม รัศมี 8 mm ความหนา 1-2 mm
- 2) ทำการวิเคราะห์แบบเนื้อน โดยให้ความถี่เท่ากับ 10 Hz และค่าความเด่น (applied strain) เท่ากับ 0.25%
- 3) โดยให้อัตราการเพิ่มขึ้นของอุณหภูมิเท่ากับ 6 °C/min วิเคราะห์ผลที่ช่วงอุณหภูมิ -100 ถึง 200°C โดยใช้ในโตรเจนเหลวเป็นสารหล่อเย็น

#### 4. การตรวจสอบโครงสร้างด้วยเครื่องตรวจสอบการเลี้ยวเบนด้วยรังสีเอกซ์

ทำการวิเคราะห์การเกิดผลึกในตัวอย่างทดสอบด้วยเครื่อง X' Pert MPD,

Philips X-ray diffractometer

1) ทำการทดสอบโดยใช้อัตราหมุนต่อกกระบบของรังสีเอกซ์ต่อเวลาเท่ากับ  $4^\circ/\text{min}$  เลือกมุมองค่าในการทดสอบตั้งแต่  $5-90 (2\theta)$  ใช้กำลังไฟฟ้าและกระแสไฟฟ้าในการทดสอบเท่ากับ  $35 \text{ kV}$  และ  $25 \text{ mA}$  ตามลำดับ

2) สเปกตรัมของสารที่ตรวจสอบได้ เป็นความสัมพันธ์ระหว่างมุมองค่าที่รังสีเอกซ์เกิดการเลี้ยวเบนและผลึกของสารที่ทำการทดสอบ

## บทที่ 4

### ผลการทดลองและการวิจารณ์การทดลอง

ในบทนี้เป็นผลการทดลองและการวิจารณ์การทดลองของ การศึกษาพัฒนาและปรับปรุงสมบัติยางสกิมโปรตีนต่าเพื่อนำไปใช้ประโยชน์ในด้านภาชนะด้ามไวต่อแรงดัน โดยเริ่มจากการศึกษากระบวนการจับตัว และรวมรวมเนื้อยางสกิมแบบใหม่ จากนั้นทำการสภาวะในการทำปฏิกิริยาสะพอนนิฟิเคชันยางสกิมด้วยสารละลายเบส เพื่อกำจัดโปรตีนและส่วนที่ไม่ใช้ยางอื่นๆ ออกจากยางสกิม เพื่อให้ได้ยางสกิมที่มีคุณภาพ ปริมาณโปรตีนต่า และมีสีขาว เหมาะสมในการนำไปเตรียมเป็นกาว หรือสารยึดติด รวมทั้งทำการพัฒนาและปรับปรุงสมบัติของภาชนะด้วยแรงดันให้มีสมบัติในการยึดติดให้ดียิ่งขึ้น โดยแบ่งงานวิจัยทั้งหมดออกเป็น 3 ส่วน ใหญ่ๆ ดังนี้คือ 1) การศึกษาสภาวะในการจับตัวและรวมรวมเนื้อยางสกิมด้วยเทคนิคใหม่ โดยใช้สารละลายพอลิอิเล็กโทรไลต์และเกลืออนินทรีย์ 2) การเตรียมยางสกิมโปรตีนต่าจากการทำปฏิกิริยาสะพอนนิฟิเคชันยางสกิมในสารละลายโซเดียมไฮดรอกไซด์ และ 3) การศึกษาและพัฒนาวิธีการเตรียมภาชนะด้วยแรงดันจากยางสกิมโปรตีนต่า มีรายละเอียดดังต่อไปนี้

#### 4.1 การศึกษาสภาวะในการจับตัวและรวมรวมเนื้อยางสกิมด้วยเทคนิคใหม่ โดยใช้สารละลายพอลิอิเล็กโทรไลต์และเกลืออนินทรีย์

เนื่องจากความยากลำบากในการนำบัดน้ำเสียซึ่งมีเนื้อยางตกค้างอยู่ การนำยางกลับคืนจากน้ำเสียอย่างมีประสิทธิภาพในโรงงานอุตสาหกรรมน้ำยางขันจึงมีความสำคัญ เป็นอย่างยิ่ง ดังนั้นการศึกษาสภาวะที่เหมาะสมในการจับตัวและรวมรวมเนื้อยางสกิมด้วยสารละลายพอลิอิเล็กโทรไลต์และเกลืออนินทรีย์ จึงนับเป็นทางเลือกใหม่ในการลดต้นทุนการนำบัดน้ำเสียและนำยางสกิมที่มีมูลค่ากลับคืนจากน้ำเสียจากอุตสาหกรรมน้ำยางขัน และในการควบคุมกระบวนการจับตัวน้ำยางสกิมนั้น จำเป็นต้องศึกษาชนิดและปริมาณสารจับตัวที่เหมาะสม ตลอดจนสภาวะต่างๆ ที่เอื้อต่อการการจับตัว เช่น pH ความเร็วและระยะเวลาในการจับตัว การวิเคราะห์การเปลี่ยนแปลงขนาดของอนุภาคยางที่เพิ่มขึ้น เป็นเทคนิคนึงที่ใช้ศึกษาประสิทธิภาพของสารจับตัวในการทดลองนี้

#### 4.1.1 การศึกษาสภาวะที่เหมาะสมในการจับตัวยางสกิมด้วยสารละลายน้ำมันเจลล์ไทรอลีก

ในการทดลองนี้ได้ทำการศึกษาสภาวะที่เหมาะสมในการจับตัวยางสกิมด้วยสารละลายน้ำมันเจลล์ไทรอลีก หรือเรียกอีกอย่างว่าสารจับตัวพอลิเมอร์ ซึ่งโดยส่วนใหญ่ใช้เป็นสารอินทรีย์สังเคราะห์พอลิเมอร์ สามารถแบ่งเป็นชนิดต่างๆ คือ พอลิเมอร์ชนิดประจุบวก เช่น Accofloc<sup>®</sup> C480 และพอลิเมอร์ชนิดประจุลบ เช่น Waterfloc<sup>®</sup> WF4398 Aronfloc<sup>®</sup> A130 Aronfloc<sup>®</sup> A125S

##### 4.1.1.1 อิทธิพลของสภาวะ pH ที่มีต่อการเปลี่ยนแปลงขนาดการกระจาดตัวของอนุภาคยางสกิม

น้ำยางสกิมจากโรงงานอุตสาหกรรมน้ำยางขั้นประกอบไปด้วยอนุภาคยางที่มีขนาดเล็กที่มีขนาดอนุภาคโดยเฉลี่ยประมาณ  $0.13 \mu\text{m}$  (Sakdapipanich J.T. et al., 1999) โดยปกติพบว่า มีสภาวะ pH ที่ประมาณ pH 10-11 และจากการทดลองปรับสภาพด้วยสารละลายกรดฟอร์มิก พบร่วมกับสภาวะ pH ที่ลดต่ำลง มีผลทำให้ขนาดอนุภาคโดยเฉลี่ยของยางสกิมเพิ่มขึ้นดังในตารางที่ 4.1 น้ำยางสกิมมีการเปลี่ยนแปลงขนาดอนุภาคอย่างชัดเจน ที่สภาวะ pH 6.0 และมีขนาดอนุภาคสูงขึ้นเรื่อยๆ จนกระทั่งเกิดการจับตัวเป็นก้อนในที่สุด ที่สภาวะ pH 4.0-4.5 ซึ่งเป็นสาเหตุที่เกิดจากการสูญเสียความเสถียรของน้ำยางสกิมนี้จากการเติมกรดน้ำ

ตารางที่ 4.1 อิทธิพลของสภาวะ pH ต่างๆ ที่มีต่อขนาดอนุภาคเฉลี่ยของน้ำยาหงส์กิม เมื่อทำการปรับสภาพด้วยกรดฟอร์มิก

pH	Average Particle size ( $\mu\text{m}$ )
5.0	39.427
5.5	17.053
6.0	0.419
6.5	0.188
7.0	0.185
7.5	0.171
8.0	0.166
9.0	0.159
10.05	0.133

#### 4.1.1.2 ประสิทธิภาพของสารละลายพอลิอิเล็กโทรไลต์ในการจับตัวและรวมอนุภาคเนื้อยางสกิม

จากการศึกษาวิจัยที่ผ่านมาสันนิฐานว่าความเสถียรของอนุภาคยางธรรมชาตินั้นเนื่องมาจากการที่ยางมีอนุภาคเป็นทรงกลมมีประจุลบอยู่ที่ผิวของอนุภาคยาง ซึ่งเกิดจาก การมีชั้นของโปรตีนและไขมันบนผิวของอนุภาค (Cokbain E.G. et al., 1963) และพบว่าน้ำยาหงส์กิมโดยปกติมีค่าศักย์เชต้าประมาณ -59 mV (Jitladda J.T. et al., 2002) การเติมกรดลงไปในน้ำยาหงส์กิมเป็นวิธีการทำลายความเป็นประจุลบของอนุภาคน้ำยาหงส์ หรือการทำ neutralize negative charge บนผิวอนุภาคยาง เป็นการทำลายเสถียรภาพของอนุภาคยางธรรมชาติทำได้โดยการทำให้ค่าศักย์เชต้าของน้ำยาหงส์เข้าใกล้จุดไอโซอิเล็กตริก ทำให้ออนุภาคน้ำยาหงส์จับตัวเป็นก้อนแน่นเอง

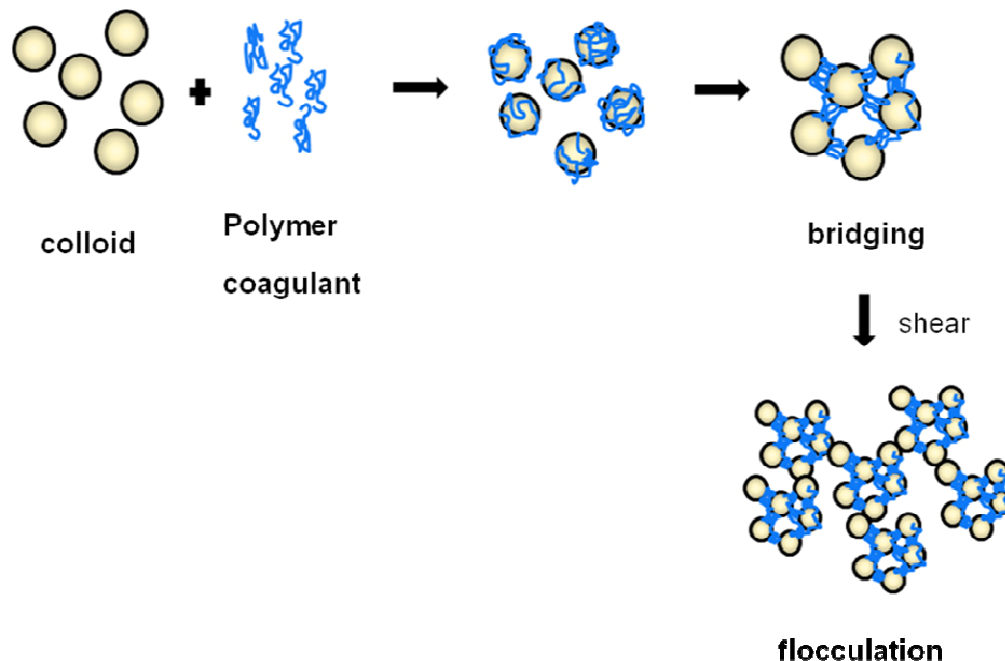
การจับตัวและรวมเนื้อยางสกิมด้วยสารละลายพอลิอิเล็กโทรไลต์นั้น มีขั้นตอนและกลไกการทำให้เกิดการจับตัวดังนี้

1. Charge neutralization คือ การปรับสภาพความเป็นกรดในน้ำยาหงส์กิม ด้วยสารละลายกรดฟอร์มิก เพื่อทำลายความเป็นประจุลบในอนุภาคน้ำยาหงส์ให้เป็นกลางหรือลดลง เป็นการสร้างโอกาสสัมผัสให้ออนุภาครวมตัวกันจนมีขนาดใหญ่

2. Bridging flocculation คือ เป็นกลไกการสร้างสะพานเชื่อมต่ออนุภาคคลอลอยด์ โดยใช้สารพวง long chain polymer ที่มีโมเลกุลขนาดใหญ่เมื่อละลายน้ำแตกตัวให้อ่อน เป็นจำนวนมาก เพื่อเกาะจับกับอนุภาคคลอลอยด์และยังมีแขนเชื่อมติดกับอนุภาคคลอลอยด์ตัว

อีนๆ เพื่อทำให้เกิดตะกอน (floc) ซึ่งเป็นสารช่วยเร่งการจับตัว (coagulation aid) ทำให้เกิดตะกอนที่มีขนาดใหญขึ้นดังรูปที่ 4.1

3. Orthokinetic flocculation คือ กระบวนการรวมเพื่อให้ตะกอนเกิดการชนกันมากขึ้น จนทำให้เกิดการรวมตัวกันเป็นก้อน ที่สำคัญคือ การรวมจะต้องไม่เร็วจนเกินไป มิฉะนั้นแล้วตะกอนที่เกิดขึ้นอาจแตกหรือหลุดออกจากกันได้



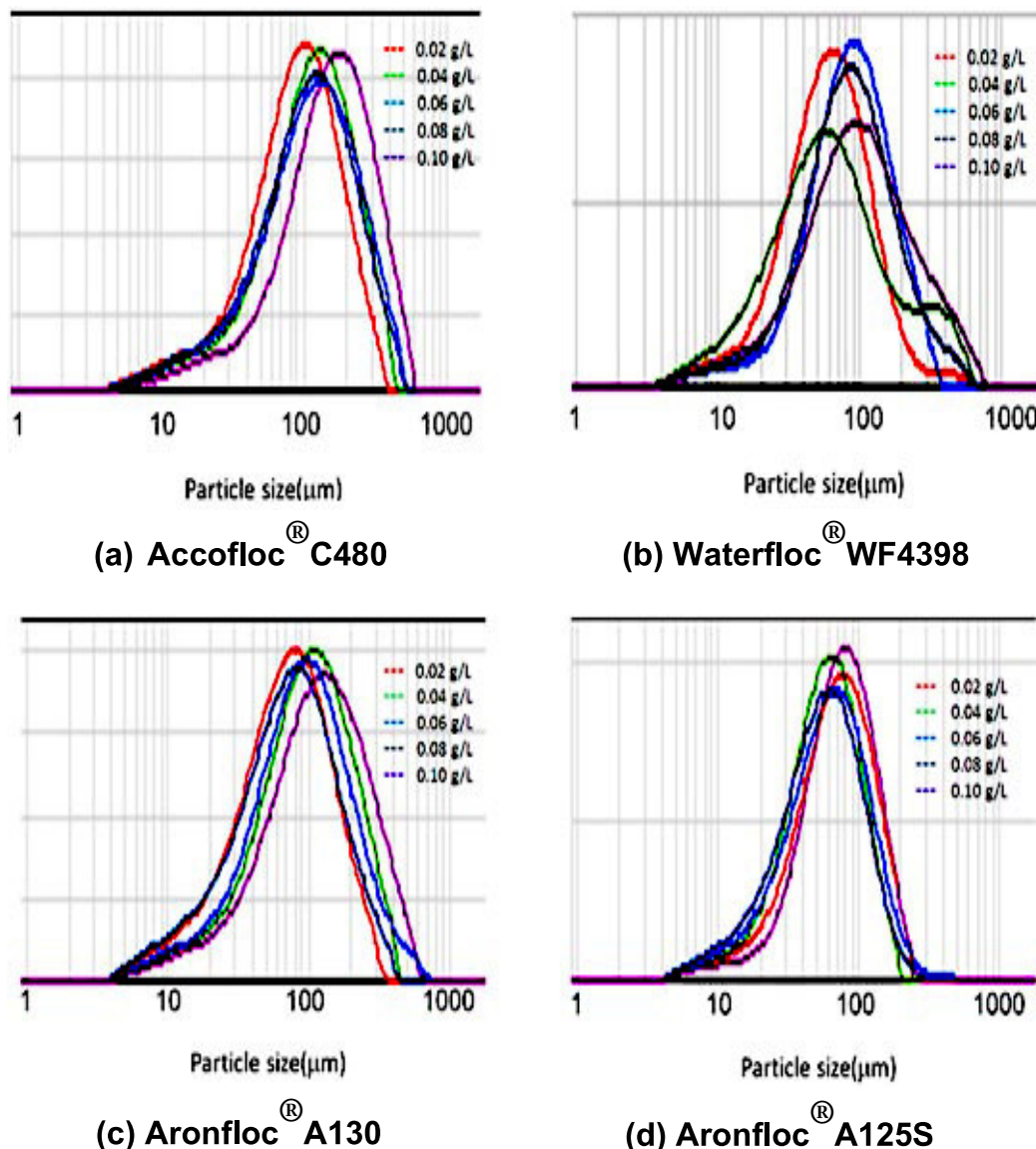
รูปที่ 4.1 ความเป็นไปได้กลไกการเกิด Bridging flocculation เมื่อใช้สารจับตัวโพลิเมอร์ (Tridib T. et al., 2006)

**1) อิทธิพลของปริมาณสารละลายน้ำมันที่มีต่อการกรราชายตัวของขนาดอนุภาคห้วยางสกิม**

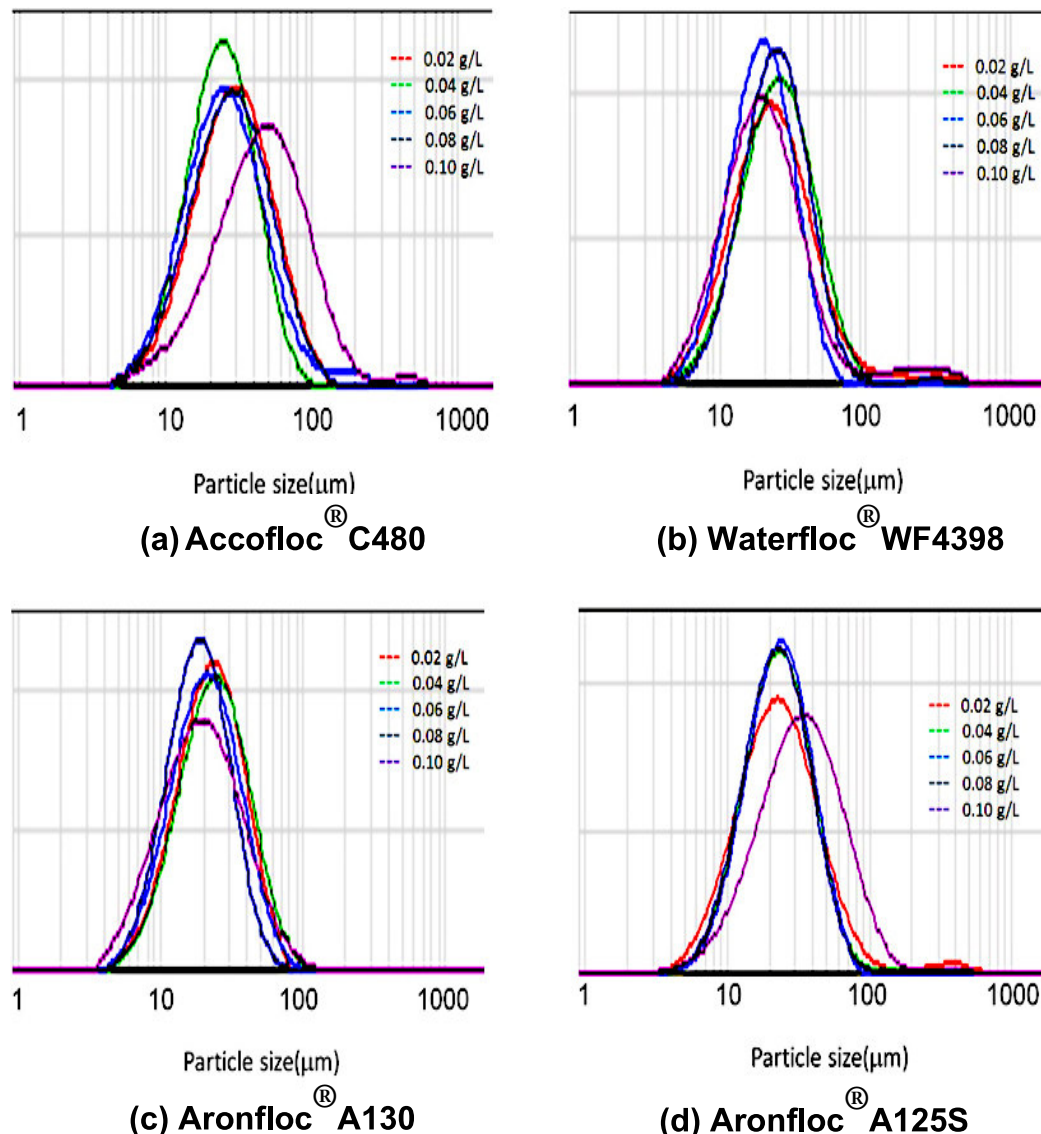
การวิเคราะห์การเปลี่ยนแปลงขนาดของอนุภาคยางที่เพิ่มขึ้นจึงเป็นเทคนิคที่ใช้ศึกษาประสิทธิภาพนิดของสารละลายน้ำมันที่เหมาะสมสำหรับการนำมาใช้ในกระบวนการกรราชายตัวห้วยางสกิม ในการทดลองนี้ทำการศึกษาสภาวะในการกรราชายตัวที่ pH 5.0 และ pH 5.5 โดยการแปรปริมาณสารพอลิอิเล็กโทรไอล์ท์แต่ละชนิดที่ 0.02-0.10 g/L ซึ่งจากผลการทดลองพบว่า การเพิ่มปริมาณสารจับตัวพอลิเมอร์ส่งผลต่อการเปลี่ยนแปลงขนาดของอนุภาคยางสกิมอย่างชัดเจนในรูปที่ 4.2 และ 4.3

จากการที่ 4.2 และ 4.3 พบว่า ที่สภาวะ pH 5.0 เมื่อทำการแปรปริมาณสารจับตัว Accofloc<sup>®</sup> C480 ที่ปริมาณ 0.02-0.10 g/L ขนาดอนุภาคโดยเฉลี่ยเพิ่มขึ้น 69.83-119.87 μm และในส่วนของสารจับตัวชนิดอื่นๆ เช่น Waterfloc<sup>®</sup> WF4398 Aronfloc<sup>®</sup> A130 และ Aronfloc<sup>®</sup> A125S ให้การเปลี่ยนแปลงขนาดอนุภาคโดยเฉลี่ยประมาณช่วง 40-80 μm ซึ่งแสดงถึงการมีประสิทธิภาพในการเพิ่มขนาดอนุภาคห้วยางสกิมที่ต่างกว่าสารจับตัวชนิด Accofloc<sup>®</sup> C480 และที่สภาวะ pH 5.5 ก็ให้ผลทดสอบที่สอดคล้องกันคือ สารจับตัว Accofloc<sup>®</sup> C480 สามารถเพิ่มขนาดอนุภาคโดยเฉลี่ยของห้วยางสกิมได้มีประสิทธิภาพมากที่สุดเมื่อเปรียบเทียบกับสารจับตัวชนิดอื่นๆ นั่นคือเมื่อทำการแปรปริมาณสารจับตัว Accofloc<sup>®</sup> C480 ที่ปริมาณ 0.02-0.10 g/L ขนาดอนุภาคโดยเฉลี่ยเพิ่มขึ้น 22.76-32.66 μm และในส่วนของสารจับตัวชนิดอื่นๆ เช่น Waterfloc<sup>®</sup> WF4398 Aronfloc<sup>®</sup> A130 และ Aronfloc<sup>®</sup> A125S ให้การเปลี่ยนแปลงขนาดอนุภาคโดยเฉลี่ยประมาณช่วง 16-26 μm

จากการทดลองนี้ทำให้ทราบได้ว่าที่สภาวะ pH 5.0-5.5 สารจับตัว Accofloc<sup>®</sup> C480 ซึ่งเป็นประเภทพอลิเมอร์ประจุบวก (cationic polymer) ให้ประสิทธิภาพในการเพิ่มขนาดอนุภาคห้วยางสกิมได้มีประสิทธิภาพมากกว่าสารจับตัวประเภทพอลิเมอร์ประจุลบ (anionic polymer) เช่น Waterfloc<sup>®</sup> WF4398 Aronfloc<sup>®</sup> A130 และ Aronfloc<sup>®</sup> A125S



รูปที่ 4.2 การกระจายตัวขนาดอนุภาคของน้ำยาหงส์กิมที่รวมด้วยสารจับตัวชนิดต่างๆ เช่น (a) Accofloc<sup>®</sup> C480 (b) Waterfloc<sup>®</sup> WF4398 (c) Aronfloc<sup>®</sup> A130 และ (d) Aronfloc<sup>®</sup> A125S โดยแปรปริมาณสารจับตัวที่ 0.02-0.10 g/L ที่สภาพ pH 5.0



รูปที่ 4.3 การกระจายตัวขนาดอนุภาคของน้ำยาหงส์กิมที่รวมรวมตัวสารจับตัวชนิดต่างๆ เช่น (a) Accofloc<sup>®</sup> C480 (b) Waterfloc<sup>®</sup> WF4398 (c) Aronfloc<sup>®</sup> A130 และ (d) Aronfloc<sup>®</sup> A125S โดยแบ่งปริมาณสารจับตัวที่ 0.02-0.10 g/L ที่สภาวะ pH 5.5

ตารางที่ 4.2 อิทธิพลของสารสารละลายพอลิอิเล็กโกร์ไลต์ที่มีต่อขนาดอนุภาคเนลี่ยของน้ำยาง สกิมเมื่อทำการปรับสภาพที่ pH 5.0 ที่ปริมาณ 0.02-0.10 g/L

Polymer dose (g/L)	Average particle size of the recovery skim rubber particle (μm)			
	Accofloc <sup>®</sup> C480	Waterfloc <sup>®</sup> WF4398	Aronfloc <sup>®</sup> A130	Aronfloc <sup>®</sup> A125S
0.02	69.83	53.16	48.28	44.73
0.04	79.85	54.14	62.12	39.07
0.06	83.38	63.93	54.90	38.13
0.08	76.37	72.87	46.43	38.65
0.10	119.87	76.82	60.78	58.66

ตารางที่ 4.3 อิทธิพลของสารสารละลายพอลิอิเล็กโกร์ไลต์ ที่มีต่อขนาดอนุภาคเนลี่ยของน้ำยาง สกิมเมื่อทำการปรับสภาพที่ pH 5.5 ที่ปริมาณ 0.02-0.10 g/L

Polymer dose (g/L)	Average particle size of the recovery skim rubber particle (μm)			
	Accofloc <sup>®</sup> C480	Waterfloc <sup>®</sup> WF4398	Aronfloc <sup>®</sup> A130	Aronfloc <sup>®</sup> A125S
0.02	22.76	20.41	19.26	19.51
0.04	20.42	22.40	18.84	19.71
0.06	20.81	17.79	18.03	19.28
0.08	22.60	21.56	16.71	19.13
0.10	32.66	18.89	16.69	26.16

2) อิทธิพลของปริมาณสารสารละลายพอลิอิเล็กโกร์ไลต์ที่มีต่อประสิทธิภาพในการจับตัวของอนุภาคของน้ำยางสกิม

จากตารางที่ 4.4 และ 4.5 เป็นผลการสังเกตอัตราเร็วในการจับตัวของอนุภาค น้ำยางสกิมและเปอร์เซ็นต์ในการรวมเนื้อยางสกิม ด้วยสารจับตัวชนิดต่างๆ โดยการใช้กรด ฟอร์มิกทำการปรับสภาพน้ำยางสกิมที่สภาพ pH 5.0 และ pH 5.5 จากนั้นทำการจับตัวด้วยสารจับตัวที่ปริมาณความเข้มข้น 0.02-0.10 g/L

ที่สภาวะ pH 5.0 สารจับตัวชนิด Accofloc<sup>®</sup> C480 Waterfloc<sup>®</sup> WF4398 Aronfloc<sup>®</sup> A130 และ Aronfloc<sup>®</sup> A125S สามารถจับตัวน้ำยาางสกิมได้อย่างสมบูรณ์ดังรูปที่ 4.4 และ 4.5 แต่ใช้ระยะเวลาในการจับตัวที่แตกต่างกัน ทั้งนี้ขึ้นอยู่กับปริมาณสารจับตัวที่เพิ่มขึ้น โดยพบว่าที่ปริมาณความเข้มข้นของสารจับตัวตั้งแต่ 0.08 g/L สามารถให้เวลาในการจับตัวน้อยกว่า 60 min แต่อย่างไรก็ตามที่ปริมาณความเข้มข้นสารจับตัวช่วง 0.02 g/L ก็สามารถให้การจับตัวได้สมบูรณ์เช่นเดียวกัน แต่ใช้ระยะเวลานานขึ้นประมาณ 1-6 h ยกเว้นในกรณีของสารจับตัว Aronfloc<sup>®</sup> A125S ซึ่งใช้เวลามากกว่า 6 h

สำหรับสภาวะ pH 5.5 เมื่อใช้ปริมาณความเข้มข้นของสารจับตัวปริมาณ 0.02-0.10 g/L พบว่าสารจับตัวชนิด Waterfloc<sup>®</sup> WF4398 Aronfloc<sup>®</sup> A130 และ Aronfloc<sup>®</sup> A125S ไม่สามารถจับตัวน้ำยาางสกิมได้อย่างสมบูรณ์และใช้ระยะเวลานาน ยกเว้นในกรณีของสารจับตัว Accofloc<sup>®</sup> C480 พบว่าสามารถจับตัวน้ำยาางสกิมได้อย่างสมบูรณ์ที่ปริมาณความเข้มข้น 0.06-0.10 g/L ดังรูปที่ 4.6 นอกจากนั้นแล้วสารจับตัว Accofloc<sup>®</sup> C480 ที่ปริมาณ 0.10 g/L สามารถใช้ระยะเวลาในการจับตัวได้น้อยกว่า 60 min

อย่างไรก็ตาม การเกิดการเชื่อมข้ามระหว่างอนุภาคแบบคล้ายสะพาน เริ่มจาก การที่สายโซ่พอลิเมอร์ที่อยู่บางส่วนบนผิวของหลายน้ำภาคเกิดแรงกระทำขึ้น อาจเป็นพันธะไอออนิกระหว่างส่วนที่มีประจุบวกผิวน้ำภาคยางกับประจุบันสายโซ่พอลิเมอร์ที่มีประจุตรงข้ามกัน นอกจากนี้ยังขึ้นอยู่กับความเข้มข้นของพอลิเมอร์ที่มีน้ำหนักโมเลกุลสูงที่ใช้ นั่นคือ น้ำหนักโมเลกุลของพอลิเมอร์ที่ใช้ต้องมีค่าไม่สูงจนเกินไป ซึ่งขนาดและรูปร่างของโมเลกุลขึ้นอยู่กับความแรงของไออกอนของสารละลายและระดับการแตกตัวเป็นไออกอน (Ives K.J., 1978) และงาให้เห็นว่าสารละลายพอลิอิเล็กโทรไลต์ประเภทพอลิเมอร์ประจุบวกชนิด Accofloc<sup>®</sup> C480 สามารถแตกตัวได้ดีในสภาวะที่เป็นกรด ทำให้มีความแรงของไออกอนสูงกว่าสารละลายพอลิอิเล็กโทรไลต์ประเภทพอลิเมอร์ประจุลบชนิด Waterfloc<sup>®</sup> WF4398 Aronfloc<sup>®</sup> A130 และ Aronfloc<sup>®</sup> A125S ตามลำดับ จึงทำให้มีประสิทธิภาพในการตัดตะกอนและจับตัวน้ำยาางสกิมได้ดีกว่า โดยเฉพาะอย่างยิ่งที่สภาวะ pH 5.0-5.5

ตารางที่ 4.4 อิทธิพลของชนิดและปริมาณสารสารละลายพอลิอิเล็กโทรไอล์ต์ที่มีต่อระยะเวลาในการจับตัวน้ำยางสกิม เมื่อทำการปรับสภาพที่ pH 5.0 ที่ปริมาณ 0.02-0.10 g/L

Polymer dose (g/L)	Characteristic of coagulation			
	Accofloc <sup>®</sup> C480	Waterfloc <sup>®</sup> WF4398	Aronfloc <sup>®</sup> A130	Aronfloc <sup>®</sup> A125S
	a. Moderate	a. Moderate	a. Moderate	a. Slow
0.02	b. 100%	b. 100%	b. 100%	b. 90%
	a. Moderate	a. Moderate	a. Moderate	a. Moderate
0.04	b. 100%	b. 100%	b. 100%	b. 90%
	a. Moderate	a. Moderate	a. Moderate	a. Moderate
0.06	b. 100%	b. 100%	b. 100%	b. 95%
	a. Moderate	a. Moderate	a. Moderate	a. Moderate
0.08	b. 100%	b. 100%	b. 100%	b. 100%
	a. Rapid	a. Rapid	a. Rapid	a. Rapid
0.10	b. 100%	b. 100%	b. 100%	b. 100%
	a. Rapid	a. Rapid	a. Rapid	a. Rapid
	b. 100%	b. 100%	b. 100%	b. 100%

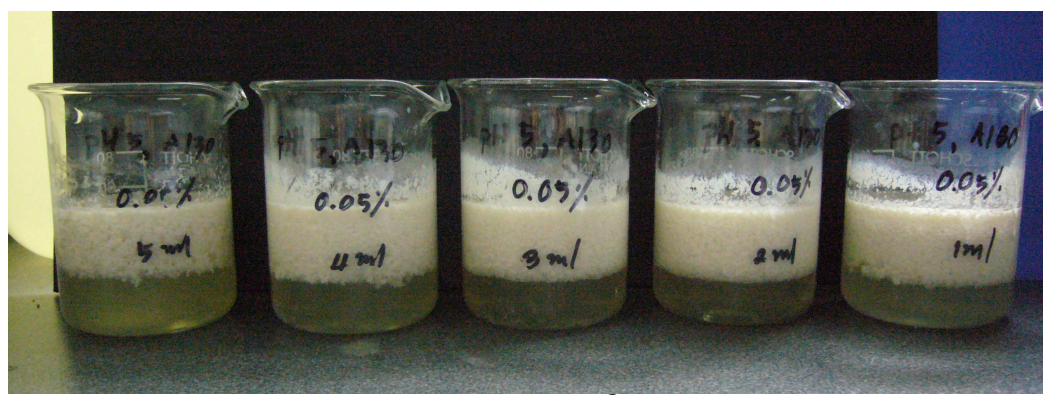
Note: a. Rate of coagulation (Rapid; < 60 min, Moderate; 1-6 h, slow; >6 h)

b. Percentages of recovery skim rubber (%)



(a) Accofloc<sup>®</sup> C480

รูปที่ 4.4 ลักษณะการจับตัวน้ำยางสกิมด้วยสารสารละลายพอลิอิเล็กโทรไอล์ต์ (a) Accofloc<sup>®</sup> C480 (b) Waterfloc<sup>®</sup> WF4398 (c) Aronfloc<sup>®</sup> A130 (d) Aronfloc<sup>®</sup> A125S เมื่อทำการปรับสภาพที่ pH 5.0 ที่ปริมาณ 0.02-0.10 g/L

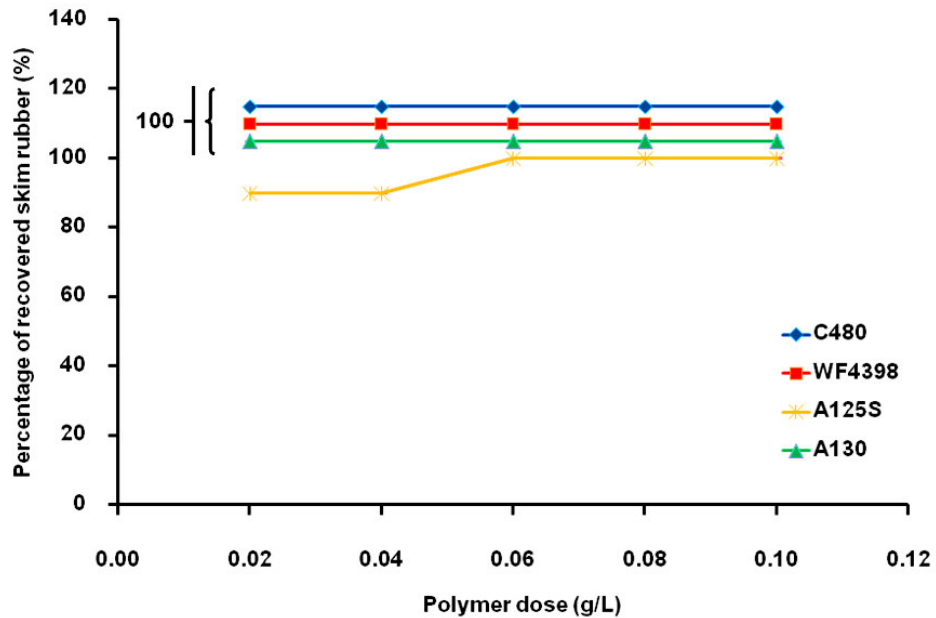
(b) Waterfloc <sup>®</sup> WF 4398(c) Aronfloc <sup>®</sup> A130(d) Aronfloc <sup>®</sup> A125S

รูปที่ 4.4 (ต่อ) ลักษณะการจับตัวหน้ายางสกิมด้วยสารสารละลายพอลิอิเล็กโทรไลต์ (a) Accofloc <sup>®</sup> C480 (b) Waterfloc <sup>®</sup> WF4398 (c) Aronfloc <sup>®</sup> A130 (d) Aronfloc <sup>®</sup> A125S เมื่อทำการปรับสภาพที่ pH 5.0 ที่ปริมาณ 0.02-0.10 g/L

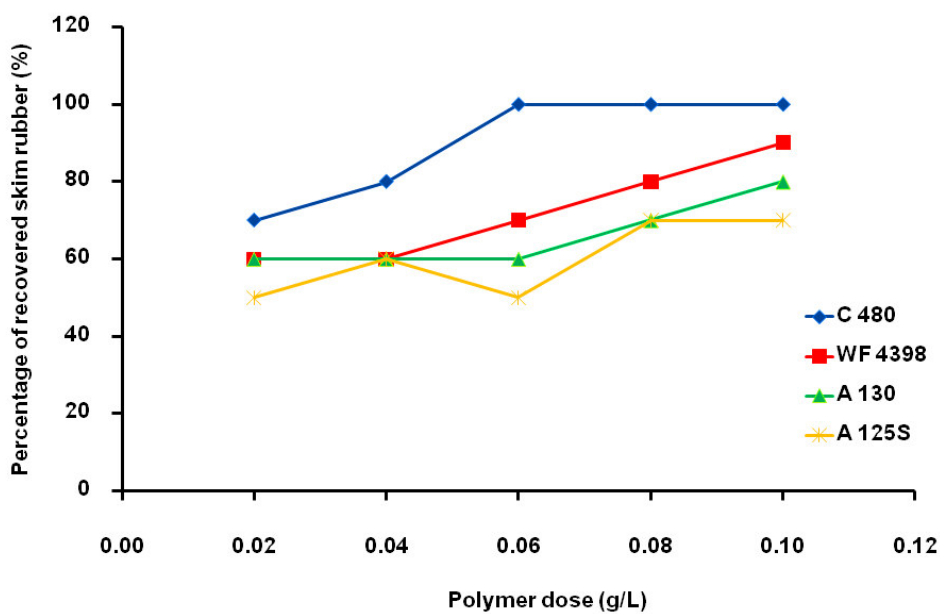
ตารางที่ 4.5 อิทธิพลของชนิดและปริมาณสารสารละลายพอลิอิเล็กโทรไลต์ที่มีต่อระยะเวลาใน การจับตัวน้ำยางสกิม เมื่อทำการปรับสภาพที่ pH 5.5 ที่ปริมาณ 0.02-0.10 g/L

Polymer dose (g/L)	Characteristic of coagulation			
	Accofloc <sup>®</sup>		Waterfloc <sup>®</sup>	
	C480	WF4398	Aronfloc <sup>®</sup> A130	Aronfloc <sup>®</sup> A125S
0.02	a. Slow	a. Slow	a. Slow	a. Slow
	b. 70%	b. 60%	b. 60%	b. 50%
0.04	a. Slow	a. Slow	a. Slow	a. Slow
	b. 80%	b. 60%	b. 60%	b. 60%
0.06	a. Moderate	a. Slow	a. Slow	a. Slow
	b. 100%	b. 70%	b. 60%	b. 50%
0.08	a. Moderate	a. Moderate	a. Slow	a. Slow
	b. 100%	b. 80%	b. 70%	b. 70%
0.10	a. Rapid	a. Moderate	a. Slow	a. Slow
	b. 100%	b. 90%	b. 80%	b. 70%

Note : a. Rate of coagulation (Rapid; < 60 min, Moderate; 1-6 hour, slow; >6 hour)  
b. Percentages of recovery skim rubber (%)



รูปที่ 4.5 อิทธิพลของปริมาณสารพอลิอิเล็กโทรไลต์ (dose; g/L skim latex) แต่ละชนิดต่อค่าเบอร์เซ็นต์ในการรวบรวมเนื้อยางสกิม ที่สภาวะ pH 5.0



รูปที่ 4.6 อิทธิพลของปริมาณสารพอลิอิเล็กโทรไลต์ (dose; g/L skim latex) แต่ละชนิดต่อค่าเบอร์เซ็นต์ในการรวบรวมเนื้อยางสกิม ที่สภาวะ pH 5.5

#### 4.1.2 การศึกษาสภาวะที่เหมาะสมในการจับตัวยางสกิมด้วยสารละลายน้ำแข็งอ่อนนิ่นทรีฟ์

ในการทดลองนี้ได้ทำการศึกษาสภาวะที่เหมาะสมในการจับตัวยางสกิมโดยใช้สารละลายน้ำแข็งอ่อนนิ่นทรีฟ์ (inorganic salt) ซึ่งเป็นสารอิเล็กโทรไลต์ (electrolyte) เช่น NaCl, CaCl<sub>2</sub>, MgCl<sub>2</sub> และ (NH<sub>4</sub>)<sub>2</sub>SO<sub>4</sub>

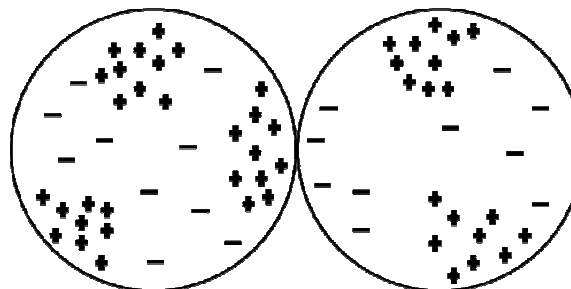
##### 4.1.2.1 ประสิทธิภาพของสารละลายน้ำแข็งอ่อนนิ่นทรีฟ์ชนิดต่าง ๆ ในการจับตัวและรวมรวมอนุภาคเนื้อยางสกิม

การจับตัวและรวมรวมเนื้อยางสกิมด้วยสารละลายน้ำแข็งอ่อนนิ่นทรีฟ์นั้น มีขั้นตอนและกลไกการทำให้เกิดการจับตัวดังนี้

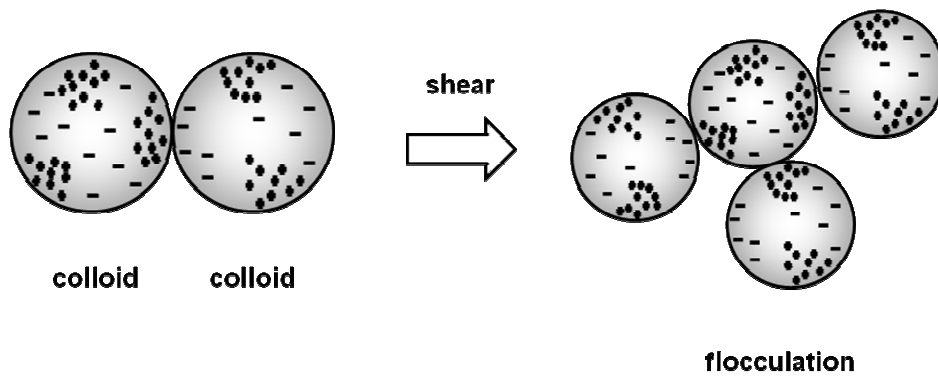
1. Charge neutralization คือ การปรับสภาพความเป็นกรดในน้ำยางสกิมด้วยสารละลายน้ำแข็งฟอร์มิก เพื่อทำลายความเป็นประจุลบในอนุภาคเนื้อยางให้เป็นกลางหรือลดลงเป็นการสร้างโอกาสสัมผัสให้ออนุภาความตัวกันจนเมื่อขนาดใหญ่

2. Double layer compression คือ การลดความหนาของชั้นกระจาย (diffuse layer) โดยการเพิ่มประจุตรงข้ามกับคolloidal ในชั้นกระจายให้มากขึ้น ดังแสดงในรูปที่ 4.7 โดยการเติมสารละลายน้ำแข็งอ่อนนิ่นทรีฟ์

3. Orthokinetic flocculation คือ กระบวนการรวมเพื่อให้ตัวกันเกิดการชนกันมากขึ้น จนทำให้เกิดการรวมตัวกันเป็นก้อน แสดงในรูปที่ 4.8 ที่สำคัญคือการรวมต้องไม่เร็วจนเกินไป มิฉะนั้นแล้วตัวกันที่เกิดขึ้นอาจแตกหรือหลุดออกจากกันได้



รูปที่ 4.7 ภาพแสดง Electrostatic patch model ของคolloidal ที่มีประจุลบ เมื่อทำการจับตัวด้วยสารละลายน้ำแข็งอิเล็กโทรไลต์หรือน้ำแข็งอ่อนนิ่นทรีฟ์ (ดัดแปลงจากงานวิจัยของ Bolto B., 2007)



รูปที่ 4.8 ความเป็นไปได้ของกลไกจำลองการเกิด Flocculation เมื่อทำการจับตัวด้วยสารละลายนิเล็กໂගร์ไอล์ต หรือเกลืออนินทรีย์

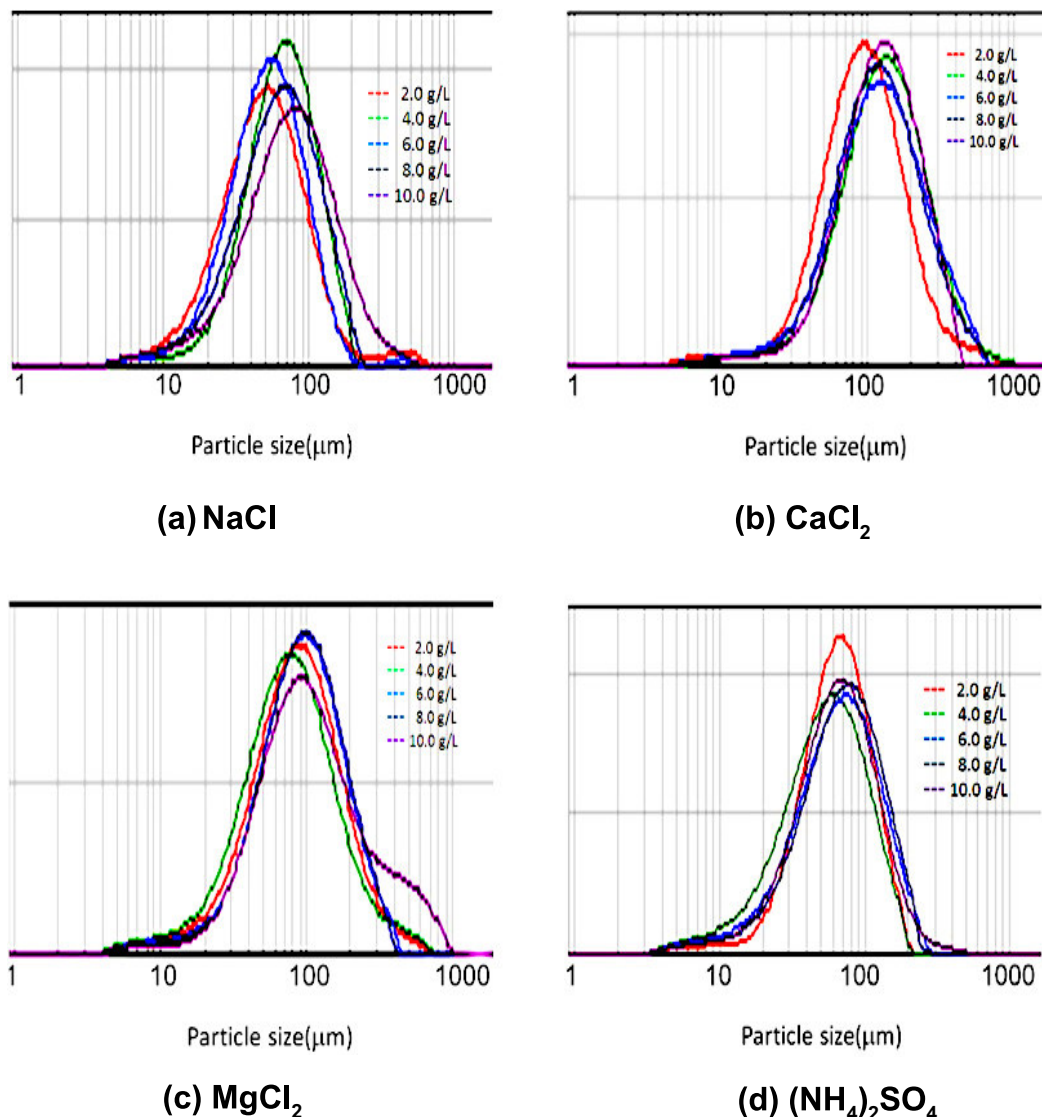
**1) อิทธิพลของปริมาณสารละลายนิเล็กหินทรีย์ที่มีต่อการกระจายตัวของขนาดอนุภาคห้ำยงสกิม**

การวิเคราะห์การเปลี่ยนแปลงขนาดของอนุภาคห้ำยงที่เพิ่มขึ้นเป็นเทคนิคที่ใช้ศึกษาประสิทธิภาพและปริมาณที่เหมาะสมของเกลืออนินทรีย์ สำหรับการนำมาใช้ในกระบวนการจับตัวห้ำยงสกิม ซึ่งในการทดลองนี้ทำการศึกษาสภาวะในการจับตัวที่ pH 5.0 และ pH 6.0 โดยการแปรปริมาณเกลืออนินทรีย์แต่ละชนิดที่ 2.0-10.0 g/L ซึ่งจากผลการทดลองพบว่าการเพิ่มปริมาณสารจับตัวเกลืออนินทรีย์ส่งผลต่อการเปลี่ยนแปลงขนาดของอนุภาคห้ำยงสกิมอย่างชัดเจน โดยเฉพาะอย่างยิ่งในกรณีของ  $\text{CaCl}_2$  และ  $\text{MgCl}_2$  ที่สภาวะ pH 6.0 ในรูปที่ 4.9 และ 4.10

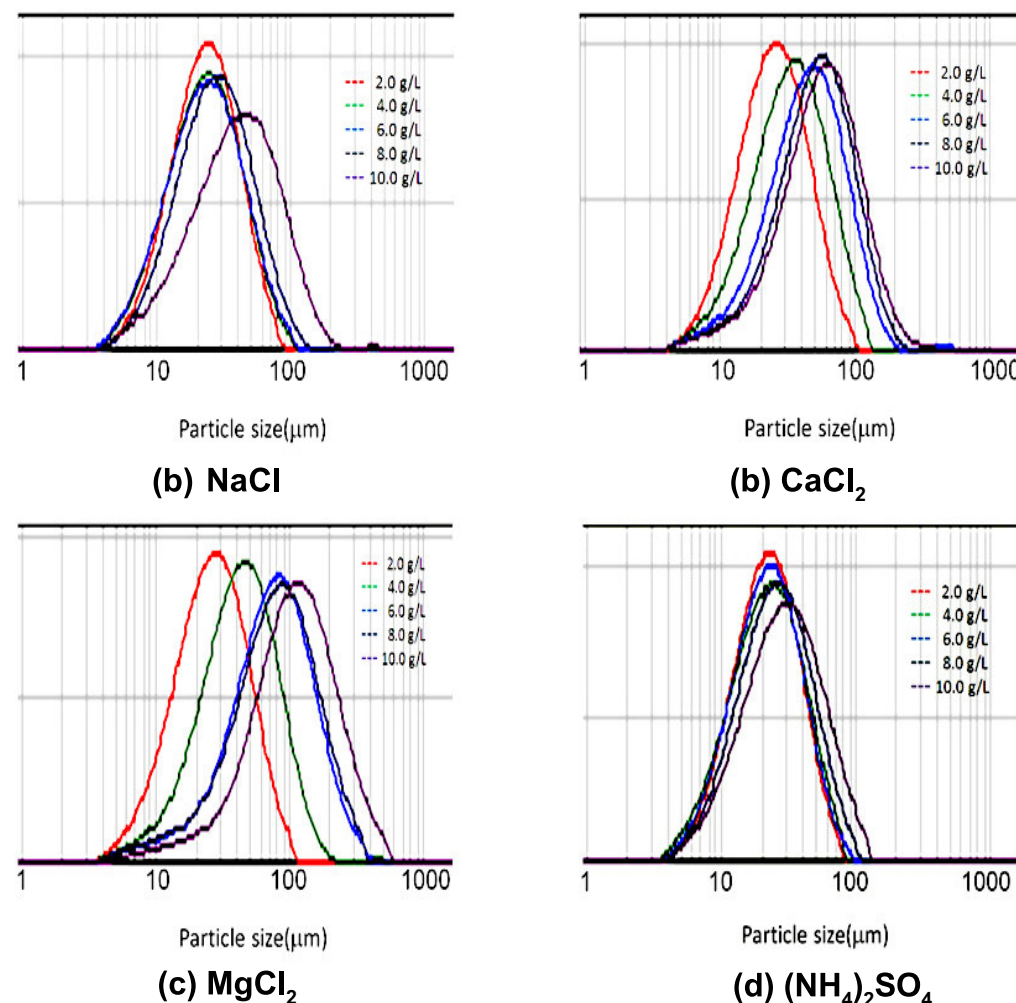
จากการที่ 4.6 และ 4.7 พบว่า ที่สภาวะ pH 5.0 เมื่อทำการแปรปริมาณสารจับตัวเกลืออนินทรีย์ชนิด  $\text{CaCl}_2$  และ  $\text{MgCl}_2$  ที่ปริมาณ 2.0-10.0 g/L พบว่ามีการเปลี่ยนแปลงขนาดอนุภาคใหญ่ขึ้นอย่างมาก โดยขนาดอนุภาคโดยเฉลี่ยเพิ่มขึ้น 94.23-124.62  $\mu\text{m}$  และ 86.08-101.66  $\mu\text{m}$  ตามลำดับ ในส่วนของสารจับตัวเกลืออนินทรีย์ชนิดอื่นๆ เช่น  $\text{NaCl}$  และ  $(\text{NH}_4)_2\text{SO}_4$  พบว่าเมื่อทำการเพิ่มปริมาณความเข้มข้นสูงขึ้น ที่ปริมาณ 2.0-10.0 g/L ไม่ส่งผลต่อการเปลี่ยนแปลงของขนาดอนุภาคห้ำยงสกิมเท่าไหร่นัก โดยขนาดอนุภาคโดยเฉลี่ยของห้ำยงสกิมที่เติม  $\text{NaCl}$  และ  $(\text{NH}_4)_2\text{SO}_4$  อยู่ในช่วงประมาณช่วง 50-80  $\mu\text{m}$  ซึ่งแสดงถึงการมีประสิทธิภาพในการเพิ่มขนาดอนุภาคห้ำยงสกิมที่ต่ำกว่า  $\text{CaCl}_2$  และ  $\text{MgCl}_2$  และที่สภาวะ pH 6.0 ให้ผลทดสอบที่สอดคล้องกันคือ  $\text{CaCl}_2$  สามารถเพิ่มขนาดอนุภาคโดยเฉลี่ยของห้ำยงสกิมได้มี

ประสิทธิภาพมากที่สุด เมื่อเปรียบเทียบกับสารจับตัวชนิดอื่นๆ นั่นคือเมื่อทำการแปรปริมาณที่ 2.0-10.0 g/L ขนาดอนุภาคโดยเฉลี่ยเพิ่มขึ้น 26.40-109.95  $\mu\text{m}$  ในส่วนของ  $\text{MgCl}_2$  และ  $\text{NaCl}$  ให้ประสิทธิภาพได้ใกล้เคียงกันโดยให้การเปลี่ยนแปลงขนาดอนุภาคโดยเฉลี่ย 25.19-57.87  $\mu\text{m}$  และ 25.19-57.87  $\mu\text{m}$  และกรณีของ  $(\text{NH}_4)_2\text{SO}_4$  ให้ประสิทธิภาพต่ำสุด โดยให้การเปลี่ยนแปลงขนาดอนุภาคโดยเฉลี่ย 21.88-29.20  $\mu\text{m}$

จากการทดลองนี้ทำให้ทราบได้ว่าที่สภาวะ pH 5.0-6.0 สารจับตัวเกลืออนินทรีย์ชนิด  $\text{CaCl}_2$  ให้ประสิทธิภาพในการเพิ่มขนาดอนุภาคน้ำยาหงสกิมได้มีประสิทธิภาพมากกว่า  $\text{MgCl}_2$   $(\text{NH}_4)_2\text{SO}_4$  และ  $\text{NaCl}$  ตามลำดับ ทั้งนี้เนื่องจากความแรงของค่า ionic strength ของสารละลายที่แตกต่างกัน ( $\text{CaCl}_2$  มีความแรง หรือพลังงานavaเลင์ท์อเล็กตรอน (valence electron) มากกว่า  $\text{MgCl}_2$   $\text{NaCl}$  และ  $(\text{NH}_4)_2\text{SO}_4$  ตามลำดับ) หรือความหนาแน่นของประจุที่สูงขึ้น เมื่อเพิ่มความเข้มข้นของสารละลายเกลืออนินทรีย์



รูปที่ 4.9 การเปลี่ยนแปลงการกระจายตัวขนาดอนุภาคของน้ำยาางสกิม ที่สภาวะ pH 5.0 เมื่อปริมาณสารละลายน้ำเกลือนินทรีย์เพิ่มขึ้นที่ปริมาณ 2.0-10.0 g/L โดย (a) NaCl (b) CaCl<sub>2</sub> (c) MgCl<sub>2</sub> และ (d) (NH<sub>4</sub>)<sub>2</sub>SO<sub>4</sub> ตามลำดับ



รูปที่ 4.10 การเปลี่ยนแปลงการกระจายตัวขนาดอนุภาคของน้ำยาหงส์กิม ที่สภาวะ pH 6.0 เมื่อปริมาณสารละลายนอกลีอันทรีย์เพิ่มขึ้น ที่ปริมาณ 2.0-10.0 g/L โดย (a) NaCl (b) CaCl<sub>2</sub> (c.) MgCl<sub>2</sub> และ (d) (NH<sub>4</sub>)<sub>2</sub>SO<sub>4</sub> ตามลำดับ

ตารางที่ 4.6 อิทธิพลของสารสารละลายเกลืออนินทรีย์ที่มีต่อขนาดอนุภาคเฉลี่ยของน้ำยางสกิม เมื่อทำการปรับสภาพที่ pH 5.0 ที่ปริมาณ 2.0-10.0 g/L

Inorganic salt dose (g/L)	Average particle size of the recovery skim rubber particle (μm)			
	NaCl	CaCl <sub>2</sub>	MgCl <sub>2</sub>	(NH <sub>4</sub> ) <sub>2</sub> SO <sub>4</sub>
2.0	49.61	94.23	86.08	64.97
4.0	66.04	131.05	76.29	54.54
6.0	52.73	122.10	93.08	67.12
8.0	62.96	117.30	94.16	71.10
10.0	76.13	124.62	101.66	65.34

ตารางที่ 4.7 อิทธิพลของสารสารละลายเกลืออนินทรีย์ที่มีต่อขนาดอนุภาคเฉลี่ยของน้ำยางสกิม เมื่อทำการปรับสภาพที่ pH 6.0 ที่ปริมาณ 2.0-10.0 g/L

Inorganic salt dose (g/L)	Average particle size of the recovery skim rubber particle (μm)			
	NaCl	CaCl <sub>2</sub>	MgCl <sub>2</sub>	(NH <sub>4</sub> ) <sub>2</sub> SO <sub>4</sub>
2.0	23.18	26.40	25.19	21.88
4.0	23.12	42.83	33.68	22.17
6.0	23.22	75.70	45.35	22.12
8.0	27.41	79.50	52.56	25.27
10.0	40.46	109.95	57.87	29.20

## 2) อิทธิพลของปริมาณสารสารละลายเกลืออนินทรีย์ที่มีต่อประสิทธิภาพในการจับตัวของอนุภาคของน้ำยางสกิม

จากการที่ 4.8 และ 4.9 เป็นผลการสังเกตอัตราเร็วในการจับตัวของอนุภาค น้ำยางสกิมและเปอร์เซ็นต์ในการรวมเนื้อยางสกิมด้วยเกลืออนินทรีย์ชนิดต่างๆ โดยการใช้ กรรมวิธีทำการปรับสภาพน้ำยางสกิมที่สภาพ pH 5.0 และ pH 6.0 จากนั้นทำการจับตัว ด้วยสารจับตัวที่ปริมาณความเข้มข้น 2.0-10.0 g/L

ที่สภาพ pH 5.0 เกลืออนินทรีย์ชนิด NaCl CaCl<sub>2</sub> MgCl<sub>2</sub> และ (NH<sub>4</sub>)<sub>2</sub>SO<sub>4</sub> สามารถจับตัวน้ำยางสกิมได้อย่างสมบูรณ์ดังรูปที่ 4.11 และ 4.12 และใช้ระยะเวลาในการจับตัว

ที่ไม่แตกต่างกันมาก โดยพบว่าสามารถทำให้น้ำยาางสกิมจับตัวได้อย่างสมบูรณ์ที่ปริมาณความเข้มข้นเพียง  $2.0 \text{ g/L}$  และยังสามารถใช้เวลาในการจับตัวได้น้อยกว่า  $60 \text{ min}$

สำหรับสภาพะที่  $\text{pH} = 6.0$  เมื่อใช้ปริมาณความเข้มข้นของเกลืออนินทรีย์ที่ปริมาณ  $2.0\text{-}10.0 \text{ g/L}$  พบร่วมกับ  $\text{NaCl}$   $\text{MgCl}_2$  และ  $(\text{NH}_4)_2\text{SO}_4$  ไม่สามารถจับตัวน้ำยาางสกิมได้อย่างสมบูรณ์ และใช้ระยะเวลา ยกเว้นในกรณีของสารจับตัว  $\text{CaCl}_2$  เท่านั้นที่พบว่าสามารถจับตัวน้ำยาางสกิมได้อย่างสมบูรณ์ที่ปริมาณความเข้มข้น  $8.0\text{-}10.0 \text{ g/L}$  แต่ใช้ระยะเวลาในการจับตัวนานกว่า  $6 \text{ h}$  ดังรูปที่ 4.13 แสดงให้เห็นว่าการจับตัวน้ำยาางสกิมด้วยเกลืออนินทรีย์ให้ประสิทธิภาพในการจับตัวที่สภาพะ  $\text{pH} 6.0$  ได้ดีกว่าที่  $\text{pH} 5.0$

อย่างไรก็ตามประสิทธิภาพของสารละลายอิเล็กโทรไลต์ที่ทำให้เกิดการรวมกันของอนุภาคน้ำที่ขึ้นอยู่กับส่วนของประจุชนิดตรงข้าม โดยพบว่าในกระบวนการจับตัวด้วยเกลืออนินทรีย์หรือสารละลายอิเล็กโทรไลต์นั้น นอกจากปริมาณความเข้มข้นของสารละลายอิเล็กโทรไลต์แล้ว ความแรง หรือจำนวนของประจุตรงข้ามมีผลเป็นอย่างมากต่อการจับตัว ดังแสดงให้เห็นได้จากการทดลอง โดยที่  $\text{CaCl}_2$  มีความแรงหรือพลังงานนาเวเลนซ์อิเล็กตรอน (valence electron) มากกว่า  $\text{MgCl}_2$   $\text{NaCl}$  และ  $(\text{NH}_4)_2\text{SO}_4$  ตามลำดับ ซึ่งกลไกการจับตัวแบบนี้เรียกว่า กลไกการลดความหนาของชั้นกระจาย (diffuse layer) โดยการเพิ่มประจุตรงข้ามกับคอลลอยด์ในชั้นกระจายให้มากขึ้นด้วยการเติมสารละลายเกลืออนินทรีย์ ซึ่งทำให้ค่าศักย์ไฟฟ้า (zeta potential) ที่ผิวนอกสุดลดลงตามไปด้วยจนทำอนุภาคยางสกิมจับตัวกัน (Tangboriboonrat P. et al., 2001)

ตารางที่ 4.8 อิทธิพลของสารสารละลายน้ำมันทรีฟ์ที่มีต่อระยะเวลาในการจับตัวน้ำยางสกิม  
สกิมเมื่อทำการปรับสภาพที่ pH 5.0 ที่ปริมาณ 2.0-10.0 g/L

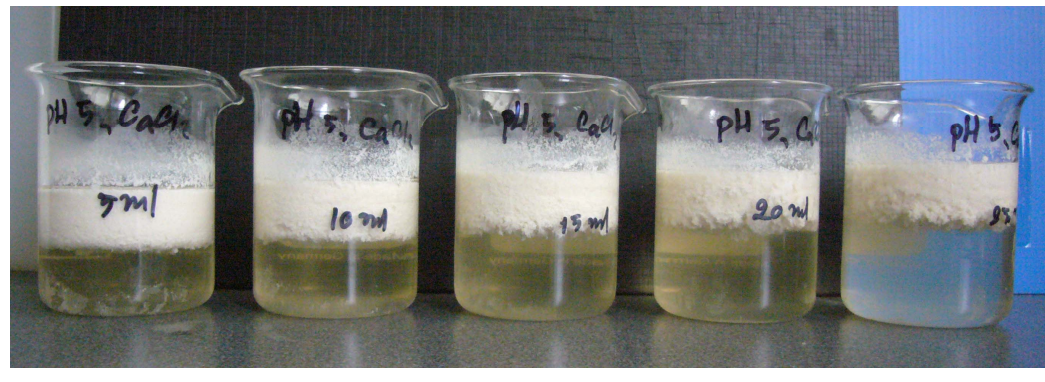
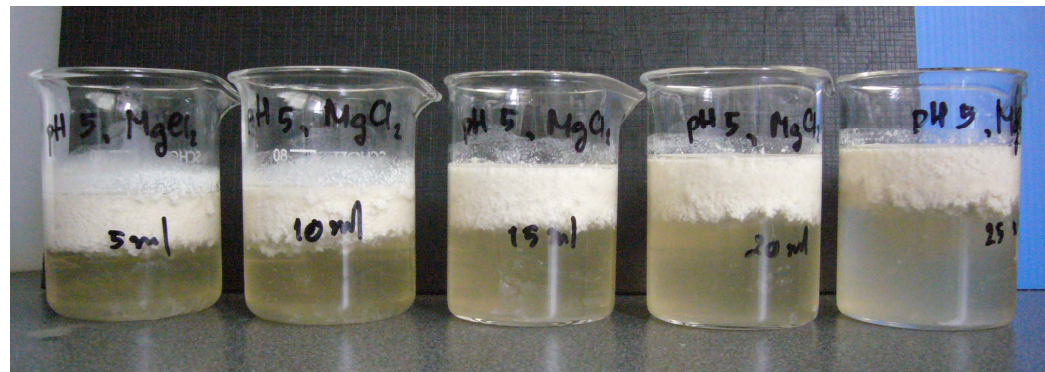
Inorganic salt dose (g/L)	Rate of coagulation			
	NaCl	CaCl <sub>2</sub>	MgCl <sub>2</sub>	(NH <sub>4</sub> ) <sub>2</sub> SO <sub>4</sub>
2.0	a. Rapid	a. Rapid	a. Rapid	a. Rapid
	b. 100%	b. 100%	b. 100%	b. 100%
4.0	a. Rapid	a. Rapid	a. Rapid	a. Rapid
	b. 100%	b. 100%	b. 100%	b. 100%
6.0	a. Rapid	a. Rapid	a. Rapid	a. Rapid
	b. 100%	b. 100%	b. 100%	b. 100%
8.0	a. Rapid	a. Rapid	a. Rapid	a. Rapid
	b. 100%	b. 100%	b. 100%	b. 100%
10.0	a. Rapid	a. Rapid	a. Rapid	a. Rapid
	b. 100%	b. 100%	b. 100%	b. 100%

Note : a. Rate of coagulation (Rapid; < 60 min, Moderate; 1-6 hour, slow; >6 hour)  
b. Percentages of recovery skim rubber (%)



(a) NaCl

รูปที่ 4.11 ลักษณะการจับตัวน้ำยางสกิมด้วยสารสารละลายน้ำมันทรีฟ์ (a) NaCl (b) CaCl<sub>2</sub> (c) MgCl<sub>2</sub> (d) (NH<sub>4</sub>)<sub>2</sub>SO<sub>4</sub> เมื่อทำการปรับสภาพที่ pH 5.0 ที่ปริมาณ 2.0-10.0 g/L

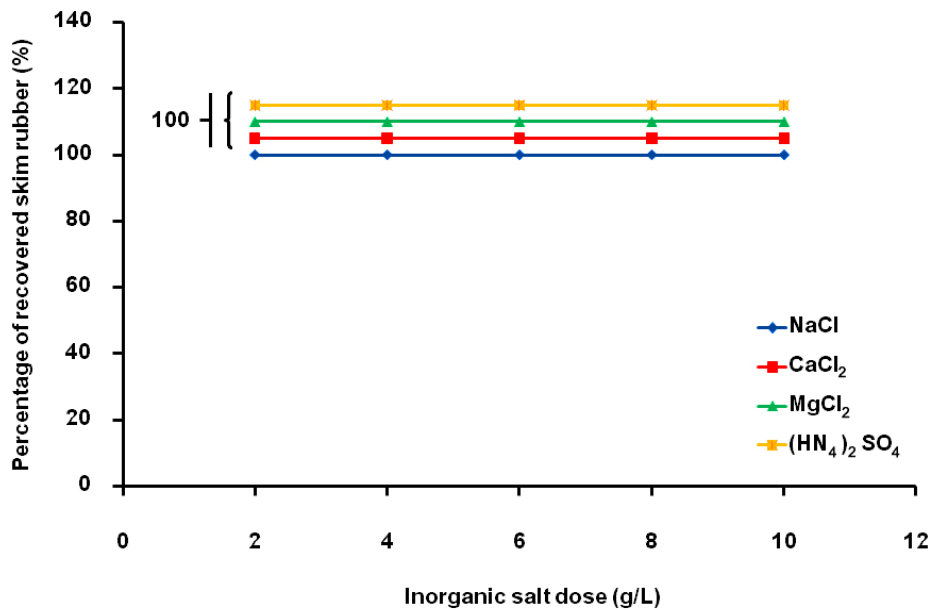
(b) CaCl<sub>2</sub>(c) MgCl<sub>2</sub>(d) (NH<sub>4</sub>)<sub>2</sub>SO<sub>4</sub>

รูปที่ 4.11 (ต่อ) ลักษณะการจับตัวน้ำยางสกมด้วยสารสารละลายอิเล็กโทรไลต์เกลืออนินทรีย์  
 (a) NaCl (b) CaCl<sub>2</sub> (c) MgCl<sub>2</sub> (d) (NH<sub>4</sub>)<sub>2</sub>SO<sub>4</sub> เมื่อทำการปรับสภาพที่ pH 5.0 ที่ปริมาณ 2.0-10.0 g/L

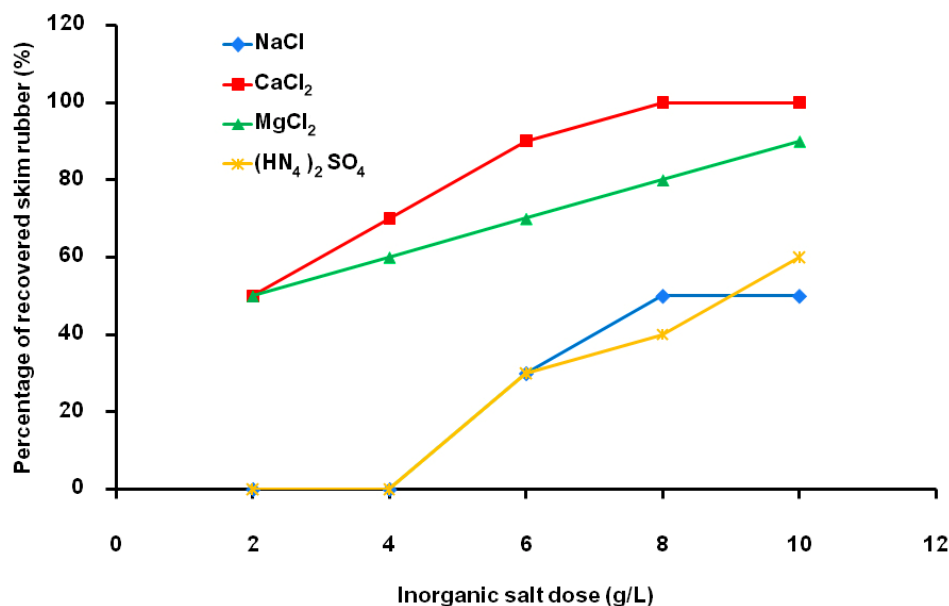
ตารางที่ 4.9 อิทธิพลของสารสารละลายน้ำมันทรีฟ์ที่มีต่อระยะเวลาในการจับตัวน้ำยางสกิม เมื่อทำการปรับสภาพที่ pH 6.0 ที่ปริมาณ 2.0-10.0 g/L

Inorganic salt dose (g/L)	Rate of coagulation			
	NaCl	CaCl <sub>2</sub>	MgCl <sub>2</sub>	(NH <sub>4</sub> ) <sub>2</sub> SO <sub>4</sub>
2.0	a. Slow	a. Slow	a. Slow	a. Slow
	b. nd	b. 50%	b. 50%	b. nd
4.0	a. Slow	a. Slow	a. Slow	a. Slow
	b. nd	b. 70%	b. 60%	b. nd
6.0	a. Slow	a. Slow	a. Slow	a. Slow
	b. 30%	b. 90%	b. 70%	b. 30%
8.0	a. Slow	a. Slow	a. Slow	a. Slow
	b. 50%	b. 100%	b. 80%	b. 40%
10.0	a. Slow	a. Slow	a. Slow	a. Slow
	b. 50%	b. 100%	b. 90%	b. 60%

Note : a. Rate of coagulation (Rapid; < 60 min, Moderate; 1-6 hour, slow; >6 hour)  
b. Percentages of recovery skim rubber (%)



รูปที่ 4.12 อิทธิพลของปริมาณสารละลายน้ำเหลืองนิ่นทรีซ์ (dose; g/L skim latex) แต่ละชนิดต่อค่าเบอร์เซ็นต์ในการรวมเนื้อยางสกิม เมื่อทำการปรับสภาพที่ pH 5.0



รูปที่ 4.13 อิทธิพลของปริมาณสารละลายน้ำเหลืองนิ่นทรีซ์ (dose; g/L skim latex) แต่ละชนิดต่อค่าเบอร์เซ็นต์ในการรวมเนื้อยางสกิมเมื่อทำการปรับสภาพที่ pH 6.0

### 4.1.3 การศึกษาสมบัติทางกายภาพของยางสกิมที่จับตัวด้วยสารละลายน้ำอิเล็กโทรไอล์ตและเกลืออนินทรีย์

ในการศึกษาสมบัติทางกายภาพของยางสกิมที่จับตัวด้วยเทคโนโลยีใหม่นี้ ทำการวิเคราะห์เฉพาะสารละลายน้ำอิเล็กโทรไอล์ต หรือเกลืออนินทรีย์ ชนิดที่สามารถให้ประสิทธิภาพในการจับตัวได้ดีที่สุดเท่านั้น เพื่อทำการศึกษาเปรียบเทียบสมบัติทางกายภาพของยางสกิมที่จับตัวแบบธรรมดากับ

#### 4.1.3.1 สมบัติทางกายภาพของยางสกิมที่จับตัวด้วยสารละลายน้ำอิเล็กโทรไอล์ต

จากตารางที่ 4.10 พบว่ายางสกิมที่ได้จากการจับตัวด้วยสารละลายน้ำอิเล็กโทรไอล์ตชนิด Accofloc<sup>®</sup> C480 และ Aronfloc<sup>®</sup> A130 ให้สมบัติที่ไม่แตกต่างจากยางสกิมที่จับตัวด้วยวิธีธรรมดามากนัก การจับตัวด้วยสารละลายน้ำอิเล็กโทรไอล์ตสามารถทำให้ปริมาณองค์ประกอบอื่นๆ ที่ไม่ใช่ยาง เช่น ปริมาณค่าในโตรเจน ปริมาณเกล้า และค่าระดับสี ที่ต่ำกว่ายางสกิมแบบธรรมดาก และในส่วนของค่าความหนืดและค่าความอ่อนตัวเริ่มต้นพบว่ามีค่าใกล้เคียงกัน ยกเว้นในกรณีของยางสกิมที่ได้จากการจับตัวด้วยสารละลายน้ำอิเล็กโทรไอล์ตชนิด Aronfloc<sup>®</sup> A130 ที่ให้ค่าความหนืดและค่าความอ่อนตัวเริ่มต้นที่ต่ำกว่า แต่อย่างไรก็ตาม การจับตัวด้วยสารละลายน้ำอิเล็กโทรไอล์ตไม่ส่งผลต่อค่าดัชนีความอ่อนตัวของยาง (PRI) แต่อย่างใด กล่าวคือ ค่าดัชนีความอ่อนตัวเริ่มต้นของยางสกิมที่ได้จากการจับตัวด้วยสารละลายน้ำอิเล็กโทรไอล์ตให้ค่าที่ไม่แตกต่างจากยางสกิมธรรมดากันทั่วไป

ตารางที่ 4.10 สมบัติทางกายภาพของยางสกิมที่ได้จากการจับตัวด้วยสารละลายน้ำมันเจล Accofloc<sup>®</sup> C480 และ Aronfloc<sup>®</sup> A130

Properties	Skim rubber from polymer coagulants		
	Accofloc® C480	Aronfloc® A130	Control skim
Nitrogen content (%wt.)	3.40	3.44	3.60
Ash content (%wt.)	0.88	1.08	1.22
Mooney viscosity			
ML 1+4	92	80	98
MR(30)	44	46	41
Wallace plasticity			
P <sub>o</sub>	44.5	42.0	44.5
PRI	31.5	35.2	31.5
Color index (lovibond no.)	15	15	16

#### **4.1.3.2 สมบัติทางกายภาพของยางสกิมที่จับตัวด้วยสารละลายเกลืออนินทรีย์**

จากตารางที่ 4.11 พบร่วมการจับตัวน้ำยางสกิมด้วยสารละลายเกลืออนินทรีย์ชนิด  $\text{CaCl}_2$  และ  $\text{MgCl}_2$  ให้สมบัติทางกายภาพที่แตกต่างจากยางสกิมที่จับตัวแบบธรรมชาติอย่างชัดเจน โดยเฉพาะอย่างยิ่งกรณีของยางสกิมที่จับตัวด้วย  $\text{CaCl}_2$  พบร่วมมีค่าความหนืดและค่าความอ่อนตัวเริ่มต้นที่ต่ำกว่าถึง 72 และ 38.0 ตามลำดับ ส่วนกรณียางสกิมที่จับตัวด้วย  $\text{MgCl}_2$  และยางสกิมแบบธรรมชาติให้ค่าความหนืดที่ประมาณ 98 เท่ากัน แต่ให้ความอ่อนตัวแตกต่างกัน โดยค่าความอ่อนของ  $\text{MgCl}_2$  และยางสกิมแบบธรรมชาติเท่ากัน 55.5 และ 44.5 นอกจากนี้แล้ว ยางสกิมที่ผ่านกระบวนการจับตัวด้วยเกลืออนินทรีย์ชนิด  $\text{CaCl}_2$  และ  $\text{MgCl}_2$  มีปริมาณค่าในໂຕเรน ลดลงถึง 3.25% และ 3.28% ปริมาณเหล้า ลดลงถึง 0.97% และ 0.58% ตามลำดับ และยังให้ค่าระดับสีของยางสกิมที่ดีขึ้นถึง 14 lovibond

อย่างไรก็ตามการจับตัวน้ำยางสกิมด้วยสารละลายเกลืออนินทรีย์ชนิด  $\text{CaCl}_2$  และ  $\text{MgCl}_2$  ยังให้ค่าดัชนีความอ่อนตัวของยางสกิมที่ต่ำกว่ายางสกิมที่จับตัวแบบธรรมดามาก อย่างมาก ซึ่งอาจเป็นสาเหตุจากปริมาณองค์ประกอบอื่นๆ ที่ไม่ใช้ยางลดลง หรือผลขององค์ประกอบอื่นเนื่องจากการจับตัวด้วยเกลืออนินทรีย์นั่นเอง

ตารางที่ 4.11 สมบัติทางกายภาพของยางสกิมที่ได้จากการจับตัวด้วยสารละลายน้ำเกลืออนินทรีย์ชนิด  $\text{CaCl}_2$  และ  $\text{MgCl}_2$

Properties	Skim rubber from inorganic salt coagulants		
	$\text{CaCl}_2$	$\text{MgCl}_2$	Control skim
Nitrogen content (%wt.)	3.25	3.28	3.60
Ash content (%wt.)	0.97	0.58	1.22
Mooney viscosity			
ML 1+4	72	98	98
MR(30)	45	42	41
Wallace plasticity			
$P_o$	38.0	55.5	44.5
PRI	22.4	19.0	31.5
Color index (lovibond no.)	14	14	16

#### 4.1.3.3 สมบัติทางกายภาพของยางสกิมที่จับตัวด้วย Maxfloc<sup>®</sup> ในระดับอุตสาหกรรมด้วยเทคโนโลยีการจับตัวแบบใหม่

หลักการพื้นฐานของกระบวนการจับตัวและรวบรวมเนื้อยางสกิมด้วยเทคโนโลยีใหม่นี้ คือ การทำให้น้ำยางจับตัวเป็นก้อนที่สภาวะ pH ที่สูงกว่าการจับตัวด้วยกรด โดยการเติมกรดในน้ำยางสกิมเพื่อลดระดับ pH ให้เหลือประมาณ pH 5.0-6.0 จากนั้นทำการเติมสารโพลิเมอร์ประเภทประจุบวกที่มีนำหนักโมเลกุลขนาดใหญ่ ซึ่งเมื่อเติมลงไปในน้ำยางสกิมที่สภาวะกรด สามารถให้อ่อนเป็นจำนวนมากเพื่อเกาะจับกับอนุภาคยางสกิม ทำให้เกิดจับตัวเป็นก้อนยางสกิมและเกิดการเชื่อมตัวกัน เพื่อทำให้เกิดตะกอนและเกิดการรวมตัวกันเป็นกลุ่มก้อนในที่สุด การจับตัวและรวบรวมเนื้อยางสกิมแบบใหม่นี้ นอกจากทำให้เกิดกระบวนการจับตัวที่มีประสิทธิภาพแล้ว ยังช่วยในเรื่องของการลดต้นทุนในการบำบัดน้ำทิ้งที่เหลือจากการกระบวนการผลิตยางสกิม สะดวกในการใช้งานและไม่มีความเป็นพิษและอันตรายต่อผู้ใช้ ทำให้สามารถลดปริมาณสารเคมีบางชนิดในน้ำทิ้ง เช่น  $\text{SO}_4$  หรือ ก๊าซ  $\text{SO}_2$

การทดลองนี้เป็นการศึกษาสมบัติทางกายภาพของยางสกิมที่จับตัวด้วย Maxfloc<sup>®</sup> ซึ่งเป็นประเภทโพลิเมอร์ประจุบวก ทำการศึกษาการจับตัวน้ำยางสกิมในระดับจริงในอุตสาหกรรม ที่โรงงานฉลุยอุตสาหกรรมน้ำยางขัน จังหวัดสงขลา และทำการเก็บตัวอย่างเพื่อทำการวิเคราะห์สมบัติทางกายภาพ ระยะเวลาการผลิตตั้งแต่เดือน พฤษภาคม 2551 ถึง

เดือน กุมภาพันธ์ 2552 ทั้งหมด 7 ตัวอย่าง และทำการเปรียบเทียบกับยางสกิมที่ผลิตด้วยเทคนิคการจับตัวแบบเดิมด้วยกรดซัลฟูริก

จากตารางที่ 4.12 พบว่า Yang สกิมที่จับตัวด้วย Maxfloc® ให้สมบัติทางกายภาพค่อนข้างสม่ำเสมอ และไม่แตกต่างจากสมบัติของ Yang สกิมที่จับตัวแบบธรรมชาติ ยางสกิมที่จับตัวแบบใหม่นี้มีค่าปริมาณส่วนอื่นที่ไม่ใช่ยาง เช่น ปริมาณในโตรเรนโดยประมาณ 2.4-2.5% ปริมาณเจล 17-20% และ ปริมาณถ้า 0.4-0.6% ตามลำดับ แต่อย่างไรก็ตามพบว่า Yang สกิมที่ได้จากการจับตัวแบบใหม่นี้ มีค่าความหนืดและค่าความอ่อนตัวเริ่มต้นที่สูงกว่ายางสกิมแบบธรรมชาติเล็กน้อย คือมีค่าความหนืดประมาณ 110-120 หน่วย และค่าความอ่อนตัวเริ่มต้นประมาณ 55-60 ในส่วนของค่าดัชนีความอ่อนตัวของยางพบว่า Yang สกิมที่จับตัวแบบใหม่มีค่าประมาณ 30-35 ซึ่งต่างกว่ายางสกิมที่จับตัวแบบธรรมชาติเล็กน้อย

ตารางที่ 4.12 สมบัติทางกายภาพของยางสกิมที่ได้จากการจับตัวด้วย Maxfloc®

#### 4.1.4 สรุปผลการทดลองการศึกษาสภาวะในการจับตัวและรวมรวมเนื้อ Yang สกิมด้วยเทคโนโลยีใหม่

จากการทดลองการศึกษาสภาวะในการจับตัวและรวมรวมเนื้อ Yang สกิมด้วยเทคโนโลยีแบบใหม่ โดยการใช้สารละลายน้ำ polyacrylic acid และเกลืออนินทรีย์ พบว่าสารจับตัว polyacrylic acid และเกลืออนินทรีย์สามารถช่วยในกระบวนการรวมรวมเนื้อ Yang และทำให้การจับตัว Yang สกิมให้มีประสิทธิภาพมากยิ่งขึ้น และประสิทธิภาพในการจับตัว Yang สกิมด้วยสารจับตัว polyacrylic acid และเกลืออนินทรีย์ ขึ้นอยู่กับสภาวะ pH และปริมาณความเข้มข้นที่ใช้ (dose) ซึ่งจาก การทดลองพบว่า ที่สภาวะ pH 5-6 และปริมาณความเข้มข้นที่ใช้ 0.1-0.02 g/L ของสารจับตัว polyacrylic acid และเกลืออนินทรีย์ ช่วยให้ประสิทธิภาพในการจับตัว Yang สกิมดีกว่าสารจับตัว polyacrylic acid และเกลืออนินทรีย์ (cationic polymer flocculent; Accofloc<sup>®</sup> C480) ให้ประสิทธิภาพในการจับตัว Yang สกิมได้ดีกว่า สารจับตัว polyacrylic acid และเกลืออนินทรีย์ (anionic polymer flocculent; Waterfloc<sup>®</sup> WF4398, Aronfloc<sup>®</sup> A130, A125S) และปริมาณความเข้มข้นที่ใช้ 10.0-2.0 g/L ของเกลืออนินทรีย์ CaCl<sub>2</sub> ให้ประสิทธิภาพในการจับตัว Yang สกิมได้ดีกว่า MgCl<sub>2</sub> (NH<sub>4</sub>)<sub>2</sub>SO<sub>4</sub> และ NaCl ตามลำดับ

นอกจากนี้ การจับตัว Yang สกิมแบบใหม่ให้ผลิตภัณฑ์ Yang สกิมที่มีปริมาณส่วนอื่นๆ ที่ไม่ใช่ Yang สกิมลดลง ซึ่งสังเกตได้จากค่าที่ลดลงของ ปริมาณในโตรเจน ปริมาณถ้า และระดับสีของ Yang สกิมที่ดีขึ้นกว่ายางสกิมที่ได้จากการจับตัวแบบเดิม และจากการจับตัวแบบใหม่ ให้สมบัติทางกายภาพของ Yang สกิมได้ดีกว่าการจับตัวแบบเดิมเล็กน้อย เช่น มีค่าความหนืดมูนน์ลดลง (low Mooney viscosity) และมีค่าความต้านทานการเกิดออกซิเดชันใน Yang สูงขึ้น (high PRI) อย่างไรก็ตามการจับตัว Yang สกิมด้วยเทคโนโลยีใหม่โดยใช้สารจับตัว polyacrylic acid และ Maxifloc<sup>®</sup> สามารถประยุกต์ใช้ในระดับอุตสาหกรรมการผลิตยางสกิมได้ ที่สภาวะการจับตัวที่ pH 5.5-6.0 ที่ปริมาณการใช้ 0.1-0.2 g/L และให้ประสิทธิภาพการผลิตและสมบัติทางกายภาพของ Yang สกิมที่ค่อนข้างสม่ำเสมอ

#### 4.2 การศึกษาระบวนการเตรียม Yang สกิม LPSR โดยใช้การทำปฏิกิริยาสะพอนนิฟิเคชันด้วยสารละลายน้ำเดี่ยมไฮดรอกไซด์

ในการทดลองนี้ เป็นการศึกษาวิธีการเตรียม Yang สกิมให้มีคุณภาพสูง ด้วยการทำปฏิกิริยาสะพอนนิฟิเคชันด้วยสารละลายน้ำเดี่ยมไฮดรอกไซด์ NaOH ที่สภาวะความเข้มข้นและสภาวะในการทำปฏิกิริยาที่อุณหภูมิต่างๆ กัน เพื่อศึกษาผลของสภาวะในการทำปฏิกิริยาสะพอนนิฟิเคชันที่มีต่อการลดลง

ของปริมาณองค์ประกอบอื่นๆที่ไม่ใช้ยาง และสมบัติทางกายภาพของยางสกิมที่ได้ รวมถึง ศึกษาสมบัติการวัลภาชนะด้วยระบบเบอร์ออกไซด์ของยางสกิมที่ได้ เพื่อเป็นแนวทางในการสร้างมูลค่าเพิ่มให้กับยางสกิม LPSR

#### **4.2.1 อิทธิพลของสภาวะในการทำปฏิกิริยาสะพอนนิฟิเคชันยางสกิมในสารละลายโซเดียมไฮดรอกไซด์ ต่อการเปลี่ยนแปลงของปริมาณในโตรเจนและระดับสีของยางสกิม**

เป็นที่ทราบกันดีว่ายางสกิม เป็นกากที่เหลือจากการกระบวนการผลิตน้ำยางขัน ประกอบด้วยยางโดยน้ำหนักแห้งประมาณ 5%wt. และสิ่งปนเปื้อนในปริมาณที่สูง ทำให้ยางสกิมที่ได้มีคุณภาพต่ำ มีสมบัติทางกายภาพที่ไม่ดีและมีกลิ่นเหม็น เป็นเหตุให้ยางสกิมมีราคาที่ต่ำมาก ดังนั้นวัตถุประสงค์ของงานวิจัยนี้คือ การทำการศึกษาถึงวิธีการทำให้ยางสกิมมีความบริสุทธิ์และมีคุณภาพมากขึ้น อย่างไรตามพบว่าที่ผ่านมา ได้มีการศึกษาเทคนิคและวิธีการต่างๆ มากมายในการปรับปรุงสมบัติยางสกิมให้มีคุณภาพมากขึ้น เช่น การย้อมน้ำยางด้วยโซเดียมไฮดรอกไซด์ (Nawamawat K. et al, 2008, Jumtee K.,2000 and Ong C.O.,1974) การบ่มน้ำยางสกิมกับยีสต์ (Jumtee K.,2000, Jayachandran K. et al, 1998) การทำปฏิกิริยาสะพอนนิฟิเคชันยางสกิมแห้งในสารละลายโกลูอีน (Tangpakdee J.,1998) และการทำปฏิกิริยาสะพอนนิฟิเคชันยางสกิมดิบ (wet skim rubber crumb) ด้วยสารละลายโซเดียมไฮดรอกไซด์ (Rungvichaiwat A. et al., 1998 and The firestone Tire & Rubber company, 1955) และในงานวิจัยนี้เลือกทำการศึกษาผลของสภาวะในการทำปฏิกิริยาสะพอนนิฟิเคชันยางสกิมดิบ ด้วยสารละลายโซเดียมไฮดรอกไซด์ ที่มีต่อการเปลี่ยนแปลงปริมาณในโตรเจนและสีของยางสกิมที่ได้

การทำปฏิกิริยาสะพอนนิฟิเคชันของยางสกิม ในกราฟด่องนี้เป็นการนำยางสกิมดิบที่ผ่านการล้างและรีบดเป็นชิ้นเล็กๆมาผ่านกระบวนการแซ่ในสารละลาย NaOH ที่สภาวะความเข้มข้นที่ 1-7% (w/v) สภาวะในการทำปฏิกิริยาที่อุณหภูมิ  $50^{\circ}\text{C}$   $70^{\circ}\text{C}$  ระยะเวลา 1-5 h และที่อุณหภูมิห้อง ระยะเวลา 12-72 h ตามลำดับ

โดยพบว่าค่าปริมาณในโตรเจนของยางสกิมธรรมดามีค่าประมาณ 2.65% (w/w) จากตารางที่ 4.13 พบว่าหลังจากผ่านกระบวนการทำปฏิกิริยาสะพอนนิฟิเคชันที่อุณหภูมิ  $50^{\circ}\text{C}$  ภายใต้การควบคุมสภาวะที่ความเข้มข้น 1-7%(w/v) NaOH ระยะเวลา 1-5 h สามารถทำให้ค่าปริมาณในโตรเจนลดลงในช่วงประมาณ 0.80-0.15%(w/w) ดังแสดงในรูปที่ 4.14(A) โดยที่สภาวะการทำปฏิกิริยาสะพอนนิฟิเคชันที่อุณหภูมิ  $50^{\circ}\text{C}$  ปริมาณความเข้มข้น 1 2 3 5 และ

7%(w/v) NaOH พบร่วมกับประสิทธิภาพสูงสุดในการลดปริมาณค่าในโตรเจนเมื่อใช้ระยะเวลามากกว่า 4 h นั่นคือ มีปริมาณค่าในโตรเจนลดลงประมาณ 0.25 0.24 0.23 0.20 และ 0.16 %(w/w) ตามลำดับ และจากตารางที่ 4.14 พบร่วงจากผ่านกระบวนการทำปฏิกิริยาสะโพนิฟิเคชัน ภายใต้การควบคุมสภาพที่ความเข้มข้นของ 1-7%(w/v) NaOH ระยะเวลา 1-5 h สามารถลดปริมาณค่าในโตรเจนลงได้ในช่วงประมาณ 0.20-0.10%(w/w) ดังแสดงในรูปที่ 4.14(B) โดยพบร่วงที่สภาพการทำปฏิกิริยาสะโพนิฟิเคชันที่อุณหภูมิ 70°C ที่ปริมาณความเข้มข้น 1 2 3 5 และ 7%(w/v) NaOH พบร่วมกับประสิทธิภาพสูงสุดในการลดปริมาณค่าในโตรเจนเมื่อใช้ระยะเวลาหากกว่า 3 h นั่นคือ มีปริมาณค่าในโตรเจนลดลงประมาณ 0.14 0.12 0.12 0.11 และ 0.11 %(w/w) ตามลำดับ

ในส่วนของการทำปฏิกิริยาสะโพนิฟิเคชันที่สภาพอุณหภูมิห้อง จากตารางที่ 4.15 พบร่วงใช้ระยะเวลาในการทำปฏิกิริยานานขึ้นถึง 12-72 h เพื่อที่จะได้ประสิทธิภาพในการลดปริมาณค่าในโตรเจนต่ำในระดับ 0.10-0.20%(w/w) โดยเมื่อใช้ระยะเวลาในการทำปฏิกิริยา 12 h สามารถลดค่าปริมาณในโตรเจนยางสกิมลดลงถึง 0.12-0.24%(w/w) และเมื่อทำปฏิกิริยานานขึ้น 72 h สามารถลดค่าปริมาณในโตรเจนลดลงไปได้อีกถึง 0.07-0.1%(w/w) ดังแสดงในรูปที่ 4.14(C) โดยพบร่วงที่สภาพการทำปฏิกิริยาสะโพนิฟิเคชันที่อุณหภูมิห้อง ที่ปริมาณความเข้มข้น 1 2 3 5 และ 7%(w/v) NaOH พบร่วมกับประสิทธิภาพสูงสุดในการลดปริมาณค่าในโตรเจนเมื่อใช้ระยะเวลาหากกว่า 48 h นั่นคือ มีปริมาณค่าในโตรเจนลดลงประมาณ 0.13 0.10 0.10 0.10 และ 0.10 %(w/w) ตามลำดับ

จากการทดลองทั้งหมดที่กล่าวมา แสดงให้เห็นได้ว่าการทำปฏิกิริยาสะโพนิฟิเคชันที่สภาพความเข้มข้นของ NaOH ที่เท่ากัน อุณหภูมิในการทำปฏิกิริยาส่งผลต่อประสิทธิภาพในการลดลงของปริมาณในโตรเจนได้อย่างชัดเจน โดยที่การทำปฏิกิริยาสะโพนิฟิเคชันที่อุณหภูมิ 70°C ให้ประสิทธิภาพสูงกว่า 50°C และที่อุณหภูมิห้อง ตามลำดับ แต่ในกรณีของการทำปฏิกิริยาสะโพนิฟิเคชันที่อุณหภูมิห้องจำเป็นต้องใช้ระยะเวลาในการทำปฏิกิริยาเพิ่มขึ้นถึง 72 h อย่างไรก็ตามพบว่าการทำปฏิกิริยาสะโพนิฟิเคชันที่อุณหภูมิห้อง ที่ระยะเวลา 48-72 h มีระดับในการลดลงของปริมาณในโตรเจนใกล้เคียงกับการทำปฏิกิริยาสะโพนิฟิเคชันที่อุณหภูมิ 70°C ที่ระยะเวลา 3-5 h นั่นคือ มีค่าในโตรเจนอยู่ในช่วงประมาณ 0.8-1.0 %(w/w)

ตารางที่ 4.13 ปริมาณไนโตรเจนของยางสกิม LPSR หลังทำปฏิกิริยาสะพอนนิฟิเคชันที่สภาวะอุณหภูมิ  $50^{\circ}\text{C}$

Saponification with %NaOH at $50^{\circ}\text{C}$	Nitrogen content (%wt.)					
	Control*	1 h	2 h	3 h	4 h	5 h
1	2.65	0.810	0.612	0.425	0.250	0.168
2	2.65	0.752	0.423	0.330	0.230	0.160
3	2.65	0.640	0.450	0.387	0.241	0.138
5	2.65	0.603	0.411	0.288	0.207	0.150
7	2.65	0.644	0.465	0.300	0.186	0.130

\*No treatment with NaOH at  $50^{\circ}\text{C}$

ตารางที่ 4.14 ปริมาณไนโตรเจนของยาง LPSR หลังทำปฏิกิริยาสะพอนนิฟิเคชันที่สภาวะอุณหภูมิ  $70^{\circ}\text{C}$

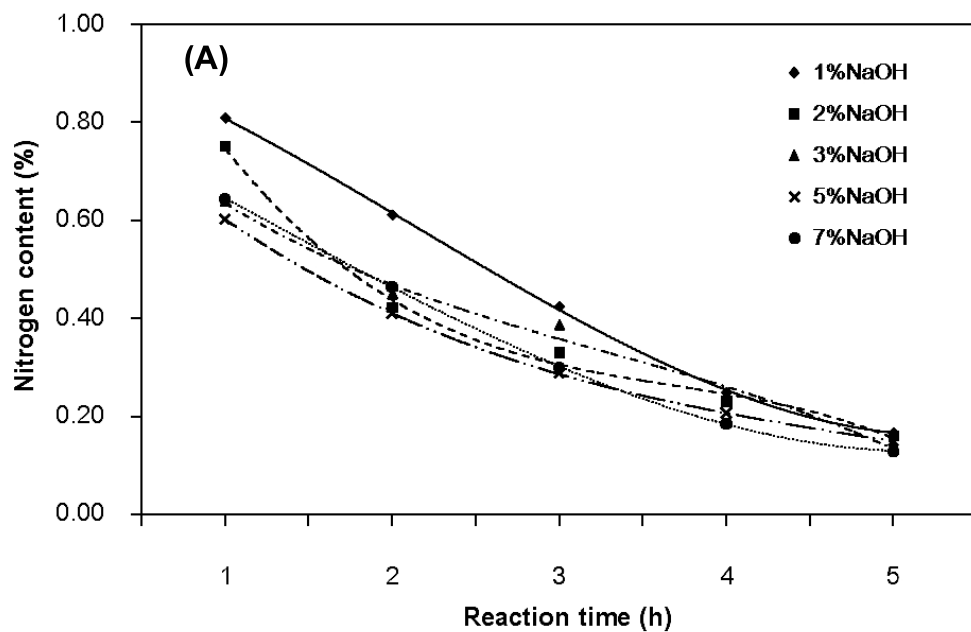
Saponification with %NaOH at $70^{\circ}\text{C}$	Nitrogen content (%wt.)					
	Control*	1 h	2 h	3 h	4 h	5 h
1	2.65	0.194	0.170	0.136	0.132	0.105
2	2.65	0.187	0.130	0.117	0.113	0.102
3	2.65	0.162	0.124	0.119	0.111	0.093
5	2.65	0.159	0.121	0.114	0.107	0.095
7	2.65	0.153	0.120	0.107	0.097	0.084

No treatment with %NaOH at  $70^{\circ}\text{C}$

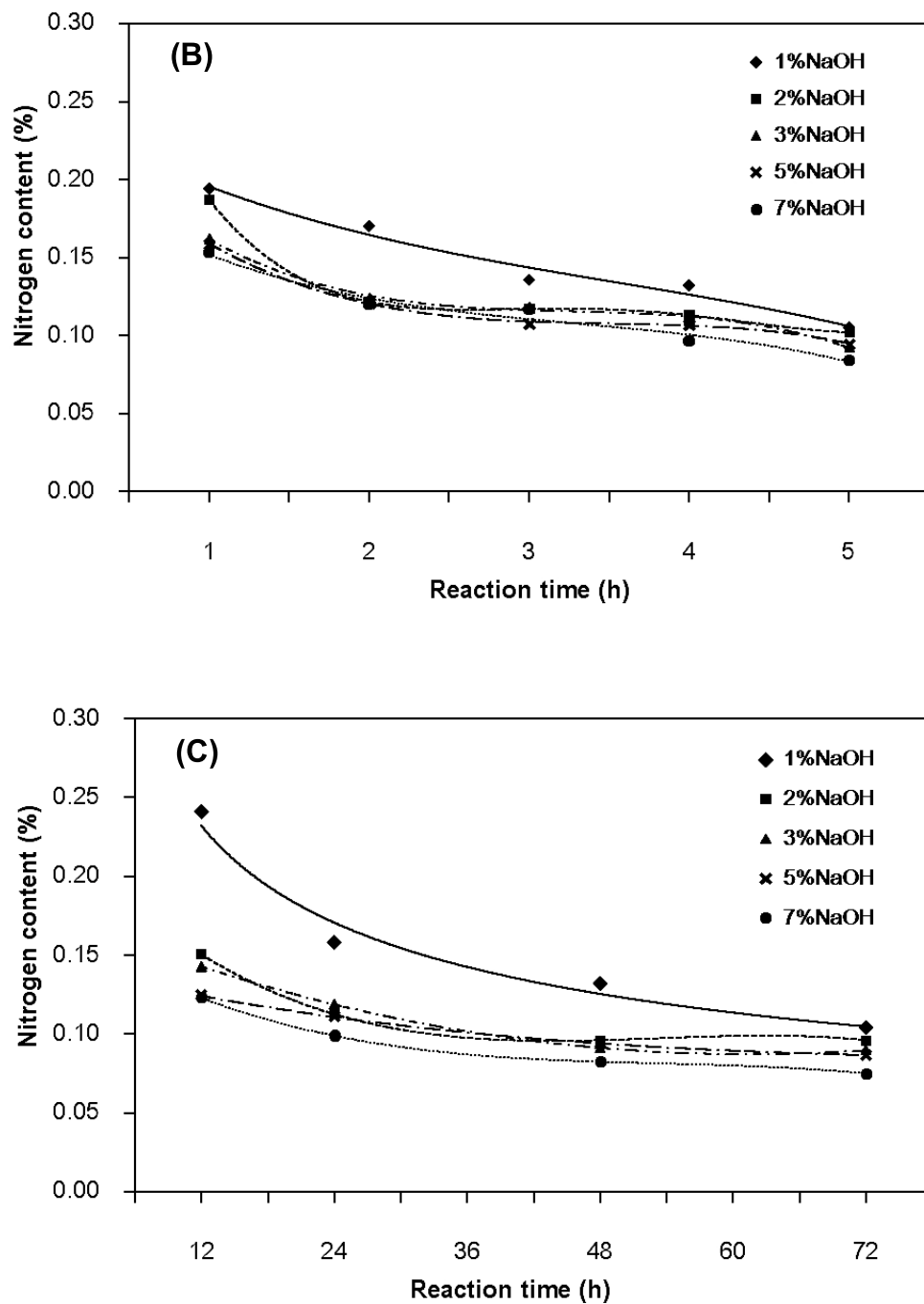
ตารางที่ 4.15 ปริมาณไนโตรเจนของยางสกิม LPSR หลังทำปฏิกิริยาสะพอนนิฟิเคชันที่สภาวะอุณหภูมิห้อง

Saponification with %NaOH at RT	Nitrogen content (%wt.)				
	Control*	12 h	24 h	48 h	72 h
1	2.65	0.241	0.158	0.132	0.104
2	2.65	0.151	0.113	0.096	0.096
3	2.65	0.143	0.119	0.092	0.090
5	2.65	0.125	0.111	0.094	0.087
7	2.65	0.123	0.099	0.083	0.075

\*No treatment with %NaOH at RT



รูปที่ 4.14 ปริมาณไนโตรเจนของยางสกิม LPSR เมื่อผ่านการทำปฏิกิริยาสะพอนนิฟิเคชันที่สภาวะ  $50^{\circ}\text{C}$  (A)  $70^{\circ}\text{C}$  (B) และ อุณหภูมิห้อง (C)



รูปที่ 4.14 (ต่อ) ปริมาณไนโตรเจนของยางสกิม LPSR เมื่อผ่านการทำปฏิกิริยาสะพอนนิฟิเคชันที่สภาวะ 50 °C (A) 70 °C (B) และ อุณหภูมิห้อง (C)

ยางสกิมโดยปกติที่ผลิตได้จากการบวนการผลิตทั่วๆไปในระดับอุตสาหกรรม มีค่าระดับสีประมาณ 16 lovibond จากตารางที่ 4.16 4.17 และ 4.18 แสดงปริมาณการเปลี่ยนแปลงของระดับสีในยาง LPSR หลังทำปฏิกิริยาสะพอนนิฟิเคชันที่สภาวะอุณหภูมิ  $50^{\circ}\text{C}$   $70^{\circ}\text{C}$  และอุณหภูมิห้องตามลำดับ พบร่วมกัน NaOH ที่ความเข้มข้น 1-7% (w/v) สามารถลดระดับสีของยางสกิม LPSR ลงได้ถึงประมาณ 7.5-8.0 lovibond โดยพบว่ากรณีการทำปฏิกิริยาสะพอนนิฟิเคชันที่สภาวะ  $50^{\circ}\text{C}$  สามารถลดระดับสีของยางสกิมได้จาก 16 ถึง 8 lovibond ทั้งนี้ขึ้นอยู่กับความเข้มข้นของ NaOH และระยะเวลาในการทำปฏิกิริยา แต่ไม่เกิดความเปลี่ยนแปลงมากนักเมื่อความเข้มข้นมากกว่า 3%(w/v) NaOH ดังรูปที่ 4.15(A) และในการทำปฏิกิริยาสะพอนนิฟิเคชันที่สภาวะ  $70^{\circ}\text{C}$  พบร่วมกันการเปลี่ยนแปลงของสียางสกิมไม่แตกต่างกันมากนักเมื่อความเข้มข้น NaOH และระยะเวลาในการทำปฏิกิริยาเพิ่มสูงขึ้น นั่นคือ ระดับสีของยางสกิม LPSR ลดลงในช่วงประมาณ 8.0-9.0 lovibond ดังรูปที่ 4.15(B) ส่วนในกรณีของยางสกิมที่อุณหภูมิห้องพบร่วมกันความเข้มข้นของ NaOH ส่งผลอย่างมากต่อการลดลงของระดับสีในยางสกิม LPSR และที่ความเข้มข้น 3-7%(w/v) NaOH ระยะเวลา 24-72 h ให้ประสิทธิภาพสูงสุดในการลดระดับสีในยางสกิม โดยระดับสีลดลงประมาณ 7.5-8.0 lovibond ดังรูปที่ 4.15(C)

อย่างไรก็ตามพบว่า การทำปฏิกิริยาสะพอนนิฟิเคชันที่สภาวะอุณหภูมิห้อง ต้องใช้ระยะเวลาในการทำปฏิกิริยาถึง 24-72 h จึงจะให้ประสิทธิภาพในการลดระดับสีในยางสกิม LPSR ได้เท่าๆกับการทำปฏิกิริยาที่อุณหภูมิ  $50^{\circ}\text{C}$  และ  $70^{\circ}\text{C}$  ที่ระยะเวลา 3-5 h

จากการทดลองทั้งหมดที่กล่าวมาแสดงให้เห็นได้อย่างชัดเจนว่า การทำปฏิกิริยาสะพอนนิฟิเคชันที่สภาวะอุณหภูมิสูงๆ และการเพิ่มความเข้มข้นของ NaOH สามารถให้ประสิทธิภาพในการกำจัดโปรตีนและลดระดับสีในยางสกิมได้ดีกว่า (สอดคล้องกับงานวิจัยของ Rungvi chaniwat A., 1999 และ Insom K., 2005) และ สภาวะที่เหมาะสมและมีประสิทธิภาพสูงสุดในการทำปฏิกิริยาสะพอนนิฟิเคชัน เพื่อให้ได้ยางสกิมที่มีคุณภาพ ระดับสีและปริมาณค่าในโตรเจนต่ำ คือ สภาวะอุณหภูมิ  $50^{\circ}\text{C}$  ที่ 3%(w/v) NaOH ระยะเวลา 5 h สภาวะอุณหภูมิ  $70^{\circ}\text{C}$  ที่ 2%(w/v) NaOH ระยะเวลา 3 h และสภาวะอุณหภูมิห้อง ที่ 3%(w/v) NaOH ระยะเวลา 48 h

ตารางที่ 4.16 ปริมาณการเปลี่ยนแปลงระดับสีของยางสกิน LPSR หลังทำปฏิกิริยาสะพอนนิฟิคชันที่สภาวะอุณหภูมิ  $50^{\circ}\text{C}$

Saponification with %NaOH at $50^{\circ}\text{C}$	Color index (lovibond no.)					
	Control*	1 h	2 h	3 h	4 h	5 h
1	16.0	12.0	12.0	11.0	10.0	10.0
2	16.0	12.0	12.0	9.0	9.0	9.0
3	16.0	9.0	9.0	8.0	8.0	8.0
5	16.0	9.0	8.0	8.0	8.0	9.0
7	16.0	9.0	8.0	8.0	8.0	9.0

\*No treatment with %NaOH at  $50^{\circ}\text{C}$

ตารางที่ 4.17 ปริมาณการเปลี่ยนแปลงระดับสีของยางสกิน LPSR หลังทำปฏิกิริยาสะพอนนิฟิคชันที่สภาวะอุณหภูมิ  $70^{\circ}\text{C}$

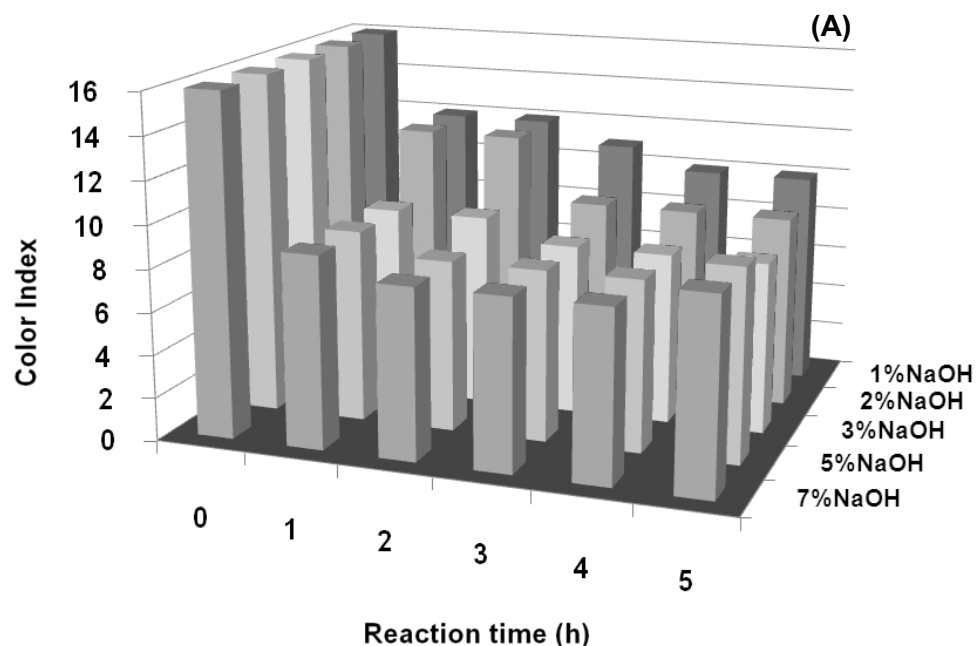
Saponification with %NaOH at $70^{\circ}\text{C}$	Color index (lovibond no.)					
	Control*	1 h	2 h	3 h	4 h	5 h
1	16.0	10.0	9.0	8.0	8.0	8.0
2	16.0	9.0	9.0	8.0	8.0	8.0
3	16.0	8.0	9.0	8.0	8.0	8.0
5	16.0	9.0	9.0	9.0	9.0	9.0
7	16.0	9.0	9.0	9.0	9.0	9.0

\*No treatment with %NaOH at  $70^{\circ}\text{C}$

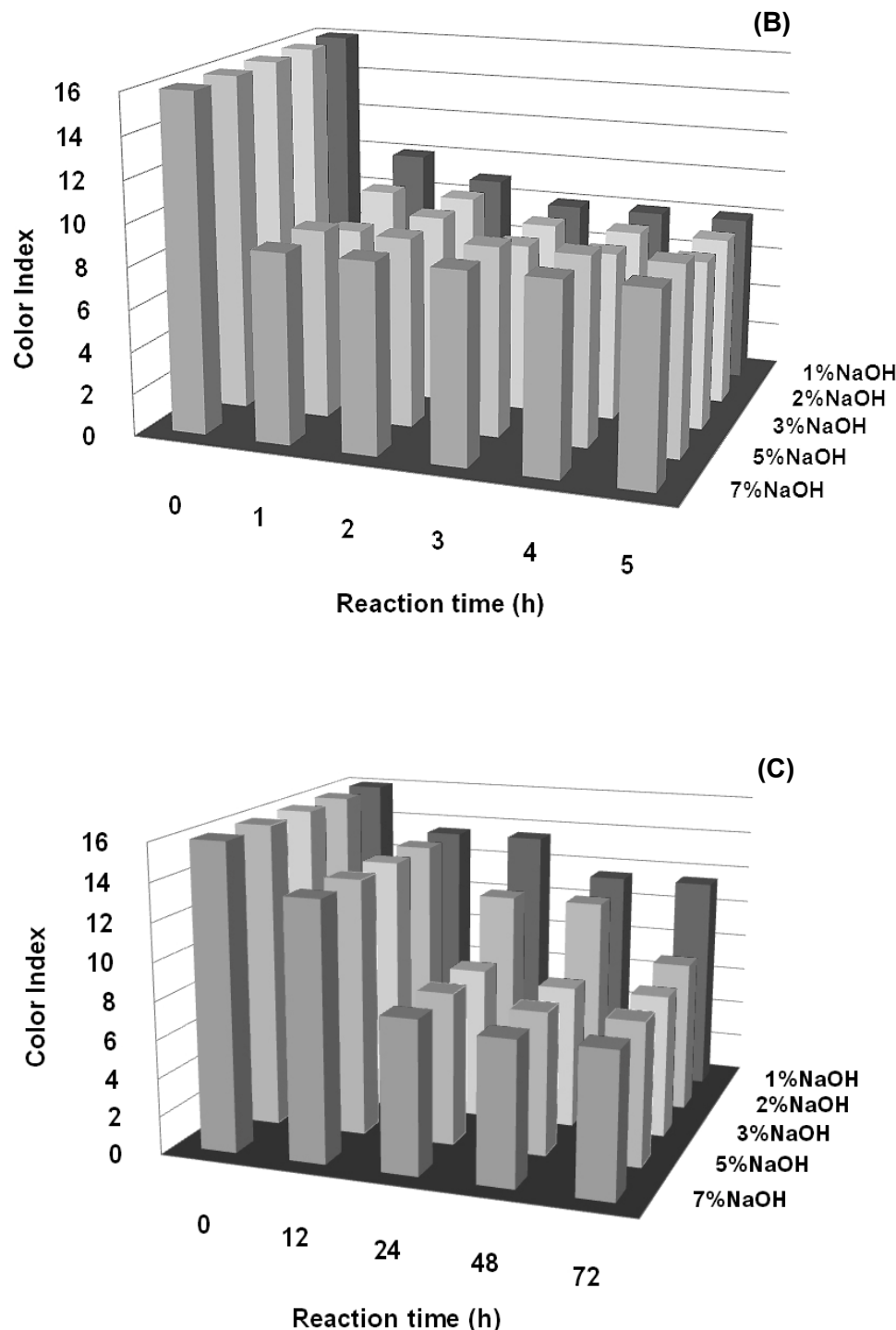
ตารางที่ 4.18 ปริมาณการเปลี่ยนแปลงระดับสีของยาง LPSR หลังทำปฏิกิริยาสะพอนิฟิเคชันที่ สภาวะอุณหภูมิห้อง

Saponification with %NaOH at RT	Color index (lovibond no.)				
	Control*	12 h	24 h	48 h	72 h
1	16.0	13.5	13.5	11.5	11.5
2	16.0	13.5	11.0	11.0	8.0
3	16.0	13.5	8.0	7.5	7.5
5	16.0	13.5	8.0	7.5	7.5
7	16.0	13.5	8.0	7.5	7.5

\*No treatment with %NaOH at RT



รูปที่ 4.15 การเปลี่ยนแปลงระดับสีในยางสกิม LPSR เมื่อผ่านการทำปฏิกิริยาสะพอนิฟิเคชันที่ สภาวะ  $50^{\circ}\text{C}$  (A)  $70^{\circ}\text{C}$  (B) และที่สภาวะอุณหภูมิห้อง (C)



รูปที่ 4.15 (ต่อ) การเปลี่ยนแปลงระดับสีในยางสกิม LPSR เมื่อผ่านการทำปฏิกิริยาสะพอนิฟิเดชันที่สภาวะ  $50^{\circ}\text{C}$  (A)  $70^{\circ}\text{C}$  (B) และที่สภาวะอุณหภูมิห้อง (C)

## 4.2.2 ศึกษาประสิทธิภาพของสารแอนติออกซิเดนท์ที่มีต่อสมบัติการต้านทานการเสื่อมสภาพด้วยความร้อนในยางสกิม LPSR

### 4.2.2.1 ประสิทธิภาพในการต้านทานการเสื่อมสภาพด้วยความร้อนในยางสกิม LPSR

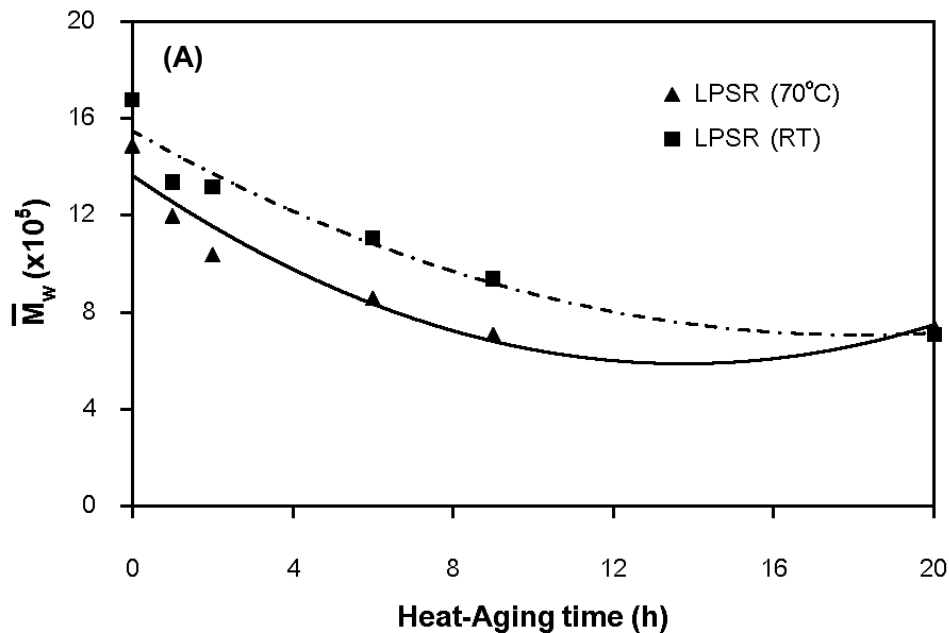
การเสื่อมสภาพในยางธรรมชาติ เกิดจากการที่ยางธรรมชาติมีโมเลกุลที่ไม่ อิ่มตัวเนื่องจากพันธะคู่ทำให้เกิดการเสื่อมสภาพได้ง่าย โดยเฉพาะในสภาวะการใช้งานที่ต้อง สัมผัสนกับแสงแดด ออกซิเจน โอโซน ความร้อน หรือแม้กระทั่งองค์ประกอบอื่นๆ ที่ไม่ใช่ยาง เช่น โลหะที่เป็นตัวช่วยเร่งปฏิกิริยา (metal catalysis) อย่างไรก็ตาม โดยปกติแล้วยางธรรมชาติ สามารถต้านทานต่อการเสื่อมสภาพได้ดีกว่ายางสังเคราะห์บางชนิด ทั้งนี้เนื่องจาก พบร่วมมีสารต้านอนุมูลอิสระที่มีอยู่เดิมในธรรมชาติ (natural occurring antioxidants) จำพวกลิปิด (lipid) ประเทกโทโคลไตรอีโนล (tocotrienols) หลายชนิด หรือแม้กระทั่งโปรดีนบางชนิดที่อยู่ภายในโมเลกุลยางธรรมชาติ (Hasma H. and Othman A.B., 1990) นอกจากนี้ยังได้มีการศึกษาวิจัยเกี่ยวกับผลกระทบขององค์ประกอบอื่นๆ ที่ไม่ใช่ยางบางชนิด ที่มีผลต่อการเสื่อมสภาพในยางธรรมชาติที่ฝ่านการทำให้บริสุทธิ์ (Tuampoemsab S. et al., 2006) เช่น ยางธรรมชาติกำจัดโปรดีน (DPNR) และยางสกิมที่ทำปฏิกิริยาในสารละลายเบส (SSR) พบร่วมกับยางธรรมชาติที่ผ่านการทำให้บริสุทธิ์ มีความเสถียรต่อความร้อนต่ำเนื่องจากสูญเสียสารต้านการเสื่อมสภาพโดยธรรมชาติ และเสื่อมสภาพได้ง่ายเมื่อถูกกระตุ้นด้วยโลหะที่เป็นตัวช่วยเร่งปฏิกิริยา เช่น ทองแดง (Cu)

การต้านทานการเสื่อมสภาพด้วยความร้อน หรือแสง เป็นคุณสมบัติอย่างหนึ่งที่สำคัญมากสำหรับยางธรรมชาติ โดยเฉพาะอย่างยิ่งยางธรรมชาติที่ผ่านการทำให้บริสุทธิ์แล้ว เช่น ยางสกิม LPSR เนื่องจากการวิเคราะห์ถึงการเปลี่ยนแปลงของน้ำหนักโมเลกุลและการกระจายของตัวน้ำหนักโมเลกุลของยางสกิม LPSR เมื่อให้ความร้อนสูงเป็นระยะเวลาสามารถบอกรถึงความสามารถในการต้านทานการเสื่อมสภาพของยางสกิม LPSR และในการทดลองต่อไปนี้ เป็นการศึกษาประสิทธิภาพในการต้านทานการเสื่อมสภาพของยางสกิม LPSR ด้วยความร้อนโดยทำการทดสอบภายใต้สภาวะเร้าที่อุณหภูมิ  $100^{\circ}\text{C}$  ในตู้อบอากาศระยaver 20 h และทำการศึกษาการเปลี่ยนแปลงน้ำหนักโมเลกุลของยางสกิม LPSR ที่เตรียมได้จากการทำปฏิกิริยาสะพอนนิฟิเคชันที่สภาวะอุณหภูมิ  $70^{\circ}\text{C}$  และสภาวะอุณหภูมิห้อง ดังแสดงในตารางที่ 4.19

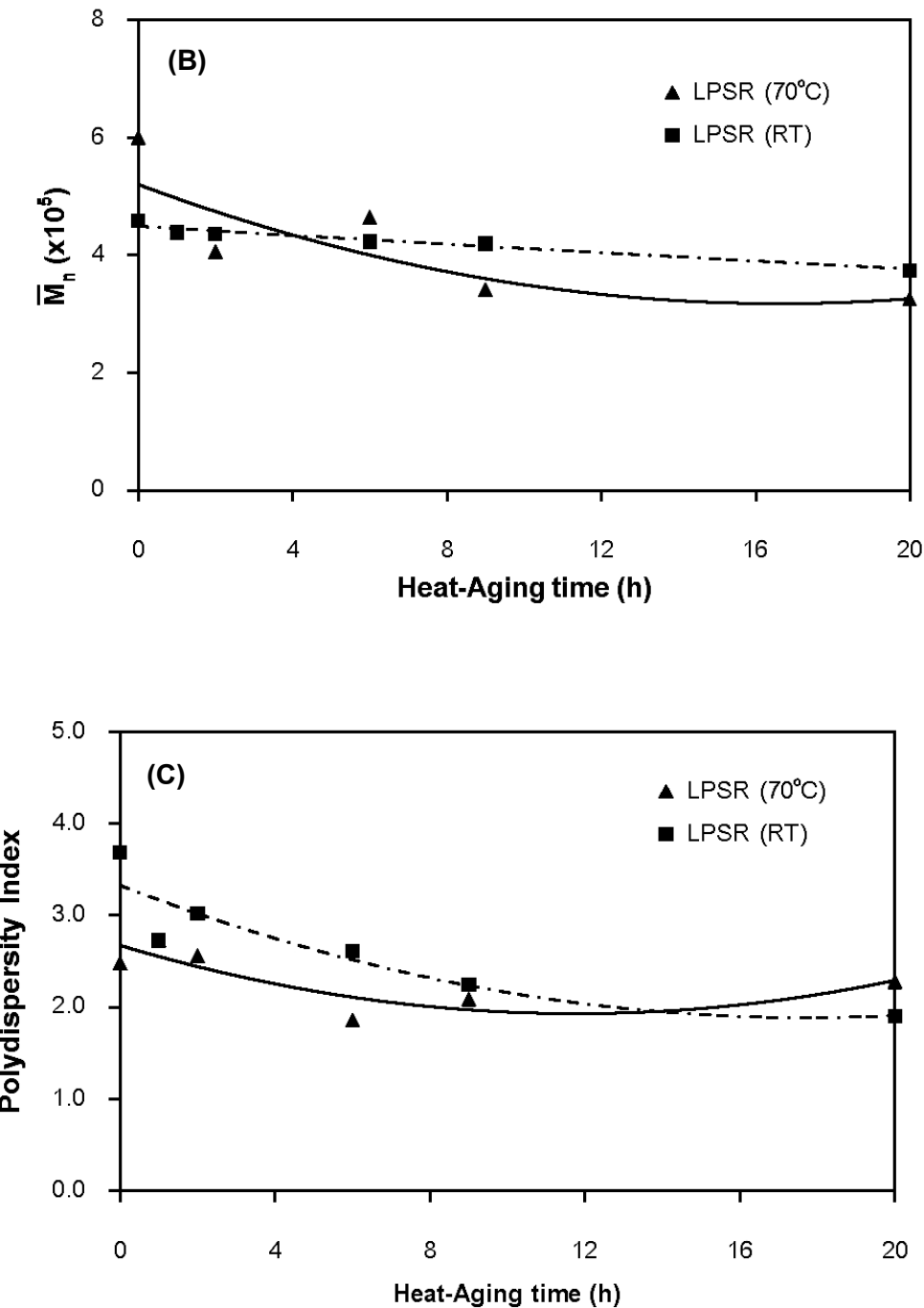
จากผลของการศึกษาการต้านทานการเสื่อมสภาพต่อความร้อนที่อุณหภูมิ  $100^{\circ}\text{C}$  ของยางสกิม LPSR โดยศึกษาการเปลี่ยนแปลงการกระจายตัวน้ำหนักโมเลกุลของยางสกิม LPSR ที่เตรียมได้จากการทำปฏิกิริยาสะพอนนิฟิเคชันที่สภาวะอุณหภูมิ  $70^{\circ}\text{C}$  เปรียบเทียบ

กับที่สภาวะอุณหภูมิห้อง ดังรูปที่ 4.16 พบว่าการทำปฏิกิริยาสะพอนนิฟิเคชันที่สภาวะอุณหภูมิ  $70^{\circ}\text{C}$  ยางสกิม LPSR มีน้ำหนักโมเลกุลเฉลี่ยโดยน้ำหนัก ( $\bar{M}_w$ ) และการกระจายตัวของน้ำหนักโมเลกุล (MWD) ลดลงอย่างรวดเร็ว โดยลดลงถึง  $7.1\text{-}7.4 \times 10^5 \text{ g/mole}$  ซึ่งมีการเปลี่ยนแปลงน้ำหนักโมเลกุลมากถึง 50% เมื่อเทียบกับน้ำหนักโมเลกุลเริ่มต้น คือ ประมาณ  $1.6\text{-}1.7 \times 10^6 \text{ g/mole}$  หลังจากทำการบ่มเร่งด้วยความร้อน (heat-aging) เป็นระยะเวลา 20 h อย่างไรก็ตาม พบว่า ยางสกิม LPSR ที่เตรียมได้จากการทำปฏิกิริยาสะพอนนิฟิเคชันที่สภาวะอุณหภูมิห้อง มีการลดลงของน้ำหนักโมเลกุลเฉลี่ยเชิงจำนวน ( $\bar{M}_n$ ) อย่างช้าๆ คือ ลดลงจาก  $4.5 \times 10^5$  ถึง  $3.7 \times 10^5 \text{ g/mole}$  ซึ่งมีการเปลี่ยนแปลงของน้ำหนักโมเลกุลเฉลี่ยเชิงจำนวนเพียง 8-10% แตกต่างจากสภาวะอุณหภูมิ  $70^{\circ}\text{C}$  ซึ่งลดลงจาก  $6.01 \times 10^5$  ถึง  $3.25 \times 10^5 \text{ g/mole}$  ที่มีการลดลงถึง 40% โดยประมาณ

แสดงให้เห็นได้ว่ายางสกิม LPSR ที่ได้จากการทำปฏิกิริยาสะพอนนิฟิเคชันที่สภาวะอุณหภูมิ  $70^{\circ}\text{C}$  มีประสิทธิภาพในการต้านทานต่อการเสื่อมสภาพน้อยกว่ายางสกิม LPSR ที่ได้จากการทำปฏิกิริยาสะพอนนิฟิเคชันที่สภาวะอุณหภูมิห้อง ซึ่งมีเสถียรภาพต่อความร้อนดีกว่า่นั่นเอง



รูปที่ 4.16 การเปลี่ยนแปลงน้ำหนักโมเลกุลเฉลี่ยโดยน้ำหนัก (A) น้ำหนักโมเลกุลเฉลี่ยเชิงจำนวน (B) และการกระจายตัวน้ำหนักโมเลกุล (C) ของยางสกิม LPSR เมื่อทำการศึกษาการต้านทานการเสื่อมสภาพที่อุณหภูมิ  $100^{\circ}\text{C}$



รูปที่ 4.16 (ต่อ) การเปลี่ยนแปลงน้ำหนักโมเลกุลเฉลี่ยโดยน้ำหนัก (A) น้ำหนักโมเลกุลเฉลี่ยเชิงจำานวน (B) และการกระจายตัวน้ำหนักโมเลกุล (C) ของยางสกิม LPSR เมื่อทำการศึกษาการต้านทานการเสื่อมสภาพที่อุณหภูมิ 100°C

ตารางที่ 4.19 การเปลี่ยนแปลงน้ำหนักโมเลกุลและการกระจายตัวน้ำหนักโมเลกุลของยางสกิม LPSR เมื่อทำการศึกษาการต้านทานการเสื่อมสภาพที่อุณหภูมิ  $100^{\circ}\text{C}$  เป็นระยะเวลา 20 h

Heat-Aging time (h)	LPSR ; saponification at $70^{\circ}\text{C}$			LPSR; saponification at RT		
	$\bar{M}_w$ ( $\times 10^6$ ) g/mole	$\bar{M}_n$ ( $\times 10^5$ ) g/mole	MWD	$\bar{M}_w$ ( $\times 10^6$ ) g/mole	$\bar{M}_n$ ( $\times 10^5$ ) g/mole	MWD
0	1.49	6.01	2.48	1.68	4.58	3.68
1	1.20	4.39	2.73	1.34	4.39	2.73
3	1.04	4.06	2.56	1.32	4.36	3.02
6	0.86	4.65	1.86	1.11	4.23	2.61
9	0.71	3.41	2.09	0.94	4.20	2.24
20	0.74	3.25	2.28	0.71	3.75	1.90

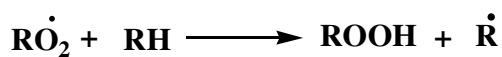
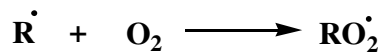
#### 4.2.2.2 การปรับปรุงสมบัติการต้านทานการเสื่อมสภาพด้วยความร้อนของยางสกิม LPSR ด้วยสารแอนติออกซิเดนท์

จากการศึกษาวิจัยที่ผ่านมาพบว่ายางสกิมที่ผ่านการเตรียมจากการทำปฏิกิริยาสะพอนนิฟิเคชันมีความเสถียรภาพค่อนข้างดี ซึ่งพบว่าสารเหลวหลักเกิดจากการสูญเสียสารต้านอนุมูลอิสระที่มีอยู่เดิมตามธรรมชาติ เช่น โปรตีน หรือ ลิปิดบางชนิด ขณะทำสะพอนนิฟิเคชันและเกิดจากการถูกกระตุ้นด้วยอิオンของโลหะ (metal ion) บางชนิดเช่น Fe Ni Co และ Cu ซึ่งพบว่าอาจเป็นปัจจัยในยางสกิมเริ่มต้นและยางสกิมดิบ อิออนของโลหะเหล่านี้ทำให้เกิดการกระตุ้น และเร่งให้เกิดการเสื่อมสภาพในสายโซ่โมเลกุลยาง ทั้งในขณะทำปฏิกิริยาสะพอนนิฟิเคชัน และขณะทำการอบแห้ง (Tuampoemsab S. et al., 2006) อย่างไรก็ตามพบว่าสามารถปรับปรุงสมบัติการต้านทานการเสื่อมสภาพในยางธรรมชาติได้โดยใช้สารป้องกันการเสื่อมสภาพประเภทฟีนอลิก (phenolic antioxidant) เช่น BHT TBMTBP และ MBETB สารป้องกันการเสื่อมสภาพประเภทฟีนอลิกสามารถยับยั้งการเกิด peroxy radical (peroxy radical) ภายในสายโซ่โมเลกุลยางได้ นอกจากนั้นยังนิยมใช้เป็นสารแอนติออกซิเดนท์อย่างแพร่หลายในกลุ่มอิลาสโตรเมอร์อื่นๆ (Arnold A.R. et al., 1991) และสำหรับการทดลองนี้ได้นำสารละลายนิมลชัลของฟีนอลิก แอนติออกซิเดนท์ มาใช้เพื่อป้องกันการเสื่อมสภาพในยางสกิม LPSR โดยกระบวนการแซ่ยางสกิม LPSR ในสารละลายนิมลชัลฟีนอลิก แอนติออกซิเดนท์ ก่อนทำการอบแห้ง จากนั้นนำไปทดสอบการต้านทานต่อการเสื่อมสภาพด้วยความร้อน ที่

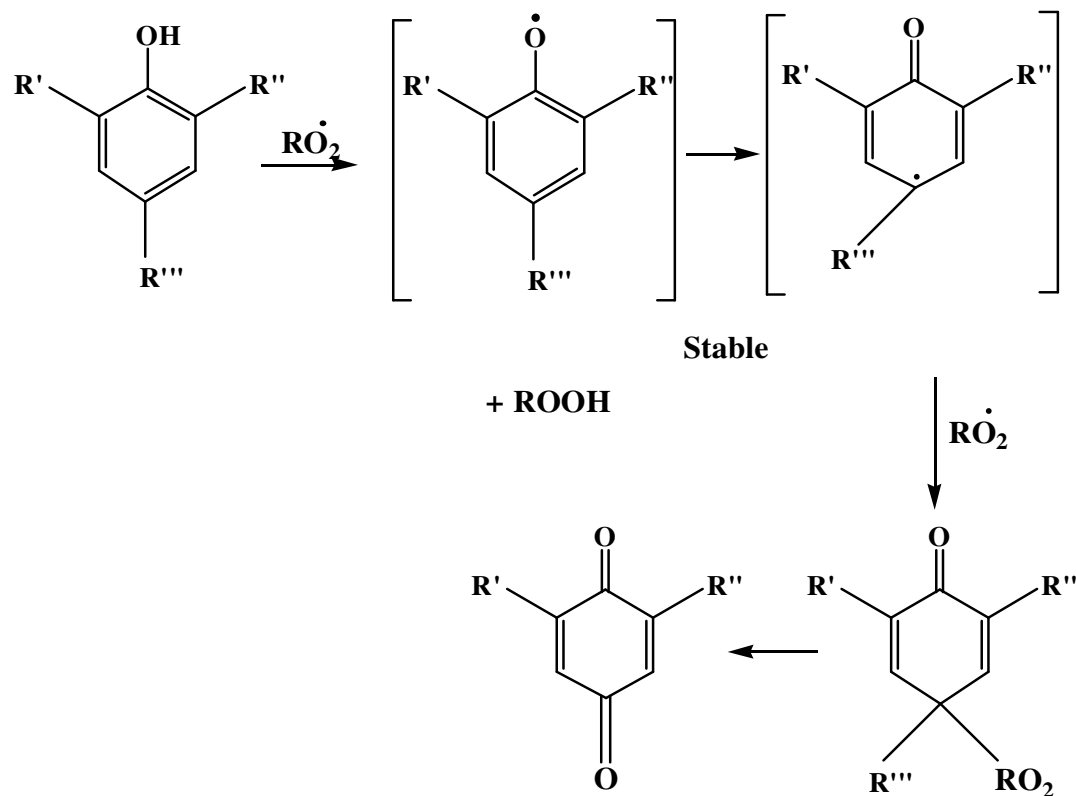
สภาวะอุณหภูมิ  $100^{\circ}\text{C}$  ระยะเวลา 3 h ตรวจสอบประสิทธิภาพของสารแอนติออกซิเดนท์ โดยการวิเคราะห์น้ำหนักโมเลกุลของยางสกิม LPSR ที่เปลี่ยนแปลงไป ดังข้อมูลในตารางที่ 4.20

การเปลี่ยนแปลงน้ำหนักโมเลกุลของยางสกิม LPSR ภายหลังการทดสอบการทนต่อการเสื่อมสภาพด้วยความร้อน ในรูปที่ 4.18 ชี้ให้เห็นได้อย่างชัดเจนว่า การแข็งยางสกิม LPSR ในสารละลายอิมลัชันฟีโนลิก แอนติออกซิเดนท์ ( $1\%\text{w/v emulsion solution}$ ) ชนิด BHT TBMTBP และ MBETB ก่อนทำการอบแห้ง สามารถป้องกันการเกิดออกซิเดชัน ในยางสกิม LPSR และช่วยรักษาเสถียรภาพของยางสกิม LPSR เนื่องจากความร้อนได้เป็นอย่างดี โดยเห็นได้วายางสกิม LPSR ที่ไม่ได้ปักป้องด้วยสารฟีโนลิก แอนติออกซิเดนท์ พบว่า น้ำหนักโมเลกุลลดลงจาก  $0.87 \times 10^6$  ถึง  $0.61 \times 10^6 \text{ g/mole}$  นั่นคือ มีการลดลงของน้ำหนักโมเลกุลประมาณ 30% ภายหลังการทำบ่มเร่งด้วยความร้อน ในขณะการเปลี่ยนแปลงของน้ำหนักโมเลกุลของยางสกิม LPSR ที่ปักป้องด้วยสารฟีโนลิก แอนติออกซิเดนท์ ลดลงเพียงเล็กน้อยประมาณ 10-15% โดยเฉลี่ย ชี้แสดงให้เห็นได้ว่า สามารถปรับปรุงสมบัติการต้านทานการเสื่อมสภาพด้วยความร้อน ในยางสกิม LPSR โดยใช้สารฟีโนลิก แอนติออกซิเดนท์ได้อย่างมีประสิทธิภาพ ซึ่งพบว่าสารฟีโนลิก แอนติออกซิเดนท์ชนิด TBMTBP ให้ประสิทธิภาพได้สูงกว่า MBETB และ BHT ตามลำดับ อย่างไรก็ตาม เพื่อให้สามารถเข้าใจการการกลไกการทำงานของแอนติออกซิเดนท์ได้ง่ายขึ้น จึงขออธิบายด้วยกลไกการทำปฏิกิริยาระหว่างสารฟีโนลิก แอนติออกซิเดนท์ และเปอร์ออกซิเดตต์ดังรูปที่ 4.17

Propagation reaction



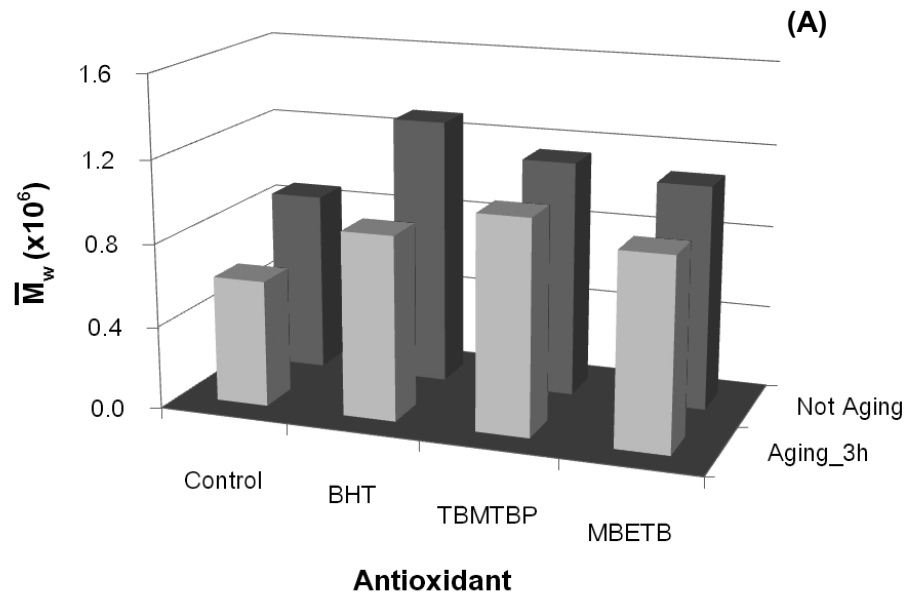
The termination of peroxy radicals



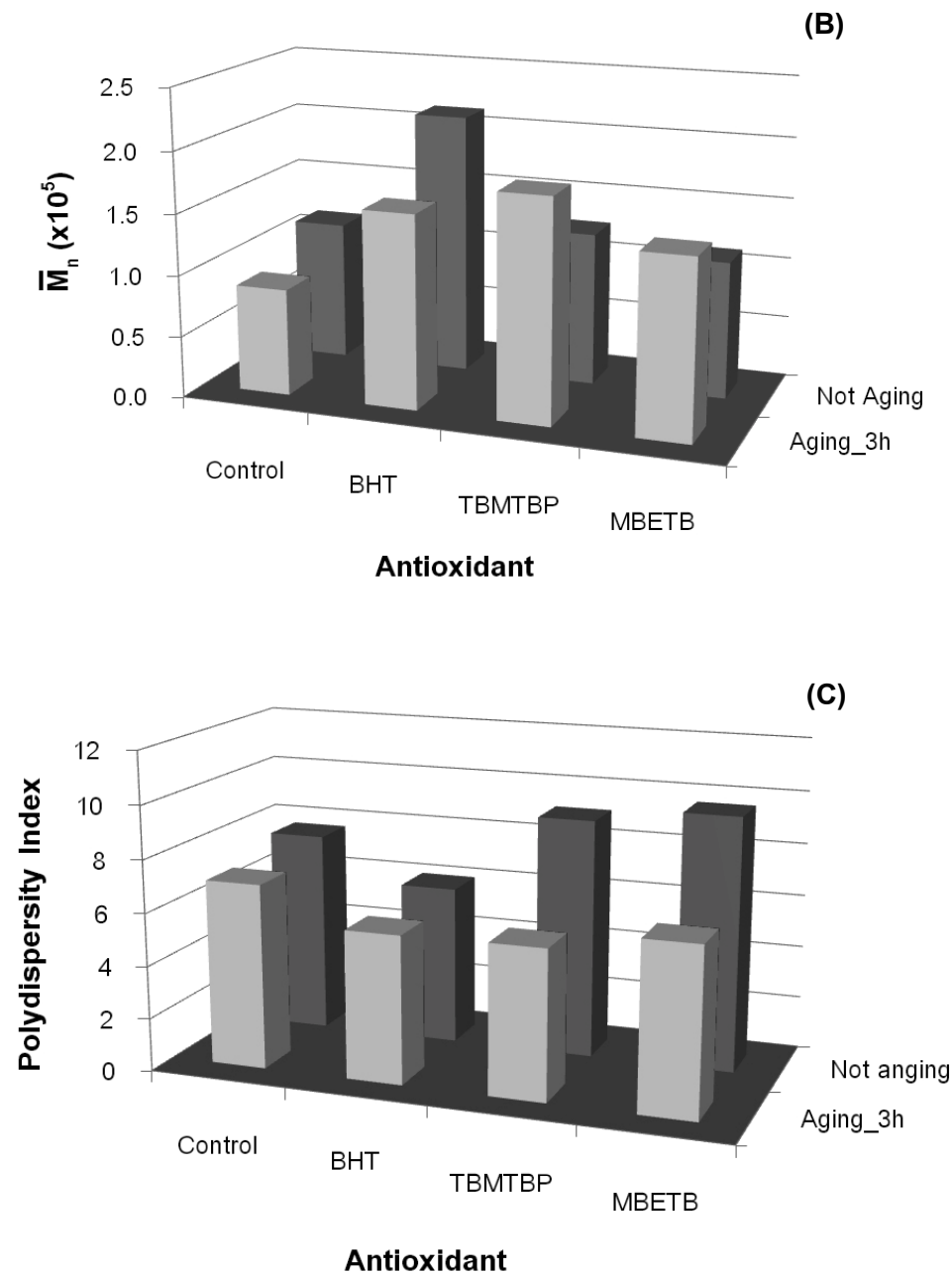
รูปที่ 4.17 กลไกการทำงานของสารฟีโนลิก และติอออกซิเดนท์ ที่ทำให้การเกิดปฏิกิริยาลูกโซ่ในการออกซิเดชันในยางบุติล (Allen S.N. and Edge M., 1992)

ตารางที่ 4.20 การเปลี่ยนแปลงน้ำหนักโมเลกุลของยางสกิม LPSR ที่ปรับปรุงสมบัติด้วยสารฟีโนลิก และติออกซิเดนท์ เมื่อทำการปั่นเร่งด้วยความร้อนที่อุณหภูมิ  $100^{\circ}\text{C}$  ระยะเวลา 3 h

LPSR with antioxidants	Before Heat-aging (g/mole)			After Heat-aging (g/mole)		
	$\bar{M}_w \times 10^6$	$\bar{M}_n \times 10^5$	MWD	$\bar{M}_w \times 10^6$	$\bar{M}_n \times 10^5$	MWD
LPSR (no antioxidant)	0.87	1.14	7.68	0.61	0.87	7.02
BHT	1.29	2.13	6.04	0.89	1.58	5.63
TBMTBP	1.14	1.25	9.09	1.03	1.81	5.68
MBETB	1.08	1.12	9.64	0.92	1.45	6.35



รูปที่ 4.18 การเปลี่ยนแปลง  $\bar{M}_w$  (A)  $\bar{M}_n$  (B) และ MWD (C) ของยางสกิม LPSR ที่ปรับปรุงสมบัติด้วยสารฟีโนลิก และติออกซิเดนท์ เมื่อปั่นเร่งด้วยความร้อนที่อุณหภูมิ  $100^{\circ}\text{C}$  เป็นระยะเวลา 3 h



รูปที่ 4.18 (ต่อ) การเปลี่ยนแปลง  $\bar{M}_w$  (A)  $\bar{M}_n$  (B) และ MWD (C) ของยางสกิม LPSR ที่ปรับปรุงสมบัติด้วยสารฟีโนอลิก และติออกซิเดนท์ เมื่อทำการบ่มเร่งที่อุณหภูมิ  $100^\circ\text{C}$  เป็นระยะเวลา 3 h

### 4.2.3 การศึกษาสมบัติพื้นฐานทางกายภาพและสมบัติเชิงกลของยางสกิม LPSR โดยการวัดค่าไนซ์ด้วยเบอร์ออกไซด์

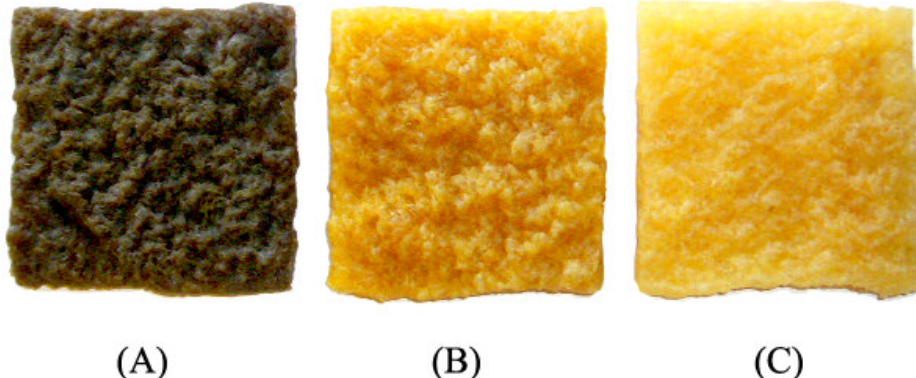
#### 4.2.3.1 สมบัติพื้นฐานทางกายภาพของยางสกิม LPSR

จากการปรับปรุงสมบัติของยางสกิมให้มีคุณภาพและมีความบริสุทธิ์ โดยกระบวนการกำจัดโปรตีนด้วยการทำปฏิกิริยาสะพอนนิฟิเคชัน ทำให้สามารถพัฒนายางสกิม LPSR ที่มีปริมาณโปรตีนและองค์ประกอบอื่นๆที่ไม่ใช่ยางต่างๆในการทดลองนี้ได้เลือกการทำปฏิกิริยาสะพอนนิฟิเคชัน โดยวิธีการแช่ยางสกิมในสารละลายน 3% (w/v) NaOH ที่สภาวะอุณหภูมิห้อง ใช้ระยะเวลาในการทำปฏิกิริยาระยะ 48 h มาใช้ในการศึกษา ซึ่งพบว่าได้ยางสกิม LPSR ที่มีระดับสีที่ใกล้เคียงกับยางธรรมชาติเกรดการค้าชนิด STR 5L ซึ่งให้ระดับสีในยางไม่เกิน 6.0 Lovibond ซึ่งแสดงถึงองค์ประกอบอื่นๆที่ไม่ใช่ยางในยางสกิม LPSR ที่ลดลง ในตารางที่ 4.21 โดยพบว่ากระบวนการทำสะพอนนิฟิเคชันสามารถลดปริมาณในโตรเรนในยางสกิมจากเดิมประมาณ  $2.46 \pm 0.06\%$  (wt.) ถึง  $0.082 \pm 0.02\%$  (wt.) หรือสามารถลดได้ถึง 95% โดยประมาณแสดงให้เห็นว่าการทำปฏิกิริยาสะพอนนิฟิเคชันมีประสิทธิภาพอย่างมากในการลดปริมาณโปรตีนในยางสกิม นอกจากนี้แล้วยางสกิม LPSR ที่ผ่านการทำปฏิกิริยาสะพอนนิฟิเคชันยังมีปริมาณเอสเตอร์ของกรดไขมัน (fatty acid ester content) ปริมาณถ้า ปริมาณเจล ลดลงด้วย โดยพบว่าปริมาณเอสเตอร์ของกรดไขมันของยางสกิม LPSR มีปริมาณเพียง  $3.16 \text{ mmol/kg-rubber}$  ในขณะที่ยางสกิมธรรมดามีปริมาณเอสเตอร์ของกรดไขมันถึง  $13.76 \text{ mmol/kg-rubber}$  เห็นได้ชัดเจนว่าการทำปฏิกิริยาสะพอนนิฟิเคชันด้วยสารละลายน NaOH สามารถกำจัดปริมาณเอสเตอร์ของกรดไขมันบางชนิดในยางสกิมได้

จากตารางที่ 4.22 แสดงสมบัติพื้นฐานทางกายภาพต่างๆของยางสกิม LPSR และยางสกิมธรรมด้า พบว่ากระบวนการทำยางสกิมให้บริสุทธิ์ด้วยการทำปฏิกิริยาสะพอนนิฟิเคชัน สามารถเตรียมยางสกิม LPSR ที่มีระดับสี  $6.5 \pm 1.0$  Lovibond ใกล้เคียงกับระดับสียางธรรมชาติเกรดทางการค้า STR 5L ในขณะที่ยางสกิมธรรมด้าให้ระดับสีที่มากกว่า คือ ระดับ  $16.0 \pm 0.0$  Lovibond ดังภาพแสดงการเปรียบเทียบสีของยางสกิมธรรมด้า ยางสกิม LPSR และยางธรรมชาติเกรด STR 5L ในรูปที่ 4.19 นอกจากนี้ ยางสกิม LPSR ยังให้ค่าความหนืดและค่าการทนต่อแรงดึง (green strength) ที่ต่างกว่ายางสกิมธรรมด้า โดยยางสกิม LPSR มีค่าความหนืดและค่าการทนต่อแรงดึงเท่ากับ  $84.0 \pm 5.0$  และ  $0.23 \text{ MPa}$  ส่วนยางสกิมธรรมดามีค่าความหนืดและค่าการทนต่อแรงดึงเท่ากับ  $105.0 \pm 12.0$  และ  $0.80 \text{ MPa}$  ตามลำดับ สอดคล้องกลับค่าความอ่อนตัวริมต้นของยางสกิม LPSR ที่มีค่าต่างกว่ายางสกิมธรรมด้า ซึ่งสาเหตุของการที่ยางสกิม LPSR มีค่าความหนืดและค่าการทนต่อแรงดึงที่ต่ำ เนื่องมาจากปริมาณเจลในยางสกิมที่ลดลง ซึ่งอาจหมายถึงจุดเชื่อมที่ทำให้เกิดกิ่งก้าน (branch point) บางส่วนในโมเลกุลยาง

ที่ถูกกำจัดออกไป เนื่องจากการทำปฏิกิริยาสะพอนนิฟิเคชันนั่นเอง แต่อย่างไรก็ตามค่าความต้านทานการเสื่อมสภาพของยางสกิม LPSR พบร่วมค่าต่ำกว่ายางสกิมธรรมดามากน้อย ซึ่งอธิบายได้ดังในหัวข้อ 4.2.2.2 ไว้แล้ว

จากการทดลองทั้งหมดที่กล่าวมา แสดงว่าการทำการทำปฏิกิริยาด้วย NaOH สามารถลดปริมาณโปรตีนและการกำจัดลิปิดที่ละลายได้ (solubilized lipid) บางชนิดที่อยู่บนพื้นผิวอนุภาคยางได้อย่างมีประสิทธิภาพ นอกจากนั้นการที่จุดเชื่อมที่ทำให้เกิดกึ่งก้านในไมเลกุลยางบางส่วนที่การถูกกำจัดออกไปเนื่องจากการทำปฏิกิริยาสะพอนนิฟิเคชัน ส่งผลทำให้ยางสกิม LPSR มีค่าความหนืดที่ต่ำ ทำให้ง่ายต่อการนำไปใช้งานหรือใช้พลังงานน้อยลงการประรูป (Nawamawat K., 2002 and Nawamawat K. et al., 2008)



รูปที่ 4.19 ภาพแสดงการเปรียบเทียบระดับสีในยางสกิมธรรมด้า (A) ยางสกิม LPSR (B) และยางธรรมชาติเกรดการค้า STR 5L (C)

ตารางที่ 4.21 ปริมาณในโตรเจน ปริมาณเอสเทอร์ของกรดไขมัน ปริมาณเก้า และปริมาณเจลในยางสกิมธรรมด้าและยางสกิม LPSR

Properties	Normal skim rubber	LPSR
Nitrogen content (%wt.)	2.46±0.06	0.082±0.02
Fatty acid ester content (mmol/kg)	13.76±0.07	3.16±0.02
Ash content (%wt.)	0.94±0.09	0.55±0.07
Gel content (%wt.)	18.42±1.36	7.02±1.79

ตารางที่ 4.22 สมบัติทางกายภาพของยางสกิมธรรมด้า และยางสกิม LPSR

Properties	Normal skim rubber	LPSR
Mooney viscosity	105±12	84±5
Green strength (MPa)	0.80	0.23
Wallace plasticity		
P <sub>o</sub>	56.5±11.5	48.0±1
PRI	36.5±8.1	26.4±1.5
Color index (lovibond no.)	16±0.0	6.5±1.0

#### 4.2.3.2 สมบัติเชิงกลของยางสกิม LPSR เปรียบเทียบกับยาง STR 5L และ IR 2200 โดยการวัดค่าไนซ์ด้วยเบอร์ออกไซด์

จากการพัฒนาและปรับปรุงสมบัติของยางสกิมให้มีคุณภาพและมีความบริสุทธิ์โดยกระบวนการกำจัดโปรตีนด้วยการทำปฏิกิริยาสะพอนนิฟิเคชัน ทำให้สามารถพัฒนายางสกิม LPSR ที่มีปริมาณไนโตรเจนและสิ่งปนเปื้อนที่ไม่ใชยางตា ทำให้มีสมบัติทางกายภาพที่ดีขึ้นในหัวข้อ 4.2.3.1 จึงนำไปสู่การศึกษาและพัฒนาเพื่อสร้างมูลค่าเพิ่มให้กับยางสกิม LPSR โดยการศึกษาสมบัติเชิงกลของยางสกิม LPSR เมื่อทำการวัดค่าไนซ์ด้วยเบอร์ออกไซด์และเปรียบเทียบกับยาง STR 5L และ IR 2200 เพื่อการนำไปประยุกต์ใช้ประโยชน์ในด้านผลิตภัณฑ์ทางด้านการ แพทย์อื่นๆ ในการทดลองนี้ได้ทำการศึกษาการวัดค่าไนซ์ด้วยเบอร์ออกไซด์ โดยใช้ระบบการวัดค่าไนซ์ด้วยไดคิวเมิลิเบอร์ออกไซด์ (dicumyl peroxide; DCP)

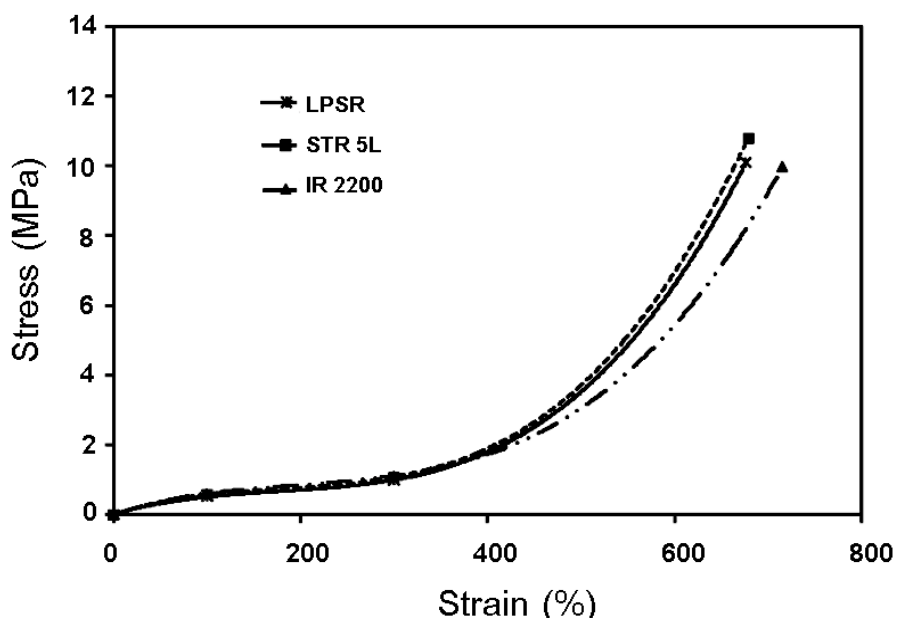
จากตารางที่ 4.23 พบว่าความหนาแน่นการเชื่อมโยงของยางวัลค่าไนซ์ STR 5L และ IR 2200 คือ  $3.85 \times 10^{-5}$  และ  $3.77 \times 10^{-5}$  mole/g ตามลำดับ ในขณะที่ยางวัลค่าไนซ์ LPSR มีความหนาแน่นการเชื่อมโยงต่ำกว่ายาง STR 5L และ IR 2200 โดยมีค่าประมาณ  $3.16 \times 10^{-5}$  mole/g และยังพบว่า ค่าความแข็ง (hardness) และ ค่าความต้านทานการต่อสีกขัด (tear strength) ของยางวัลค่าไนซ์ยางสกิม LPSR มีค่าใกล้เคียงกับยางวัลค่าไนซ์ STR 5L และ IR 2200 โดยมีค่าประมาณ 34 (shore A) และ 33 kN/m ตามลำดับ อย่างไรก็ตามสมบัติการทนต่อแรงดึง (tensile strength) ของยางวัลค่าไนซ์ เมื่อเปรียบเทียบจากกราฟ ความเค้น-ความเครียด (stress-strain curve) ของยางวัลค่าไนซ์ ที่เตรียมจากยางสกิม LPSR ยาง STR 5L และ IR 2200 โดยทดสอบที่อัตราเร็ว 500 mm/min ในรูปที่ 4.20 พบว่ายางสกิม LPSR มีค่าใกล้เคียงกับยาง STR 5L แต่มีค่าความยืดสูงสุด ณ จุดขาด (elongation at break) ต่ำกว่า และ

มีค่าทนต่อแรงดึงสูงกว่ายาง IR 2200 ซึ่งแสดงถึงสมบัติและลักษณะโครงสร้างโมเลกุลของยาง สกิม LPSR ที่คล้ายกับยางสังเคราะห์พอลิไอโซพรีน

จากการทดลองดังที่กล่าวมาในข้างต้น แสดงให้เห็นได้อย่างชัดเจนว่ายาง สกิม LPSR ที่ผ่านการทำให้บริสุทธิ์ขึ้นด้วยการทำปฏิกิริยาสะพอนนิฟิเดชัน สามารถแสดงสมบัติ ที่ดีได้เทียบเท่ากับยาง STR 5L และ IR 2200 และสามารถนำไปทดสอบการใช้ประโยชน์จาก ยาง STR 5L และ IR 2200 ได้เป็นอย่างดี

ตารางที่ 4.23 ความหนาแน่นของการเชื่อมโยงและสมบัติเชิงกลของยางสกิม LPSR เมื่อเปรียบ เทียบกับยาง STR 5L และ IR 2200 โดยการวัดค่าไนซ์ด้วยเปอร์ออกไซด์

Properties	LPSR	STR 5L	IR 2200
Crosslink density (mole/g)( $10^{-5}$ )	3.16±0.05	3.77±0.08	3.85±0.01
Hardness (Shore A)	34±0.4	34±0.4	35.5±0.2
Tear strength (kN/m)	33.1±0.4	34.15±0.4	34.62±1.8



รูปที่ 4.20 กราฟเปรียบเทียบความเค้น-ความเครียดของยางวัลคานิซ์ ที่เตรียมจากยางสกิม LPSR ยาง STR 5L และ IR 2200 โดยทดสอบที่อัตราเร็ว 500 mm/min

#### 4.2.4 สรุปการทดลองการศึกษากระบวนการเตรียมยางสกิม LPSR โดยใช้กระบวนการทำปฏิกิริยาด้วยสารละลายนโซเดียมไฮดรอกไซด์

จากการทดลองทั้งหมดที่กล่าวมาในหัวข้อที่ 4.2 สามารถเตรียมยางสกิม LPSR ด้วยกระบวนการทำปฏิกิริยาสะพอนนิฟิเคชันด้วยสารละลายนาโนโซเดียมไฮดรอกไซด์ NaOH พบว่าสามารถลดปริมาณในตระเวน และองค์ประกอบอื่นๆที่ไม่ใช้ยางได้อย่างมีประสิทธิภาพ โดยพบว่าประสิทธิภาพในการเตรียมยางสกิม LPSR ที่มีค่าปริมาณในตระเวน และสีของยางสกิมต่ำลง ขึ้นอยู่กับปริมาณความเข้มข้นของสารละลายนาโนโซเดียมไฮดรอกไซด์ NaOH ระยะเวลาและอุณหภูมิในการทำปฏิกิริยาสะพอนนิฟิเคชัน ซึ่งสภาวะที่เหมาะสมในการเตรียมยางสกิม LPSR ที่มีคุณภาพ คือ สภาวะการทำปฏิกิริยาที่อุณหภูมิ  $50^{\circ}\text{C}$  ความเข้มข้น  $3\%$  w/v NaOH ระยะเวลา  $5\text{ h}$  ที่สภาวะอุณหภูมิ  $70^{\circ}\text{C}$  ความเข้มข้น  $2\%$  w/v NaOH ระยะเวลา  $3\text{ h}$  และ ที่สภาวะอุณหภูมิห้อง ความเข้มข้น  $3\%$  w/v NaOH ระยะเวลา  $48\text{ h}$  นอกจากนี้ยังสามารถปรับปรุงสมบัติการทนต่อความร้อนของยางสกิม LPSR ได้โดยการเพิ่มสารพื้นออลิค แอนติออกซิแดนท์ ( $1\%$  w/v) เช่น BHT TBMTBP และ MBETB ก่อนการอบแห้งได้อย่างมีประสิทธิภาพ จากการศึกษาการวัดค่าไนซ์ด้วยเปอร์ออกไซด์ในยางสกิม LPSR พบว่าสามารถให้สมบัติทางกายภาพและสมบัติเชิงกลได้เทียบเท่ากับยาง STR 5L และ IR 2200 ซึ่งอาจสามารถนำไปใช้เพื่อทดสอบการใช้ประโยชน์จากยาง STR 5L และ IR 2200 และสามารถนำยางสกิม LPSR ที่เตรียมได้นี้มาใช้เป็นวัสดุประเภทกาว

#### 4.3 การศึกษาและพัฒนาวิธีการเตรียมการชนิดไวต่อแรงดันจากยางสกิม LPSR

ยางธรรมชาติจัดเป็นเป็นอิเล็กทรอนิกส์โดยต้องนำยางธรรมชาติที่อยู่ในรูปยางแผ่นรมควันมาบดเพื่อลดน้ำหนักโมเลกุล หลังจากนั้นจึงนำมาละลายในตัวทำละลายที่เหมาะสมก่อนผสมกับเทคโนโลยีฟีออร์เรซิน (tackifier resin) และสารตัวเติมอื่นๆในลำดับต่อไป อย่างไรก็ตามพบว่ายางธรรมชาติโดยทั่วไปมีปัญหาที่สำคัญคือ การแข็งตัวของยางระหว่างการเก็บ โดยค่าความหนืดของยางค่อยๆเพิ่มขึ้นเมื่อเก็บยางไว้เป็นระยะเวลานาน ซึ่งส่งผลต่อการใช้พลังงานที่สูงมากในการลดน้ำหนักโมเลกุลของยาง เนื่องจากการเกิดโครงสร้างแบบกึ่งก้านในยางธรรมชาติ อันมีสาเหตุเกิดจากการดีไซน์ที่ติดอยู่บนโมเลกุลยางธรรมชาติ (Tangpakdee J. et al., 1997) จากการวิจัยที่ผ่านมาพบว่า ยางสกิมไม่พบกรดไขมันจึงนำไปสู่การสันนิษฐานว่ายางสกิมไม่มีโครงสร้างแบบกึ่งก้าน ไม่มีฟอสโฟลิปิดที่ตำแหน่งที่ปลายสายโซ่โมเลกุล และมีความว่องไวต่อการเกิดปฏิกิริยาในการต่อเติมโมเลกุล แต่ประกอบไปด้วยโมเลกุลที่เป็นสายโซ่ตรง (Ohya N. et al., 2000)

จากการพัฒนาและปรับปรุงสมบัติของยางสกิมให้มีคุณภาพและมีความบริสุทธิ์ โดยกระบวนการกำจัดโปรตีนด้วยการทำปฏิกิริยาสารอนิฟิเคชัน ทำให้สามารถพัฒนาอย่างสกิม LPSR ที่มีปริมาณไนโตรเจนและสิ่งปนเปื้อนที่ไม่ใช้ยางต่า ทำให้มีสมบัติทางกายภาพที่ดีขึ้น ในหัวข้อ 4.2. จึงนำไปสู่การศึกษาและพัฒนาเพื่อสร้างมูลค่าเพิ่มให้กับยางสกิม LPSR โดยการศึกษาและพัฒนาวิธีการเตรียมการชนิดไวต่อแรงดัน หรือการ PSA จากยางสกิม LPSR ทั้งนี้พบว่า ยางสกิมเมื่อผ่านการทำให้บริสุทธิ์และกำจัดองค์ประกอบอื่นๆที่ไม่ใช้ยางแล้ว มีสมบัติการละลายในตัวทำละลายที่ดีมากกว่ายางธรรมชาติโดยทั่วไป จึงเหมาะสมสำหรับการประยุกต์ใช้เป็นวัตถุดิบในการผลิตเทปการชนิดไวต่อความดัน (Nawamawat, K. et al., 2008)

#### 4.3.1 การลดน้ำหนักโมเลกุลยางสกิมโดยวิธีบดทางกล

ในการทดลองนี้ได้เลือกการทำปฏิกิริยาสารอนิฟิเคชันโดยวิธีการแซ่ยางสกิมในสารละลาย 3%(w/v) NaOH ที่สภาวะอุณหภูมิห้อง โดยใช้ระยะเวลาในการทำปฏิกิริยาประมาณ 48 h มาใช้ในการศึกษา (จากหัวข้อ 4.2.3) พบว่ายางสกิม LPSR มีน้ำหนักโมเลกุลประมาณ  $1.46 \times 10^6$  g/mole และในการเตรียมเป็นการ PSA จำเป็นต้องทำการบดเพื่อลดมวลโมเลกุลยางสกิม เพื่อเพิ่มประสิทธิภาพในการละลายให้ดียิ่งขึ้น ทำให้สามารถลดปริมาณการใช้ตัวทำละลายในการละลายยางและเป็นการง่ายในการเพิ่มปริมาณเนื้อยาง (rubber base) ในสารละลายการ PSA

ในการทดลองนี้ทำการศึกษาการเปลี่ยนแปลงน้ำหนักโมเลกุลของยางสกิมเมื่อทำการบดด้วยเครื่องผสมยางแบบสองลูกกลิ้ง (two roll mill) ที่สภาวะอุณหภูมิ 30-40°C โดยใช้ระยะเวลา 2-10 min

##### 4.3.1.1 ผลต่อหัวหนักโมเลกุลและการกระจายตัวของหัวหนักโมเลกุล

ผลการลดน้ำหนักโมเลกุลของยางสกิม LPSR ด้วยวิธีทางกล ในตารางที่ 4.24 พบว่าเมื่อทำการบดยางสกิม LPSR โดยศึกษาเปรียบเทียบผลของการเติมสารป้องกันการเสื่อมสภาพชนิด BHT และไม่เติม BHT ระหว่างการบด ที่ระยะเวลาตั้งแต่ 2-10 min พบว่า หัวหนักโมเลกุลโดยเฉลี่ยของยางสกิม LPSR ลดลงจาก  $1.46 \times 10^6$  g/mole เป็น  $0.37-0.48 \times 10^6$  g/mole นั่นคือลดลงได้ถึงประมาณ 70% โดยหัวหนัก เมื่อใช้ระยะเวลา 10 min และพบว่าประสิทธิภาพในการบดเริ่มคงที่เมื่อระยะเวลาในการบดผ่านไปประมาณ 6 min โดยมีการเปลี่ยนแปลงของหัวหนักโมเลกุลที่ช้าลง นอกจากนี้ยังพบว่าหัวหนักโมเลกุลโดยเฉลี่ยเชิงจำนวนของยางสกิม LPSR ทั้งสองกรณี ที่ผ่านการบดไม่มีการเปลี่ยนแปลงอย่างชัดเจน ซึ่งแตกต่างจากค่าการกระจายตัวของหัวหนักโมเลกุล โดยพบว่าการกระจายตัวของหัวหนักโมเลกุลของยางสกิม

LPSR ลดลงอย่างชัดเจนจาก 4.8 เป็น 2.20-2.06 เมื่อใช้ระยะเวลาในการบดประมาณ 10 min กล่าวคือ ยางสกิม LPSR ที่ผ่านการบดมีการกระจายตัวของน้ำหนักโมเลกุลที่แคบลง และดงให้เห็นได้ว่า ยางสกิม LPSR ที่ผ่านการบดแล้วมีน้ำหนักโมเลกุลค่อนข้างสม่ำเสมอ ซึ่งเป็นผลดีต่อการนำไปใช้งาน อย่างไรก็ตามการเติมสารป้องกันการเสื่อมสภาพชนิด BHT ส่งผลต่อการลดลงของน้ำหนักโมเลกุลของยางสกิม LPSR เล็กน้อย โดยพบว่ามีการลดลงของน้ำหนักโมเลกุลที่ใกล้เคียงกันกับการไม่เติม BHT ระหว่างการบด

ตารางที่ 4.24 น้ำหนักโมเลกุลและการกระจายตัวของน้ำหนักโมเลกุลของยางสกิม LPSR เมื่อทำการบดด้วยเครื่องผสมยางแบบสองลูกกลิ้ง

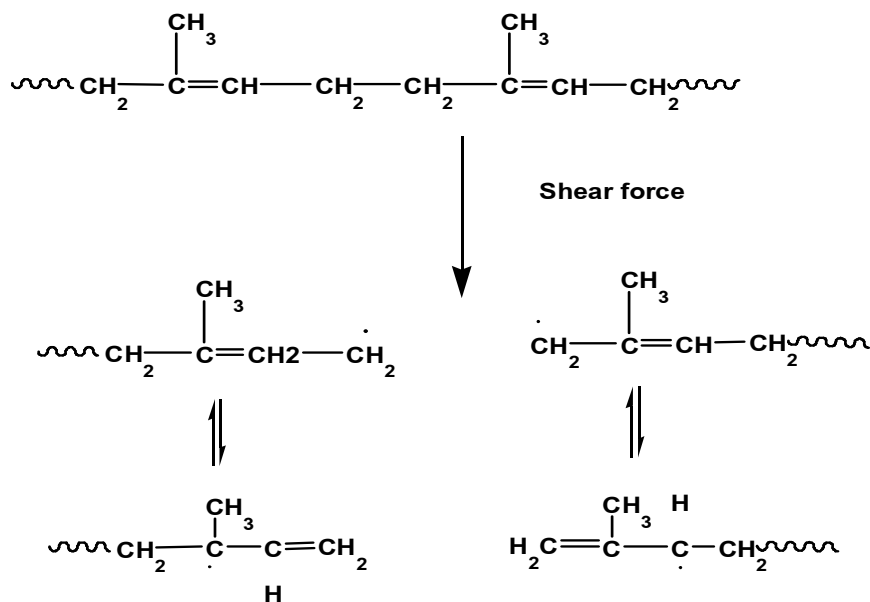
Mastication time (min)	LPSR no antioxidant			LPSR (BHT 1phr)		
	$\overline{M}_w(x10^6)$	$\overline{M}_n(x10^5)$	MWD	$\overline{M}_w(x10^6)$	$\overline{M}_n(x10^5)$	MWD
	g/mole	g/mole		g/mole	g/mole	
0	1.46	3.04	4.80	1.46	3.04	4.80
2	0.88	2.44	3.60	-	-	-
4	0.79	2.88	4.22	0.71	2.35	3.02
6	0.49	2.18	2.26	0.52	2.98	1.74
8	0.40	3.24	1.23	-	-	-
10	0.37	1.68	2.20	0.48	2.34	2.06

#### 4.3.1.2 ผลต่อค่าความหนืด ค่าความอ่อนตัวเริ่มต้นและปริมาณเจล

จากการที่ 4.25 พบร่วมกันว่ายางสกิม LPSR มีค่าความหนืด และค่าความอ่อนตัวเริ่มต้น ประมาณ 105 หน่วย และ 48.1 ตามลำดับ และเมื่อทำการบดยางสกิม LPSR ด้วยเครื่องผสมยางแบบสองลูกกลิ้ง ที่อุณหภูมิการบด 30-40°C ค่าความหนืด ค่าความอ่อนตัวเริ่มต้น และปริมาณเจล มีแนวโน้มการลดลงอย่างเห็นได้ชัด โดยยางสกิม LPSR ที่เติมและไม่เติมสารป้องกันการเสื่อมสภาพชนิด BHT มีค่าความหนืด และค่าความอ่อนตัวเริ่มต้นลดลงประมาณ 62-70 หน่วย และ 22-24 ตามลำดับ เมื่อใช้ระยะเวลาในการบดประมาณ 10 min ในกรณียางสกิม LPSR ที่เติมสารป้องกันการเสื่อมสภาพชนิด BHT พบร่วมกับค่าความหนืดต่ำกว่ายางสกิม LPSR ที่ไม่เติม BHT แต่มีค่าความอ่อนตัวเริ่มต้นที่สูงกว่ายางสกิม LPSR ที่ไม่เติม BHT เล็กน้อย อย่างไรก็ตามเห็นได้ชัดเจนว่า การเติมสารป้องกันการเสื่อมสภาพชนิด BHT ในขณะทำการบดไม่ส่งผลต่อการเปลี่ยนแปลงความหนืดและค่าความอ่อนตัวเริ่มต้นของยางสกิม LPSR

มaganak เนื่องจากพบว่าประสิทธิภาพในการลดลงของค่าความหนืดและค่าความอ่อนตัวเริ่มต้นเริ่มจะคงที่ เมื่อใช้ระยะเวลาในการบดมากกว่า 6 min ซึ่งสอดคล้องกับในกรณีการลดลงของน้ำหนักโมเลกุลของยางสกิม LPSR

เมื่อทำการวิเคราะห์หาปริมาณเจลในยางสกิม LPSR ที่ผ่านการบดแล้ว พบว่า ที่ระยะเวลาในการบดตั้งแต่ประมาณ 4-10 min มีปริมาณเจลลดลงเกือบเป็นศูนย์ แสดงให้เห็นว่าส่วนที่ทำให้เกิดการเชื่อมโยงในโมเลกุลยางอาจถูกทำลายลง สอดคล้องกับค่าความหนืดและค่าความอ่อนตัวเริ่มต้นที่ลดลง เนื่องจากการบดทำให้ส่วนที่เชื่อมโยงในโมเลกุลยางถูกทำลาย และทำให้สายโซ่โมเลกุลในยางสกิม LPSR สั้นลงนั่นเอง ดังแสดงในรูปที่ 4.21

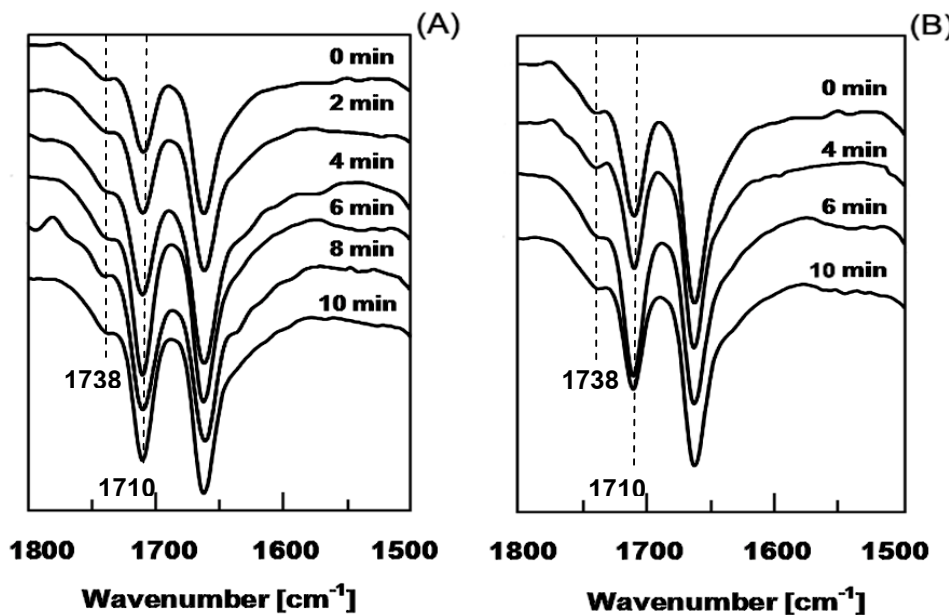


รูปที่ 4.21 กลไกการเกิดการถูกทำลายของโมเลกุลยางธรรมชาติเมื่อผ่านการบดด้วยวิธีทางกล (Ceresa R.J., 1978)

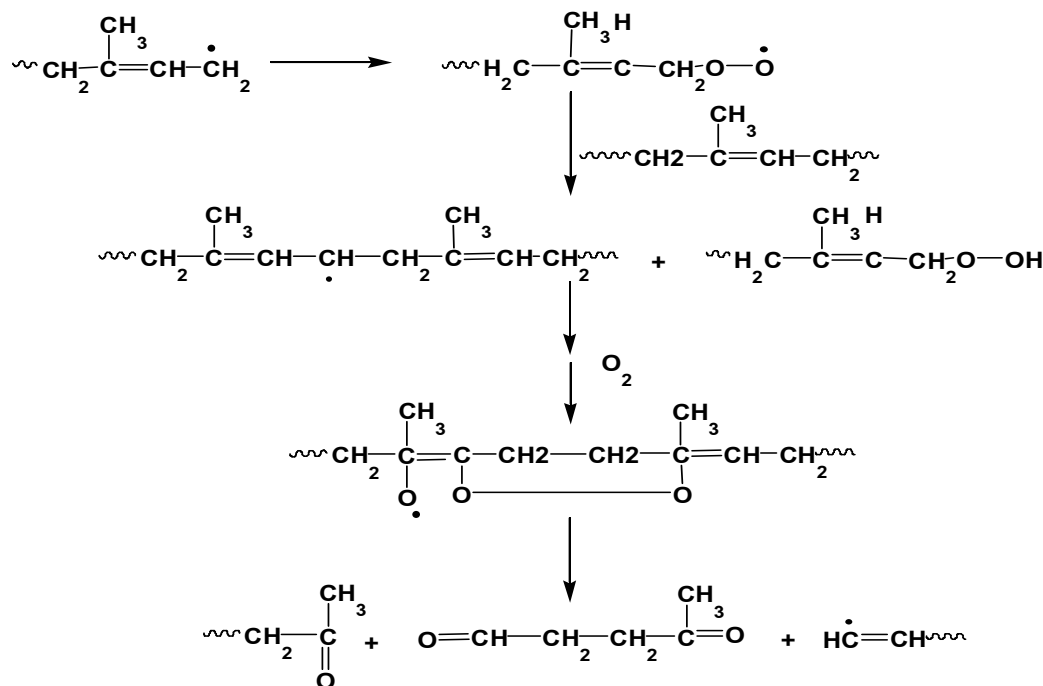
ตารางที่ 4.25 ค่าความหนืด ค่าความอ่อนตัวเริ่มต้นและปริมาณเจลของยางสกิม LPSR เมื่อทำการบดด้วยเครื่องผสมยางแบบสองลูกกลิ้ง

Mastication time (min)	LPSR no antioxidant			LPSR (BHT 1phr)		
	ML1+4	Po	%Gel	ML1+4	Po	%Gel
0	105	48.1	7.02	105	48.1	7.02
2	101	34.8	1.72	91	32.5	1.36
4	93	28.2	~0	76	29.3	~0
6	74	23.7	~0	70	24.7	~0
8	70	22.3	~0	62	24.0	~0
10	66	21.1	~0	58	23.4	~0

จากการวิเคราะห์ FTIR spectra ของยางสกิม LPSR ที่ผ่านการบดด้วยวิธีทางกลดังรูปที่ 4.22 พบว่าปราภพีคที่ตำแหน่งเลขคลื่นที่  $1710\text{ cm}^{-1}$  และ  $1738\text{ cm}^{-1}$  ของอัลดิไฮด์ (aldehyde group) และเอสเทอร์ของกรดไขมัน (fatty acid ester group) คล้ายคลึงกันทั้งในกรณี ยางสกิมที่เติมและไม่ได้เติม BHT antioxidant นอกจากนี้ยังพบว่าที่ตำแหน่ง  $1710\text{ cm}^{-1}$  ปราภพีคสูงขึ้นอย่างชัดเจน เมื่อทำการบดเป็นระยะเวลาที่นานขึ้นในการนีของยางสกิม LPSR ที่ไม่ได้ทำการเติม BHT antioxidant ขณะทำการบด แสดงให้เห็นว่าเกิดการออกซิเดชัน (oxidation) ในโมเลกุลของยางสกิม LPSR ขณะที่ทำการบด และจาก FTIR spectra พบว่าปราภพีคของอัลดิไฮด์อยู่ก่อนแล้วในยางสกิม LPSR ที่ยังไม่ได้ผ่านการบดอาจเป็นผลเนื่องมาจากการกระบวนการผลิตยางสกิมที่ต้องผ่านการตัดบดหลายครั้ง หรืออาจเป็นผลข้างเคียงจากการทำปฏิกิริยาสะพอนฟิเดชันทำให้มีโอกาสเกิดการออกซิเดชันได้ง่าย และเมื่อทำการบดยางสกิม LPSR นานขึ้นจึงพบว่ามีปริมาณอัลดิไฮด์ที่สูงขึ้น ซึ่งได้มีการวิจัย (โสภา อิสรະ, 2545) พบว่าในขณะที่ทำการบดยางธรรมชาตินั้น เมื่อยางถูกบดทำให้เกิดอนุมูลอิสรະ และเมื่อทำการปฏิกิริยากับออกซิเจนแล้ว เกิดเป็นหมู่อัลดิไฮด์ และ คิโตนที่ปลายสายโซ่มोเลกุลยางมากขึ้น ดังรูปที่ 4.23 อย่างไรก็ตามการเติม BHT antioxidant เป็นอีกชีวิทัศน์ที่ป้องกันไม่ให้เกิดการออกซิเดชันเพิ่มสูงขึ้นในขณะทำการบดยางสกิม LPSR



รูปที่ 4.22 FTIR spectra ของยางสกิม LPSR ที่ทำการบดด้วยวิธีทางกล (A) LPSR ที่ไม่ได้เติม BHT antioxidant และ (B) LPSR ที่เติม BHT antioxidant ปริมาณ 1 phr



รูปที่ 4.23 กลไกการเกิดปฏิกิริยาออกซิเดชันในยางธรรมชาติเมื่อผ่านการบด (Bevilacqua E.M., 1955 and Barnard D., 1963)

### 4.3.2 การเตรียมการ PSA จากยางสกิม LPSR และจากพอลิเมอร์ผสม LPSR/PVA

ในการทดลองนี้เป็นการศึกษาการเตรียมการ PSA จากยางสกิม LPSR และจาก พอลิเมอร์ผสมจาก LPSR และ PVA (LPSR/PVA blend) โดยเริ่มจากการศึกษาความสามารถในการละลายของยางสกิม LPSR เพื่อให้ได้สภาวะความเข้มข้นที่เหมาะสมสำหรับการเตรียมการ จากนั้นทำการศึกษาการปรับปรุงสมบัติการ PSA จากยางสกิม LPSR ด้วยสารละลาย PVA โดยศึกษาเทคนิคการเตรียมและความสามารถในการเข้ากันได้ของยาง LPSR และ PVA ก่อนทำการเตรียมเป็นการ PSA ต่อไป

#### 4.3.2.1 ความสามารถในการละลายของยางสกิม LPSR ที่ผ่านการลดน้ำหนักโมเลกุลด้วยวิธีบดทางกลในตัวทำละลายโถลูอีน

โดยปกติแล้วในโรงงานผลิตการ PSA นำยางธรรมชาติมาบดเพื่อลดน้ำหนักโมเลกุล หลังจากนั้นจึงนำไปละลายในตัวทำละลายที่เหมาะสมก่อนทำการผสมกับแท็คคิไฟเออร์เรชินและสารตัวเติมอื่นๆในลำดับต่อไป และในการทดลองนี้หลังจากที่ทำการศึกษาประสิทธิภาพในการลดน้ำหนักโมเลกุลของยางสกิม LPSR และ การทดสอบความสามารถในการละลายของยางในตัวทำละลายที่เหมาะสมจึงมีความสำคัญเป็นอย่างมากต่อกระบวนการเตรียมการ PSA โดยทำการศึกษาประสิทธิภาพในการละลายยางสกิม LPSR ของตัวทำละลายโถลูอีนที่ความเข้มข้นต่างๆ ที่สภาวะอุณหภูมิห้อง

เมื่อทำการทดสอบความสามารถในการละลายยางสกิม LPSR ที่ผ่านการบดแล้ว ที่ความเข้มข้นต่างๆกัน ให้ผลตั้งตราช้างที่ 4.26 ซึ่งพบว่ายางสกิม LPSR ที่ผ่านการบดที่ระยะเวลา 6-10 min ซึ่งมีน้ำหนักโมเลกุลโดยเฉลี่ยอยู่ในช่วงประมาณ  $0.8-0.4 \times 10^6$  g/mole สามารถละลายในตัวทำละลายโถลูอีนได้ดีที่สุด โดยสามารถละลายได้ดีที่ความเข้มข้นสูงสุดถึง 15-20% w/v ซึ่งใช้ระยะเวลาในการละลายประมาณ 12-24 h ในขณะที่ยางสกิม LPSR ที่ไม่ผ่านการลดน้ำหนักโมเลกุลด้วยการบดด้วยวิธีทางกลมีน้ำหนักโมเลกุลประมาณ  $1.46 \times 10^6$  g/mole สามารถละลายในตัวทำละลายโถลูอีนได้ดีที่ความเข้มข้นสูงสุดเพียง 5% w/v และใช้เวลาในการละลายถึง 24 h อย่างไรก็ตามการที่ยางสกิม LPSR สามารถละลายได้ดีที่ปริมาณความเข้มข้นสูงๆ สามารถเพิ่มประสิทธิภาพให้กับกระบวนการเตรียมการ และลดความสิ้นเปลืองของปริมาณการใช้ตัวทำละลายซึ่งทำให้ต้นทุนในการผลิตต่ำลง

ตารางที่ 4.26 ความสามารถในการละลายของยางสกิม LPSR ที่ผ่านการลดน้ำหนักโมเลกุลด้วยวิธีบดทางกลในตัวทำละลาย troluene

Mastication time (min)	Solubility of LPSR in toluene			
	5%w/v	10%w/v	15%w/v	20%w/v
0	*Good	***Poor(swell)	Poor(swell)	Poor(swell)
2	Good	Good	Poor(swell)	Poor(swell)
4	Good	Good	Good	Good
6	**Excellence	Excellence	Excellence	Good
8	Excellence	Excellence	Excellence	Good
10	Excellence	Excellence	Excellence	Good

\*Excellence: completely dissolved by overnight

\*\*Good: completely dissolved by 24h

\*\*\*Poor: not completely dissolved due to swelling or gelling occurrence

#### 4.3.2.2 ความสามารถในการเข้ากันของพอลิเมอร์ผสม LPSR/PVA

##### 1. ลักษณะทางกายภาพและความหนืดของพอลิเมอร์ผสม LPSR/PVA

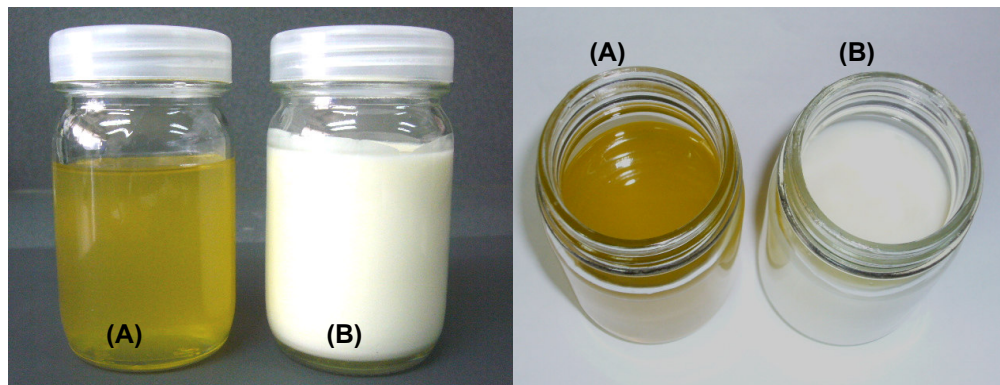
จากตารางที่ 4.27 เป็นลักษณะทางกายภาพของพอลิเมอร์ผสมระหว่างสารละลายยางสกิม LPSR ในตัวทำละลาย troluene ที่ความเข้มข้น 10 15 และ 20%w/v และสารละลาย 10%wt. PVA ดังในรูปที่ 4.24 โดยแปรปริมาณ PVA ที่ 10-50 phr ทำการผสมด้วยเครื่องผสมแบบปั่นความเร็วสูง (high-speed homogenizer) ที่ความเร็ว 14,000 rpm ระยะเวลาประมาณ 15 min พบว่าที่ความเข้มข้นสารละลายยางสกิม LPSR ที่ 10 และ 15%w/v LPSR สามารถเตรียมพอลิเมอร์ผสม LPSR/PVA แบบสารละลายให้มีลักษณะเป็นอิมัลชัน ได้ที่ปริมาณ 10-30 phr PVA และที่ความเข้มข้น 20%w/v LPSR ที่ปริมาณ 10 phr PVA อย่างไรก็ตาม พบว่าเมื่อใช้ปริมาณ PVA มากกว่า 30 phr ของพอลิเมอร์ผสมที่ได้มีลักษณะเป็นครีมเหนียวไม่เหมาะสมสำหรับการเตรียมการ PSA

จากการทดสอบค่าความหนืดของสารละลายการพอลิเมอร์ผสม LPSR/PVA แบบอิมัลชัน ดังแสดงผลทดสอบในตารางที่ 4.28 พบว่าปริมาณ PVA ที่เพิ่มขึ้นส่งผลต่อค่าความหนืดเป็นอย่างมาก ที่ความเข้มข้นสารละลายยางสกิม LPSR 10 และ 15%w/v เมื่อเปรียบปริมาณ PVA 10-50 phr พบว่ามีค่าความหนืดประมาณ 300-800 cP และ 1100-7000 cP

ตามลำดับ และที่ความเข้มข้นสารละลายยางสกิม LPSR 20%w/v ที่ปริมาณ PVA 10-30 phr มีค่าความหนืดประมาณ 3400-11400 cP ทั้งนี้เนื่องจากของพอลิเมอร์ผสมมีลักษณะเป็นการผสมแบบน้ำในน้ำมัน (water in oil) โดยใช้สารละลาย PVA ทำหน้าที่เป็นสารปรับแต่งในสารละลายยางสกิม LPSR และเป็นอิมัลซิฟายเออร์ (emulsifier) เพื่อให้เกิดเป็นอิมัลชัน การเติมปริมาณ PVA ลงไปในสารละลายยางสกิม LPSR ปริมาณมาก ๆ จึงทำให้อนุภาคนองคอลลอยด์ (colloid) เกิดการเกาะกันเป็นกลุ่ม (aggregation หรือ flocculation) จนมีขนาดใหญ่ขึ้น และเคลื่อนที่ได้ช้าลง ส่งผลให้สารละลายอิมัลชันของพอลิเมอร์ผสมที่ได้มีความหนืดสูงขึ้น (Hunter R.J., 1989)

ตารางที่ 4.27 ลักษณะทางกายภาพของพอลิเมอร์ผสม LPSR/PVA solution blend

Amount of PVA (phr)	Characteristic of LPSR/PVA blend		
	10% LPSR	15% LPSR	20% LPSR
10	Emulsion	Emulsion	Emulsion
20	Emulsion	Emulsion	Cream
30	Emulsion	Emulsion	Cream
40	Cream	Cream	Cream
50	Cream	Cream	Cream



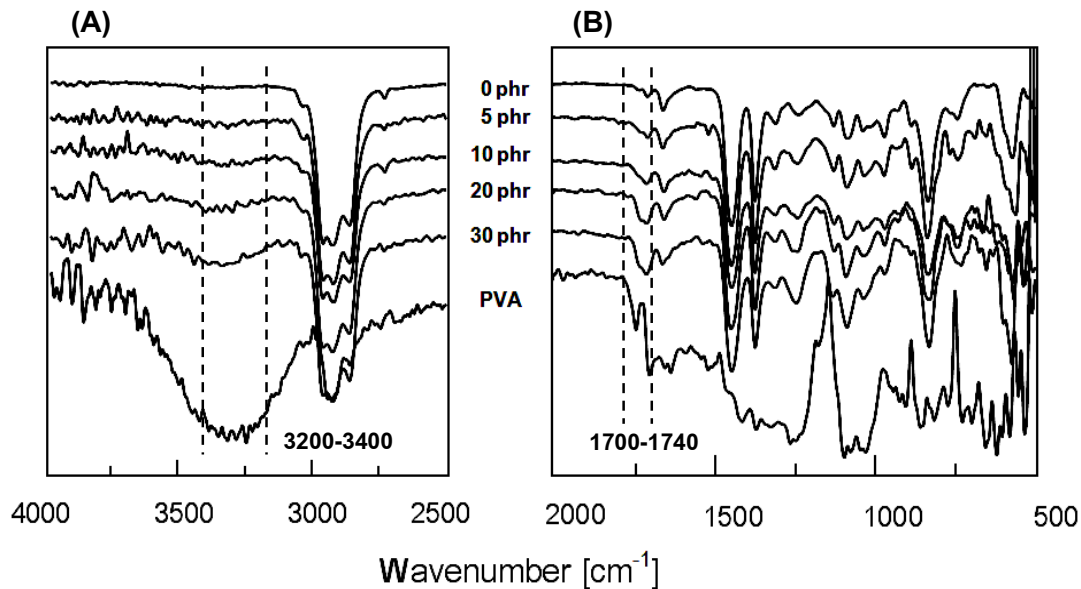
รูปที่ 4.24 ภาพการเบรี่ยบเทียบลักษณะทางกายภาพของสารละลายยางสกิม LPSR (15%w/v) (A) และสารละลายอิมัลชันของพอลิเมอร์ผสม LPSR/PVA 20 phr (B)

ตารางที่ 4.28 ค่าความหนืดของสารละลายนิมลชันพอลิเมอร์ผสม LPSR/PVA

Amount of PVA (phr)	Viscosity of LPSR/PVA emulsion (cP)		
	10% LPSR	15% LPSR	20% LPSR
10	316±2	1127±6	3425±23
20	432±2	1852±5	6172±50
30	472±2	2145±9	11373±64
40	633±3	3321±9	-
50	793±3	7050±10	-

## 2. อันตรกิริยาระหว่างพอลิเมอร์ผสม LPSR/PVA

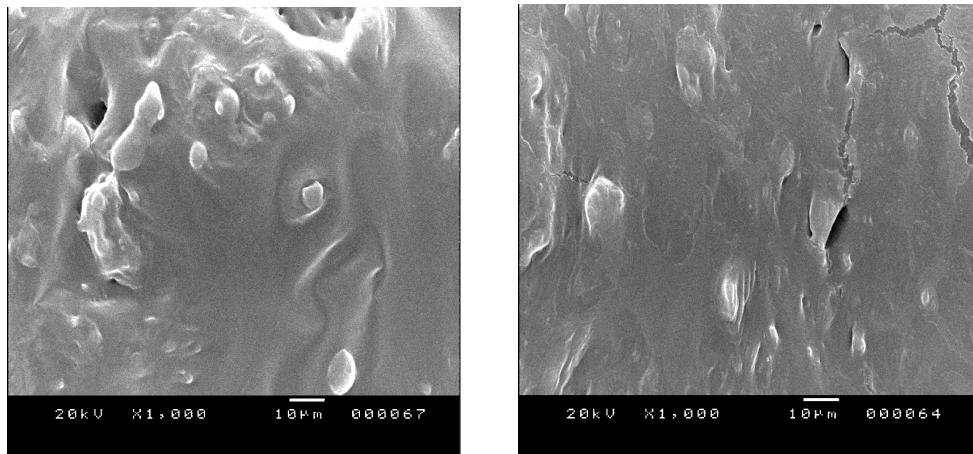
จากการวิเคราะห์สเปกตรัมอินฟราเรด (FTIR spectra) ของพอลิเมอร์ผสม LPSR/PVA เมื่อทำการแปรปริมาณ PVA ที่ 0 5 10 20 และ 30 phr ตามลำดับ ซึ่งแสดงผลในรูปที่ 4.25 พบว่ามีการเปลี่ยนแปลงของสเปกตรัมอินฟราเรดที่ช่วงตำแหน่งเลขคณิต 3200-3400  $\text{cm}^{-1}$  (A) และ 1700-1740  $\text{cm}^{-1}$  (B) โดยพบว่า เมื่อเพิ่มปริมาณ PVA pragug สัญญาณพีคสูงขึ้นอย่างชัดเจนที่ช่วงตำแหน่ง 3200-3400  $\text{cm}^{-1}$  และที่ช่วงตำแหน่ง 1700-1740  $\text{cm}^{-1}$  ซึ่งอาจเป็นผลจากปริมาณหมู่ไฮดรอกซิล (hydroxyl group) และ หมู่อะซิเตต (acetate group) จากปริมาณ PVA ที่เพิ่มขึ้นจึงทำให้พีคเกิดการรวมกันกว้างขึ้นในช่วงดังกล่าว อย่างไรก็ตามอาจเป็นไปได้ว่ามีการเกิดอันตรกิริยาระหว่างยางสกิม LPSR และ PVA ได้บางส่วน ซึ่งอาจต้องยืนยันโดยใช้เทคนิกอื่นๆ ในการวิเคราะห์ต่อไป



รูปที่ 4.25 FTIR spectra ของพอลิเมอร์ผสม LPSR/PVA (A) 3200-3400  $\text{cm}^{-1}$  (B) 1710-1740  $\text{cm}^{-1}$  เมื่อแปรปริมาณความเข้มข้นของ PVA ที่ 0 5 10 20 และ 30 phr

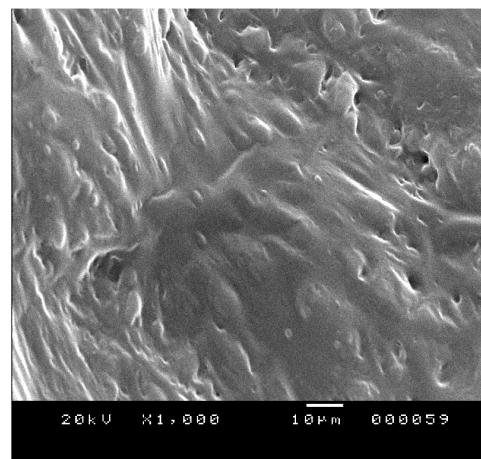
### 3. ลักษณะทางสัณฐานวิทยาของพอลิเมอร์ผสม LPSR/PVA

การศึกษาลักษณะทางสัณฐานวิทยาของพอลิเมอร์ผสม LPSR/PVA ด้วยกล้องจุลทรรศน์อิเล็กตรอนแบบส่องรากัดเพื่อศึกษาความเข้ากันได้ของพอลิเมอร์ผสม จากรูปภาพที่ 4.26 พบร่วมกับ PVA กระจายตัวเป็นเม็ดเล็กๆ ขนาดอนุภาคประมาณ 5-10  $\mu\text{m}$  อยู่ในวัฏภาคของยางแบบต่อเนื่อง (dispersion หรือ continuous phase) ซึ่งเห็นได้อย่างชัดเจนที่ปริมาณความเข้มข้นของ PVA 10 phr (A) และ 20 phr (B) อย่างไรก็ตามพบว่าที่ปริมาณความเข้มข้น PVA 30 phr (C) มีลักษณะวัฏภาคเป็นแบบต่อเนื่องมากขึ้น อาจเนื่องมาจากปริมาณ PVA เพิ่มมากขึ้นในสารละลายอิมัลชันของพอลิเมอร์ผสม LPSR/PVA ซึ่งทำให้เกิดแรงตึงผิวที่บริเวณรอยต่อของวัฏภาคลดลง และเพิ่มพื้นที่ผิวสัมผัสระหว่างวัฏภาค เมื่อได้รับพลังงานเชิงกลจากการบีบ ทำให้บริเวณผิวสัมผัสระหว่างวัฏภาคเปลี่ยนรูปไปด้วยแรงดึงเหลวขนาดใหญ่และแตกออกเป็นหยดขนาดเล็กๆ ได้อิมัลชันที่มีความเสถียรมากขึ้น (Hunter R.J., 1989) และทำให้วัฏภาคของยางสกิม LPSR และ PVA สามารถกระจายตัวเข้ากันได้ดีและมีลักษณะเป็นวัฏภาคแบบต่อเนื่องมากขึ้น



(A) LPSR/PVA 10phr

(B) LPSR/PVA 20phr

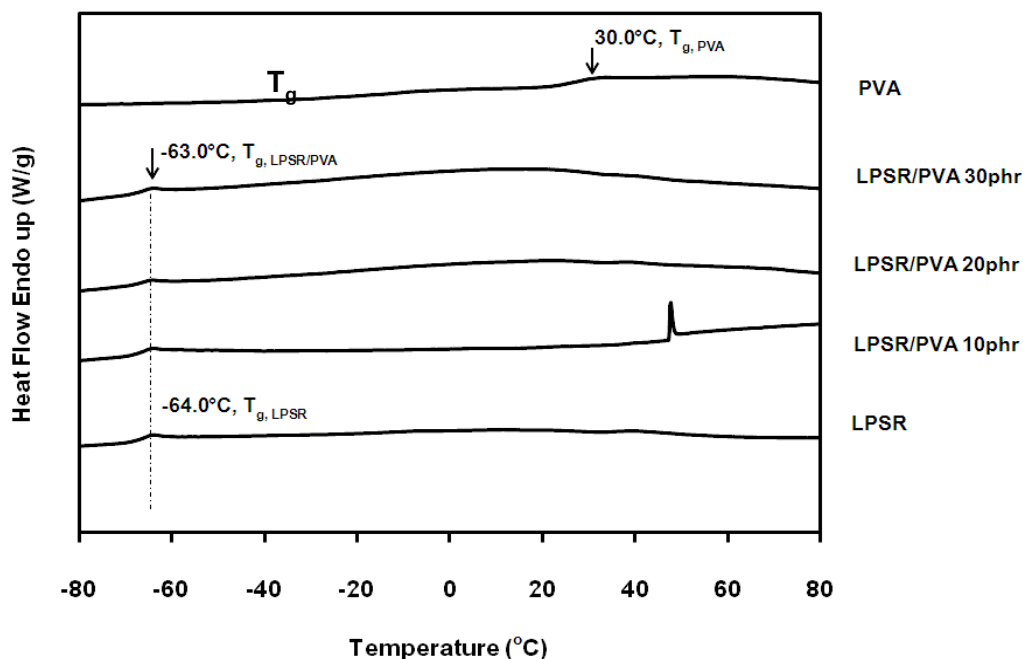


(C) LPSR/PVA 30phr

รูปที่ 4.26 ภาพถ่ายจากกล้องจุลทรรศน์อิเล็กตรอนแบบส่องร้าดของพอลิเมอร์ผสม LPSR/PVA ที่อัตราส่วนของการผสมต่างๆ โดย (A) LPSR/PVA 10phr (B) LPSR/PVA 20phr และ (C) LPSR/PVA 30phr

#### 4. ผลการวิเคราะห์สมบัติเชิงความร้อนด้วย DSC

การวิเคราะห์สมบัติเชิงความร้อนด้วย DSC เพื่อศึกษาผลการการเปลี่ยนแปลงของอุณหภูมิของสภาวะคล้ายแก้ว ( $T_g$ ) ของพอลิเมอร์ผสม เป็นเทคนิคในการวิเคราะห์ความสามารถในการเข้ากันได้ของพอลิเมอร์ผสม LPSR/PVA ดังแสดงในรูปที่ 4.27 พบว่า ปรากฏสัญญาณพีคเดียวที่ตำแหน่งอุณหภูมิใกล้เคียงกันและไม่ปรากฏสัญญาณพีค  $T_g$  ของ PVA ( $T_g = 30^\circ\text{C}$ ) โดยที่ยางสกิม LPSR มีค่า  $T_g$  ที่ประมาณ  $-64^\circ\text{C}$  ในขณะที่พอลิเมอร์ผสม LPSR/PVA มีค่า  $T_g$  ที่ประมาณ  $-63^\circ\text{C}$  ถึง  $-63^\circ\text{C}$  กล่าวคือ เมื่อเพิ่มปริมาณ PVA 10-30 phr สัญญาณพีคเลื่อนที่ตำแหน่งที่อุณหภูมิสูงขึ้นเล็กน้อย แสดงให้เห็นได้ว่าของผสมระหว่างยางสกิม LPSR และ PVA อาจมีบางส่วนที่สามารถเข้ากันได้



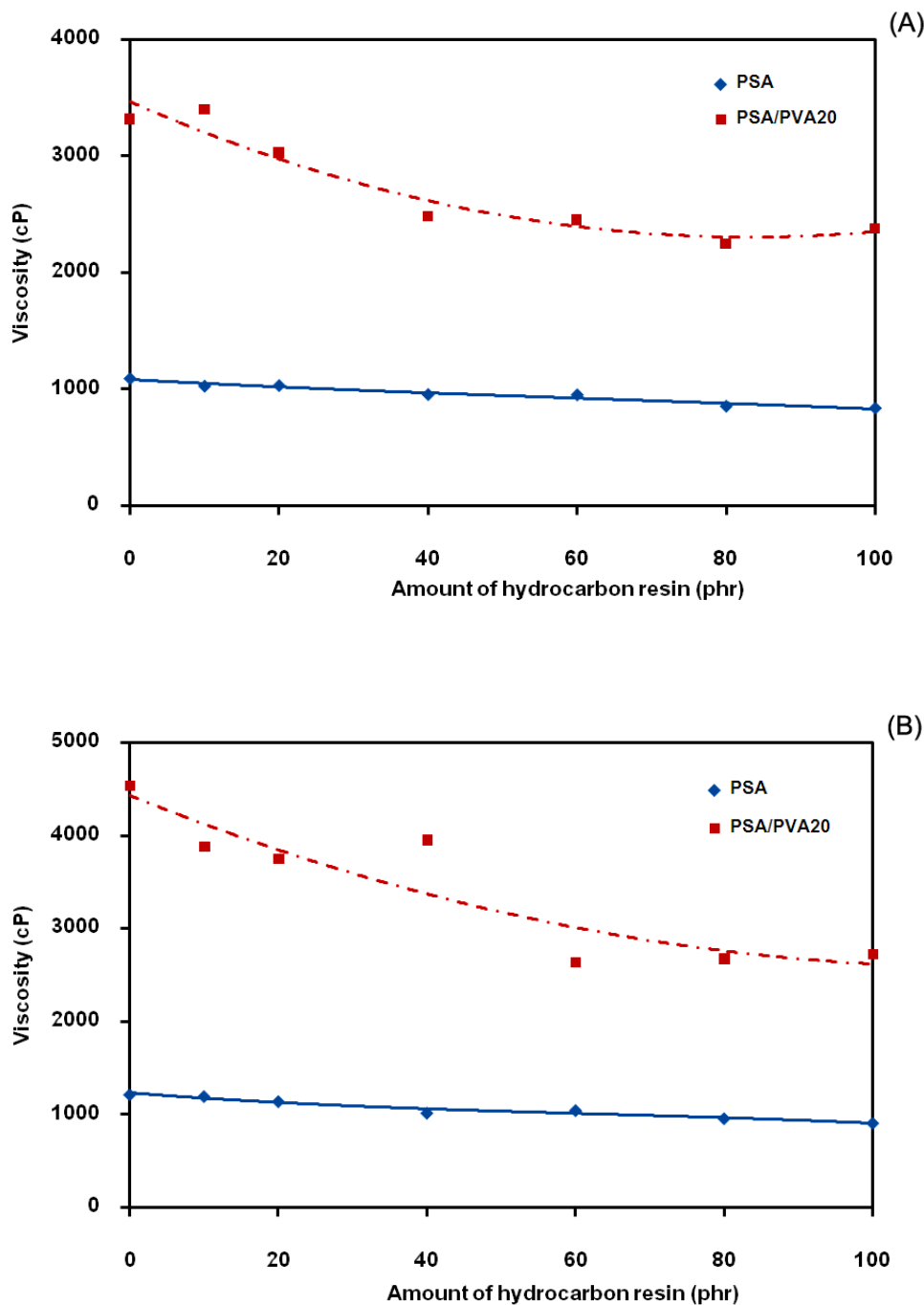
รูปที่ 4.27 DSC thermogram ของพอลิเมอร์ผสม LPSR/PVA ที่ปริมาณความเข้มข้น PVA 10 20 และ 30 phr โดยเปรียบเทียบกับยางสกิม LPSR และ PVA

### 4.3.2.3 ความสามารถในการเข้ากันของสารละลายกาว PSA ระหว่าง ไฮโดรคาร์บอนเรซินกับพอลิเมอร์ผสม LPSR/PVA

การเตรียมกาว PSA จากพอลิเมอร์ผสม LPSR/PVA โดยเริ่มจากย่างสกิม LPSR ที่ลดน้ำหนักโมเลกุลแล้วซึ่งมีน้ำหนักโมเลกุลประมาณ  $0.4 \times 10^6$  g/mole ละลายในตัวทำละลาย troluene ที่ความเข้มข้น 15% w/v หลังจากนั้นเติมไฮโดรคาร์บอนเรซิน โดยปรับปริมาณที่ความเข้มข้น 0-100 phr และจึงนำไปผสมกับสารละลาย 10% wt. PVA ที่ปริมาณ 0 และ 20 phr และวิจัยทำการวิเคราะห์สมบัติต่างๆ ดังต่อไปนี้

#### 1. ความหนืดของสารละลายกาว PSA และพอลิเมอร์ผสม PSA/PVA20

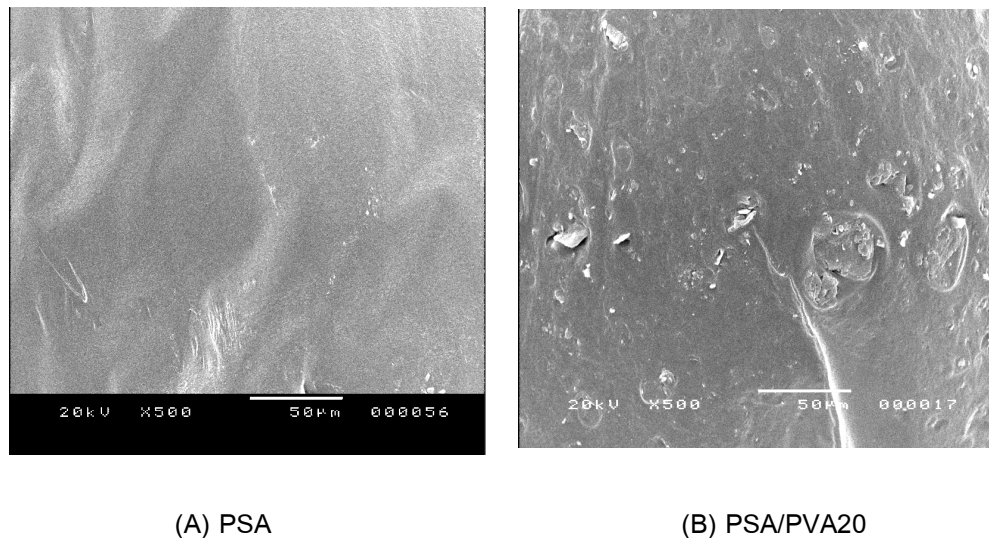
ผลการศึกษาการเปลี่ยนแปลงความหนืดของสารละลายกาว PSA และ พอลิเมอร์ผสม PSA/PVA20 เมื่อทำการแปรปริมาณไฮโดรคาร์บอนเรซิน ที่ปริมาณ 0-100 phr โดยพบว่าปริมาณของไฮโดรคาร์บอนเรซิน ส่งผลอย่างยิ่งต่อการลดลงของค่าความหนืดของสารละลายกาว PSA และพอลิเมอร์ผสม PSA/PVA20 ดังในรูปที่ 4.28 สารละลายย่างสกิม LPSR และพอลิเมอร์ผสม LPSR/PVA20 มีค่าความหนืดเริ่มต้นประมาณ 1100-1200 cP และ 3300-4500 cP ตามลำดับ และเมื่อเพิ่มปริมาณไฮโดรคาร์บอนเรซินที่ 0-100 phr พบว่าค่าความหนืดของสารละลายมีการลดลงประมาณ 0-25% ในกรณีของสารละลายกาว PSA และลดลงประมาณ 0-40% ในกรณีของสารละลายกาวพอลิเมอร์ผสม PSA/PVA20 ทั้งนี้เนื่องมาจากไฮโดรคาร์บอนเรซิน หรือเทคโนโลยีไฟเบอร์เรซิน (tackifier resin) เป็นวัสดุที่มีมวลโมเลกุลต่ำ ซึ่งทำให้เกิดการลดลงของแรงยึดเหนี่ยวระหว่างโมเลกุลของกาว PSA มีค่าน้อยและเป็นผลทำให้สารละลายกาว PSA มีความหนืดที่ต่ำลงนั่นเอง



รูปที่ 4.28 การเปลี่ยนแปลงความหนืดของสารละลายการ PSA และการพอลิเมอร์ผสม PSA/PVA20 (A) lot1; no BHT และ (B) lot 2; BHT 1 phr เมื่อปรับปริมาณไฮดรคาร์บอนเรซินที่ปริมาณ 0-100 phr

## 2. ลักษณะทางสัณฐานวิทยาของการ PSA

จากรูปที่ 4.29 แสดงภาพถ่ายจากกล้องจุลทรรศน์อิเล็กตรอนแบบส่องการดูของ การ PSA โดยที่ (A) PSA (HC-resin 60phr) และ (B) PSA/PVA20 (HC-resin 60phr) โดยพบว่าลักษณะสัณฐานวิทยาของการ PSA ที่มีปริมาณไฮโดรคาร์บอนเรซิน 60 phr มีลักษณะวั�ვไภคเป็นแบบเนื้อดียกัน แสดงถึงความสามารถเข้ากันได้ดีของไฮโดรคาร์บอนเรซิน และวั�วภคของยางสกิม LPSR แต่ในกรณีของการพอลิเมอร์ผสม PSA/PVA20 ที่ปริมาณไฮโดรคาร์บอนเรซิน 60 phr มีลักษณะเป็นวั�วภคแบบไม่ต่อเนื่องกัน (disperse หรือ discontinuous phase) ซึ่งอาจเป็นผลของอนุภาคของ PVA บางส่วนที่ไม่สามารถรวมเป็นวั�วภคแบบเดียวกับยางสกิม LPSR ได้

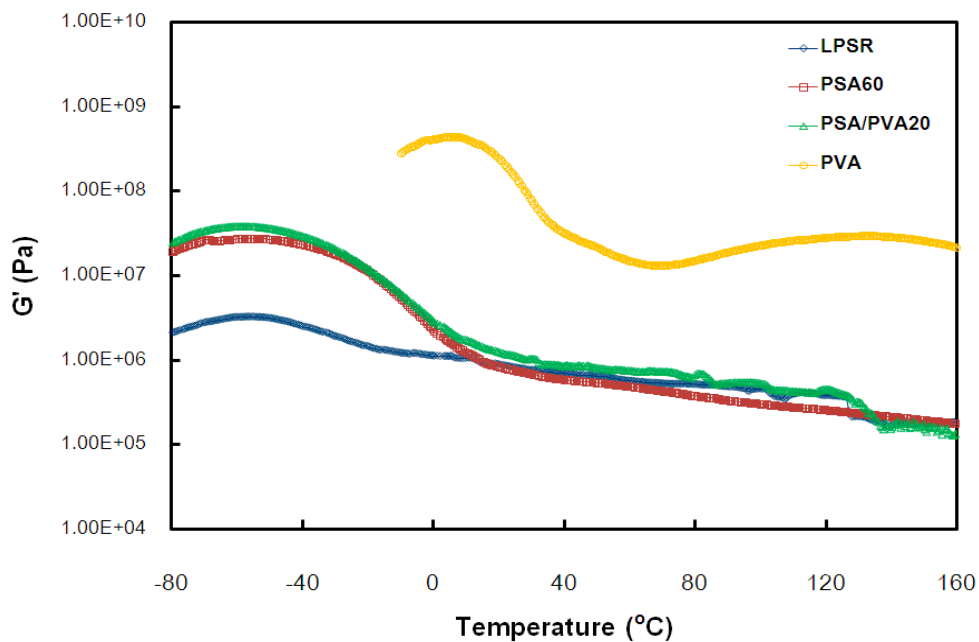


รูปที่ 4.29 ภาพถ่ายจากกล้องจุลทรรศน์อิเล็กตรอนแบบส่องการดูของ การ PSA โดยที่ (A) PSA (HC-resin 60 phr) และ (B) PSA/PVA20 (HC-resin 60 phr)

## 3. ผลการวิเคราะห์ทางกลศาสตร์ความร้อนเชิงพลศาสตร์

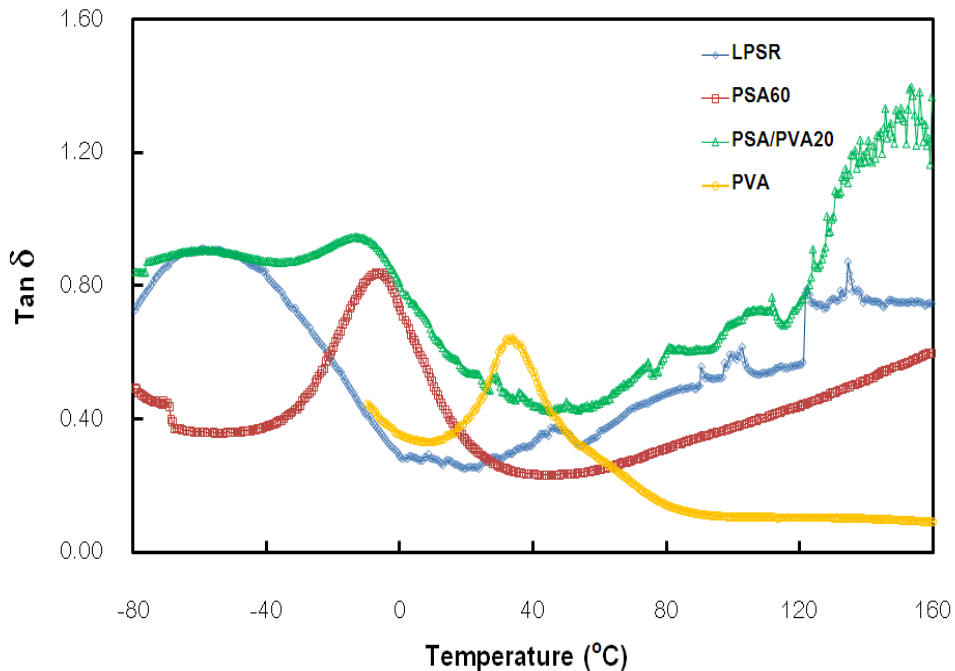
การวิเคราะห์อิทธิพลของปริมาณไฮโดรคาร์บอนเรซินที่มีต่อค่ามอดูลัสสะสม (storage modulus, G') ของการ PSA และการพอลิเมอร์ผสม PSA/PVA20 ที่เตรียมได้จาก ยางสกิม LPSR เมื่อใช้ไฮโดรคาร์บอนเรซินที่ปริมาณ 60 phr ในรูปที่ 4.30 โดยพบว่าค่า G' ของยางสกิม LPSR ลดลงอย่างรวดที่ประมาณ  $-60^{\circ}\text{C}$  ซึ่งช่วงอุณหภูมินี้คือ  $T_g$  ของยางสกิม

LPSR นอกจากนี้ยังพบว่าค่า  $T_g$  ของการ PSA และการพอลิเมอร์ผสม PSA/PVA20 มีค่า  $G'$  ที่สูงกว่า  $T_g$  เพิ่มสูงขึ้น เช่นกัน เมื่อเปรียบเทียบกับยางสกิม LPSR ทั้งนี้เนื่องจากผลของไฮโดรคาร์บอนเรซินที่ทำหน้าที่เป็นตัวยับยั้งการเสริมสภาพ (anti-plasticizer) ซึ่งทำให้ต้องใช้พลังงานที่สูงมากขึ้น ในการที่จะทำให้พอลิเมอร์แปรสภาพจากแข็งมาเป็นนุ่มหรือยืดหยุ่นได้ จึงส่งผลทำให้ความค่า  $G'$  และ  $T_g$  สูงขึ้นที่ช่วงอุณหภูมิต่ำ และทำให้มีค่า  $G'$  ลดลงในช่วงที่อุณหภูมิสูง (สอดคล้องกับงานวิจัยของ Sasaki M. et al. 2008) อย่างไรก็ตามพบว่าการพอลิเมอร์ PSA/PVA20 มีค่า  $G'$  สูงกว่า PSA เมื่ออุณหภูมิสูงกว่า  $30^\circ\text{C}$  ซึ่งอาจเป็นผลของการเกิดอันตรภัยร้ายแรงระหว่างยางสกิม LPSR และ PVA



รูปที่ 4.30 กราฟ DMTA แสดงอิทธิพลของปริมาณไฮโดรคาร์บอนเรซินที่มีต่อค่า  $G'$  ของการ PSA และการพอลิเมอร์ผสม PSA/PVA20 ที่เตรียมได้จากยางสกิม LPSR เมื่อใช้ปริมาณไฮดร์คาร์บอนเรซิน 60 phr

อิทธิพลของไฮโดรคาร์บอนเรซินต่อผลของการเปลี่ยนแปลงค่าแทนเจนต์สูญเสีย (loss tangent,  $\tan\delta$ ) ของการ PSA และการพอลิเมอร์ผสม PSA/PVA20 ที่เตรียมจากยางสกิม LPSR ที่ปริมาณไฮโดรคาร์บอนเรซิน 60 phr เมื่อทำการแปรอุณหภูมิ ในรูปที่ 4.31 ที่ ตำแหน่ง  $\tan\delta$  สูงสุดของพีคคือช่วงอุณหภูมิสถานะคล้ายแก้ว (glass transition state,  $T_g$ ) ของวัสดุ ซึ่งพบว่า  $T_g$  ของการ PSA และการพอลิเมอร์ผสม PSA/PVA20 เคลื่อนไปในตำแหน่งช่วงอุณหภูมิสูงขึ้น ที่ตำแหน่ง  $-4.0^{\circ}\text{C}$  และ  $-9.0^{\circ}\text{C}$  ตามลำดับ ทั้งนี้เนื่องจากผลของไฮโดรคาร์บอนเรซิน และ PVA ไปจำกัดการหมุนภายในสายโซ่ พอลิเมอร์ของยางสกิม LPSR ทำให้การเคลื่อนที่ของสายโซ่พอลิเมอร์มีการเคลื่อนที่ได้น้อย หรือไม่สามารถเคลื่อนที่ได้จึงทำให้มีค่า  $T_g$  สูงขึ้น ( $T_g$  ของยางสกิม LPSR =  $-60.0^{\circ}\text{C}$  และ  $T_g$  ของไฮโดรคาร์บอนเรซินบริสุทธิ์ =  $40.0^{\circ}\text{C}$  และ  $T_g$  ของ PVA บริสุทธิ์ =  $30.0^{\circ}\text{C}$ ) นอกจากนี้พบว่าการพอลิเมอร์ผสม PSA/PVA20 ปรากฏให้พีคที่ตำแหน่งช่วงอุณหภูมิ  $-60^{\circ}\text{C}$  อาจแสดงถึงความไม่เป็นเนื้อเดียวกันระหว่าง PVA และไฮโดรคาร์บอนเรซิน ซึ่งแตกต่างจากการ PSA ที่เข้ากันได้ดีกว่า อย่างไรก็ตามเมื่อพิจารณาที่ช่วงอุณหภูมิประมาณ  $30-100^{\circ}\text{C}$  ค่า  $\tan\delta$  ของการ PSA มีค่าต่ำกว่าการพอลิเมอร์ผสม PSA/PVA20 และ ยางสกิม LPSR แสดงว่าไฮโดรคาร์บอนเรซิน ทำให้ยางสกิม LPSA มีความเป็น viscose behavior น้อยกว่า ขณะที่การพอลิเมอร์ผสม PSA/PVA20 มีค่า  $\tan\delta$  สูงกว่า เนื่องจากผลของปริมาณ PVA ที่มีอยู่ภายในเนื้อการทำให้มีความเป็น viscose behavior เพิ่มมากขึ้น จึงเกิดการสะสมของพลังงานได้น้อยกว่า (Sasaki M. et al., 2008)



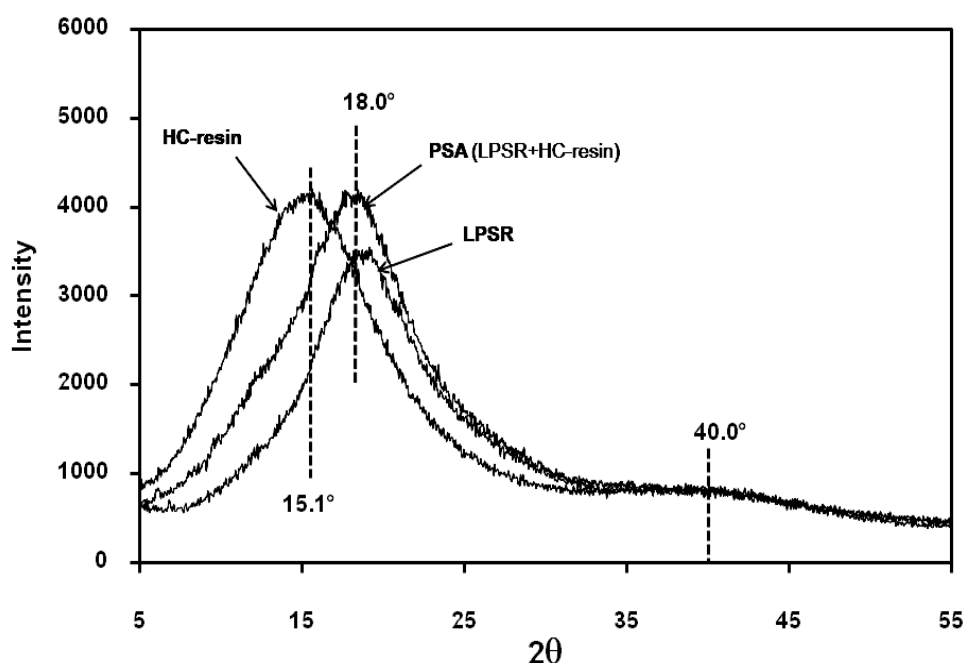
รูปที่ 4.31 กราฟ DMTA แสดงอิทธิพลของปริมาณไฮโดรคาร์บอนเรซิน ที่มีต่อค่าแทนเจนต์สูญเสีย ( $\tan \delta$ ) ของการ PSA และการพอลิเมอร์ผสม PSA/PVA20 ที่เตรียมได้จากยางสกิม LPSR เมื่อใช้ปริมาณไฮโดรคาร์บอนเรซิน 60 phr

#### 4. การวิเคราะห์ผลของการเกิดผลึกด้วยเทคนิคการกระเจิงของรังสีเอกซ์แบบมุมกว้าง

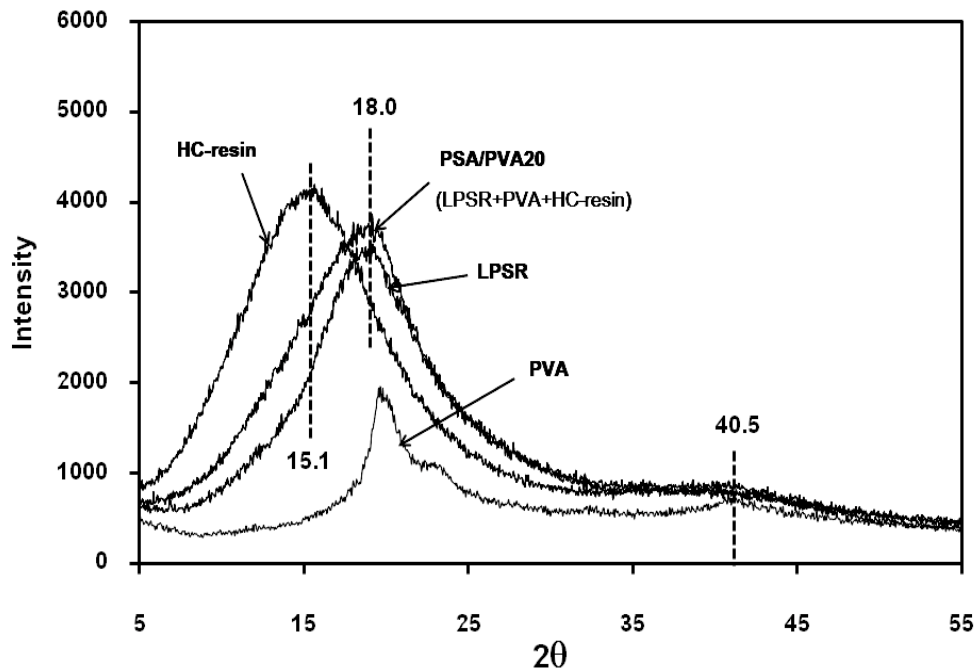
เทคนิคการวัดการกระเจิงของรังสีเอกซ์แบบมุมกว้าง (Wide angle X-ray scattering ,WAXS) ใช้ในการศึกษาลักษณะความเป็นสัณฐานวิทยาของพอลิเมอร์ เช่น ความเป็นผลึก (crystalline) หรืออสัณฐาน (amorphous) ของพอลิเมอร์ โดยศึกษาโครงสร้างและความสมพันธ์ของลายพอลิเมอร์ในระดับที่ใหญ่มากๆ เมื่อเทียบกับขนาดของแต่ละ re-peating unit หรือหน่วยเซลล์ของผลึก โดยปกติแล้วยางธรรมชาติเป็นอิลาสโตรเมอร์ชนิดหนึ่งที่มีความเป็นพอลิเมอร์กึ่งผลึก (semi-crystalline polymer) ซึ่งสามารถเกิดผลึกได้เมื่อทำให้เกิดการเรียงตัว (orientation) ด้วยการดึง หรือที่สภาวะอุณหภูมิต่ำๆเท่านั้น (Kawahara S. et al., 2000 and Gent A.N.,1954)

การเติมไฮโดรคาร์บอนเรซินส่งผลต่อสถานะความเป็นอสัณฐานของการ PSA ดังรูปที่ 4.32 พบว่า X-ray diffraction patterns ของการ PSA ปรากฏ peak intensity สูงกว่าของยางสกิม LPSR ที่มุม  $18.0^\circ$  ( $2\theta$ ) กล่าวคือ ทำให้มีความสามารถในการเกิดผลึกได้มากกว่า นอกจากนี้ยังปรากฏ low peak intensity ที่มุม  $40.0^\circ$  ( $2\theta$ ) ซึ่งแสดงถึงองค์ประกอบบางส่วนของ การ PSA ที่มีความเป็นพอลิเมอร์กึ่งผลึกเนื่องจากมีไฮโดรคาร์บอนเรซินเป็นองค์ประกอบ

และในกรณีของการพอลิเมอร์ผสม PSA/PVA20 ปรากฏ peak intensity ที่มุม  $18.0^\circ$  ( $2\theta$ ) เช่นเดียวกับการ PSA โดยพบว่าการพอลิเมอร์ผสม PSA/PVA20 ให้ peak intensity ที่ต่ำกว่า ดังรูปที่ 4.33 แสดงให้เห็นว่าปริมาณของ PVA ส่งผลทำให้การเกิดผลึกใน การลดลง ซึ่งอาจเนื่องมาจากการเกิดอันตรกิริยะระหว่างยางสกิม LPSR และ PVA อย่างไรก็ตามพบว่า การเติมไฮโดรคาร์บอนเรซินส่งผลต่อสถานะความเป็นอสัณฐานของการ PSA/PVA20 มากกว่า PVA สังเกตได้จากการที่มี peak intensity ที่สูงกวายางสกิม LPSR นอกจากนี้ยังปรากฏ low peak intensity ที่มุม  $40.5^\circ$  ( $2\theta$ ) ซึ่งแสดงถึงองค์ประกอบบางส่วนของ พอลิเมอร์ผสม PSA/PVA20 ที่ยังมีความเป็นพอลิเมอร์กึ่งผลึกเช่นเดียวกับ PVA (Riyajan S. et al., 2009 )



รูปที่ 4.32 X-ray diffraction patterns ของการ PSA ที่เติมไฮยาลูโรนิกกรด LPSR เมื่อใช้ปริมาณไฮโดรคาร์บอนเรซินที่ปริมาณความเข้มข้น 60 phr



รูปที่ 4.33 X-ray diffraction patterns ของการพอลิเมอร์ฟลัม PSA/PVA20 ที่เตรียมได้จาก ยางสกิม LPSR เมื่อใช้ปริมาณไฮโดรคาร์บอนเรซินที่ปริมาณความเข้มข้น 60 phr

### 4.3.3 อิทธิพลของไฮโดรคาร์บอนเรซินต่อสมบัติทางด้านการยึดติดของ กาว PSA

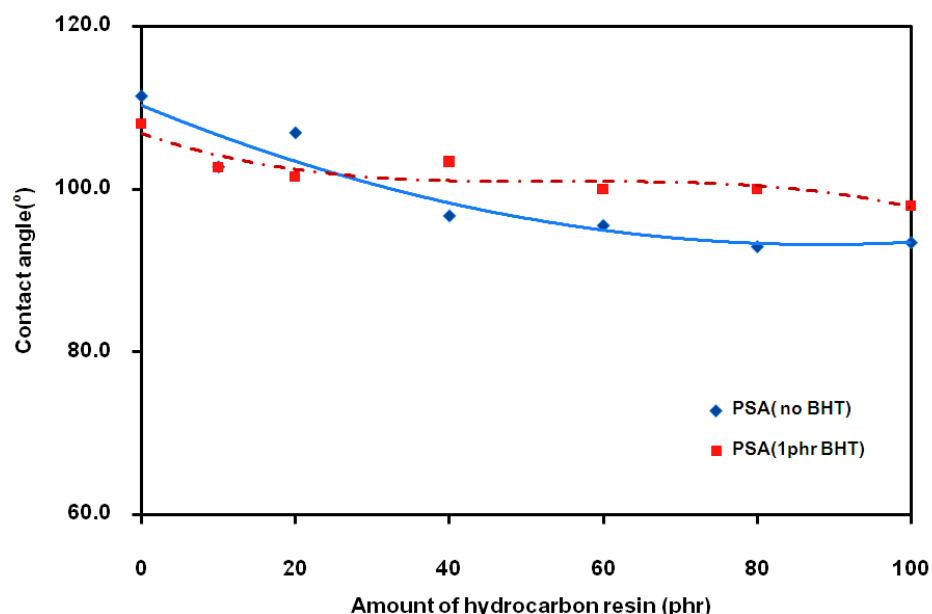
#### 4.3.3.1 สมบัติทางด้านการยึดติดของการ PSA จากยางสกิม LPSR และ พอลิเมอร์ฟลัม LPSR/PVA20

##### 1. การวัดมุมสัมผัสเชิงพิสิกส์

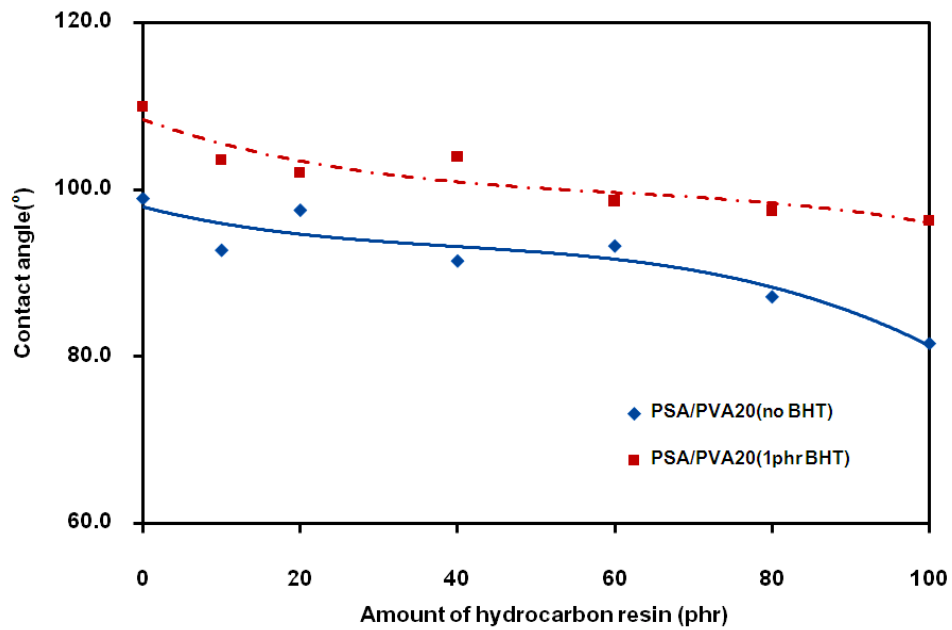
พลังงานพื้นผิว (surface energy) เป็นปัจจัยหนึ่งที่มีผลต่อสมบัติการยึดติด ระหว่างกาวกับวัสดุ โดยปกติแล้วการที่กาวสามารถยึดติดกับวัสดุชนิดนั้นได้ดีก็ต่อเมื่อการมี พลังงานพื้นผิวต่ำกว่าวัสดุชนิดนั้น (Pocius V Al., 2002) ซึ่งสามารถอธิบายการเปลี่ยนแปลง พลังงานพื้นผิวของการได้จากการวัดมุมสัมผัสเชิงพิสิกส์ (contact angle) โดยผลของการศึกษา อิทธิพลของไฮโดรคาร์บอนเรซินต่อการเปลี่ยนแปลงค่ามุมสัมผัสของกาว PSA ที่เติมและไม่เติม BHT เมื่อแปรปริมาณที่ 0-100 phr ดังในรูปที่ 4.34 พบว่าปริมาณไฮโดรคาร์บอนเรซินส่งผลต่อ การเปลี่ยนแปลงค่ามุมสัมผัสของกาว PSA อย่างชัดเจน ดังแสดงในรูปที่ 4.36 กล่าวคือ กาว

PSA มีการเปลี่ยนแปลงมุ่งสัมผัสลดลงประมาณ  $0\text{-}18^\circ$  ในกรณีไม่เติม BHT และ  $0\text{-}10^\circ$  ในกรณีที่เติม BHT เมื่อเพิ่มปริมาณไฮโดรคาร์บอนเรซินที่ 0-100 phr แสดงให้เห็นว่าหาก PSA มีพลังงานพื้นผิวดลงเมื่อเพิ่มปริมาณไฮโดรคาร์บอนเรซิน ทั้งนี้เนื่องจากสารไฮโดรคาร์บอนเรซินสามารถเข้ากันได้ดีกับยางสกิม LPSR จึงส่งผลให้แรงยึดเหนี่ยวภายในเนื้อภาวะ (cohesive strength) ลดลง อย่างไรก็ตามการ PSA ที่เติมและไม่เติม BHT ให้ผลการทดลองที่สอดคล้องกัน

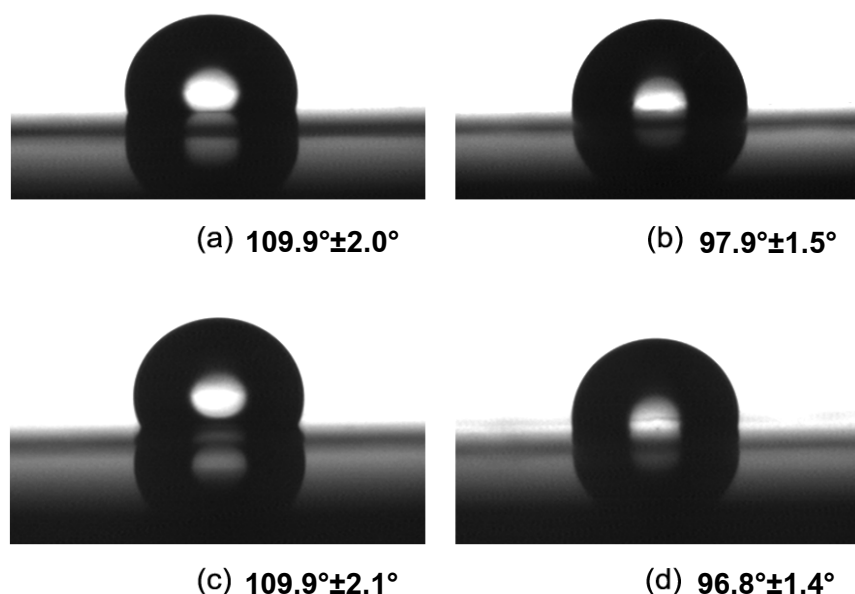
การเปลี่ยนแปลงค่ามุ่งสัมผัสของการพอลิเมอร์ผสม PSA/PVA20 ที่เติมและไม่เติม BHT เมื่อแปรปริมาณที่ 0-100 phr ดังในรูปที่ 4.35 พบว่าปริมาณไฮโดรคาร์บอนเรซิน ส่งผลต่อการลดลงของค่ามุ่งสัมผัสของการ PSA อย่างชัดเจนเช่นเดียวกัน ดังในรูปที่ 4.36 กล่าวคือ การ PSA มีการเปลี่ยนแปลงมุ่งสัมผัสลดลงประมาณ  $0\text{-}17.4^\circ$  ในกรณีไม่เติม BHT และ  $0\text{-}13.5^\circ$  ในกรณีที่เติม BHT เมื่อเพิ่มปริมาณไฮโดรคาร์บอนเรซินที่ 0-100 phr อย่างไรก็ตามการ PSA/PVA20 ที่เติมและไม่เติม BHT ให้ผลการทดลองที่สอดคล้องกัน แต่การ PSA/PVA20 ที่ไม่เติม BHT ให้ค่ามุ่งสัมผัสที่ต่ำกว่าการพอลิเมอร์ผสม PSA/PVA20 ที่เติม BHT ทั้งนี้อาจเนื่องมาจากการลดลงของค่าความหนืดที่ต่ำกว่าของสารละลายน้ำ ดังอธิบายผลในหัวข้อ 4.3.2.3 ซึ่งอาจส่งผลทำให้การมีพลังงานพื้นผิวดลงได้ต่ำกว่าなんแน่เอง



รูปที่ 4.34 อิทธิพลของไฮโดรคาร์บอนเรซินต่อการเปลี่ยนแปลงค่ามุ่งสัมผัสของการ PSA ที่เติมและไม่เติม BHT เมื่อแปรปริมาณที่ 0-100 phr



รูปที่ 4.35 อิทธิพลของไฮโดรคาร์บอนเรซินต่อการเปลี่ยนแปลงค่ามุ่งสัมผัสของการพอลิเมอร์ผสม PSA/PVA20 ที่เติมและไม่เติม BHT เมื่อแปรปริมาณที่ 0-100 phr

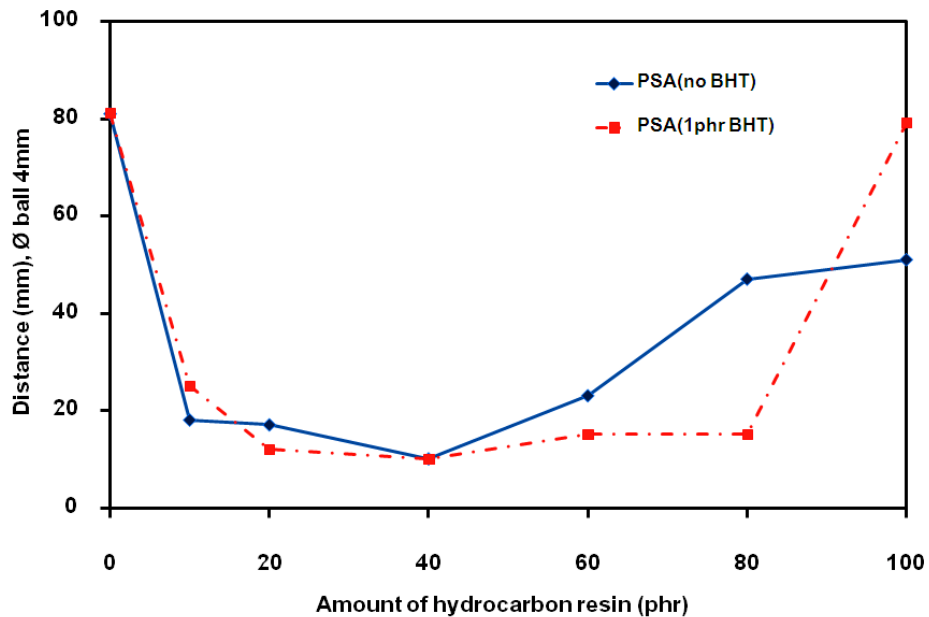


รูปที่ 4.36 ลักษณะการเปลี่ยนแปลงค่ามุ่งสัมผัสของการ PSA (a) 0 phr HC-resin (b) 60 phr HC-resin และการพอลิเมอร์ผสม PSA/PVA20 (c) 0 phr HC-resin และ (d) 60 phr HC-resin

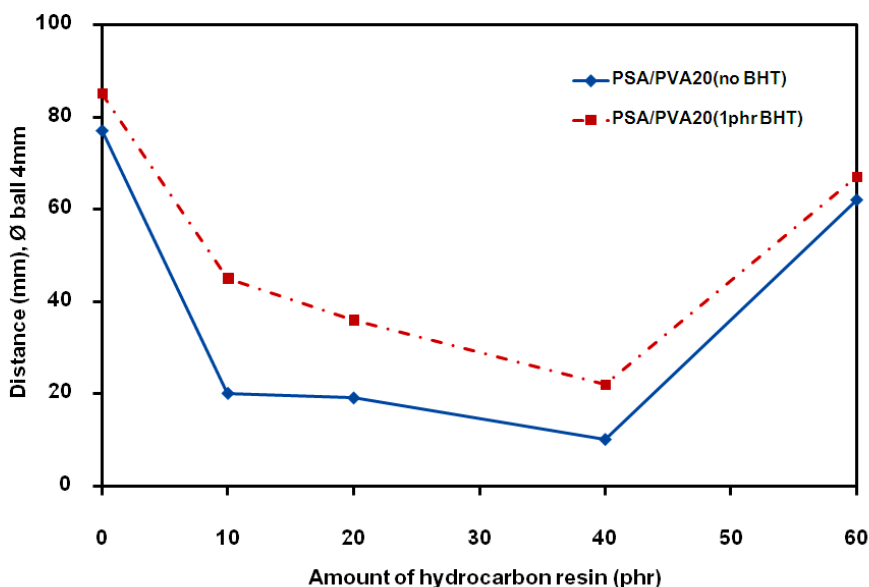
## 2. สมบัติความเหนียว

ความเหนียว (tack) เป็นหนึ่งในสมบัติที่สำคัญของการ PSA ซึ่งสามารถเตรียมได้โดยการผสมยางธรรมชาติ หรือ อิลาสโตเมอร์กับวัสดุที่มีมวลโมเลกุลต่ำ ซึ่งเรียกว่า แทคคิไฟ เออร์เรชิน และสำหรับการทดลองนี้ได้ทำการศึกษาสมบัติความเหนียวของกาว PSA จากยางสกิม LPSR โดยใช้ไฮโดรคาร์บอนเรชิน (Escorez 1000) โดยศึกษาผลของไฮโดรคาร์บอนเรชิน ต่อการเปลี่ยนแปลงค่าความเหนียวของกาว PSA ที่เติมและไม่เติม BHT เมื่อแปรปริมาณที่ 0-100 phr ดังรูปที่ 4.37 พนวยจะเห็นว่า ระยะทางที่เคลื่อนได้น้อยลงของลูกบอลเหล็ก แสดงถึงประสิทธิภาพความเหนียวของกาว PSA อย่างมีนัยสำคัญ กล่าวคือ เมื่อทำการเพิ่มปริมาณไฮโดรคาร์บอนเรชิน ระยะทางที่เคลื่อนได้ของลูกบอลเหล็กค่อยๆ ลดลงจนถึงจุดต่ำสุดที่ช่วงปริมาณ 30-60 phr และระยะทางเพิ่มสูงขึ้นเมื่อปริมาณไฮโดรคาร์บอนเรชินเพิ่มมากกว่า 60 phr ซึ่งที่จุดต่ำสุด แสดงถึงประสิทธิภาพความเหนียวสูงสุดของกาว PSA ซึ่งสามารถอธิบายได้ว่าประสิทธิภาพของความเหนียวเกิดจากความสามารถในการเข้ากัน หรือการกระจายตัวของไฮโดรคาร์บอนเรชินที่เพิ่มขึ้น จนกระทั่งถึงจุดอิ่มตัวของการเข้ากัน หรือการละลายระหว่างไฮโดรคาร์บอนเรชิน และยางสกิม LPSR นั้นคือ จุดสูงสุดของความเหนียว และเกิดการลดลงของประสิทธิภาพความเหนียวหากเพิ่มปริมาณไฮโดรคาร์บอนเรชินสูงขึ้นไปอีก (Satias D., 1982) อย่างไรก็ตามกาว PSA ที่เติมและไม่เติม BHT ให้ผลการทดลองที่สอดคล้องกัน

อิทธิพลของไฮโดรคาร์บอนเรชินต่อการเปลี่ยนแปลงค่าความเหนียวของกาวโดย เมื่อผสม PSA/PVA20 ที่เติมและไม่เติม BHT เมื่อแปรปริมาณที่ 0-100 phr ดังในรูปที่ 4.38 พนวยจะเห็นว่า เมื่อทำการเพิ่มปริมาณไฮโดรคาร์บอนเรชิน ระยะทางที่เคลื่อนได้ของลูกบอลเหล็กค่อยๆ ลดลง จนถึงจุดต่ำสุดที่ช่วงปริมาณ 30-50 phr และประสิทธิภาพของความเหนียวของกาวลดลงตามไปด้วย ( $>100$  mm) เมื่อปริมาณไฮโดรคาร์บอนเรชินเพิ่มมากกว่า 60 phr ทั้งนี้อาจเกิดจากความสามารถในการเข้ากัน หรือการกระจายตัวของไฮโดรคาร์บอนเรชิน และ PVA ในกาว poly เมื่อผสม PSA/PVA20 ที่ไม่เป็นเฟสเดียวกัน ทำให้ประสิทธิภาพความเหนียวของกาวลดลง นั่นเอง ทั้งนี้พนวยว่า กาว PSA ที่เติมและไม่เติม BHT ให้ผลการทดลองที่มีแนวโน้มที่สอดคล้องกัน



รูปที่ 4.37 อิทธิพลของไฮโดรคาร์บอนเรซินต่อการเปลี่ยนแปลงค่าความเหนียวของกาว PSA ที่เติมและไม่เติม BHT เมื่อแปรปริมาณที่ 0-100 phr

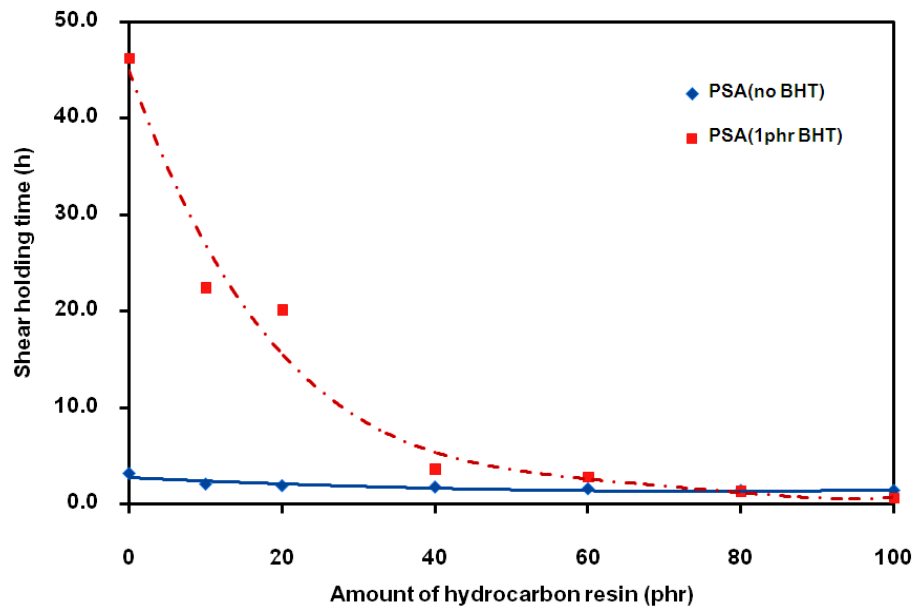


รูปที่ 4.38 อิทธิพลของไฮโดรคาร์บอนเรซินต่อการเปลี่ยนแปลงค่าความเหนียวของการพอลิเมอร์ผสม PSA/PVA20 ที่เติมและไม่เติม BHT เมื่อแปรปริมาณที่ 0-100 phr

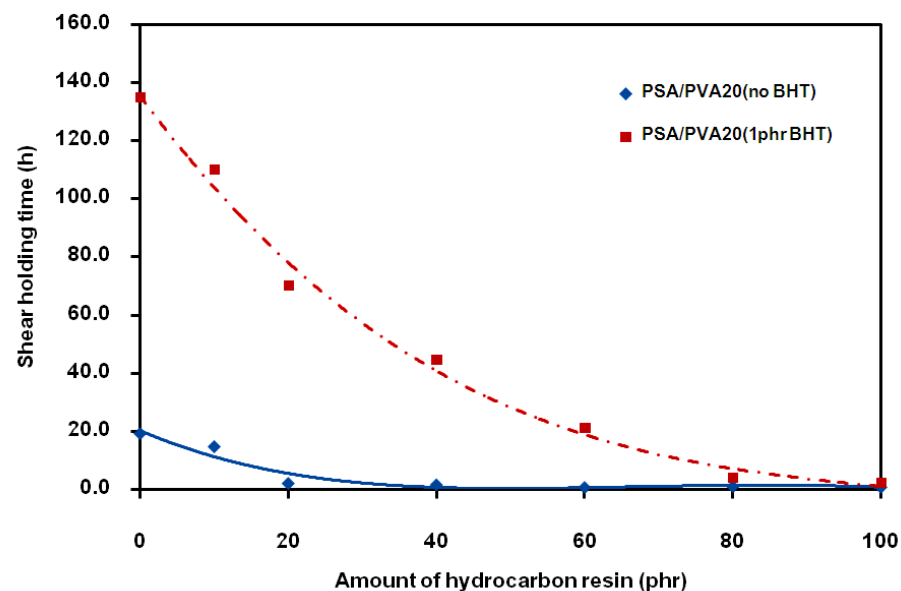
### 3. สมบัติการคีบ

การทดสอบสมบัติการคีบ (creep) เป็นการทดสอบความสามารถในการต้านทานต่อแรงเฉือน (shear adhesion) ของภา PSA ภายใต้แรงดึงคงที่ ตามมาตรฐาน PSTC-7 ทำการทดสอบกับพื้นผิวสแตนเลส (stainless steel) โดยให้น้ำหนัก (load) คงที่ที่ 550 g ซึ่งเกิดแรงเฉือนที่ทิศทางขานานกับพื้นผิวสตุ ทำการทดสอบที่อุณหภูมิ  $40^{\circ}\text{C}$  ระยะเวลา 60 min และลดอุณหภูมิลงที่อุณหภูมิห้อง บันทึกเวลาเมื่อแผ่นกาวหลุดออกจากพื้นผิวสตุ ในการทดสอบนี้ทำการศึกษาอิทธิพลของไฮโดรคาร์บอนเรซินต่อการเปลี่ยนแปลงสมบัติการคีบของภา PSA ที่เติมและไม่เติม BHT เมื่อแปรปริมาณที่ 0-100 phr ซึ่งแสดงผลทดสอบดังรูปที่ 4.39 พบว่ามีการเปลี่ยนแปลงอย่างชัดเจน ในการณ์ของการ PSA ที่เติม BHT ซึ่งมีค่าความต้านทานต่อแรงเฉือน (shear holding time; 1-22 h) สูงกว่าการณ์ของการ PSA ที่ไม่เติม BHT (Shear holding time; 1-3 h) กล่าวคือ ความต้านทานต่อแรงเฉือนของการ PSA มีค่าลดลงเมื่อปริมาณไฮโดรคาร์บอนเรซินเพิ่มสูงขึ้น จนกระทั่งเริ่มคงที่เมื่อปริมาณไฮโดรคาร์บอนเรซินมากกว่า 60 phr ทั้งนี้เนื่องจากปริมาณไฮโดรคาร์บอนเรซินที่เพิ่มขึ้น ทำให้ค่าแรงยึดติดภายในเนื้อของภา มีค่าลดลง ดังนั้นการเลือกใช้ไฮโดรคาร์บอนเรซินในปริมาณที่เหมาะสมจึงมีความสำคัญอย่างยิ่ง ต่อสมบัติการต้านทานต่อแรงเฉือน หรือ สมบัติการคีบของการ PSA และการเติม BHT ทำให้การ PSA มีค่าความเสถียรต่อความร้อนได้ดีขึ้น

อิทธิพลของไฮโดรคาร์บอนเรซินต่อการเปลี่ยนแปลงสมบัติการคีบของภา poly เมอร์ฟsm PSA/PVA20 ที่เติมและไม่เติม BHT เมื่อแปรปริมาณที่ 0-100 phr ดังในรูปที่ 4.40 พบว่าการเปลี่ยนแปลงสมบัติการคีบของภา poly เมอร์ฟsm PSA/PVA20 เมื่อปริมาณไฮโดรคาร์บอนเรซินเพิ่มขึ้น ให้ผลที่สอดคล้องกับในการณ์ของการ PSA ดังที่กล่าวมาแล้ว อย่างไรก็ตามพบว่า กาว poly เมอร์ฟsm PSA/PVA20 ให้ประสิทธิภาพในการต้านทานต่อแรงเฉือนได้สูงกว่า กาว PSA เป็นอย่างมาก กล่าวคือ มีค่าความต้านทานต่อแรงเฉือนประมาณ 2-135 h ในกรณีที่เติม BHT และประมาณ 1-19 h ในกรณีที่ไม่เติม BHT แสดงให้เห็นว่า PVA ในภา poly เมอร์ฟsm PSA/PVA20 ทำให้ประสิทธิภาพในการต้านทานต่อแรงเฉือนเพิ่มสูงขึ้น ซึ่งอาจสามารถอธิบายได้จากการที่ PVA มีสมบัติความเป็นวิสโคอิลาสติกที่สูงกว่ายางสกิม LPSR จึงส่งผลทำให้มีแรงยึดเหนี่ยวภายในโมเลกุลของกาวสูงขึ้น และการเคลื่อนที่ของสายโซ่โมเลกุลเกิดได้ยากขึ้น นอกจากนี้แล้ว การเติม BHT ทำให้กาว PSA มีค่าความเสถียรต่อความร้อนได้ดีขึ้นอย่างชัดเจน เช่นกัน



รูปที่ 4.39 อิทธิพลของไฮโดรคาร์บอนเรซินต่อการเปลี่ยนแปลงสมบัติการคีบของการ PSA ที่เติมและไม่เติม BHT เมื่อแปรปริมาณที่ 0-100 phr

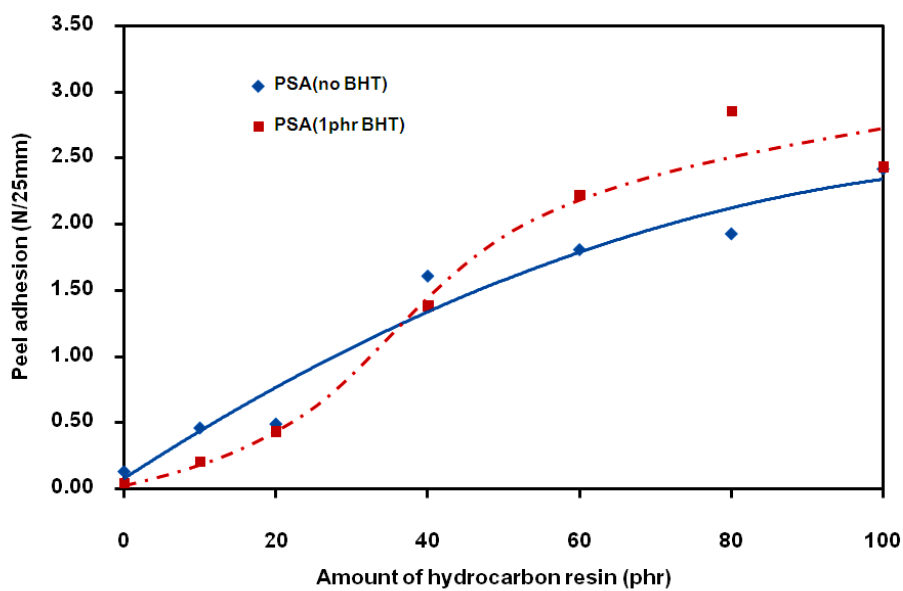


รูปที่ 4.40 อิทธิพลของไฮโดรคาร์บอนเรซินต่อการเปลี่ยนแปลงสมบัติการคีบของการพอลิเมอร์ผสม PSA/PVA20 ที่เติมและไม่เติม BHT เมื่อแปรปริมาณที่ 0-100 phr

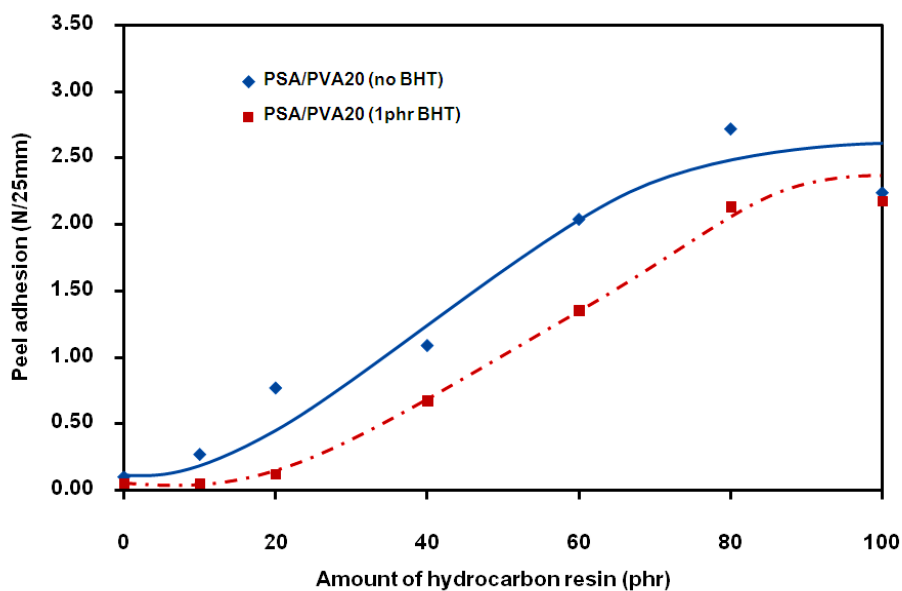
#### 4. สมบัติการดึงลอก

การตรวจสอบสมบัติการดึงลอก (peel adhesion) ของเทปกาว PSA โดยวิธีทดสอบแบบ  $180^\circ$  peel ตามมาตรฐาน PSTC-1 หรือ ASTM D3330 M-04 ถูกวิเคราะห์ด้วยเครื่องทดสอบ tensile ในโหมดแรงดึง (tension mode) โดยใช้อัตราเร็วในการดึง 300 mm/min ซึ่งเป็นการวิเคราะห์แรงที่ใช้ในการลอกแบบกาว PSA ออกจากพื้นผิวสุดที่远离จากสแตนเลส (stainless steel) ที่องศาการดึง  $180^\circ$  ในการทดลองนี้ทำการศึกษาอิทธิพลของไฮโดรคาร์บอนเรซิน ต่อการเปลี่ยนแปลงสมบัติการดึงลอกของกาว PSA ที่เติมและไม่เติม BHT เมื่อประปิมาณที่ 0-100 phr ดังในรูปที่ 4.41 พบว่าแรงที่ใช้ในการลอกแบบกาว PSA ออกจากพื้นผิวสุดมีค่าสูงขึ้น เมื่อเพิ่มปริมาณไฮโดรคาร์บอนเรซิน โดยพบว่าที่ช่วงปริมาณ 40-80 phr มีค่าแรงดึงเพิ่มขึ้นอย่างรวดเร็ว กล่าวคือ ที่ช่วงปริมาณ 40-80 phr มีค่าแรงดึงเพิ่มขึ้น 1.61-2.42 N/25mm สำหรับกรณีของการ PSA ที่ไม่เติม BHT และ 1.38-2.43 N/25mm สำหรับกรณีของการ PSA ที่เติม BHT ซึ่งสามารถอธิบายได้ว่า ปริมาณไฮโดรคาร์บอนเรซินที่สูงขึ้นทำให้ความสามารถในการเปียก (wettability) ของกาวที่มีตัววัสดุที่ยึดติดด้วยสูงขึ้น ทำให้กามมีค่าสมบัติการดึงลอกเพิ่มขึ้น นอกจากนี้ยังเป็นผลของ mechanical interlocking ซึ่งเป็นแรงยึดติดทางกล หรือแรงยึดติดระหว่างกากับวัสดุ เนื่องจากการไหลของกาวเข้าไปแทนที่อากาศในช่องว่างบนพื้นผิวของวัสดุ (Poh B.T., et al. 2007) อย่างไรก็ตามกาว PSA ที่ไม่เติม BHT มีค่าสมบัติการดึงลอกสูงกว่า PSA ที่เติม BHT ทั้งนี้อาจเนื่องมาจากผลของค่าความหนืดของกาว PSA ที่ต่ำกว่า ทำให้สามารถเกิดแรงยึดติดทางกลได้มากกว่า

อิทธิพลของไฮโดรคาร์บอนเรซินต่อการเปลี่ยนแปลงสมบัติการดึงลอกของกาวพอลิเมอร์ผสม PSA/PVA20 ที่เติมและไม่เติม BHT เมื่อประปิมาณที่ 0-100 phr ดังในรูปที่ 4.42 โดยพบว่าที่ช่วงปริมาณ 40-80 phr มีค่าแรงดึงเพิ่มขึ้นอย่างรวดเร็วและเริ่มช้าลงที่ช่วงปริมาณมากกว่า 80 phr กล่าวคือ ที่ช่วงปริมาณ 40-80 phr มีค่าแรงดึงเพิ่มขึ้น 1.09-2.72 N/25 mm สำหรับกรณีของการ PSA ที่ไม่เติม BHT และ 0.67-2.13 N/25 mm สำหรับกรณีของการ PSA ที่เติม BHT อย่างไรก็ตามพบว่าการเปลี่ยนแปลงสมบัติการดึงลอกของกาวพอลิเมอร์ผสม PSA/PVA20 เมื่อปริมาณไฮโดรคาร์บอนเรซินเพิ่มขึ้น ให้ผลที่สอดคล้องกับในกรณีของการ PSA ดังที่กล่าวมาแล้ว นอกจากนี้กาวพอลิเมอร์ผสม PSA/PVA20 ที่ไม่เติม BHT มีค่าสมบัติการดึงลอกสูงกว่ากาวพอลิเมอร์ผสม PSA/PVA20 ที่เติม BHT ทั้งนี้อาจเนื่องมาจากผลของค่าความหนืดของกาว PSA ที่ต่ำกว่า ทำให้สามารถเกิดแรงยึดติดทางกลได้มากขึ้นเช่นกัน



รูปที่ 4.41 อิทธิพลของไฮโดรคาร์บอนเรซินต่อการเปลี่ยนแปลงสมบัติการดึงลอกของกาว PSA ที่เติมและไม่เติม BHT เมื่อแปรปริมาณที่ 0-100 phr



รูปที่ 4.42 อิทธิพลของไฮโดรคาร์บอนเรซินต่อการเปลี่ยนแปลงสมบัติการดึงลอกของกาวพอลิเมอร์ผสม PSA/PVA20 ที่เติมและไม่เติม BHT เมื่อแปรปริมาณที่ 0-100 phr

#### 4.3.3.2 สรุปผลการทดสอบสมบัติทางด้านการยึดติดของการ PSA จากยางสกิม LPSR และพอลิเมอร์ผสม LPSR/PVA20

จากการทดสอบสมบัติทางด้านการยึดติดของการ PSA จากยางสกิม LPSR และพอลิเมอร์ผสม LPSR/PVA20 โดยใช้ไฮโดรคาร์บอนเรซินเป็นแทคคิไฟเรซิน ซึ่งสามารถสรุปได้ว่า ปริมาณของไฮโดรคาร์บอนเรซินที่สูงขึ้น ส่งผลทำให้การ PSA มีค่าพลังงานพื้นผิว สมบัติการคีบ และสมบัติการดึงลอก สูงขึ้น ยกเว้นในกรณีสมบัติความหนืด哪ชีงขึ้นอยู่ กับปริมาณที่เหมาะสมของไฮโดรคาร์บอนเรซิน โดยพบว่าปริมาณไฮโดรคาร์บอนเรซินที่เหมาะสมสำหรับการเตรียมการ PSA คือ ที่ปริมาณ 60 phr ซึ่งให้สมบัติทางด้านการยึดติดได้ดีที่สุด และพบว่า การ PSA ที่เตรียมจากพอลิเมอร์ผสม LPSR/PVA20 ให้สมบัติการคีบได้ดีกว่า จากยางสกิม LPSR เพียงอย่างเดียว อย่างไรก็ตามปริมาณไฮโดรคาร์บอนเรซินส่งผลต่อสมบัติทางด้านการยึดติดของการ PSA จากยางสกิม LPSR และพอลิเมอร์ผสม LPSR/ PVA20 ได้สอดคล้องในทิศทางเดียวกัน

#### 4.3.4 การเตรียมการ PSA จากพอลิเมอร์ผสม E-LPSR/PVA

เนื่องจากการจากยางธรรมชาติยังมีข้อด้อยบางประการที่มาจากการสร้างทางเคมี เช่น การมีพันธะไม่อิ่มตัว เป็นผลทำให้มีความเสถียรต่ำสิ่งแวดล้อมต่ำ แต่อย่างไรก็ตาม ยางธรรมชาติเป็นยางที่มีความแข็งแรงมากที่สุดและมีคุณสมบัติเชิงกลดีกวายางสังเคราะห์ (synthetic rubber) นอกจากนี้ยังมีราคาถูกและสามารถย่อยสลายได้เองในธรรมชาติ และพบว่า ได้มีการศึกษาสมบัติทางด้านการยึดติดของการ PSA ที่เตรียมจากยาง ENR 25 และ ENR 50 โดยใช้คูมารอนินเดนเรซิน (Cumarone-indene resin) เป็นแทคคิไฟเรซิน ในระบบการเตรียมการ PSA แบบใช้ตัวทำละลาย (solvent base adhesive) พบร่วมกับยาง ENR 25 .ให้สมบัติการยึดติดได้ดีกว่า ENR 50 (Poh B.T. et.al., 2007) อย่างไรก็ตามพบว่า ยังไม่เคยมีการศึกษา วิธีการเตรียมการ PSA จากยางสกิมบริสุทธิ์ที่ทำการการปรับปรุงโครงสร้างทางเคมีโดยใช้ปฏิกิริยาอิพอกซิเดชัน

ในการทดลองนี้ได้ทำการศึกษาการปรับปรุงโครงสร้างทางเคมีของยางสกิม LPSR โดยใช้ปฏิกิริยาอิพอกซิเดชัน เพื่อเตรียมยางสกิมโปรตีนต่ออิพอกไซด์โดยเตรียมจากสารละลายยางสกิม LPSR ทำปฏิกิริยาอิพอกซิเดชันด้วยกรดเปอร์ฟอร์มิก (performic acid) ซึ่งได้จากการทำปฏิกิริยาระหว่างกรดฟอร์มิก (formic acid) และไฮโดรเจนเปอร์ออกไซด์ (hydrogen peroxide) ซึ่งจากการที่ได้ทำการศึกษาทดลองโดยเบื้องต้นพบว่า ยางสกิม LPSR ที่มีปริมาณหมุ่อิพอกไซด์ที่สูงเกินไป (25, 50% mole) อาจทำให้สมบัติทางด้านการยึดติดของการ

PSA สูญเสียไป ดังนั้นในการทดลองนี้จึงเลือกศึกษาการปรับปรุงโครงสร้างทางเคมีของยางสกิม LPSR โดยใช้ปฏิกิริยาอิพอกซิเดชันเพื่อให้ได้ปริมาณหมู่อิพอกไซด์ที่ไม่สูงนัก โดยทำการศึกษาปริมาณหมู่อิพอกไซด์ที่ประมาณ 5% mole เพื่อทำการเปรียบเทียบสมบัติทางด้านการยึดติดของ กาว PSA ที่เตรียมจากยางสกิม LPSR และ E-LPSR (epoxide-low protein skim rubber) ดังต่อไปนี้

#### 4.3.4.1 การวิเคราะห์สมบัติของยางสกิม E-LPSR

##### 1. น้ำหนักโมเลกุลและการกระจายตัวของน้ำหนักโมเลกุลของยางสกิม E-LPSR

จากการตรวจสอบน้ำหนักโมเลกุลและการกระจายตัวของน้ำหนักโมเลกุลของยางสกิม E-LPSR แสดงดังในตารางที่ 4.29

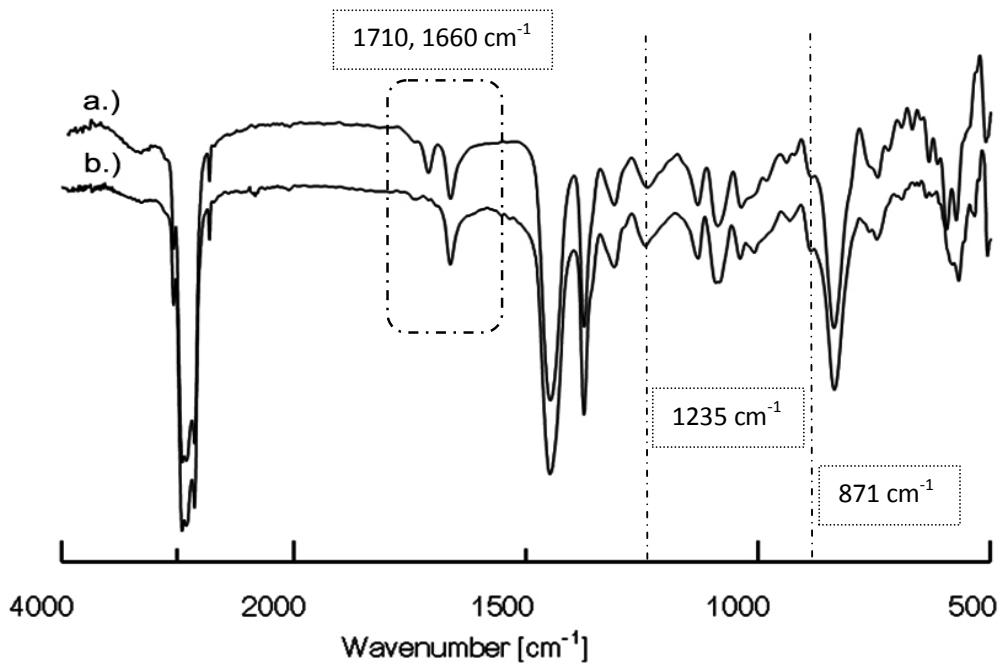
ตารางที่ 4.29 น้ำหนักโมเลกุลและการกระจายตัวของน้ำหนักโมเลกุลของยางสกิม E-LPSR

Molecular weights by GPC	E-LPSR
Weight average molecular weight, ( $\bar{M}_w$ )	$0.75 \times 10^6$ g/mole
Number average molecular weight, ( $\bar{M}_n$ )	$2.29 \times 10^5$ g/mole
Polydispersity index, $\bar{M}_w/\bar{M}_n$	3.25

##### 2. ผลการวิเคราะห์ปริมาณหมู่อิพอกไซด์

โดยทั่วไปพบว่า อินฟราเรดสเปктრัมของยางธรรมชาติอิพอกไซด์ปราากฎสำาเหน่งการดูดกลืนของหมู่อิพอกไซด์ที่ตำแหน่งเลขคณิต 870 และ  $1240\text{ cm}^{-1}$  นอกเหนือจาก แถบการดูดกลืนแสง谱ปกติของยางธรรมชาติ และอาจปราากฎแถบการดูดกลืนของหมู่อื่นๆ อัน เนื่องจากปฏิกิริยาการเปิดวงแหวนของหมู่อิพอกไซด์ เช่น แถบการดูดกลืนของหมู่ไฮดรอกซิล (hydroxyl group) ที่ตำแหน่ง  $3600-3200\text{ cm}^{-1}$  หมู่ฟูเรน (furan group) ที่ตำแหน่ง  $1065\text{ cm}^{-1}$  และหมู่อิเชอร์ (ether group) ที่ตำแหน่ง  $1800-1650\text{ cm}^{-1}$  (Davey, J.E., et al., 1984)

จากการวิเคราะห์ด้วยเทคนิคอินฟราเรดสเปกโตรสโคปี (FT-IR) ดังแสดงผลในรูปที่ 4.43 พบการดูดกลืนสเปกตรัมอินฟราเรดที่ตำแหน่งการดูดกลืนที่ 871 และ  $1235 \text{ cm}^{-1}$  ในยางสกิม E-LPSR ซึ่งแสดงตำแหน่งของหมู่อิพอกไซด์ในยางธรรมชาติ แสดงว่ามีหมู่อิพอกไซด์เกิดขึ้นในโมเลกุลยางสกิม LPSR หลังทำปฏิกิริยาอิพอกซิเดชัน นอกจากนี้ยังพบว่ามีตำแหน่งการดูดกลืนที่  $1710 \text{ cm}^{-1}$  หายไปหลังหลังทำปฏิกิริยาอิพอกซิเดชันในยางสกิม E-LPSR ซึ่งเป็นแบบการดูดกลืนของหมู่อัลดิไออด์

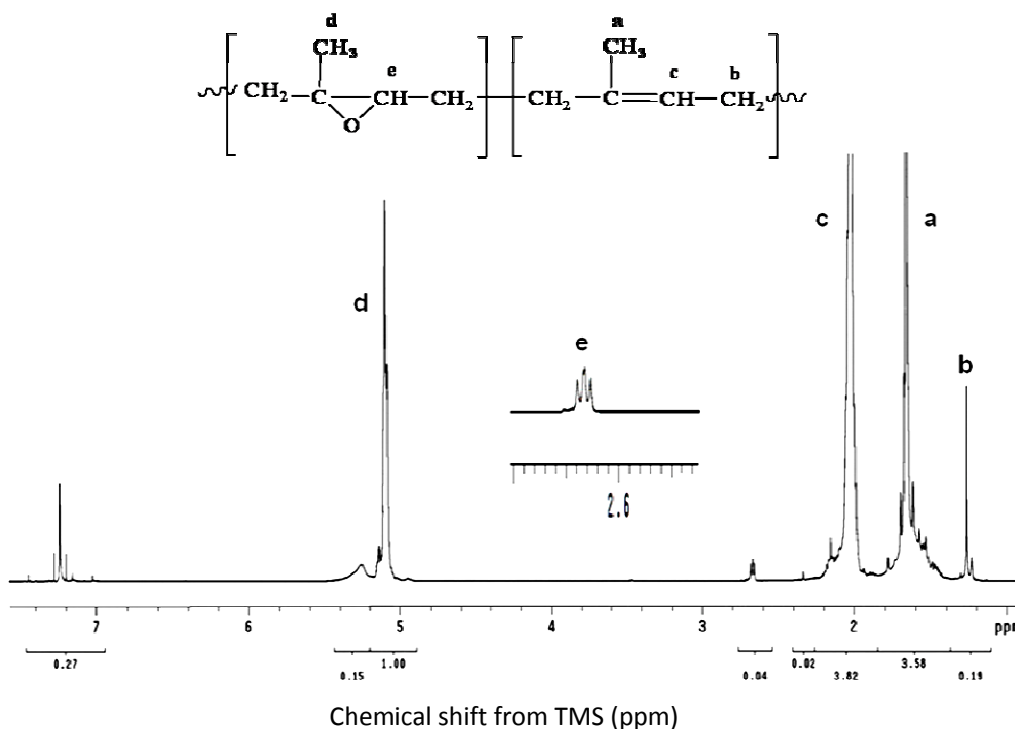


รูปที่ 4.43 การเปรียบเทียบ FTIR spectra ของยางสกิม LPSR (a) และ E-LPSR (b)

การวิเคราะห์ด้วยเทคนิคแมgnetiติกเรโซแนนซ์สเปกโตรสโคปี ( $^1\text{H-NMR}$ ) พบว่า  $^1\text{H-NMR}$  spectrum ของยางสกิม E-LPSR ในรูปประกอบที่ 4.44 ซึ่งแสดงโปรตอนที่เกะอยู่กับคาร์บอนที่พันธะคู่ของยางธรรมชาติที่ประมาณ  $5.14 \text{ ppm}$  และโปรตอนที่เกะอยู่กับคาร์บอนของหมู่อิพอกไซด์ที่ประมาณ  $2.70 \text{ ppm}$  แสดงว่ามีหมู่อิพอกไซด์เกิดขึ้นบนโครงสร้างของยางสกิม E-LPSR ซึ่งสามารถคำนวณเบอร์เซ็นต์โมลอิพอกไซด์ ได้จากอัตราส่วนของพื้นที่ใต้จุดยอด โดยอาศัยความสัมพันธ์ดังสมการที่ (4.1) พบว่าการปรับปรุงโครงสร้างทางเคมีของยางสกิม LPSR ด้วยปฏิกิริยาอิพอกซิเดชัน เพื่อเตรียมยางสกิมอิพอกซิไดซ์โปรตีนตัว (E-LPSR) โดยการเตรียมจากสารละลายนางสกิม LPSR ทำปฏิกิริยาอิพอกซิเดชันด้วยกรดเบอร์ฟอร์มิกที่

สภาวะอุณหภูมิ  $0^{\circ}\text{C}$  เป็นระยะเวลา 5 h (Okwu U.N. et al., 1999) ซึ่งสามารถคำนวณ เปอร์เซ็นต์โมล็อกอิไซด์ได้ประมาณ 5 %mole

$$\text{Mole epoxide} = \frac{I_{2.70}}{I_{2.70} + I_{5.14}} \times 100 \quad \text{สมการ (4.1)}$$

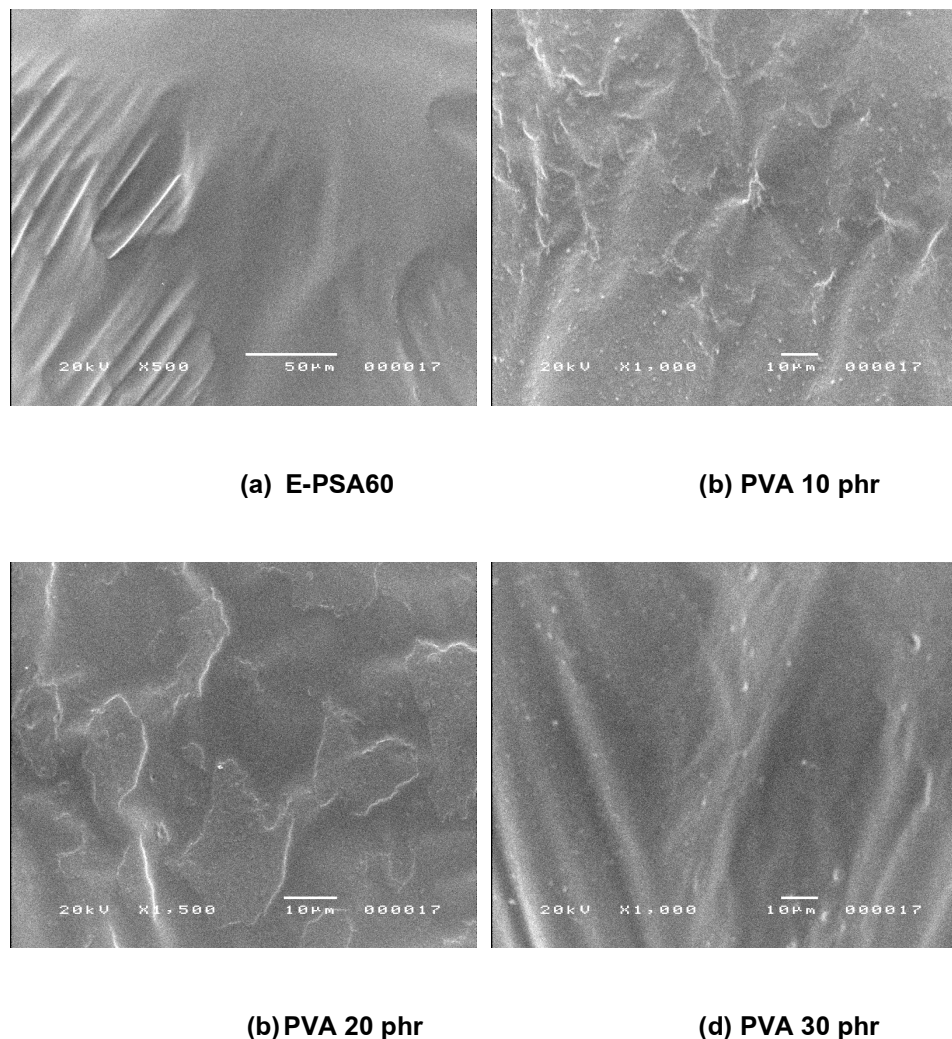


รูปที่ 4.44 ปรอตอนนิวเคลียร์แมกเนติกเรโซแนนซ์สเปกตรัม ( $^1\text{H-NMR}$  spectrum) ของยางสกิม E-LPSR

#### 4.3.4.2 ความสามารถในการเข้ากันของกาว E-PSA และกาวพอลิเมอร์ ผสม E-LPSR/PVA

##### 1. ลักษณะทางสัณฐานวิทยาของการ E-PSA-tape

จากรูปที่ 4.45 แสดงภาพถ่ายจากกล้องจุลทรรศน์อิเล็กตรอนแบบส่องการดูของ กาว PSA โดยที่ (a) E-PSA60 (HC-resin 60 phr) (b) E-PSA/PVA10 (PVA 10 phr) (c) E-PSA/PVA20 (PVA 20 phr) และ (d) E-PSA/PVA-0 (PVA 30 phr) โดยพบว่าลักษณะ สัณฐานวิทยาของการ E-PSA ที่มีปริมาณไฮโดรคาร์บอนเรซิน 60 phr มีลักษณะวัสดุภาคเป็น แบบเนื้อเดียวกัน และถึงความสามารถเข้ากันได้ระหว่างไฮโดรคาร์บอนเรซิน และยางสกิม E-LPSR และในกรณีของการพอลิเมอร์ผสม E-PSA/PVA ที่ปริมาณไฮโดรคาร์บอนเรซิน 60 phr เมื่อเพิ่มปริมาณ PVA ที่ 10 20 และ 30 phr มีลักษณะวัสดุภาคเป็นแบบเนื้อเดียวกัน เช่นกัน หรืออาจเรียกได้ว่ามีความสามารถเข้ากันได้บางส่วน (partial miscible) ซึ่งสังเกตเห็นได้ชัดเจนว่ามี อนุภาคเม็ดเล็กๆ ขนาดต่ำกว่า 1.0 μm กระจายตัวอยู่อย่างสม่ำเสมอในวัสดุภาคที่ต่อเนื่องของ ยางสกิม E-LPSR (ภาพ b c และ d) สันนิษฐานว่าอาจเป็นอนุภาคของ PVA บางส่วนที่ไม่ สามารถรวมเป็นเฟสเดียวกับยางสกิม E-LPSR อย่างไรก็ตามความมีข้าวที่เพิ่มขึ้นจากหมูอิพอก ใช้ดีในยางสกิม E-LPSR อาจสามารถช่วยให้ PVA รวมเป็นวัสดุภาคเดียวกันกับยางสกิม E-LPSR ได้ดียิ่งขึ้นกว่าเดิม ซึ่งข้อสันนิษฐานนี้ยังต้องยืนยันด้วยเทคนิคอื่นเพื่อความชัดเจน ยิ่งขึ้น



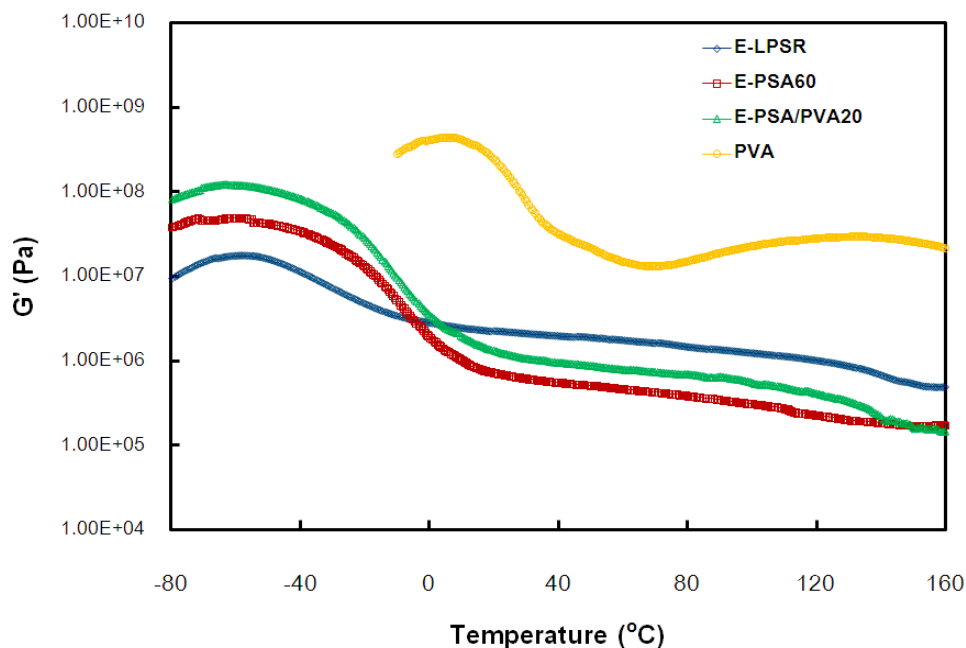
รูปที่ 4.45 ภาพถ่ายจากกล้องจุลทรรศน์อิเล็กตรอนแบบส่องการดูของวัสดุโพลิเมอร์ผสม E-PSA60/PVA ที่ปริมาณ PVA ต่างๆ กัน โดย (a) E-PSA60 (PVA 0 phr) (b) PVA 10 phr (c) PVA 20 phr และ (d) PVA 30 phr

## 2. ผลการวิเคราะห์ทางกลศาสตร์ความร้อนเชิงพลศาสตร์

การวิเคราะห์อิทธิพลของปริมาณไฮโดรคาร์บอนเรชินที่มีต่อค่า  $G'$  ของการ E-PSA และการพอลิเมอร์ผสม E-PSA/PVA20 ที่เตรียมได้จากยางสกิม LPSR เมื่อใช้ปริมาณไฮโดรคาร์บอนเรชินที่ความเข้มข้น 60 phr แสดงในรูปที่ 4.46 โดยค่า  $G'$  ของ E-LPSR ลดลงอย่างรวดที่อุณหภูมิประมาณ  $-60^{\circ}\text{C}$  ซึ่งช่วงอุณหภูมนี้คือ  $T_g$  ของยางสกิม E-LPSR และพบว่าที่อุณหภูมิต่ำ (ที่ glassy region) ค่า  $G'$  ของการ E-PSA60 และการพอลิเมอร์ผสม E-PSA/

PVA20 มีค่าสูงกว่าค่า  $G'$  ของยางสกิม E-LPSR โดยค่า  $G'$  ของการพอลิเมอร์ผสม E-PSA/PVA20 มีค่าสูงที่สุด เนื่องจากการเติมไฮโดรคาร์บอนเรชินและ PVA เป็นการเพิ่มความแข็งตัว (stiffness) ของยางสกิม E-LPSR แต่เมื่ออุณหภูมิสูงขึ้น (ที่ rubbery region) ห้องไฮโดรคาร์บอนเรชินและ PVA เกิดการหลอมเหลว ทำให้ค่า  $G'$  ของยาง E-PSA60 และ E-PSA/PVA20 มีค่าต่ำกว่าค่า  $G'$  ของยางสกิม E-LPSR แต่อย่างไรก็ตาม PVA มีความเป็นอิลาสติกมากกว่า ไฮโดรคาร์บอนเรชิน ดังนั้นค่า  $G'$  ของการพอลิเมอร์ผสม E-PSA/PVA20 มีค่าสูงกว่าการ E-PSA ตลอดช่วงอุณหภูมิของการทดลอง

เป็นที่ทราบกันดีว่า ค่า  $T_g$  ขึ้นอยู่กับการเคลื่อนที่ของสายโซ่พอลิเมอร์ โดยสายโซ่พอลิเมอร์ที่มีการเคลื่อนที่ได้น้อยหรือไม่สามารถเคลื่อนที่ได้จะมีค่า  $T_g$  สูง จากผลการทดลองเห็นได้ว่าค่า  $T_g$  ของการ E-PSA60 และการพอลิเมอร์ผสม E-PSA/PVA20 มีค่าสูงกว่ายางสกิม E-LPSR และแสดงว่า ไฮโดรคาร์บอนเรชินและ PVA ไปจำกัดการหมุนภายในสายโซ่พอลิเมอร์ของยางสกิม E-LPSR ทำให้สรุปได้ว่า ไฮโดรคาร์บอนเรชินส่งผลต่อค่า  $G'$  และ  $T_g$  ของยาง สกิม E-LPSR ซึ่งสอดคล้องกับงานวิจัยของ Sasaki M. et al., 2008

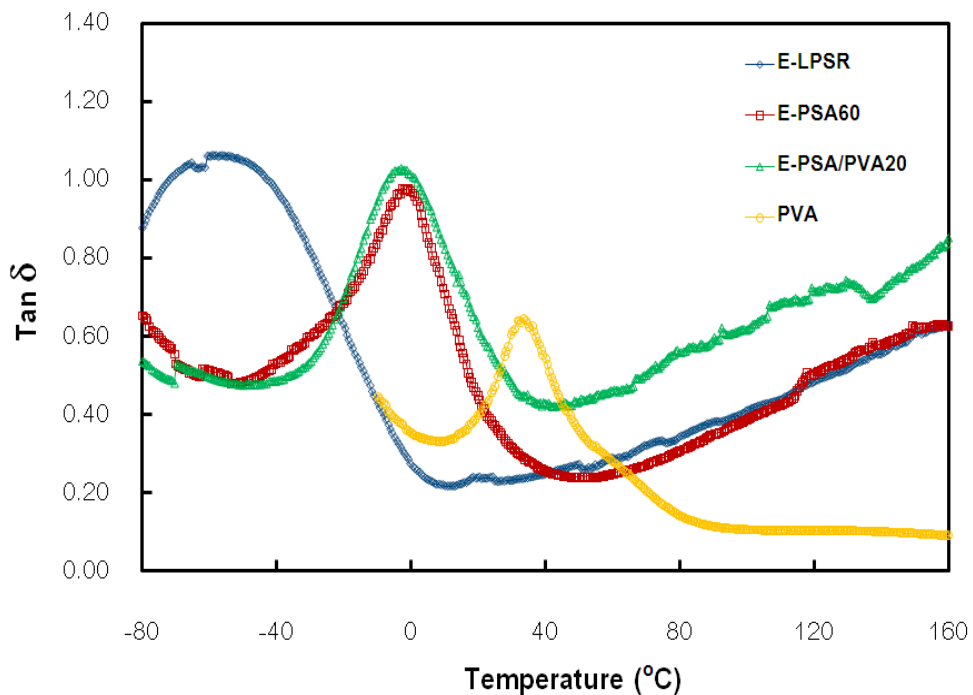


รูปที่ 4.46 กราฟ DMTA แสดงอิทธิพลของไฮโดรคาร์บอนเรชินที่มีต่อค่า  $G'$  ของยาง E-PSA และการพอลิเมอร์ผสม E-PSA/PVA20 ที่เตรียมได้จากยางสกิม E-LPSR เมื่อใช้ไฮโดรคาร์บอนเรชินที่ปริมาณ 60 phr

อิทธิพลของไฮโดรคาร์บอนเรซินต่อผลของการเปลี่ยนแปลงค่า  $\tan\delta$  ของการ E-PSA และการพอลิเมอร์ผสม E-PSA/PVA20 ที่เตรียมจากยางสกิม LPSR ที่ปริมาณไฮโดรคาร์บอนเรซิน 60 phr เมื่อทำการแปรอุณหภูมิ แสดงในรูปที่ 4.47 ตำแหน่งที่  $\tan\delta$  มีค่าสูงที่สุด คือช่วงอุณหภูมิสถานะคล้ายแก้ว ( $T_g$ ) ของวัสดุ จากกราฟพบว่าค่า  $T_g$  ของการ E-PSA และการพอลิเมอร์ผสม E-PSA/PVA20 เคลื่อนไปในตำแหน่งช่วงอุณหภูมิสูงกว่า  $T_g$  ยางสกิม E-LPSR ( $T_g = -60^\circ\text{C}$ ) คือ ตำแหน่ง  $-2.0^\circ\text{C}$  และ  $-3.0^\circ\text{C}$  ตามลำดับ ทั้งนี้เนื่องจากผลของไฮโดรคาร์บอนเรซินนั้นเอง ซึ่งสอดคล้องกับผลของค่า G' ตามที่ได้อธิบายไปแล้วในข้างต้น

ความสามารถในการผสมกันได้ (miscibility) ของพอลิเมอร์ผสมสามารถพิจารณาได้จากค่า  $T_g$  ของพอลิเมอร์ทั้งสองชนิด นั้นคือพอลิเมอร์ทั้งสองชนิดที่มีค่า  $T_g$  ที่แตกต่างกัน แต่เมื่อนำมาผสมกันแล้วปรากฏค่า  $T_g$  เพียงค่าเดียว และแสดงว่าพอลิเมอร์ทั้งสองชนิดสามารถผสมกันได้เป็นอย่างดี ซึ่งจากการทดลองเห็นได้ว่า เมื่อเติมไฮโดรคาร์บอนเรซินลงไปในยางสกิม E-LPSR (การ E-PSA) ค่า  $T_g$  ปรากฏเพียงค่าเดียวคือที่อุณหภูมิ  $-2.0^\circ\text{C}$  ( $T_g$  ของยางสกิม E-LPSR =  $-60.0^\circ\text{C}$  และ  $T_g$  ของไฮโดรคาร์บอนเรซินบริสุทธิ์ =  $40.0^\circ\text{C}$ ) (Pocius AI.V., 2002) นั้นแสดงว่า ไฮโดรคาร์บอนเรซินและยางสกิม E-LPSR สามารถผสมกันได้เป็นอย่างดี และเมื่อเติม PVA ลงในการ E-PSA (การพอลิเมอร์ผสม E-PSA/PVA20) ก็ปรากฏค่า  $T_g$  เพียงค่าเดียวเช่นเดียวกัน คืออุณหภูมิ  $-3.0^\circ\text{C}$  ( $T_g$  ของการ E-PSA =  $-2.0^\circ\text{C}$  และ  $T_g$  ของ PVA บริสุทธิ์ =  $30.0^\circ\text{C}$ ) (Riyajan S. et al., 2008) จึงสรุปได้ว่าทั้งไฮโดรคาร์บอนเรซินและ PVA มีความสามารถผสมกันได้เป็นอย่างดีกับยางสกิม E-LPSR

อย่างไรก็ตามเมื่อพิจารณาที่ช่วงอุณหภูมิประมาณ  $40-100^\circ\text{C}$  ค่า  $\tan\delta$  ของการพอลิเมอร์ผสม E-PSA/PVA20 มีค่าสูงกวายางสกิม E-LPSA และการ E-PSA และว่า PVA ไปเพิ่มการเคลื่อนที่ในระดับโมเลกุล (molecular mobility) ของยางสกิม E-LPSA และการ E-PSA



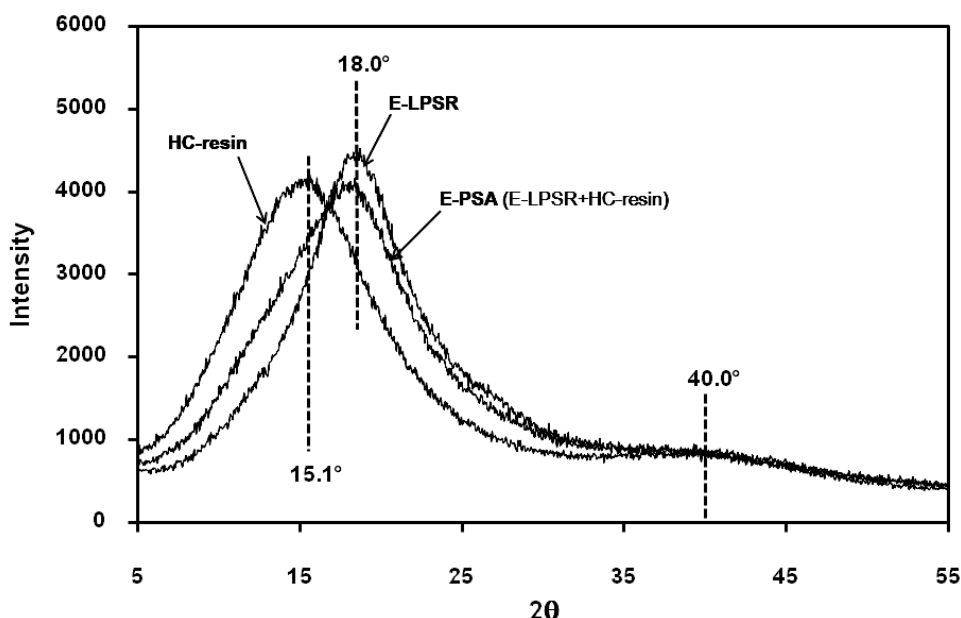
รูปที่ 4.47 กราฟ DMTA แสดงอิทธิพลของไฮโดรคาร์บอนเรซินที่มีต่อ tanδ ของการ E-PSA และการพอลิเมอร์ผสม E-PSA/PVA20 ที่เตรียมได้จากยางสกิม E-LPSR เมื่อใช้ไฮโดรคาร์บอนเรซินที่ปริมาณ 60 phr

### 3. การวิเคราะห์ผลของการเกิดผลึกด้วยเทคนิคการกระเจิงของรังสีเอกซ์แบบมุนิกว้าง

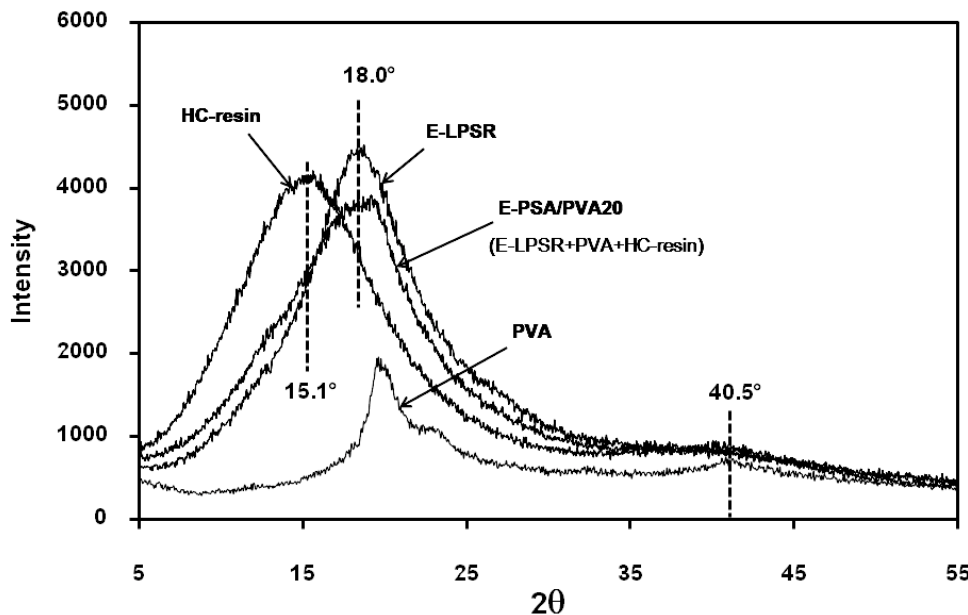
การเติมไฮโดรคาร์บอนเรซินส่งผลต่อสถานะความเป็นอสัณฐานของการ E-PSA ดังรูปที่ 4.48 พบว่า X-ray diffraction patterns ของการ PSA ปรากฏความสูงของพีค (peak intensity) ที่มุม  $18.0^\circ$  ( $2\theta$ ) ต่ำกว่าของยางสกิม E-LPSR) กล่าวคือ ทำให้มีความสามารถในการเกิดผลึกลดลง นอกจากนี้ยังปรากฏ low peak intensity ที่มุม  $40.0^\circ$  ( $2\theta$ ) ซึ่งแสดงถึงองค์ประกอบบางส่วนของการ PSA ที่มีความเป็นพอลิเมอร์กึ่งผลึกเนื่องจากมีไฮโดรคาร์บอนเรซินเป็นองค์ประกอบ

และในกรณีของการพอลิเมอร์ผสม E-PSA/PVA20 ปรากฏ peak intensity ที่มุม  $18.0^\circ$  ( $2\theta$ ) เช่นเดียวกับการ E-PSA โดยพบว่าการพอลิเมอร์ผสม E-PSA/PVA20 ให้ peak intensity ที่ต่ำกว่า ดังรูปที่ 4.49 แสดงให้เห็นว่าปริมาณของ PVA ส่งผลทำให้การเกิด

ผลึกในการลดลง ซึ่งอาจเนื่องมาจากการเกิดอันตรกิริยาระหว่างยางสกิม E-LPSR และ PVA นอกจากนี้ยังปรากฏ low peak intensity ที่มุม  $40.5^\circ$  ( $2\theta$ ) ซึ่งแสดงถึงองค์ประกอบบางส่วนของพอลิเมอร์ผสม E-PSA/PVA20 ที่ยังมีความเป็นพอลิเมอร์กึ่งผลึกเข็นเดียวกับ PVA (Riyajan S. et al., 2009) อย่างไรก็ตาม การเติมไฮโดรคาร์บอนเรซินส่งผลต่อสถานะความเป็นอสัณฐานของการ E-PSA อย่างชัดเจน สังเกตได้จากการที่มี peak intensity ที่ลดลงของต่ำกว่า peak intensity ของยางสกิม E-LPSR



รูปที่ 4.48 X-ray diffraction patterns ของการ E-PSA และการพอลิเมอร์ผสม E-PSA/PVA20 ที่เตรียมได้จากยางสกิม E-LPSR เมื่อใช้ไฮโดรคาร์บอนเรซินที่ปริมาณ 60 phr

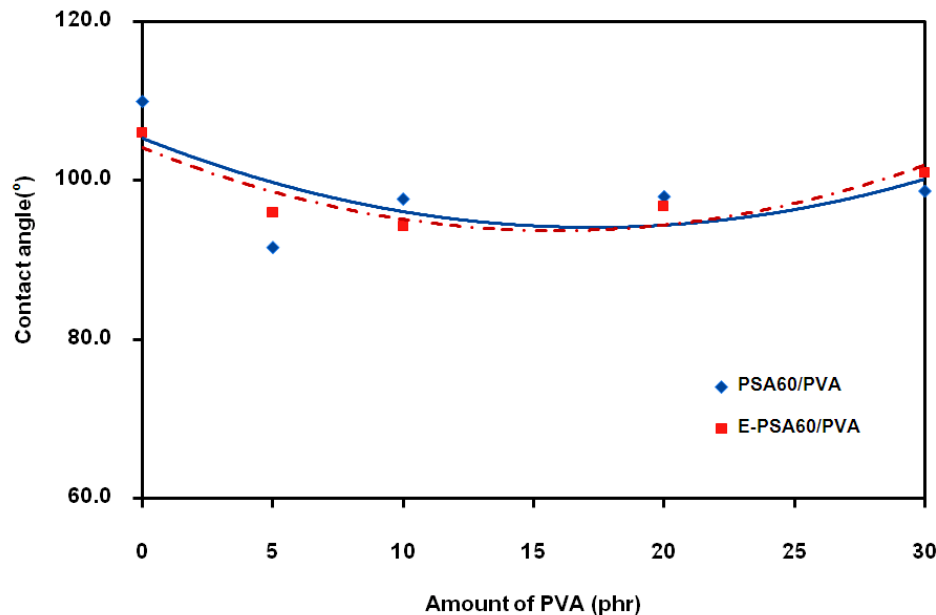


รูปที่ 4.49 X-ray diffraction patterns ของกาว E-PSA และกาวพอลิเมอร์ผสม E-PSA/PVA20 ที่เตรียมได้จากยางสกิม E-LPSR เมื่อใช้ไฮโดรคาร์บอนเรซินที่ปริมาณ 60 phr

#### 4.3.4.3 อิทธิพลของปริมาณ PVA ต่อสมบัติทางด้านการยึดติดของกาว PSA ที่เตรียมจากยางสกิม LPSR และ E-LPSR

##### 1. การวัดมุมสัมผัสเชิงพิสิกส์

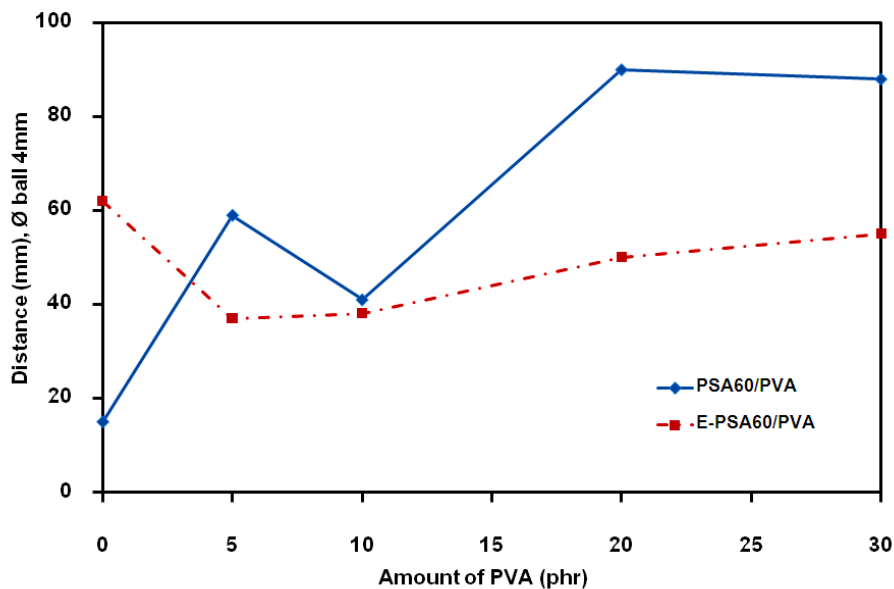
การเปลี่ยนแปลงค่ามุมสัมผัสของการพอลิเมอร์ผสม PSA60/PVA และ E-PSA60/PVA เมื่อปรับปริมาณ PVA ที่ 0 5 10 20 และ 30 phr ดังในรูปที่ 4.50 พบว่าปริมาณ PVA ส่งผลต่อการลดลงของค่ามุมสัมผัสของการอย่างมีนัยสำคัญ กล่าวคือ การพอลิเมอร์ผสม PSA60/PVA และ E-PSA60/PVA มีการเปลี่ยนแปลงมุมสัมผัสเพิ่มสูงขึ้น โดยค่อยๆ เพิ่มสูงขึ้น เมื่อปริมาณ PVA เพิ่มมากขึ้น ทั้งนี้อาจเนื่องมาจากการของ PVA และความสามารถในการเข้ากันได้ของพอลิเมอร์ผสมระหว่าง PVA และกาว PSA หรือ E-PSA เนื่องจากพบว่า เมื่อปริมาณ PVA เพิ่มสูงขึ้นทำให้สารละลายกาวมีความหนืดเพิ่มขึ้น และถ่วงถึงการที่กาวมีพลังงานพื้นผิวสูงขึ้น หรือมีความสามารถในการเปียก (wettability) ลดลง อย่างไรก็ตามพบว่าการพอลิเมอร์ผสม PSA60/ PVA และ E-PSA60/PVA มีแนวโน้มการเปลี่ยนแปลงมุมสัมผัสเนื่องจากผลของ PVA คล้ายกัน



รูปที่ 4.50 อิทธิพลของ PVA ที่มีต่อการเปลี่ยนแปลงค่ามุมสัมผัสของการพอลิเมอร์ผสม PSA60/PVA และ E-PSA60/PVA เมื่อปรับปริมาณที่ 0-30 phr

## 2. สมบัติความเหนียวของเทปกาว

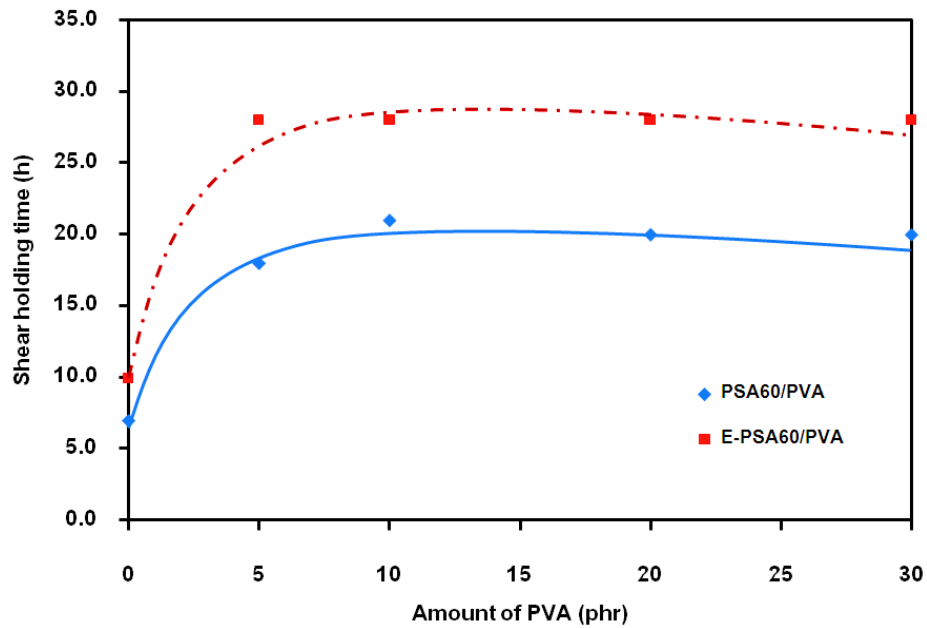
อิทธิพลของ PVA ต่อการเปลี่ยนแปลงค่าความเหนียวของการพอลิเมอร์ผสม PSA60/PVA และ E-PSA60/PVA เมื่อปรับปริมาณ PVA ที่ 0 5 10 20 และ 30 phr ดังแสดงในรูปที่ 4.51 พบว่า เมื่อทำการเพิ่มปริมาณ PVA ระยะทางที่เคลื่อนได้ของลูกบล็อก ( $\emptyset$  ball 4 mm) เพิ่มขึ้น แสดงให้เห็นว่าประสิทธิภาพของความเหนียวของการลดลง ซึ่งเห็นได้ชัดเจนในการณ์ของการพอลิเมอร์ผสม PSA60/PVA กล่าวคือ อาจเกิดจากความสามารถในการเข้ากันหรือ การกระจายตัวของไฮโดรคาร์บอนเรชิน และ PVA ในการพอลิเมอร์ผสม PSA60/PVA และ E-PSA60/PVA ที่ไม่เป็นเฟสเดียวกัน ทำให้ประสิทธิภาพความเหนียวของการลดลงนั้นเองอย่างไรก็ตามพบว่า การพอลิเมอร์ผสม E-PSA60/PVA มีความเหนียวมากกว่าการพอลิเมอร์ผสม PSA60/PVA ทั้งนี้อาจเนื่องมาจากการมีข้าวที่เพิ่มขึ้นของการพอลิเมอร์ผสม E-PSA60/PVA อันเกิดจากหมุนอิพอกซีไดซ์จากย่างสกิน E-LPSR หรือ อาจเกิดจากความสามารถในการเข้ากันได้มากขึ้นภายใต้โมเลกุลของการพอลิเมอร์ผสม



รูปที่ 4.51 อิทธิพลของ PVA ต่อการเปลี่ยนแปลงค่าความเหนี่ยวยาวของการพอลิเมอร์ผสม PSA60/PVA และ E-PSA60/PVA เมื่อปรับปริมาณที่ 0 5 10 20 และ 30 phr

### 3. สมบัติการคีบ

อิทธิพลของ PVA ต่อการเปลี่ยนแปลงสมบัติการคีบของการพอลิเมอร์ผสม PSA60/PVA และ E-PSA60/PVA เมื่อปรับปริมาณที่ 0 5 10 20 และ 30 phr ดังในรูปที่ 4.52 พบว่า การเปลี่ยนแปลงสมบัติการคีบของการพอลิเมอร์ผสม PSA/PVA20 และ E-PSA60/PVA เพิ่มสูงขึ้น เมื่อเพิ่มปริมาณ PVA กล่าวคือ ทำให้ประสิทธิภาพในการต้านทานต่อแรงเฉือนได้สูงขึ้น และพบว่าการเปลี่ยนแปลงเริ่มช้าลงจนเกือบคงที่ เมื่อปริมาณ PVA เพิ่มสูงขึ้นในช่วง 10-30 phr กล่าวคือ มีค่าการต้านทานต่อแรงเฉือนประมาณ 20-30 h และให้ผลที่สอดคล้องกัน ทั้งกรณีของการพอลิเมอร์ผสม PSA60/PVA และ E-PSA60/PVA ซึ่งอาจสามารถอธิบายได้จาก การที่ PVA มีสมบัติความเป็นวิสโคอิลาสติกที่สูงกว่ายางสกิม LPSR และ E-LPSR ส่งผลทำให้มีแรงยืดเหดໍียวย้ายในโมเลกุลของกาวสูงขึ้น และการเคลื่อนที่ของสายโซ่โมเลกุลเกิดได้ยากขึ้นอย่างไรก็ตามพบว่าการพอลิเมอร์ผสม E-PSA60/PVA ให้ประสิทธิภาพในการต้านทานต่อแรงเฉือนได้สูงกว่า กาว PSA60/PVA กล่าวคือ มีค่าการต้านทานต่อแรงเฉือนประมาณ 30 h ซึ่งแสดงถึงการที่กาวมีแรงยืดเหดໍียวย้ายในเนื้อกาวที่สูงกว่านั้นเอง

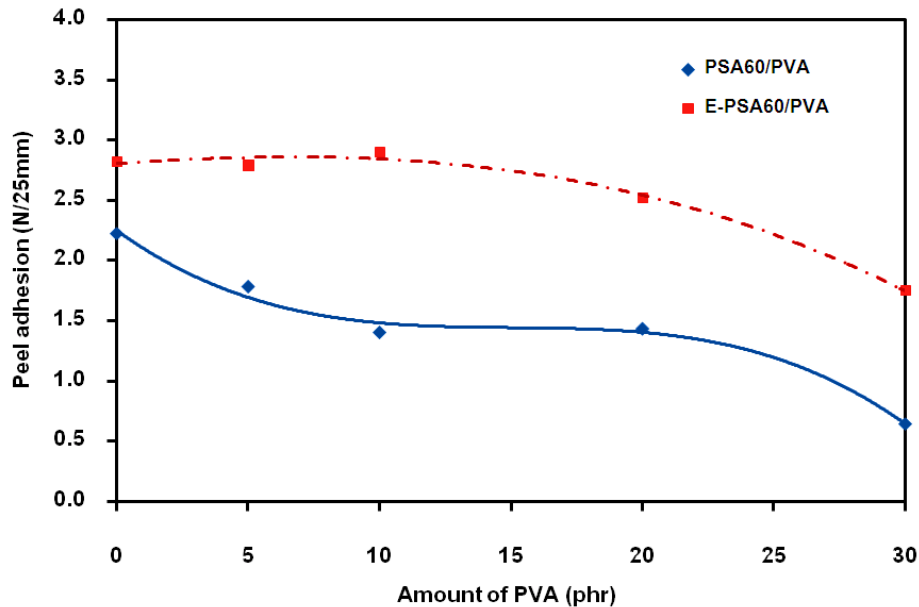


รูปที่ 4.52 อิทธิพลของ PVA ต่อการเปลี่ยนแปลงสมบัติการดึงออกของกาวพอลิเมอร์ผสม PSA60/PVA และ E-PSA60/PVA เมื่อปรับปริมาณที่ 0-30 phr

#### 4. สมบัติการดึงลอก

อิทธิพลของ PVA ต่อการเปลี่ยนแปลงสมบัติการดึงลอกของกาวพอลิเมอร์ผสม PSA60/PVA และ E-PSA60/PVA เมื่อปรับปริมาณที่ 0 5 10 20 และ 30 phr ดังแสดงในรูปที่ 4.53 พบว่าแรงที่ใช้ในการลอกแบบกาวพอลิเมอร์ผสม PSA60/PVA และ E-PSA60/PVA ออกจากพื้นผิวสัดส่วนค่าลดลง กล่าวคือ ที่ช่วงปริมาณ PVA 5-30 phr มีแรงดึงลอกลดลงจาก 1.78 ถึง 0.64 N/25 mm สำหรับกรณีของกาวพอลิเมอร์ผสม PSA60/PVA และ 2.79 ถึง 1.75 N/25 mm สำหรับกรณีของกาวพอลิเมอร์ผสม E-PSA60/PVA ซึ่งสามารถอธิบายได้ว่า ปริมาณ PVA ที่สูงขึ้น ชี้งทำให้ความสามารถในการเปียกของกาวที่มีต่อวัสดุที่ยึดติดลดลง ทำให้ส่งผลต่อแรงยึดติดทางกล หรือแรงยึดติดระหว่างกาวกับวัสดุ ทำให้กามมีแรงการดึงลอกลดลง และเนื่องจาก การที่ปริมาณ PVA ที่เพิ่มขึ้น จึงส่งผลทำให้กาวมีความหนืดที่เพิ่มสูงขึ้น ดังนั้นการไหลของกาวเข้าไปแทนที่อากาศในช่องว่างบนพื้นผิวของวัสดุจึงเกิดได้ช้าลง (Poh B.T., et al. 2006) อย่างไรก็ตามพบว่า กาวพอลิเมอร์ผสม E-PSA60/PVA ให้ประสิทธิภาพในการต้านทานต่อการลอกออกได้สูงกว่า กาวพอลิเมอร์ผสม PSA60/PVA ทั้งนี้อาจเกิดจากความสามารถในการเข้ากัน

ได้มาขึ้นของพอลิเมอร์ผสมภายในโมเลกุลของการ หรือ จากความมีข้าวที่เพิ่มขึ้นจากยางสกิม E-LPSR ทำให้การเกิดการยึดติดได้ดีกับพื้นผิววัสดุสมมติ



รูปที่ 4.53 อิทธิพลของ PVA ต่อการเปลี่ยนแปลงสมบัติการดึงลอก ( $180^\circ$  peel) ของการพอลิเมอร์ผสม PSA60/PVA และ E-PSA60/PVA เมื่อปริมาณที่ 0 5 10 20 และ 30 phr

##### 5. การศึกษาลักษณะความล้มเหลวในการยึดติดของการ PSA

การศึกษาลักษณะความล้มเหลวในการยึดติด (adhesion failure) ของการ PSA แสดงถึงคุณสมบัติความต้านทานต่อความร้อนในการ PSA (heat resistance) กล่าวคือเป็นการวิเคราะห์ลักษณะความล้มเหลวในการยึดติดหลังจากผ่านการอบที่อุณหภูมิ  $80^\circ\text{C}$  ระยะเวลา 3 h ทำการทดสอบด้วยเทคนิค  $180^\circ$  peel ที่อัตราเร็วในการดึง 150 mm/min ซึ่งโดยปกติลักษณะความล้มเหลวในการยึดติดของการ PSA แบ่งออกเป็นสองลักษณะ คือ ความล้มเหลวการยึดติด ซึ่งเป็นลักษณะความล้มเหลวที่เมื่อลอกเทปกาวออกจากวัสดุยึดติดแล้ว ส่วนกาว (adhesive) และส่วนวัสดุยึดติด (adherence) สามารถแยกออกจากกันได้โดยที่ไม่มีชิ้นส่วนกาวหลุดลอก เกาะติด หรือ หลงเหลืออยู่บนวัสดุยึดติด และ ความล้มเหลวการเชื่อมแน่น (cohesive failure) ซึ่งเป็นลักษณะความล้มเหลวที่เมื่อลอกเทปกาวออกจากวัสดุยึดติดแล้ว ปรากฏชิ้นส่วนกาวหลุดลอกเกาะติด หรือ หลงเหลืออยู่บนวัสดุยึดติด ซึ่งจากการทดสอบลักษณะความล้มเหลวในการ

ยึดติดของการพอลิเมอร์ผสม PSA60/PVA และ E-PSA60/PVA เมื่อแปรปริมาณ PVA 0 5 10 20 และ 30 phr ในตาราง 4.30 พบว่าการพอลิเมอร์ผสม PSA60/PVA และ E-PSA60/ PVA ให้ผลทดสอบมีลักษณะเป็นแบบ adhesion failure ในทุกๆสภาวะ แสดงให้เห็นได้ว่าปริมาณ PVA ที่เพิ่มขึ้น ไม่ส่งผลกระทบใดๆต่อลักษณะความล้มเหลวในการยึดติดของการเมื่อได้รับความร้อน แต่อาจช่วยให้การ PSA-tape สามารถด้านทานต่อความร้อนได้ดียิ่งขึ้น เนื่องจากหากมีค่าแรงยึดเหนี่ยวภายในเนื้อการที่สูงขึ้นนั่นเอง อย่างไรก็ตามลักษณะความล้มเหลวแบบ adhesive failure เป็นลักษณะที่ดีสำหรับการ PSA-tape

ตารางที่ 4.30 ลักษณะความล้มเหลวในการยึดติดของการ PSA60/PVA และ E-PSA60/PVA เมื่อแปรปริมาณ PVA 0 5 10 20 และ 30 phr

Amount of PVA (phr)	Adhesion failure shear holding	
	PSA60/PVA	E-PSA60/PVA
0	Adhesive	Adhesive
5	Adhesive	Adhesive
10	Adhesive	Adhesive
20	Adhesive	Adhesive
30	Adhesive	Adhesive

#### 4.3.4.4 สรุปผลการทดสอบอิทธิพลของปริมาณ PVA ต่อสมบัติทางด้านการยึดติดของการ PSA ที่เตรียมจากยางสกิม LPSR และ E-LPSR

จากการทดสอบสมบัติอิทธิพลของปริมาณ PVA ต่อสมบัติทางด้านการยึดติดของการ PSA ที่เตรียมจากยางสกิม LPSR และ E-LPSR โดยใช้ไฮดราริกบอนเรซิโนนเป็นแทคคิไฟเօร์เรซิโนน ที่ปริมาณ 60 phr ซึ่งสามารถสรุปได้ว่า ปริมาณ PVA ที่สูงขึ้น ส่งผลทำให้การ PSA มีสมบัติการคีบสูงขึ้น แต่อาจทำให้การมีพลังงานพื้นผิว และสมบัติการดึงออก และสมบัติความเหนียว ลดลงเล็กน้อย โดยพบว่า ปริมาณ PVA ที่เหมาะสมสำหรับการเตรียมการ PSA คือ ที่ปริมาณ 10-20 phr ซึ่งให้สมบัติทางด้านการยึดติดได้ที่สุด อย่างไรก็ตามพบว่า การ PSA ที่เตรียมจากยางสกิม E-LPSR และพอลิเมอร์ผสม E-LPSR/PVA20 ให้สมบัติการยึดติดได้ดีกว่าจากยางสกิม LPSR และพอลิเมอร์ผสม E-LPSR/PVA20 นอกจากนี้ยังพบว่าการ PSA มีลักษณะความล้มเหลวทางด้านการยึดติดแบบ adhesive failure ซึ่งเป็นลักษณะที่ดีของ PSA-tape

#### 4.3.4.5 เปรียบเทียบสมบัติของการ PSA ที่เตรียมจากยางสกิม LPSR และสมบัติการ PSA ทางการค้าประเภทต่างๆ

สมบัติทางด้านการยึดติดของการ PSA ที่เตรียมจากยางสกิม LPSR ต่างๆ ที่ปริมาณไฮโดรคาร์บอนเรชิน 60 phr และ PVA 20 phr และสมบัติการ PSA ทางการค้าประเภทต่างๆ ดังตารางที่ 4.31 พบว่าการ PSA ที่เตรียมจากยางสกิม LPSR ให้สมบัติทางด้านความเหนียวได้ดีที่สุด ส่วนการพอลิเมอร์ผสม PSA/PVA ให้ทำสมบัติทางด้านการต้านทานต่อแรงเฉือนดีขึ้น แต่ทำให้สมบัติทางด้านความเหนียวและสมบัติการดึงลอกลดลงเล็กน้อย นอกนี้การ E-PSA และการพอลิเมอร์ผสม E-PSA/PVA ที่เตรียมจากยางสกิม E-LPSR และพอลิเมอร์ผสม E-LPSR/PVA ให้สมบัติการการยึดติดได้ดียิ่งขึ้น โดยเฉพาะสมบัติการดึงลอกและการต้านทานต่อแรงเฉือน แสดงให้เห็นว่าการทำปฏิกิริยาอิพอกซิเดชันในยางสกิม LPSR ช่วยปรับปรุงความสามารถในการเข้ากันได้ และทำให้เกิดอันตรกิริยากันระหว่างโมเลกุลของการพอลิเมอร์ผสม E-LPSR/PVA และไฮโดรคาร์บอนเรชินได้ดียิ่งขึ้น ดังนั้นการ PSA ที่ได้จึงมีสมบัติการยึดติดได้ดีขึ้นนั่นเอง

อย่างไรก็ตามเมื่อเปรียบเทียบกับสมบัติการยึดติดเกรดทางการค้าพบว่า ยังอยู่ในช่วงที่ต่ำกว่าค่าที่กำหนดไว้ ทั้งนี้เนื่องจากว่า PSA ที่ได้จากการวิจัยเป็นเพียงการเตรียมโดยใช้สูตรพื้นฐาน ยังไม่ได้มีการปรับปรุงด้วยสารเติมแต่งอีกแต่อย่างใด จึงทำให้มีค่าสมบัติในการยึดติดที่ต่ำกว่าการเกรดทางการค้า

ตารางที่ 4.31 การเปรียบเทียบสมบัติของการ PSA ที่เตรียมจากยางสกิม LPSR ชนิดต่างๆ เมื่อใช้ไฮดร์คาร์บอนเรซิน และ PVA ปริมาณ 60 และ 20 phr ตามลำดับ โดยเทียบกับการทางการค้า

Adhesive Product	PSA type	Adhesion properties		
		Tack (mm)	Creep (h)	Peel adhesion (N/25mm)
LPSR	PSA	15±0	7±0.5	2.22±0.25
	PSA/PVA	90±0	20±2.0	1.43±0.20
	E-PSA	62±5	10±1.0	2.82±0.05
	E-PSA/PVA	50±3	28±1.5	2.52±0.21
Commercial	*Surgical ,Cotton tape	-	8-10	8-12
	*Stock Label tape, Sticker industry	-	8-10	8-15
	**Litho Blockout tape	25	22	6-8
	**Colored matte ,gloss tape	25	24	12
	**Drafting tape	25	-	3-4

Note; \* [www.leather chem.com](http://www.leather chem.com)

\*\* Donatas satas, Graphic Art Application; Handbook of Pressure-sensitive adhesive Technology 1982

#### 4.3.5 สุปผลการทดลองการศึกษาและพัฒนาวิธีการเตรียมการชนิดไวต่อแรงดันจากยางสกิม LPSR

จากการศึกษาและพัฒนาวิธีการเตรียมการชนิดไวต่อแรงดันจากยางสกิม LPSR สามารถสรุปได้ว่า การลดน้ำหนักโมเลกุลยางสกิม LPSR สามารถใช้เทคนิคในการลดน้ำหนักโมเลกุลโดยวิธีการบดด้วยหางกลได้ง่าย นั่นคือ สามารถลดน้ำหนักโมเลกุลลงได้จาก  $1.46 \times 10^6 \rightarrow 0.40 \times 10^6$  g/mole เมื่อทำการบดที่สภาวะ  $30-40^\circ\text{C}$  ระยะเวลา 10 min และสามารถเตรียมพอลิเมอร์ผสมระหว่างยางสกิม LPSR และ PVA โดยวิธีการผสมแบบสารละลายด้วยเครื่องผสมแบบความเร็วสูง ได้ผลิตภัณฑ์ในรูปของพอลิเมอร์ผสม LPSR/PVA เมื่อใช้

ปริมาณ PVA ไม่เกิน 30 phr และสารละลายนางสกิมมีความเข้มข้นไม่เกิน 10-15%w/v นอกนี้ยังสามารถเตรียมเทปภาว PSA ที่มีลักษณะ似ไม่มีสี ได้จากทั้งยาง LPSR และพอลิเมอร์ ผสม LPSR/PVA ด้วยวิธีเตรียมการ PSA แบบใช้ตัวทำละลาย และสามารถปรับปรุงสมบัติกา PSA ที่เตรียมจากยางสกิม LPSR ด้วย PVA ในพอลิเมอร์ผสม LPSR/PVA ทำให้สมบัติการคีบของวัสดุที่ต้องการได้ดียิ่งขึ้น ในขณะที่ PVA ทำให้สมบัติทางด้านการยึดติดอื่นๆ ของวัสดุลดลง นอกจากนั้น สามารถปรับปรุงให้มีสมบัติในการยึดติดได้ดียิ่งขึ้น โดยทำการปรับปรุงโครงสร้างโมเลกุลของยางสกิมด้วยการทำปฏิกิริยาอิพอกซิเดชัน พบว่าที่ปริมาณหมู่อิพอกซิเดทประมาณ 5 %mole ให้สมบัติการยึดติดของวัสดุได้ดียิ่งขึ้น

### ข้อเสนอแนะ

1. ควรศึกษาเพิ่มเติมเกี่ยวกับสมบัติและกระบวนการเตรียมการ PSA ในระดับกึ่งอุตสาหกรรม หรือ อุตสาหกรรม
2. ทำการทดสอบเบรียบเทียบและวิเคราะห์ผลเทียบกับการ PSA ทางการค้าที่เตรียมจากวัตถุดิบแต่ละชนิด
3. ปรับปรุงสมบัติกา PSA ที่ได้จากการวิจัย ด้วยการทดลองผลิตในสูตรเฉพาะแต่ละประเภทของการ PVA ทางการค้า เพื่อความจำเพาะในการนำไปใช้ประโยชน์ได้จริง
4. ศึกษาเทคนิคในการเตรียมการแบบอื่นๆ เพื่อให้เกิดการนำไปพัฒนาใช้ประโยชน์ให้กว้างขวางมากขึ้น

## บทที่ 5

### สรุปผลการทดลอง

การพัฒนาและปรับปรุงสมบัติยังสกิมโปรตีนต่าเพื่อการปรับปรุงใช้ประโยชน์ในด้านการนิดไวน์ต่อแรงดัน โดยในส่วนแรกทำการศึกษาวิธีการรวบรวมและจับตัวเนื้อยางสกิมแบบใหม่ด้วยสารละลายน้ำมันพอลิอิเล็กโกร์ไลต์และเกลืออนินทรีย์ ส่วนที่สองทำการศึกษากระบวนการทำให้ยางสกิมมีความบริสุทธิ์ขึ้น มีปริมาณโปรตีนต่า โดยอาศัยกระบวนการทำปฏิกิริยาสะพอนนิฟิเดชันด้วยสารละลายน้ำซิเดียมไฮดรอกไซด์ รวมถึงการปรับปรุงคุณสมบัติยังสกิมที่เตรียมได้ให้มีคุณภาพที่ดียิ่งขึ้น และในส่วนสุดท้ายเป็นการศึกษาการนำยางสกิมโปรตีนต่าไปประยุกต์ใช้งานในด้านการนิดไวน์ต่อแรงดัน รวมทั้งทำการศึกษาและพัฒนาปรับปรุงสมบัติการยึดติด โดยการปรับปรุงโครงสร้างยางสกิมด้วยการทำปฏิกิริยาอิพอกซิเดชัน และเทคนิคการเตรียมภาวะ PSA จากพอลิเมอร์สม LPSR/PVA ซึ่งสามารถสรุปได้ดังต่อไปนี้

#### 5.1 การศึกษาสภาวะในการจับตัวและรวบรวมเนื้อยางสกิมด้วยเทคนิคใหม่ โดยใช้สารละลายน้ำมันพอลิอิเล็กโกร์ไลต์และเกลืออนินทรีย์

- 1) นำยางสกิมสามารถจับตัวด้วยเทคนิคแบบใหม่ โดยการใช้สารละลายน้ำมันพอลิอิเล็กโกร์ไลต์และเกลืออนินทรีย์ ซึ่งพบว่าสารจับตัวพอลิเมอร์และเกลืออนินทรีย์สามารถช่วยในการรวบรวมเนื้อยาง และทำให้การจับตัวยางสกิมให้มีประสิทธิภาพมากยิ่งขึ้น
- 2) ประสิทธิภาพในการจับตัวยางสกิมด้วยสารจับตัวพอลิเมอร์และเกลืออนินทรีย์ ขึ้นอยู่ กับสภาวะ pH และ ปริมาณความเข้มข้นที่ใช้ (dose)
- 3) ที่สภาวะ pH 5-6 และปริมาณความเข้มข้นที่ใช้ 0.1-0.02 g/L ของสารจับตัวพอลิเมอร์ ชนิดประจุบวก (cationic polymer flocculent; Accofloc<sup>®</sup> C480) ให้ประสิทธิภาพในการจับตัวยางสกิมได้ดีกว่า สารจับตัวพอลิเมอร์ชนิดประจุลบ (anionic polymer flocculent; Waterfloc<sup>®</sup> WF4398, Aronfloc<sup>®</sup> A130, A125S)
- 4) ที่สภาวะ pH 5-6 และปริมาณความเข้มข้นที่ใช้ 10.0-2.0 g/L ของเกลืออนินทรีย์ CaCl<sub>2</sub> ให้ประสิทธิภาพในการจับตัวยางสกิมได้ดีกว่า MgCl<sub>2</sub> (NH<sub>4</sub>)<sub>2</sub>SO<sub>4</sub> และ NaCl ตามลำดับ

- 5) การจับตัวน้ำยางสกิมแบบใหม่ให้ผลิตภัณฑ์ยางสกิมที่มีปริมาณองค์ประกอบอื่นๆที่ไม่ใช้ยางลดลง ซึ่งสังเกตได้จากค่าที่ลดลงของปริมาณในโตรเจน ปริมาณเหล้า และระดับสีของยางสกิมที่ดีขึ้นกว่ายางสกิมที่ได้จากการจับตัวแบบเดิม
- 6) จากการจับตัวแบบใหม่ให้สมบัติทางกายภาพของยางสกิมที่ดีกว่าการจับตัวแบบเดิม เล็กน้อย เช่น มีค่าความหนืดลดลง และมีค่าความต้านทานการเกิดออกซิเดชันในยาง สูงขึ้น
- 7) การจับตัวน้ำยางสกิมด้วยเทคนิคใหม่โดยใช้สารจับตัวพอลิเมอร์ประจุบวก Maxfloc® สามารถประยุกต์ใช้ในระดับอุตสาหกรรมการผลิตยางสกิมได้ที่สภาวะการจับตัวที่ pH 5.5-6.0 ปริมาณการใช้ 0.1-0.2 g/L และให้ประสิทธิภาพการผลิตและสมบัติทางกายภาพของยางสกิมที่ค่อนข้างสม่ำเสมอ

## 5.2 การศึกษากระบวนการเตรียมยางสกิมโปรตีนตា โดยใช้การทำปฏิกิริยาสะพอนิฟิเคชันด้วยสารละลายโซเดียมไอกตรอกไซด์

- 1) สามารถเตรียมยางสกิมโปรตีนตា (LPSR) ด้วยการทำปฏิกิริยาสะพอนิฟิเคชันด้วย NaOH พบว่าสามารถลดปริมาณในโตรเจน และระดับสี ในผลิตภัณฑ์ยางสกิม LPSR ที่ได้อย่างมีประสิทธิภาพ
- 2) ประสิทธิภาพในการเตรียมยางสกิม LPSR ที่มีค่าปริมาณในโตรเจนต่าและระดับสีที่ดีขึ้นอยู่กับปริมาณความเข้มข้นของสารละลาย NaOH ระยะเวลาและอุณหภูมิในการทำปฏิกิริยาสะพอนิฟิเคชัน
- 3) สภาวะที่ให้ประสิทธิภาพในการเตรียมยางสกิม LPSR ดีที่สุดคือ สภาวะการทำปฏิกิริยา ที่อุณหภูมิ  $50^{\circ}\text{C}$  ความเข้มข้น 3%w/v NaOH ระยะเวลา 5 h ที่สภาวะอุณหภูมิ  $70^{\circ}\text{C}$  ความเข้มข้น 2%w/v NaOH ระยะเวลา 3 h และ ที่สภาวะอุณหภูมิห้อง ความเข้มข้น 3%w/v NaOH ระยะเวลา 48 h
- 4) ยางสกิม LPSR ที่เตรียมได้จากการการทำปฏิกิริยาสะพอนิฟิเคชันที่สภาวะอุณหภูมิห้อง ให้ประสิทธิภาพความเสถียรต่อความร้อนได้ดีกว่ายางสกิม LPSR ที่เตรียมได้จากการทำปฏิกิริยาสะพอนิฟิเคชันที่สภาวะอุณหภูมิ  $70^{\circ}\text{C}$
- 5) สมบัติความต้านทานต่อการเสื่อมสภาพด้วยความร้อนของยางสกิม LPSR สามารถปรับปรุงได้โดยการแขวนสารละลายอิมัลชันฟีโนลิก แอนติออกซิเดนท์ (ความเข้มข้น 1%w/v) เช่น BHT TBMTBP และ MBETB ก่อนการอบแห้งได้อย่างมีประสิทธิภาพ

- 6) การทำปฏิกิริยาสะพอนนิฟิเคชันช่วยทำให้สมบัติทางกายภาพยางสกิม LPSR มีคุณภาพมากขึ้น เนื่องจากมีปริมาณองค์ประกอบอื่นๆที่ไม่ใช่ยาง เช่น ปริมาณไนโตรเจน ปริมาณเอสเทอร์ ปริมาณเต้า และปริมาณเจล ลดลง เมื่อเทียบกับยางสกิมแบบธรรมดากว่า
- 7) จากการศึกษาการวัดค่าไนซ์ด้วยเบอร์ออกไซด์ในยางสกิม LPSR พบร่วมกับความสามารถให้สมบัติทางกายภาพและสมบัติเชิงกลได้เทียบเท่ากับยาง STR 5L และ IR 2200 ซึ่งอาจสามารถนำไปใช้เพื่อทดสอบการใช้ประโยชน์จากการใช้ STR 5L และ IR 2200 ได้

### 5.3 การศึกษาและพัฒนาวิธีการเตรียมการซึ่ด้วยต่อแรงดันจากยางสกิม LPSR

- 1) การลดน้ำหนักโมเลกุลยางสกิม LPSR สามารถใช้เทคนิคในการลดน้ำหนักโมเลกุลโดยวิธีการบดเชิงกล ด้วยเครื่องผสมยางแบบสองลูกกลิ้งได้ง่ายกวายางธรรมชาติทั่วๆไป เนื่องจากมีปริมาณเจลต่ำ และองค์ประกอบอื่นๆที่ไม่ใช่ยางน้อย ส่งผลให้มีค่าความหนืดและความต้านทานต่อแรงดึง (green strength) ที่ไม่สูง ทำให้ง่ายต่อการบด หรือการแปรรูปอื่นๆ ด้วยเชิงกล นั่นคือ สามารถลดน้ำหนักโมเลกุลลงได้จาก  $1.46 \times 10^6$  เหลือ  $0.40 \times 10^6$  g/mole เมื่อทำการบดที่สภาวะ  $30-40^\circ\text{C}$  ระยะเวลา 10 min
- 2) ยางสกิม LPSR ที่ผ่านการบดแล้วพบว่า เมื่อบดในระยะเวลาตั้งแต่ 6-10 min มีความสามารถในการละลายในตัวทำละลาย troloxin ได้ดีถึง 15-20% w/v
- 3) สามารถเตรียมพอลิเมอร์ผสม LPSR/PVA โดยวิธีการผสมแบบสารละลายผสม water in oil ด้วยเครื่องผสมความเร็วสูง ได้ผลิตภัณฑ์ในรูปของสารละลายอิมัลชันพอลิเมอร์ผสม LPSR/PVA เมื่อปริมาณการใช้ PVA ไม่เกิน 30 phr และสารละลายยางสกิม LPSR ที่มีความเข้มข้นไม่เกิน 10-15% w/v
- 4) สามารถเตรียมเทปิกา PSA ที่มีลักษณะใส่ไม่มีสี ได้จากการหั้งยาง LPSR และพอลิเมอร์ผสม LPSR/PVA ด้วยวิธีเตรียมแบบใช้ตัวทำละลาย โดยพบว่า ที่ปริมาณ PVA 10-20 phr และไฮโดรคาร์บอนเรซิน 50-60 phr เหมาะสมสำหรับการ PSA นอกจากนี้การเติม BHT 1 phr สามารถป้องกันการเสื่อมสภาพด้วยความร้อนในกาว PSA ได้ดียิ่งขึ้น
- 5) การปรับปรุงสมบัติการ PSA ที่เตรียมจากยางสกิม LPSR ด้วย PVA ในพอลิเมอร์ผสม LPSR/PVA ให้สมบัติการคีบ (creep) ได้ดียิ่งขึ้น ในขณะที่ PVA ทำให้สมบัติอื่นๆ เช่น ความเหนียว (tack) และการดึงลอก (peel) ลดลง นอกจากนี้สมบัติทางด้านการยึดติด ของการพอลิเมอร์ผสม LPSR/PVA ขึ้นอยู่กับความเข้ากันได้และการเกิดอันตรกิริยากัน ในโมเลกุลของพอลิเมอร์ผสมและไฮโดรคาร์บอนเรซิน ซึ่งตรวจสอบได้จาก SEM DMTA และ XRD
- 6) การ PSA จากยางสกิม LPSR และพอลิเมอร์ผสม LPSR/PVA สามารถปรับปรุงให้มีสมบัติในการยึดติดได้ดียิ่งขึ้น เมื่อทำการปรับปรุงโครงสร้างโมเลกุลยางสกิมด้วยการทำ

ปฏิกริยาอิพอกซิเดชัน เพื่อให้ได้ยางสกิมที่มีปริมาณหมู่อิพอกไซด์ประมาณ 5% mole เนื่องจากพบว่าปริมาณหมู่อิพอกไซด์ที่ไม่สูงเกินไป สามารถทำให้เข้ากันกับไฮโดรคาร์บอนเรซินได้ และ PVA สามารถกระจายตัวได้ดียิ่งขึ้น ซึ่งตรวจสอบได้จาก SEM DMTA และ XRD

#### 5.4 ข้อเสนอแนะ

- 1) ศึกษาเพิ่มเติมเกี่ยวกับการพัฒนาการจากยางสกิม LPSR เพื่อการประยุกต์ใช้ในผลิตภัณฑ์กาวทาง การแพทย์ชนิดอื่นๆ เช่น การทดสอบการแพ็คโปรตีนในยางธรรมชาติ
- 2) ควรศึกษาเพิ่มเติมเรื่องของการต้านทานต่อแสง หรือการเกิดการเสื่อมสภาพเนื่องจากระยะเวลาในการใช้งาน ด้วยสารต้านการเสื่อมสภาพชนิดต่างๆ
- 3) ควรศึกษาเพิ่มเติมการเตรียมการ PSA จากยางสกิม LPSR และพอลิเมอร์ผสม LPSR/ PVA เมื่อทำการปรับปรุงโครงสร้างโมเลกุลยางสกิมด้วยการทำปฏิกริยาอิพอกซิเดชันที่มีปริมาณหมู่อิพอกไซด์สูงขึ้น (10-20% mole) และศึกษาประเภทของสารแทคคิไฟเออร์เรซิน (tackifier resin) ที่เหมาะสม เพราะจากการทดลองพบว่า ไม่สามารถใช้ไฮโดรคาร์บอนเรซินในการเตรียมการ PSA จากยางสกิม E-LPSR ที่มีปริมาณหมู่อิพอกไซด์ประมาณ 50% mole ได้
- 4) ศึกษาการเพิ่มประสิทธิภาพทางด้านการยึดติด ด้วยสารเติมแต่งชนิดต่างๆ ที่มีความเหมาะสมสำหรับการ PSA ให้มากขึ้น
- 5) ควรพัฒนาเทคนิคในการเตรียมการ PSA จากยางสกิม LPSR และพอลิเมอร์ผสม LPSR/ PVA ให้มีความสามารถในการเข้ากันได้ดียิ่งๆ ขึ้น

## บรรณาธุกรรม

ประมวล ตั้งบริบูรณ์รัตน์. 2547. พอลิเมอร์คอลลอยด์, หน้า 171-202.

วราภรณ์ ขาวชัยกุล. 2549. ยางธรรมชาติ : การผลิตและการใช้งาน (Natural Rubber Production and Application), หน้า 12-14.

พงษ์ธร แซ่อุย. 2547. ยาง: ชนิด สมมติและการใช้งาน, หน้า 4-15.

เสาวนีย์ ก่อวุฒิกุลรังสี. 2541. การผลิตยางธรรมชาติ(Natural Rubber Production), หน้า 67-78.

โสภา อิสร. 2545. วิทยานิพนธ์วิทยาศาสตร์มหาบัณฑิต บัณฑิตวิทยาลัย สาขาวิทยาศาสตร์ เทคโนโลยีพอลิเมอร์ มหาวิทยาลัยสงขลานครินทร์

อรสา ภัทร์เพบูลย์ และเรวดี แต่งเกลี้ยง.2544. “ อายุการเก็บและการปรับปรุงการเช็คตัวของ กาวน้ำยาง,” รายงานการเสนอผลงานวิจัยในการประชุมวิชาการเพื่อเผยแพร่ผลงาน วิจัย มหาวิทยาลัยสงขลานครินทร์ วิทยาเขตปัตตานี, (สงขลา: ภาควิชาเทคโนโลยียาง และพอลิเมอร์ คณะวิทยาศาสตร์และเทคโนโลยี มหาวิทยาลัยสงขลานครินทร์ วิทยาเขต ปัตตานี), 181-191

Adhesion Theory [Online] 2009. Available from <http://www.specailchem4adhesive .com>, Accessed Jan 10, 2009.

Abdin M.Z. 1999. Photodegradation of raw natural rubber under controlled condition. J.Rubb. Res. 2(4), 223-230.

Alphonsus V. Pocius. 1997. Adhesion and Adhesives Technology An Introduction, (New York : Munich Vienna,), 216-230.

Allen S. N., Edge M. 1992. Fundamentals of Polymer Degradation and Stabilisation. Elsevier Applied Science, London and New York, Chapter 2.

- Ambler M.R., Mate R.D., and Purdon I.R. 2000. Experimental branching results for diene polymers by use of gel-permeation chromatography. *J. Polym. Sci., Polym. Chem. Ed.* 12(8), 1771-1780.
- Arnold A. R. and Evans, P. (1991). Role of fatty acid in antioxidation of deproteinized natural rubber. *J. Rubb. Res.* 6, 75.
- Baker C.S.L., Gelling I.R. 1987. Epoxidation natural rubber. In *Development in Rubber Technology*, Whelan A. and Lee K.S., Eds. London; Elsevier Applied science Publisher Ltd., 87-117.
- Barnard D., Bateman L., Cunneen J.I., and Smith J.F. 1963. Contribution to the Chemistry and Physics of Rubber-link Substances (Ed. L. Bateman), Applied Science, London.
- Blackley D. C. 1997. *Polymer Latices Science and Technology: Types of Latices*. 2<sup>nd</sup> ed. London: Chapman & Hall. 2, 79.
- Blackley D.C. 1996. High Polymer Latices, vol 1. Maclaren&sons, London, Chapter 4.
- Bevilacqua E.M. 1955. Chain Scission in the Oxidation of Hevea. *J. Amer. Chem. Soc.*, 49, 495.
- Butler G.L. 1990. Natural Rubber Adhesive, *Handbook of Pressure sensitive Adhesive Technology*. 3<sup>rd</sup> ed. England.
- Bristow G. M. 1990. Composition and Cure Behavior of Skim Block Natural Rubber. *J. nat. Rubb. Res.* 5, 114.
- Carman C.J., Wilkes C.E. 1969. Analysis of high cis-1,4-polyisoprene for 3,4 and trans structure using 60 MHz. *Polym. Am. Chem. Soc., Div. Polym. Chem.*, 10, 1435.

Ceresa R.J. 1978. The Chemical Modification of Polymer, Science and Technology of Rubber, Academic Press, New York, 472-473.

Chen H.Y. 1966. Microstructure of polyisoprene by high-resolution nuclear magnetic resonance. *J. Polym. Lett. Edn.*, 4, 891.

Cokbain E. G., Philpott M.W. 1963. Colloidal properties of latex, In L. Bateman. The chemistry and physics of rubber-link substances, London: Maclaren and Sons, 73.

Cockbain E.G., Philpott M.W. 1963. Colloidal Properties of Latex.The Chemistry and Physics of Rubber-Like Substances. Bateman.L.ed. London: Maclaren and Sons. 73.

Davey J.E. and Loadman M.J.R. 1984. Chemical Demonstation of the Randomness of Epoxidation of Natural Rubber, *Br. Polym. J.* 16,134-138.

Dae Jun Kim, Hyun Joong Kim and Goan Hee Yoon. 2005. Effect of substrate and tackifier on peel strength of SIS (Styrene-isoprene-styrene)-based HMPSAs. *International Journal of Adhesion & Adhesive.* 25, 288-295.

Duckwort I.H. 1965. Creamed latex. *Proc.Inst.Rubb.Ind.* 12, 134.

Dunlop Rubber Co., Ltd. 1953. Recovery of Rubber from Latex Skim, British Patent Specification No.695, 813(August 19,1953).

Eng A.H., Tangpakdee J., Kawahara S., Tanaka Y. 1997. Distribution and Origin of Apnormal Group in Natural Rubber.*J.nat.Rubb.Res.* 12, 11.

Eng A.H., Kawahara S., Tanaka Y. 1994. Trans-isoprene units in Natural Rubber. *Rubber.Chem.Tech.* 67, 159.

- Gent A.N. 1954. "Crystallization in natural rubber. II. The influence of Impurities" Trans. Inst. Rubber Ind. 30, 139.
- Hunter R.J. 1989. Foundation of Colloid Science, Vol. 2, Oxford University Press, Oxford.
- Ichikawa N., Eng A. H., Tanaka Y. 1993. Properties of Deproteinized Natural Rubber Latex. Proc. Int. Rubb. Technol. Conf., Kuala Lumpur, Malaysia. 101.
- Insom K. 2005. M.Sc. Thesis in Polymer Science and Technology. Bangkok; Faculty of Graduate Studies, Mahidol University.
- Ives K.J. (editor) 1978. The Scientific Basis of Flocculation, Sijhoff & Noordhoff, Alphen aan den Rijn.
- Jayachadran K., and Chandrasekaran M. 1998. Biological Coagulation of Skim Latex Using Acinetobacter sp. Isolated from Natural Rubber latex Centrifugation Effluent, *Biotechnology letters* 20(2),161-164.
- Jin Kon Kim, Woo Ha Kim, Dong hyun Lee. 2000. Adhesion properties of UV crosslinked polystyrene-block-polybutadiene-block-polystyrene copolymer and tackifier mixture. *Polymer* 43, 5005 - 5010.
- John C.K. and Weng S.S. 1973. Accelerated Auto-coagulation of Skim latex. J. Rubb. Res. 23 (part 4), 257-262.
- John C.K. 1971. Coagulation of Hevea latex with surfactant and salt: I. Development of the process and its effect on raw rubber properties. J. Rubb. Res. 23 (part 2), 147-156.
- Jumtee K., Sakdapipanich J.T., Prasassarakich P., Tanaka Y. 2000. Recovery and Purification of Small Rubber Particles from Skim latex. 1<sup>st</sup> Thailand Materials Science and Technology Conference, 93-95.

- K.D.P. Company 1926. Concentrated latex by evaporation process.
- Kawahara S., Kakubo T., Nishiyama N., Tanaka Y., Isono Y., Sakdapipanich J.T. 2000. "Crystallization behavior and strength of natural rubber: Skim rubber deproteinized natural rubber and pale crepe". *J. Appl. Polm. Sci.* 78, 1510.
- Moir G. F. J. 1959. Ultracentrifugation and Staining of *Hevea* Latex. *Nature*. 184, 1626.
- Riyajan S., Sakdapipanich J.T., Tanaka Y. 2003. Controlled degradation of cured natural rubber by encapsulated benzophenone as a photosensitizer. *J. Appl. Polm. Sci.* 90, 297-305.
- Morris J. E. 1954. Improved Rubber by the Enzymatic Deproteinization of Skim Latex. *Proceedings of the Third Rubber Technology Conference*. London. Messenger T.H. ed.13.
- Nawamawat K. 2002. M.Sc. Thesis in Polymer Science and Technology. Bangkok; Faculty of Graduate Studies, Mahidol University.
- Nawamawat K., Sakdapipanich J.T., Phupewkeaw N. 2008. Characterization of Purified skim rubber by alkali treatment for Pressure sensitive Adhesive Application. *Kautschuk Gummi Kunststoffe*. 61, 147-151.
- Nishiyama N., Kawahara S. 1998. Origin of Characteristic Properties of NR-Synergistic Effect of Fatty Acids on Crystallization of *Cis*-Polyisoprene .Rubber. *Rubb. Chem. Tech.* 71, 70.
- Nithi-Uthai B., Nithi-Uthai P., Wititsuwannakul R., Promna J., Promnok J., Boonrasi S. 1998. Uncoagulation Problem of Skim Latex. Proc. 7<sup>th</sup> Seminar on Elastomer. Bangkok.

Okwu U.N., Okieimen 1999. Properties of formic acid crosslinked epoxidized natural rubber (FC-ENR) blend with dry natural rubber. European Polymer Journal 35, 1855-1859.

Onya N., Tanaka Y., Wittisuwannakul R., Koyama T. 2000. Activity of Rubber Transferase and Rubber Particle Size in Hevea Latex. J. Rubb. Res. 3, 214.

Packham D.E. 1992. Handbook of Adhesion, (n.p. : Longman Group), 353-357.

Pizzi A., Mihal K.L. 2003. Handbook of adhesive technology, 2<sup>nd</sup> ed. (New York : Marcel Dekker), 255-262.

Pocius V. Al. ed., 2002. Adhesion and Adhesive Technology, An Introduction 2<sup>nd</sup> Edition, Hanser.

Poh B.T., Kwo H.K. 2007. Peel and shear strength of pressure-sensitive adhesives prepared from epoxidized natural rubber. J. Appl. Polym. Sci. 105, 680-684.

Riyajan S., Chaiponban S., Tanbumrung K. 2009. Investigation of the preparation and physical properties of a novel semi-interpenetrating polymer network base on epoxidised NR and PVA using maleic acid as the crosslinking agent. Chemical Engineering Journal. In press.

Riyajan S., Chaiponban S., Kothamnivet D., Thongseenuch S. 2008. Study the semi-interpenetrating between natural rubber and polyvinyl alcohol. Kasetsart University Science Journal, Vol. 26 No.1, 29-34.

Rungvichaniwat A., Nithi-Uthai B., Nithi-Uthai P. 1998. The colour and nitrogen content of skim rubber. Proc. 7<sup>th</sup> Seminar on Elastomer. Bangkok.

Sakdapipanich J.T., Nawamawat N. and Tanaka Y. 2002. Recovery of deproteinised small rubber particles from skim latex : Effect of some inorganic salts. J. rub. Res. 5(1), 1-10.

Sakdapipanich J. T., Suksujaritpron S., Tanaka Y. 1999. Structure Characterization of the small Rubber Particle in Fresh Heavea Latex. *J.nat.Rubb. Res.* 2,160.

Sakdapipanich J., Nawamawat K., Kawahara S. 2002. Characterization of the Large and Small Rubber Particles in Fresh *Hevea* Latex. *Rubb. Chem. Tech.* 75, 179.

Sasaki M., Fujita K., Adachi M., Fujii S., Nakamura Y., and Urahama Y. 2008. The effect of tackifier on phase structure and peel adhesion of triblock copolymer pressure-sensitive adhesive. *International Journal of Adhesion & Adhesive.* 28, 372-381.

Satas D. ed., 1982. *Handbook of Pressure-Sensitive Adhesive Technology.* Van Nostrand Reinhold: New York.

Schoenberg E., Marsh H.A., Walter S.J., Saltman W.M., 1979. Polyisoprene. *Rubber Chem. Technol.*, 52, 526.

Skeist I. 1989. A Handbook of adhesives, 2nd ed. (New York : Van Nostrand Reinholp ) 254-261.

Skeist I. 1990. A Handbook of adhesives, 3rd ed., rev (New York : Van Nostrand Reinholp,), 172-175.

Smith M. G. 1969. Recent aspects of block natural rubber production by mechanical method. *J.Rubb.Res.Inst.Malaya.* 23,78.

Tackifier [Online] 2009. Available from <http://www.specialchem4adhesive.com>, Accessed Jan 10, 2009.

Tanaka Y., Tangpakdee, J., Miyamoto Y., Hayashi M., Kanamaru E. and Mihara T. 2000. Method of Producing Particulate Natural rubber, US 6,025,451, (February 15, 2000).

Tanaka Y., Sakdapipanich J. T. 2001. Chemical Structure and Occurrence of Natural polyisoprenes. Biopolymer. 2,1.

Tanaka Y. 1998. Preparation and Application of DPNR: Recovery of Small Rubber Particles from Skim, Deproteinization of Latex by Saponification and Application of DPNR latex.1.

Tangpakdee J. and Tanaka Y. 1997. Purification of Natural Rubber. J.nat.Rubb.Res. 12(2), 112-119.

Tangpakdee J. 1998. A Doctor thesis in Department of Material systems engineering. Japan; Faculty of Technology, Tokyo University of Agriculture and Technology.

Tangboriboonrat P. and Buranabunya U. 2001. Composit natural rubber-polychloroprene latex particles produced by the heterocoagulation technique. Colloid Polym.Sci., 279, 615.

Tarachiwin L., Sakdapipanich J. T., Tanaka Y. 2005. Structure and origin of long chain branching and gel in natural rubber. Kautschuk Gummi Kunststoffe. 58,115.

Tarachiwin L., Sakdapipanich J. T., Tanaka Y. 2005. Relationship between particle size and molecular weight of rubber from Hevea Brasiliensis. Chem.Technol. 78, 694.

Tanunchai T. 1999. M.Sc. Thesis in Polymer Science and Technology. Bangkok; Faculty of Graduate Studies, Mahidol University.

The Firestone Tire & Rubber Co.1955. Improvements in or relating to high grade rubber and method of making same, British Patent Specification No.739, 750.

Tridib T., Bhudeb R. D. 2006. Flocculation: A new way to treat the waste water. J. Physical Sci.10, 93-127.

- Tuampeomsab S., Sakdapipanich J.T., Tanaka Y. 2006. Influence of some non-rubber components on aging behavior of purified natural rubber. *Rubber. Chem. Technol.* 80, 159-168.
- Tyczkowski J., Krawczyk I., Wozniak B. 2003. Modification of styrene-butadiene rubber surface by plasma chlorination. *Surface and Coating technology.* 174-175, 849.
- Wren W. G. 1961. The Chemistry of Natural Rubber Production. *Rubb. Chem. Tech.* 34, 378.

### ภาคพนวก

### ภาคผนวก ก

**ความสามารถในการเข้ากันของสารละลายกาว PSA ระหว่าง Hydrocarbon resin  
กับพอลิเมอร์ผสม LPSR/PVA**

**ตารางที่ ก.1** อิทธิพลของ hydrocarbon resin ต่อการเปลี่ยนแปลงความหนืดของสารละลาย  
กาว PSA และ PSA/PVA20 เมื่อทำการแปรปริมาณที่ 0-100 phr

Amount of Hydrocarbon resin (phr)	Viscosity of PSA solution (cP)		Viscosity of PSA/PVA20 solution (cP)	
	Lot.1	Lot.2	Lot.1	Lot.2
0	1095±5	1215±5	3313±6	4538±9
10	1030±6	1196±7	3395±5	3884±5
20	1035±4	1141±9	3028±4	3750±6
40	958±8	1016±9	2485±5	3955±5
60	955±5	1044±4	2453±2	2639±5
80	857±8	957±8	2251±3	2676±6
100	840±2	907±6	2381±5	2722±3

### ภาคภูมิฯ

#### สมบัติทางด้านการยึดติดของกาว PSA จากยาง LPSR และพอลิเมอร์ผสม LPSR/PVA20

ตารางที่ ๙.๑ อิทธิพลของ hydrocarbon resin ต่อการเปลี่ยนแปลงค่ามุมสัมผัส (contact angle) ของกาว PSA-tape ที่เติมและไม่เติม BHT antioxidant เมื่อแปรปริมาณที่ 0-100 phr

Amount of hydrocarbon resin (phr)	Contact Angle(°)	
	PSA lot.1(no BHT)	PSA lot.2(1phr BHT)
0	111.5±9.7	108.0±2.4
10	102.8±1.6	102.7±1.0
20	107.0±9.5	101.5±1.3
40	96.8±0.7	103.4±2.5
60	95.6±4.5	100.0±0.4
80	93.0±1.6	100.0±2.9
100	93.5±0.5	98.0±0.7

ตารางที่ ข.2 อิทธิพลของ Hydrocarbon resin ต่อการเปลี่ยนแปลงค่าความเหนียว (tack) ของ  
กาว PSA-tape ที่เติมและไม่เติม BHT antioxidant เมื่อปริมาณที่ 0-100 phr

Sample	HC-resin (phr)	Rolling ball tack (distance, mm)			
		Max.ball (Ø,mm)	Ø max.	Ø 3mm	Ø 4mm
PSA lot.1 (no BHT)	0	4	81±2	62±6	81±2
	10	6	47±6	10±0	18±4
	20	6	61±7	5±0	17±3
	40	6	60±4	5±0	10±0
	60	5	53±7	23±4	23±4
	80	5	58±17	35±4	47±12
	100	5	93±3	28±4	51±15
PSA lot.2 (1phr BHT)	0	4	81±2	62±6	81±2
	10	6	82±6	10±0	25±4
	20	6	46±4	5±0	12±3
	40	6	70±0	10±0	10±0
	60	5	27±3	18±3	15±0
	80	5	58±8	8±3	15±0
	100	4	79±8	15±0	79±8

**ตารางที่ ข.3** อิทธิพลของ hydrocarbon resin ต่อการเบลี่ยนแปลงสมบัติการดีบ (creep) ของ กาว PSA-tape ที่เติมและไม่เติม BHT antioxidant เมื่อแปรปรวนที่ 0-100 phr

Amount of hydrocarbon resin (phr)	Shear holding time (h)	
	PSA lot.1(no BHT)	PSA lot.2(1phr BHT)
0	3.1±0.3	46±5
10	2.0±0.2	22±2
20	1.8±0.2	20±0
40	1.7±0.2	4±0
60	1.5±0.2	3±1
80	1.3±0.2	1±0
100	1.3±0.3	1±0

**ตารางที่ ข.4** อิทธิพลของ hydrocarbon resin ต่อการเบลี่ยนแปลงสมบัติการดึงออก (peel adhesion) ของกาว PSA-tape ที่เติมและไม่เติม BHT antioxidant เมื่อแปรปรวนที่ 0-100 phr

Amount of hydrocarbon resin (phr)	Peel strength( $180^{\circ}$ peel):N/25mm	
	PSA lot.1(no BHT)	PSA lot.2(1phr BHT)
0	0.13±0.01	0.04±0.01
10	0.46±0.03	0.20±0.06
20	0.49±0.18	0.43±0.02
40	1.61±0.47	1.38±0.23
60	1.81±0.27	2.22±0.25
80	1.93±0.14	2.85±0.32
100	2.42±0.30	2.43±0.13

ตารางที่ ข.5 อิทธิพลของ hydrocarbon resin ต่อการเปลี่ยนแปลงค่ามุมสัมผัส (contact angle) ของการพอลิเมอร์ผสม PSA/PVA20 ที่เติมและไม่เติม BHT antioxidant เมื่อปรับปริมาณที่ 0-100 phr

Amount of hydrocarbon resin (phr)	Contact Angle(°)	
	PSA/PVA20 lot.1(no BHT)	PSA/PVA20 lot.2(1phr BHT)
0	99.0±1.9	109.9±2.0
10	92.8±1.2	103.6±1.1
20	97.6±4.9	102.1±4.5
40	91.5±2.7	104.0±2.9
60	93.3±1.5	98.7±2.3
80	87.2±3.8	97.6±1.0
100	81.6±1.1	96.4±1.3

**ตารางที่ ข.6** อิทธิพลของ hydrocarbon resin ต่อการเปลี่ยนแปลงค่าความเหนียว (tack) ของ กาวโพลิเมอร์ผสม PSA/PVA20 ที่เติมและไม่เติม BHT antioxidant เมื่อปรับปริมาณที่ 0-100 phr

Sample	HC-resin (phr)	Rolling ball tack (distance, mm)			
		Max.ball	Ø max.	Ø 3mm	Ø 4mm
		(Ø,mm)			
PSA/PVA20	0	4	77±3	34±7	77±3
lot.1	10	6	58±6	5±0	20±4
(no BHT)	20	6	45±5	5±0	19±2
	40	5	19±2	10±0	10±0
	60	4	62±3	5±0	62±3
	80	2	7±0	-	-
	100	2	7±0	-	-
PSA/PVA20	0	4	58±4	58±4	85±5
lot.2	10	5	79±9	28±4	45±9
(1phr BHT)	20	6	88±3	15±4	36±5
	40	5	50±0	17±4	22±3
	60	4	67±10	68±9	67±10
	80	2	10±0	-	-
	100	2	20±0	-	-

ตารางที่ ข.7 อิทธิพลของ hydrocarbon resin ต่อการเปลี่ยนแปลงสมบัติการดีบ (creep) ของ การพอลิเมอร์ผสม PSA/PVA20 ที่เติมและไม่เติม BHT antioxidant เมื่อปริมาณที่ 0-100 phr

Amount of hydrocarbon resin (phr)	Shear holding time (h)	
	PSA/PVA20	PSA/PVA20 lot.2(1phr)
	lot.1(no BHT)	BHT)
0	19.3±1.1	135±13
10	14.8±0.4	110±10
20	2.1±0.4	70±2
40	1.6±0.3	44±4
60	0.7±0.3	21±1
80	1.0±0.2	4±0
100	0.8±0.1	2±0

ตารางที่ ข.8 อิทธิพลของ hydrocarbon resin ต่อการเปลี่ยนแปลงสมบัติการดึงลอก (peel adhesion) ของ การพอลิเมอร์ผสม PSA/PVA20 ที่เติมและไม่เติม BHT antioxidant เมื่อปริมาณที่ 0-100 phr

Amount of hydrocarbon resin (phr)	Peel strength( $180^{\circ}$ peel):N/25mm	
	PSA/PVA20	PSA/PVA20
	lot.1 (no BHT)	lot.2 (1phr BHT)
0	0.10±0.02	0.05±0.02
10	0.27±0.07	0.05±0.01
20	0.77±0.06	0.12±0.07
40	1.09±0.06	0.67±0.08
60	2.04±0.09	1.35±0.15
80	2.72±0.24	2.13±0.29
100	1.64±0.38	2.17±0.36

### ภาคผนวก ค

#### สมบัติทางด้านการยึดติดของกาวพอลิเมอร์ผสม PSA/PVA จาก LPSR และ E-LPSR

**ตารางที่ ค.1** อิทธิพลของ PVA ต่อการเปลี่ยนแปลงค่ามุมสัมผัสด (contact angle) ของกาวพอลิเมอร์ผสม PSA60/PVA และ E-PSA60/PVA เมื่อปรับปรุงมาณฑล 0-30 phr

Amount of hydrocarbon resin (phr)	Contact Angle(°)	
	PSA60/PVA	E-PSA60/PVA
0	109.9±2.0	106.0±2.1
5	91.5±1.1	96.0±1.6
10	97.6±1.5	94.3±1.1
20	97.9±1.6	96.8±1.4
30	98.6±1.4	101.0±1.4

**ตารางที่ ค.2** อิทธิพลของ PVA ต่อการเปลี่ยนแปลงค่าความเหนี่ยว (tack) ของการพอลิเมอร์ ผสม PSA60/PVA และ E-PSA60/PVA เมื่อแปรปริมาณที่ 0 5 10 20 และ 30 phr

Sample	PVA (phr)	Rolling ball tack (distance, mm)			
		Max.ball (Ø,mm)	Ø max.	Ø 3mm	Ø 4mm
PSA60/PVA	0	5	27±3	18±3	15±0
	5	4	59±4	-	59±4
	10	4	41±2	76±10	41±2
	20	4	90±0	-	90±0
	30	4	88±3	-	88±3
E-PSA60/PVA	0	4	62±6	-	62±5
	5	5	60±0	57±6	37±6
	10	5	79±2	53±7	38±7
	20	5	87±3	38±3	50±3
	30	4	55±0	-	55±3

**ตารางที่ ค.3** อิทธิพลของ PVA ต่อการเปลี่ยนแปลงสมบัติการคีบ (creep) ของการพอลิเมอร์ ผสม PSA60/PVA และ E-PSA60/PVA เมื่อแปรปริมาณที่ 0-30 phr

Amount of PVA (phr)	Shear holding time (h)	
	PSA60/PVA	E-PSA60/PVA
0	7±0.5	10±1.0
5	18±1.5	28±1.5
10	21±2.0	28±1.5
20	20±2.0	28±1.5
30	20±2.0	28±1.5

**ตารางที่ ค.4** อิทธิพลของ PVA ต่อการเปลี่ยนแปลงสมบัติการดึงลอก (peel adhesion) ของ กาวพอลิเมอร์ผสม PSA60/PVA และ E-PSA60/PVA เมื่อปริมาณที่ 0 5 10 20 และ 30 phr

Amount of PVA (phr)	Peel strength ( $180^\circ$ peel):N/25mm	
	PSA60/PVA	E-PSA60/PVA
0	2.22±0.25	2.82±0.05
5	1.78±0.21	2.79±0.26
10	1.40±0.16	2.90±0.15
20	1.43±0.20	2.52±0.21
30	0.64±0.15	1.75±0.16

## ภาคผนวก ง

### เอกสารการตีพิมพ์เผยแพร่ผลงาน

**การรวมรวมและจับตัวเนื้อยางสกิมจากหางน้ำยางสกิมแบบใหม่ โดยวิธีการจับตัวด้วยสารโพลิอิเล็กตรโอลิต์และเกลืออนินทรีย์**

**Novel recovery and coagulation of skim rubber from skim natural rubber latex:  
Coagulation by polyelectrolytes and inorganic salts.**

ณัฐพนธ์ ภูพิว喟ก้า<sup>1</sup>, สาด ริยะจันทร์<sup>1</sup>, จิตต์ลัดดา ศักดาภิพาลิชช์<sup>2</sup>

Nataphon Phupewkeaw<sup>1</sup>, Sa-ad Riyajan<sup>1</sup>, Jitladda T. Sakdapipanich<sup>2</sup>

<sup>1</sup>Polymer Science Program, Faculty of Science, Prince of Songkla University, Hatyai, Songkhla 90112, Thailand

<sup>2</sup>Department of Chemistry, Faculty of Science, Mahidol University, Bangkok 10400, Thailand

E-mail address: saadriyajan@hotmail.com and scjtp@mahidol.ac.th

บทคัดย่อ; ยางสกิมเป็นส่วนที่เหลืออยู่ในหางน้ำยางซึ่งจัดว่าเป็นของเสียจากการบ้านการปั่นน้ำยางธรรมชาติ เนื่องจากมีปริมาณเนื้อยางต่ำ ประมาณ 5 % และส่วนที่ไม่ใช่ยางในปริมาณที่มาก โดยปกติในโรงงานอุตสาหกรรมน้ำยางนิยมใช้กรดกำมะถันชนิดเข้มข้นในการจับตัวเนื้อยางสกิมที่เหลืออยู่ในหางน้ำยางนี้ ยางสกิมที่ได้จากการนี้มีคุณภาพต่ำ นอกจากนั้นน้ำทึบที่เหลือจากการจับตัวยังมีปริมาณค่า BOD COD และ SO<sub>2</sub> ในปริมาณที่สูง ก่อให้เกิดปัญหาน้ำเสียซึ่งส่งผลกระทบต่อสิ่งแวดล้อม ดังนั้นงานวิจัยนี้พยายามแก้ปัญหาดังกล่าวด้วยวิธีใหม่ ในการรวมรวมและจับตัวเนื้อยางสกิมจากหางน้ำยางสกิมโดยการจับตัวด้วยสารโพลิอิเล็กตรโอลิต์; Cationic polymer (Polymethylacrylic ester), Anionic polymer (polyacrylamide) และเกลืออนินทรีย์; NaCl, CaCl<sub>2</sub>, MgCl<sub>2</sub>, (NH<sub>4</sub>)<sub>2</sub>SO<sub>4</sub>, Na<sub>2</sub>CO<sub>3</sub> วัตถุประสงค์ของงานวิจัยนี้คือศึกษาหาสภาวะที่เหมาะสมสำหรับการจับตัวยางสกิม หาความเข้มข้นของสารจับตัว, pH และความแรงอิオンิก ที่เหมาะสม เพื่อให้ได้การจับตัวที่มีประสิทธิภาพ ประหยัดเวลาและพลังงาน สามารถลดปริมาณค่า BOD COD และ SO<sub>2</sub> ในน้ำเหลือทึบ นอกจากนั้นงานวิจัยนี้ศึกษาทางกายภาพและสมบัติเชิงกล ของยางแห้งที่ผ่านการจับตัวด้วยเทคนิคใหม่นี้ด้วย

**Abstract;** Skim rubber known as a by-product of producing concentrated latex consists of about 5% dry rubber content and high amounts of impurities. Normally, the concentrated sulfuric acid is applied for coagulation of the skim latex in the rubber latex factory. The disadvantages of the application of concentrated sulfuric acid are the low quality of recovered skim rubber and the disposal water environmental, containing especially high amount of BOD, COD and SO<sub>2</sub> values. Therefore, the aim

of this work is to create the new coagulant and coagulation procedure instead of applying the concentrated acid. Polyelectrolytes such as cationic polymer, e.g., polymethyl acrylic ester, anionic polymer, e.g., polyacrylamide and inorganic salts, e.g., NaCl, CaCl<sub>2</sub>, MgCl<sub>2</sub>, (NH<sub>4</sub>)<sub>2</sub>SO<sub>4</sub>, Na<sub>2</sub>CO<sub>3</sub> were employed for both recovery and coagulation of skim rubber from skim rubber latex. The optimum conditions for skim rubber coagulation by polymer or inorganic salts concentration, pH and ionic strength were investigated. This new technique is expected to improve the efficiency of skim rubber coagulation with economic energy and time, and to reduce the amounts of BOD, COD and SO<sub>2</sub> values in the waste water. In addition, the physical and mechanical properties of the resulting solid rubber obtained from this novel coagulation were also discussed.

## Development of purified skim rubber and application for peroxide curing

Nataphon Phupewkeaw<sup>1</sup>, Sa-ad Riyajan<sup>1</sup>, Jitladda T. Sakdapipanich<sup>2\*</sup>

<sup>1</sup>Polymer Science Program, Faculty of Science, Prince of Songkla University, Hatyai, Songkla 90112, Thailand,

<sup>2</sup>Department of Chemistry, Faculty of Science, Mahidol University, Bangkok 10400, Thailand

\*Corresponding author. Ph: 02-8893116; Email:scjtp@mahidol.ac.th

### Abstract

The condition for preparing the best quality of purified skim rubber was found to be a saponification of wet skim with 2% (w/v) NaOH for 3 h at 70°C and 3% (w/v) NaOH for 48 hr at room temperature. The nitrogen content and color index of skim rubber can be reduced to the same level as the normal field grade of natural rubber by treatment with NaOH. The ester content and gel content of skim rubber were decreased after saponification. The decrease in gel content suggests that the branch points should be decomposed after saponification. The  $\bar{M}_w$  of purified skim rubber was 1.0-1.7  $\times 10^6$ , and  $\bar{M}_n$  was 1.0-6.0  $\times 10^5$  g/mole. The purified skim rubber suffers oxidative and /or thermal degradation is presumed to be due to the loss of some naturally occurring antioxidants and the activation of some metal ions existing in skim rubber during treatment with alkaline. The thermal stability of purified skim rubber can be improved by soaking with 1% (w/v) phenolic antioxidant, especially for bis-phenol compound antioxidant such as, 4,4'-thio bis(6-tert-butyl-3-methylphenol) (TBMTBP) and 2,2'-methylene bis(4-ethyl-6-tert-butylphenol) (MBETB). Purified skim rubber showed low Mooney viscosity and low green strength, indicating the increase of processability. The purified skim rubber could be vulcanized by peroxide system to give a same level of physical properties as those of commercial grade of natural rubber, i.e. STR 5L, and synthetic *cis*-1,4 polyisoprene rubber (IR 2200).

Key words: Saponification, Purified skim rubber, Antioxidant, Peroxide vulcanization

### Introduction

In generally, the skim latex is known as waste product in the factory producing the natural rubber (NR) latex concentration. The skim latex is discharged into the waste water treating unit and then the residual rubber is accumulated by concentrated sulfuric acid. This step usually takes long time to get a complete coagulation of the residual rubber. Normally, the quality of the skim rubber from acid coagulation is low and less productive value, because it contains large amounts of non-rubber materials and high dirt content. Furthermore, the structure of this skim rubber is expected to be destroyed by the oxidizing power of sulfuric acid. Moreover, the aqueous portion of NR latex contains proteins, sugars, nucleic acids and minerals and these materials can produce the environmental problems in disposal water, especially BOD and COD values.

There are two basic causes for explanation of high impurities in skim rubber. First, the serum phase of the skim latex contains large amount of suspended proteins and dissolved in matters. Second, the rubber particles remaining in the skim latex are smaller than those in the ordinary NR latex particles and have a relatively larger surface for adsorption. A large proportion of the soluble non-rubber constituents of the initial latex tends to efflux with the skim rubber, in which particles consists of a great amount of adsorbed substances per unit volume of rubber.

The usual reagents for coagulating the skim latex are sulfuric acid, calcium chloride or formaldehyde (Sun N.G.C., 1983, 31(1): 49-59). The small amounts of skim rubber act as cure-rate boosters, which can replace the secondary accelerators in some applications. The skim rubber is resembled compound materials rather than elastomeric gum. This is due to the preponderance of non-elastomeric substances in the material. The increases in hardness and state of curing correlate well with the nitrogen content, due to the physical effect of proteinous substances.

The copper content in the skim rubber appears to be variable, the usual level being within the ranges from 2 to 30 ppm. The skim rubber may also have a relatively high copper content (Blackley D.C., 1966, p. 192-237), which affects the oxidative resistance. Thus, an improvement of the skim rubber depends on a drastic reduction in the protein and copper contents. The skim rubber has an inherently very low dirt content and can be used such applications, where advantage can be taken of its greater ease of vulcanization and the cost saving in accelerators. The tendency to premature vulcanization or scorch behaviour can be controlled by a suitable choice of accelerator (Gazeley K.F., 1988, p. 63-140). About 20-25 percentage of skim rubber can be blended with conventional rubber to give a high level of vulcanizate properties retention and reduce variability. In other application, the skim rubber was found to give better adhesion between a brassed metal and contiguous skim rubber (Bristow G.M. 1992, 45(1):20-31). The rubber-metal adhesion and adhesion retention can be obtained by adding copper sulfide to the conventional rubber skim stock composition and followed by vulcanization to yield the end product.

The present study was an attempt to prepare high quality skim rubber as a deproteinized skim rubber by saponification reaction. As a novel approach technique, the small rubber particles in the skim latex or wet skim rubber were incubated in the presence of alkali such as NaOH at ambient temperature. This method was found to be an effective method to produce very low protein content in the skim rubber. Then, this method was applied in a pilot scale to produce mass product of saponified skim rubber. Based on the good properties of skim rubber due to the linearity of its structure (Tangpakdee J., et al., 1999, 2(3):160-168), therefore the purified skim rubber can be applied as a raw material for hypoallergenic rubber products instead of the conventional natural rubber or synthetic rubber, as the main objective of this project.

## Experimental

### 1.) Preparation of samples

The commercial wet skim rubber crump used in the present study was supported from Chalong Rubber Latex Industry Co., Ltd., Songkla province, Thailand.

#### Condition and preparation of purified skim rubber

1.1) The wet skim rubber crump (500 g) was treated with 1-7% (w/v) aqueous NaOH solution for 1-5 hr at 70°C and for 12-72 hr at room temperature followed by washing with water and soaking in aqueous solution of 1% (w/v) formic acid in order to neutralize the residual alkaline. Then, the saponified skim rubber was washed with water again. The saponified skim rubber was dried up at 70°C for 24-28 hr and subjected to characterization.

1.2) The wet skim was also prepared by saponification with 2% (w/v) NaOH for 3 hr at 70°C and 3% (w/v) NaOH for 48 hr at room temperature, followed by washing with water and soaking in aqueous solution of 1% w/v formic in order to neutralize the residual alkaline for ½-1 hr. The obtained rubbers were dried up at 70°C for 24-28 hr and subjected to characterization.

1.3) Purified skim rubbers from (1.2) were dipped in the various kinds of antioxidant (1% (w/v) 2,6-di-t-butyl-4-methylphenol BHT, 4,4'-thio bis(6-tert-butyl-3-methylphenol) (TBMTBP) and 2,2'-methylene bis(4-ethyl-6-tert-butylphenol) (MBETB)) emulsion before dry up at 70°C for 24-28 hr and subjected to characterization.

1.4) Condition and preparation of purified skim rubber for peroxide vulcanization

The 15 kg of wet skim rubber crump was treated with 3% (w/v) NaOH at room temperature for 48 hr in a 200 liters reactor tank, then washed with water and soaked in aqueous solution of 1% (w/v) formic acid in order to neutralize the residual alkaline. Then, the saponified skim rubber was washed with water again. The saponified skim rubber was dried up at 70°C for 24-28 hr. The dried rubber was dipped in an antioxidant (1% (w/v) 2,6-di-t-butyl-4-methylphenol (BHT)) emulsion solution. The obtained rubber was dried again at 100°C for 4 hr and subjected to characterization.

### 2.) Accelerated Heat-Aging Test

2.1) Purified skim rubbers from (1.2) were subjected to heat-aging test in an air-circulating oven at 100°C for 1-20 hr.

2.2) Purified skim rubbers from (1.3) were subjected to heat-aging test in an air-circulating oven at 100°C for 3 hr.

### 3.) Compounding and vulcanization

The purified skim rubber (PSR), STR 5L and IR were mixed with dicumyl peroxide and BHT in the 300 x 150 mm<sup>2</sup> two-roll mill for 15 minutes at 40°C. The formulation of rubber compounds is shown in table 1. After mixing, the rubber compounds were sheeted on the cold mill and kept at room temperature for 24 hr. Then, the rubber compounds were vulcanized at 155°C and the pressure of 6.89

MN/m<sup>2</sup> for 39 min. The vulcanization time was calculated from the decomposition half-life of DCP at 98.4% of vulcanization.

**Table 1** Formulation for sample compounds

Materials	Ingredient (phr)
Rubber ; PSR, STR 5L, IR 2200	100
Dicumyl peroxide (Commercial grade, Chemmin Co., Thailand)	1.0
2,6-di- <i>t</i> -butyl-4-methylphenol (BHT)	0.5

#### 4.) Characterization

##### 4.1) Determination of non-rubber constituent

A LECO FP-258 nitrogen analyzer was used to determine nitrogen content in the rubber. The content of long-chain fatty acid ester group was analyzed by FT-IR using a JASCO FT/IR 460. A calibration curve was obtained for a series of mixtures of methyl stearate and synthetic *cis*-1,4 polyisoprene (Kuraprene IR10). The content of fatty acid ester group per weight of rubber was determined by the intensity ratio of peaks at 1739 cm<sup>-1</sup>(C = O) to 1664 cm<sup>-1</sup>(C = C). The content of gel, ash and color Index was determined in the usual way according to ASTM D3616–95, ASTM D4574–94 and ASTM D3157, respectively.

##### 4.2) Determination of molecular weight

About 0.1% (w/v) of skim rubber in tetra-hydrofuran (THF) was filtrated through a Millipore LS pre-filter and 0.45 µm nylon membrane filter. The change in molecular weight ( $\bar{M}_n$  and  $\bar{M}_w$ ) of the heat-aged skim rubber was analyzed by gel permeation chromatography (GPC) at 35°C with a flow-rate of 0.5 mL/min. the apparatus was assembled by using a JASCO-BORWIN GPC equipped with a pneumatic pump (PU-1580), columns oven (CO-1560) and refractive index detector (RI-1530). The exclusion limit of 8 mm × 300 mm of two columns packed with polystyrene gel was 2×108 mm and 4×105 mm. The molecular weight was calibrated by synthetic polyisoprene standards (PPS, Polymer Standards Service).

#### 5.) Physical and Mechanical properties

##### 5.1) Measurement of Mooney viscosity

The experiment was carried out by using a Mooney Viscometer (Tech Pro Visco Tech+), ASTM D1646. The temperature of testing was 100±1°C and large rotor size was used to measure viscosity at the stain rate of about 2 sec<sup>-1</sup>. The rubber was preheated at 100°C for 1 min, followed by continuous shear for 4 min. The torque at this point was Mooney viscosity (ML1+4). The decay of torque after rotor stop for 30 min was defined as MR<sub>30</sub>, which related to the relaxation behavior of the materials.

##### 5.2) Measurement of Hardness

The hardness tester was used for measuring hardness. The cured sample having upper and lower surface flat and its thickness at least 6 mm was put under

needle of hardness tester then the needle puncture on surface of sample. In this instrument, scale runs from 0 to 100 and the unit of measuring is shore A.

#### 5.3) Measurement of tear strength

The experiment was carried out on tensile testing machine (Instron model 5569) in accordance with ASTM D624. The vulcanized sheet samples were cut into tear test piece type B using punching machine (Wallace). The testing crosshead speed of 500 mm/min was used with a full scale load cell at 100 kg-N. At least 5 specimens were used for each measurement.

#### 5.4) Measurement of tensile strength

The experiment was carried out by using Instron model 5569 tensile tester accordance with ASTM D412. The testing crosshead speed of 500 mm/min was applied with load cell of 1 kg-N. The test pieces were stamped out using a type C dumbbell die. The thickness of sample was 0.5-1.5 mm. The measurement was repeated 5 times for each sample.

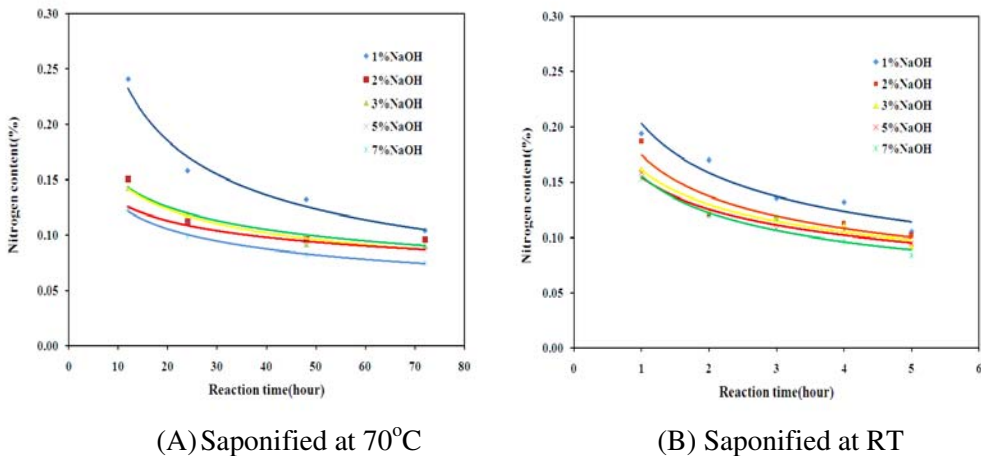
### **Results and discussion**

#### **1. Effect of soaking condition of skim rubber coagulum on nitrogen content and color index**

Saponification of wet skim rubber crump was treated by soaking the crump into 1-7 % (w/v) aqueous NaOH solution for 1-5 hr at 70°C and for 12-72 hr at room temperature, respectively.

The nitrogen content of skim rubber from the conventional production was 2.65%. After saponification by soaking process, the nitrogen content of the skim rubber decreased to 0.08-0.10% under the strict condition such as high concentration of NaOH condition. The nitrogen content of 0.08-0.24% was observed independent of the reaction time, as shown in figure 1. The nitrogen content of purified skim rubber was reduced to 0.20-0.08% after saponification at 70°C. The saponification with 1 % (w/v) NaOH gave the highest nitrogen content compared with other conditions. This indicates that the higher concentration of NaOH resulted in the higher efficiency of saponification to remove proteins.

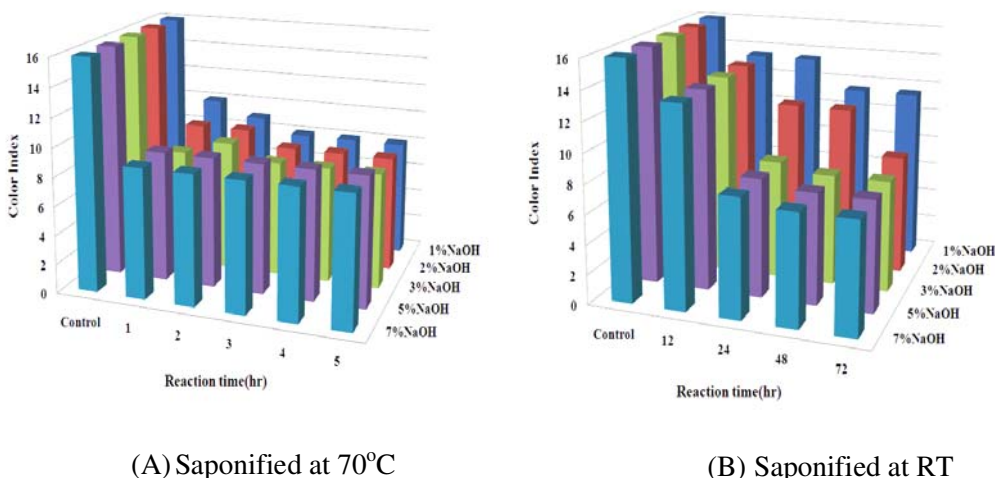
In the case of saponification at room temperature, the nitrogen content of purified skim rubber was decreased markedly from 2.65 to 0.12-0.24% after soaking for 12 hr and further decreased to 0.07-0.1% after soaking for 72 hr. The saponification at room temperature with 1% (w/v) NaOH gave the highest nitrogen content compared with other conditions. This suggests that saponification with 1% (w/v) NaOH was not enough to decompose the proteins at the both of 70°C and room temperature.



**Fig.1** Nitrogen content of purified skim rubber by saponification at 70°C (A) and at room temperature (B).

The color index of original skim rubber was 16.0. It could be reduced to 7.5-8.0 after saponification by soaking of rubber coagulum into 1-7% (w/v) aqueous NaOH solution at 70°C and at room temperature, as shown in figure 2. The color index value was reduced from 16.0 to 8.0 after saponification at 70°C by independence of concentration of NaOH and reaction time.

In the case of saponification at room temperature, the increase of concentration and the reaction time was necessary to decrease the color index value of purified skim rubber. The purified skim rubbers by the saponification with 3-7% (w/v) NaOH at room temperature for 24-72 hr were the best condition, which showed the lowest color index as same as the purified skim rubber by saponification at 70°C.

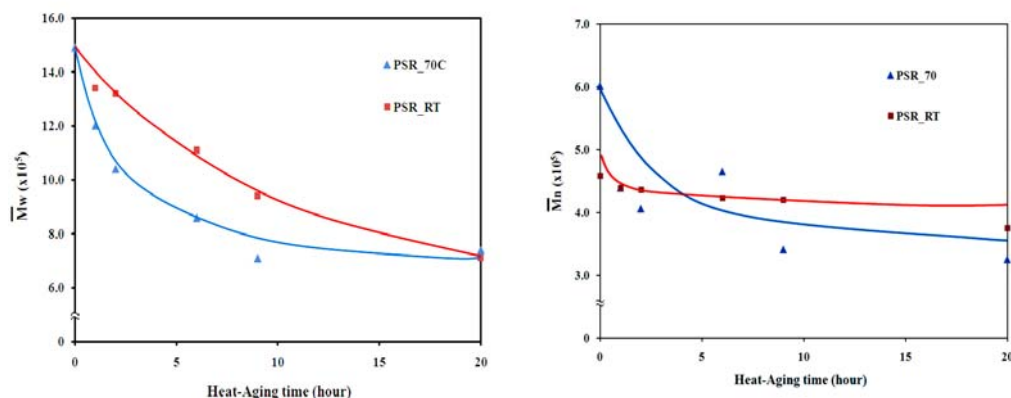


**Fig.2** Changes in color index of purified skim rubber by saponification at 70°C (A) and at room temperature (B)

## 2. Effect of heat treatment on the molecular weights of saponified skim rubber

Purified skim rubbers by saponification at 70°C and room temperature were subjected to heat-aging test in an air-circulating oven at 100°C for 1-20 hr. The thermal stability of purified skim rubber was observed by the determination of molecular weight, as shown in figure 3. The weight average molecular weight ( $\bar{M}_w$ ) of purified skim rubbers by saponification at 70°C and at room temperature were reduced to  $7.1-7.4 \times 10^5$  or about 50% of the original value after heat treatment for 20 hr. The number average molecular weight ( $\bar{M}_n$ ) of saponified skim rubber at room temperature slightly decreased while that of saponified skim rubber at 70°C showed abruptly decreased. This indicates that the saponified skim rubber at 70°C is easier degradable than the saponified skim rubber at room temperature.

Therefore, it is clear that the purified skim rubber by saponification at 70°C showed lower thermal stability than the purified skim rubber by saponification at room temperature.



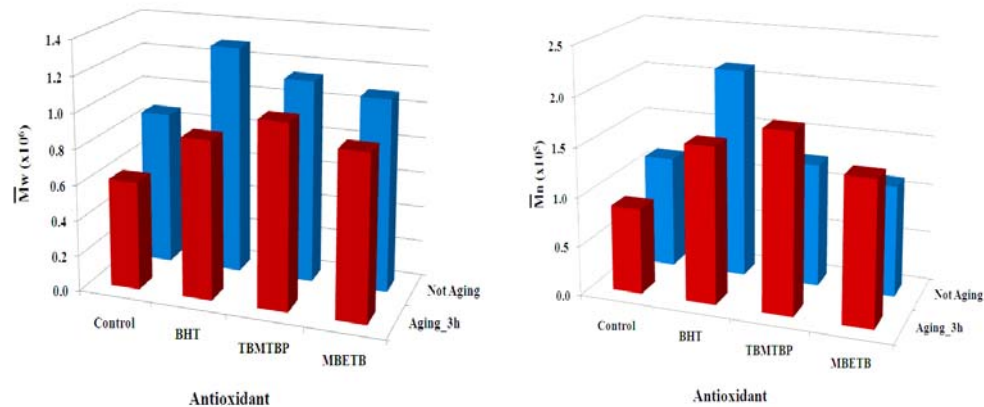
**Fig.3** Changes in  $\bar{M}_w$  and  $\bar{M}_n$  of purified skim rubber by saponification at 70°C and at room temperature.

## 3. The improvement of aging properties of saponified skim rubber by using an antioxidant

Phenolic antioxidant, i.e. BHT, TBMTBP, and MBETB, can react with peroxy radicals and widely used as antioxidant for elastomers (M.Z. Abdin, 1999, p.223). The 1 % (w/v) emulsion of phenolic antioxidant was used to stabilize saponified skim rubber by soaking process for 10 min before drying process, in order to improved aging properties of purified skim rubber.

The effect of phenolic antioxidant types on heat-aging properties of purified skim rubber was illustrated in figure 4. This figure clearly shows that BHT, TBMTBP and MBETB acted as an antioxidant and a stabilizer for purified skim rubber. It could be noticed that the molecular weight of the control samples (no antioxidant) showed the lowest value among the samples. The  $\bar{M}_w$  value of the control sample decreased from  $0.87 \times 10^6$  to  $0.61 \times 10^6$ , or about 30% after heat-aging. On the other hand, the phenolic antioxidant stabilized samples showed slightly decreased in molecular

weight of about 10-20%. This indicates that the aging properties of purified skim rubber can be improved by the use of phenolic antioxidant.



**Fig.4** Changes in  $\bar{M}_w$  and  $\bar{M}_n$  of purified skim rubber with and without the use of antioxidants (BHT, TBMTBP and MBETB) under heat-aging condition at 100°C for 3 hour.

#### 4. Physical properties of peroxide-vulcanized purified skim rubbers, compared with STR5L and IR

Since the objective of the present study was the development of purified skim rubber by alkaline treatment in order to increase the value of skim rubber product, the vulcanized properties of purified skim rubber was thought to be important.

One of the interests in the study of purified skim rubber is the possibility of using it in advanced applications such as medical applications where the absence of non-rubber substances may prove to be beneficial. At present when the uses of STR 5L and polyisoprene are required for the above applications; IR is usually a material of choice. In order to find out whether purified skim rubber has the required properties to replace IR 2200 or STR 5L, vulcanization properties of rubber cured by DCP are compared.

**Table 2** Nitrogen content, ester content, gel content, Mooney viscosity and green strength of skim rubber before and after purification by saponification

Properties	Non-purified skim rubber	Purified skim rubber
Ester content (mmol/kg)	13.76	3.16
Nitrogen content (w/w)	2.570	0.140
Ash content (w/w)	0.940	0.568
Gel content (w/w)	18.38	7.60
Mooney viscosity (ML1+4)	95.22	84.0
Green strength (MPa)	0.80	0.23

Table 2, shows the content of nitrogen, fatty acid ester and gel in skim rubber and purified skim rubber after saponification. The nitrogen content, ester content and gel content of skim rubber were decreased after saponification. The decrease in gel content suggests that part of branch point should be decomposed after saponification. Furthermore, the purified skim rubber showed low Mooney viscosity and low green strength, indicating the increase of processability. Table 3 shows the physical properties of vulcanized rubbers. It can be seen that the physical properties of vulcanized purified skim rubber showed almost similar to those of vulcanized STR5L and IR2200. This suggests the possibility to use purified skim rubber instead of STR5L and IR2200.

**Table 3** Physical properties of vulcanized rubbers

Properties	PSR	STR 5L	IR 2200
Crosslink density (mole/g)( $10^{-5}$ )	3.16±0.05	3.77±0.08	3.85±0.01
Hardness (Shore A)	34.0±0.4	34.0±0.4	35.5±0.2
Tear strength (kN/m)	33.1±0.4	34.2±0.4	34.6±1.8
Tensile strength (MPa)	11.11±0.8	10.80±0.1	10.00±0.1
Elongation at break (%)	677±10	679±26	716±5
Modulus; 100%Modulus (MPa) 300%Modulus (MPa)	0.51±0.10 0.99±0.03	0.57±0.02 1.07±0.01	0.60±0.03 1.11±0.01

### Conclusion

The skim rubber can be purified by saponification or soaking process of wet skim rubber crump into aqueous NaOH solution. The condition of saponification affected the purity of resulting skim rubber. The increase of NaOH concentration, reaction time and reaction temperature resulted in more efficiency to purify the skim rubber. However, the purified skim rubber showed low aging property, which may be due to the loss of some naturally occurring antioxidants and the activation of some metal ions existing in skim rubber during treatment with alkaline. This disadvantage property can be improved by soaking the purified skim rubber into 1% (w/v) phenolic

antioxidant, especially for bis-phenol compound antioxidant such as, TBMTBP and MBETP. The purified skim rubber could be vulcanized by peroxide system to give a same level of physical properties as those of STR 5L rubber and IR 2200. It can be deduced that purified skim rubber prepared by saponification is another way for medical application or more valued rubber products.

### References

- Abdin, M. Z. (1999). Photodegradation of raw natural rubber under controlled condition. *J. Rubb. Res.* 2(4), 223.
- Arnold, A. R. and Evans, P. (1991). Role of fatty acid in antioxidation of deproteinized natural rubber. *J. Rubb. Res.* 6, 75.
- Blackley, D.C. (1966). High polymer lattices., Maclarens&Sons, London vol.1; 192-237.
- Bristow, G.M. (1992). Properties of block load vulcanized of skim block natural rubber. *Rubber Developments.* 45(1): 20-31.
- Gazeley, K.F., Gorton A.D.T., Pendle, T.D. (1988). Latex concentrates: Properties and composition, in: *Natural Rubber Science and Technology* (Roberts, A.D., Ed.), p. 63-140. London: Oxford University Press.
- Streit, G. and Reggentin, S. (1996). Kinetic of peroxide vulcanisation. *International Polymer Science and Techology.* 23(4): 1-3.
- Sun, N.G.C. (1983). Quaternary ammonium surfactant as alternative coagulation of skim latex. *J. Rubb. Res.* 31(1): 49-59.
- Tanaka, Y., Kawasaki, A., Hioki, Y., Kanamaru, E. and Shibata, K. (1996). Highly purified natural rubber II. Effect of small rubber particle. *Nippon Gomu Kyokaishi*, 69: 557.
- Tangpakdee, J., Suksujartporn, S., and Tanaka, Y. (1999). Structural Characterisation of the Small Rubber Particles in Fresh Hevea Latex. *J. Rubb. Res.* 2(3), 160-168.
- Tuampoemsab, S., Sakdapipanich, J. and Tanaka, Y. (2006). Influence of some non-rubber components on aging behavior. *RUBBER. CHEM. TECHNOL.* 80, 159-168.
- Yunyongwattanakorn, J., Tanaka, Y., Sakdapipanich, J., and Wongsasutthikul, V. (2008). Highly-purified natural rubber by saponification of latex: Analysis of residual proteins in saponified natural rubber. *RUBBER. CHEM. TECHNOL.* 81, 121-137

ประวัติผู้เขียน

ชื่อ สกุล นายณัฐพนธ์ ภูผัวแก้ว  
รหัสประจำตัวนักศึกษา 5010220205  
วุฒิการศึกษา ปวส.  
วุฒิ ชื่อสถานบัน ปีที่สำเร็จการศึกษา<sup>๒๕๔๔</sup>  
วิทยาศาสตรบัณฑิต มหาวิทยาลัยรามคำแหง  
(เคมี)

## การตีพิมพ์เผยแพร่องาน

Riyajan S., Phuphewkeaw N., S. Chaiponban 2009. "Activation energy and thermal behaviors of thermoplastic elastomer based on natural rubber and poly (vinyl alcohol)" *Kautschuk Gummi Kunststoffe*. 09, 452-457.

Nawamawat K., Phuphewkeaw N., Sakdapipanich J.T. 2008. "Characterization of purified skim rubber by alkali treatment for pressure-sensitive adhesive application". *Kautschuk Gummi Kunststoffe*. 61, 147-151.

ສອາດ ວິຍະຈັນທົງ, ແຮງພນ້ນ ຖື່ມີວິໄກວ໌ 2552. “ກາວໜ້ວອສາຣຍືດຕິດຈາກຍາງຮຽມຊາດີ” ວາරສາຮ  
ວິຊາການ ພັນນາເຖົນນິຄສຶກຂາ ປີທີ 21 ຈົບປັດທີ 70 ເດືອນ ເມສາຍນ – ມິຖຸນາຍນ 2552  
ໜ້າທີ 18-25.

Phupewkeaw N., Riyajan S., Sakdapipanich J.T. 2008. " Novel recovery and coagulation of skim rubber from skim natural rubber latex: Coagulation by polyelectrolytes and inorganic salts".**การประชุมวิชาการวิทยาศาสตร์และเทคโนโลยีแห่งประเทศไทย ครั้งที่ 34 (วทท 34) 31 ตุลาคม- 2 พฤศจิกายน 2551** ณ ศูนย์การประชุมแห่งชาติสิริกิติ์ กรุงเทพมหานคร.

Phupewkeaw N., Riyajan S., Sakdapipanich J.T. 2009. "Development of purified skim rubber and application for peroxide curing". การประชุมเสนอผลงานวิจัยระดับบัณฑิตศึกษา ครั้งที่ 4, 13 มีนาคม 2552 บัณฑิตศึกษา มหาวิทยาลัยบรพา ชลบุรี.